

UNIVERSIDADE FEDERAL DE PERNAMBUCO



AVALIAÇÃO ESTRUTURAL DE PAVIMENTO COM O
FWD SOB DIFERENTES NÍVEIS DE CARGA

Ricardo Oliveira de Almeida

ORIENTADOR: Profº. Mauricio Renato Pina Moreira

Recife, PE – Brasil
Agosto de 2011

Ricardo Oliveira de Almeida

**Avaliação Estrutural de Pavimento com o FWD Sob Diferentes
Níveis de Carga**

Trabalho de Conclusão de Curso
submetido ao Departamento de Engenharia
Civil da Universidade Federal de
Pernambuco como parte dos requisitos
necessários para a obtenção do grau de
Engenheiro Civil.

Orientador: Prof. Msc. Maurício Renato Pina Moreira

RECIFE, AGOSTO DE 2011

Catalogação na fonte
Bibliotecário Marcos Aurélio Soares da Silva, CRB-4 / 1175

A447a

Almeida, Ricardo Oliveira de.

Avaliação estrutural de pavimento com o FWD sob diferentes níveis de carga / Ricardo Oliveira de Almeida. - Recife: O Autor, 2011.
171 folhas: Il., Graf., Tabs.

Orientadora: Profº. Mauricio Renato Pina Moreira.
TCC (Graduação) – Universidade Federal de Pernambuco. CTG.
Curso de Engenharia Civil, 2011.

Inclui Bibliografia e Anexos.

1. Engenharia Civil. 2.FWD. 3.Pavimento. 4.Deflexão. 5.Análise Estrutural. I.Moreira, Mauricio Renato Pina (Orientador). II. Título.

UFPE

624

CDD (22. ed.)

BCTG/2011- 159

Dedicatória

Dedico este trabalho a memória da minha avó Sebastiana Cordeiro de Almeida – Um grande exemplo de mulher, que com muito esforço e dignidade criou seus 10 filhos em pleno sertão nordestino. Deixou-nos como herança, seus valores morais, sua força e sua dedicação a família.

AGRADECIMENTOS

Primeiramente agradeço aos meus pais, Marleide Ferreira de Oliveira Almeida e Reginaldo Almeida da Silva, minha irmã Renata Oliveira de Almeida que sempre estiveram ao meu lado em todos os momentos de minha vida, nunca deixando faltar integridade, apoio e carinho

Ao meu orientador, Mauricio Renato Pina Moreira, pela paciência, apoio e contribuições durante o desenvolvimento deste trabalho.

Aos meus amigos e colegas de trabalho da JBR Engenharia, em especial a Casildo Medeiros e Fabiano Pereira, por ceder o material usado no estudo, pela confiança depositada, paciência e apoio dado durante o desenvolvimento deste trabalho.

Ao Departamento de Engenharia Civil da Universidade Federal de Pernambuco e a todos os seus professores que contribuíram na realização dessa jornada.

Aos meus avos, tios, primos e amigos, pelo carinho e incentivo dados por todos esses anos.

A todos que contribuíram direta ou indiretamente para a elaboração deste trabalho.

RESUMO

O objetivo deste trabalho é avaliar a estrutura do pavimento utilizando através de métodos não destrutivos e com cargas diversas. A princípio para se fazer este estudo foi realizado levantamentos deflectométricos com o Falling Weight Deflectometer (FWD) com as cargas de 30, 41, 80 120 kN em uma rodovia localizada entre a TDR sul e a curva do Boi situada em Suape/PE. Com o levantamento do FWD foram obtidas as bacias de deflexões que possibilitaram por processos de retroanálise, através do programa RETROPAV, obter os módulos de resiliência pertencentes às camadas do pavimento. Com o programa, ELSYM5, foram calculadas as contribuições percentuais de cada camada na deflexão total da superfície, detectando as camadas críticas da estrutura. Por fim, foram feitas análises das correlações da estrutura do pavimento sobre a aplicação de cargas diversas. Os resultados encontrados mostraram que a correlação entre a variação das cargas e as deflexões no ponto de aplicação é linear, porém este comportamento não se repetiu para os módulos de resiliência.

Palavras chave: Pavimento; Deflexão; FWD; Análise Estrutural

ABSTRACT

The objective of this study is to evaluate the pavement structure by using non-destructive methods and with different loads. The principle for doing this study was conducted surveys deflectometer with the Falling Weight Deflectometer (FWD) with the load 30, 41, 80 120 kN on a highway located between the south and the TDR curve Boi located in Suape / PE. With the survey were obtained from the FWD deflection basins that allowed by metanalysis processes, through the RETROPAV, get the modules belonging to the resilience of the pavement layers. With the program ELSYM5 were calculated percentage contributions of each layer in the total deflection of the surface, detecting the critical layers of the structure. Finally analysis of the correlations were made of the floor structure on the application of various loads. The results showed that the correlation between the variation of loads and deflections at the application point and linear, but this behavior did not happen for resiliency modules.

Key word: Pavement, Deflexion, FWD; Structural Analysis

Sumário

Capítulo I – Introdução.....	14
1.1 – Consideração Geral.....	14
1.2 – Objetivo	14
1.2 – Organização do trabalho.....	14
Capítulo II – Revisão Bibliográfica	15
2.1 – Considerações Gerais	15
2.2 – Pavimentação Rodoviária	15
2.2.1 – Rígido	15
2.2.2 – Flexível.....	15
2.2.3 – Semi-rígido	16
2.3 – Camadas Constituintes do Pavimento	16
2.3.1 – Regularização	17
2.3.2 – Reforço do Subleito	17
2.3.3 – Sub-Base	17
2.3.4 – Base	18
2.3.5 – Revestimento	18
2.4 – Avaliação Estrutural de Pavimentos Flexíveis	18
2.4.1 – Métodos Destruítivos	19
2.4.2 – Métodos não destrutivos	20
2.4.2.1 – Deformação	20
2.4.2.2 – Medição da deflexão	22
2.4.2.3 – Vigas de Deflexão.....	23
2.4.2.4 – Equipamento Dinâmico de Impacto	25
2.5 – Retroanálise	27
Capítulo III – Metodologia aplicada.....	31
3.1 – Considerações iniciais	31
3.2 – Levantamento FWD	31
3.3 – Divisão de Segmentação Homogênea.....	33
3.4 – Determinação dos Módulos de Resiliência	35
3.5 – Método Probabilístico de Rosenblueth	39
Capítulo IV – Apresentação e análise dos resultados	41
4.1 – Introdução.....	41
4.2 – Ensaios de Campo	42

4.3 – Avaliação Estrutural do pavimento Não-Destrutiva Através de Retroanálise ...	47
4.4 – Análise pelo Programa RETROPAV	47
4.5 – Análise do Pavimento	53
4.6 – Níveis de Carga	54
4.6.1 – Análise da Relação de Cargas com a deflexão	54
Capítulo V – Conclusões e Sugestões para pesquisas futuras	67
5.1 – Conclusões	67
5.2 – Sugestões para pesquisas futuras	67
Referências	68
Anexo I	70
Anexo II	95
Anexo III	104
Anexo IV.....	162

Lista de Figuras

Figura 2.1. Estrutura de um pavimento Rígido (SPECHT, 2008).	15
Figura 2.2. Estrutura de um pavimento Flexível (SPECHT, 2008).	16
Figura 2.3. Estrutura de um pavimento Flexível (SCARANTO, 2007).	16
Figura 2.4. Perfil do Pavimento Flexível	17
Figura 2.5. Extração do corpo-de-prova e de poços de sondagem em pavimentos (BERNUCCI et al, 2008).	19
Figura 2.6. Mostra a área de influencia da carga aplicada no pavimento e a bacia de deformação (PINTO, 2002).	21
Figura 2.7. Esquema de medida e cálculo do raio de curvatura(PINTO, 2002).	22
Figura 2.8. Esquema de viga Benkelman (DNER ME 24/94).	24
Figura 2.9. Medição com viga Benkelman.	25
Figura 2.10. Dynatest FWD e o KUAB FWD	25
Figura 2.11. Esquema do levantamento de dados com o FWD (adaptado de MORAIS & GRANDELLE, 2010).	26
Figura 2.12. Esquema de dados necessários para se fazer uma Retroanálise do Pavimento (NÓBREGA,2003).	28
Figura 3.1. Local do levantamento deflectométrico.	31
Figura 3.2. Fotos do equipamento usado no levantamento deflectométrico	32
Figura 3.3. Indicação das rodovias estudadas	32
Figura 3.4. Esquema da coleta de dados	33
Figura 3.5. Exemplo de delimitação dos segmentos homogêneos pelo método da diferenças acumuladas (AASH TO, 1993).	34
Figura 3.6. Tela inicial do RETROPAV.	35
Figura 3.7. Forma de preenchimento do levantamento dos dados no programa.	36
Figura 3.8. Forma de preenchimento da caracterização da Estrutura do Pavimento do programa.	37
Figura 3.9. Forma de preenchimento da Retroanálise do programa.	38
Figura 3.10. RETROPAV Durante Realização de Retroanálise.	39
Figura 4.1. Divisão de segmentos homogêneos no sentido Curva do Boi a TDR sul – Método das diferenças Acumuladas (AASHTO, 1993).	41

Figura 4.2. Divisão de segmentos homogêneos no sentido TDR sul a Curva do Boi – Método das diferenças Acumuladas (AASHTO, 1993).	42
Figura 4.3. Levantamento deflectométrico máximo do trecho no sentido Curva do boi a TDR sul.	43
Figura 4.4. Levantamento deflectométrico máximo do trecho no sentido TDR sul a Curva do boi.	43
Figura 4.5. Perfil da estrutura usada na retroanálise.	48
Figura 4.6. Módulos de Resiliência obtidos com o programa RETRIOPAV – Pista Direita (a) Estaca 0 a 2061 (b) 2074 a 3640	49
Figura 4.7. Módulos de Resiliência obtidos com o programa RETRIOPAV – Pista Esquerda (a) Estaca 0 a 1841 (b) 1848 a 3639	50
Figura 4.8. Histograma dos módulos de resiliência do revestimento para ambas a pistas analisadas neste estudo	51
Figura 4.9. Histograma dos módulos de resiliência da Base para ambas as pistas analisadas neste estudo	52
Figura 4.10. Histograma dos módulos de resiliência da Sub-Base para ambas as pistas analisadas neste estudo.	52
Figura 4.11. Histograma dos módulos de resiliência do Subleito para ambas as pistas analisadas neste estudo.	53
Figura 4.12. Diferentes efeitos da bacia de deflexões com aplicação de forças diferentes.	54
Figura 4.13. Bacias deflectométricas formadas pelas cargas indicadas	55
Figura 4.14. Bacias deflectométricas formadas pelas cargas indicadas	56
Figura 4.15. Análise da correlação das cargas com as deflexões médias máximas de cada segmento homogêneo na pista direita.	57
Figura 4.16. Análise da correlação das cargas com as deflexões médias máximas de cada segmento homogêneo na pista esquerda.	58
Figura 4.17. Análises das correlações entre as cargas e os módulos de resiliência do revestimento das pistas direitas.	59
Figura 4.18. Análises das correlações entre as cargas e os módulos de resiliência do revestimento das pistas esquerdas.	60
Figura 4.19. Análises das correlações entre as cargas e os módulos de resiliência de base das pistas direitas.	61

Figura 4.20. Análises das correlações entre as cargas e os módulos de 62 resiliência de base das pistas esquerdas.

Figura 4.21. Análises das correlações entre as cargas e os módulos de 63 resiliência de Sub-base das pistas direitas.

Figura 4.22. Análises das correlações entre as cargas e os módulos de 64 resiliência de Sub-base das pistas esquerdas.

Figura 4.23. Análises das correlações entre as cargas e os módulos de 65 resiliência de Sub-base das pistas direitas.

Figura 4.24. Análises das correlações entre as cargas e os módulos de 66 resiliência de Sub-base das pistas esquerdas.

Lista de Tabelas

Tabela 3.1. Cargas usadas no levantamento com FWD.	31
Tabela 3.2. Combinação usada no método de Rosenblueth.	39
Tabela 4.1. Resultados estatísticos das bacias deflectométricas no trecho no sentido Curva do Boi a TDR Sul.	43
Tabela 4.2. Resultados estatísticos das bacias deflectométricas no trecho no sentido TDR sul a Curva do Boi.	44
Tabela 4.3. Parâmetros para avaliação de bacia deflectométricas (Fabrício et. Al 1998).	44
Tabela 4.4. Parâmetros de área (AASHTO 1993).	45
Tabela 4.5. Parâmetros de área (PIERCE, 1999).	45
Tabela 4.6. Parâmetros das bacias deflectométricas no trecho no sentido Curva do Boi a TDR sul.	45
Tabela 4.7. Parâmetros das bacias deflectométricas no trecho no sentido TDR sul a Curva do Boi.	45
Tabela 4.8. Faixas dos módulos de resiliência trabalhados no RETROPAV.	47
Tabela 4.9. Probabilidades obtidas pelo método de Rosenblueth na Pista direita da Rodovia estudada.	53
Tabela 4.10. Probabilidades obtidas pelo método de Rosenblueth na Pista esquerda da Rodovia estudada.	53

Lista de Símbolos

R – raio de curvatura (m);

D_0 – deflexão no ponto de aplicação (0,01 mm);

D_{25} – deflexão a 25 cm do ponto de aplicação da carga (0,01 mm);

d_0 – deflexão na viga Benkelman;

L_i – leitura inicial do extensômetro na viga Benkelman;

L_f – leitura inicial do extensômetro na viga Benkelman;

k – constante da viga Benkelman;

h_R – espessura do revestimento;

h_B – espessura da base;

h_{SB} – espessura da sub-base;

D_i – deflexão na estação i;

\bar{D}_i – valor médio da deflexão;

A_i – área entre estações;

Δl_i – distância entre estações;

D_C – deflexão característica;

ε_t – deformação de tração;

σ_v – tensão vertical;

M_R – módulo de resiliência do revestimento;

M_B – módulo de resiliência da base;

M_{SB} – módulo de resiliência da sub-base;

M_{SL} – módulo de resiliência do subleito;

SH – segmento Homogêneo.

Capítulo I – Introdução

1.1– Consideração Geral

O trabalho realizado pelo aluno Ricardo Oliveira de Almeida, orientado pelo professor Maurício Renato Pina Moreira, visou o estudo do comportamento estrutural das camadas pertencente ao pavimento com a aplicação de cargas diferentes pelo princípio da mecânica dos pavimentos.

1.2 – Objetivo

Através deste trabalho, por em prática os conceitos adquiridos no curso de graduação de engenharia civil, adquirir conhecimentos sobre a avaliação estrutural do pavimento, métodos para a sua avaliação, e por fim usá-los na vida profissional.

1.2– Organização do trabalho

O trabalho está distribuído da seguinte forma:

[Capítulo 1] Introdução, Objetivo e Organização do trabalho – É descrita uma visão geral do trabalho com a introdução, os objetivos a serem alcançados e a forma de organização do trabalho.

[Capítulo 2] Revisão bibliográfica – É realizado um estudo bibliográfico acerca das teorias que regem o comportamento estrutural do pavimento.

[Capítulo 3] Metodologia Aplicada – É descrito os procedimentos de cálculo para os dados trabalhados.

[Capítulo 4] Apresentação e Análise dos Resultados – É apresentado os resultados do levantamento e são feitas as devidas análises.

[Capítulo 5] Conclusões Sugestões para Pesquisas Futuras – É apresentado as conclusões e sugerida as pesquisas futuras.

Capítulo II – Revisão Bibliográfica

2.1 – Considerações Gerais

Neste capítulo será discutido os principais conceitos envolvidos na pavimentação (tipos de pavimento e definição de sua estrutura), além dos aspectos de funcionalidade, e das avaliações estruturais do mesmo por métodos destrutivos e não destrutivos.

2.2 – Pavimentação Rodoviária

Segundo PINTO (2002), há duas possíveis definições para pavimentação, uma dada pelo usuário e outra dada pelos engenheiros. O usuário define o pavimento como uma superfície que suporta o tráfego em condições de conforto e segurança. Já o engenheiro, define como uma estrutura constituinte por uma ou mais camadas com características para receber cargas aplicadas na superfície e distribuí-las, de modo que as tensões resultantes fiquem abaixo da tensão admissível dos materiais que a constituem. O pavimento pode ser classificado como:

2.2.1 – Rígido

É aquela em que o revestimento possui uma elevada rigidez em relação às camadas inferiores (ver figura 2.1). São capas de absorver quase todas as tensões provenientes da carga aplicada.

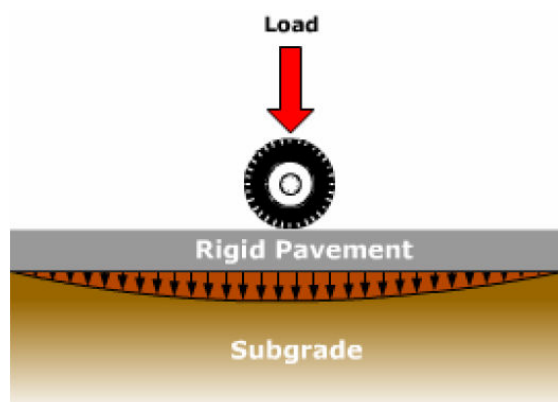


Figura 2.1: Estrutura de um pavimento Rígido (SPECHT, 2008).

2.2.2 – Flexível

É aquela em que o revestimento sofre deformação elástica significativa sob o carregamento aplicado e, portanto, a carga se distribui em parcelas aproximadamente equivalentes entre as camadas (ver figura 2.2). De acordo com a NBR 7207 (1982), os materiais para este tipo de pavimento são em

paralelepípedos de cimento, de pedra, de cerâmica, betuminosos, de borracha e blocos de concreto

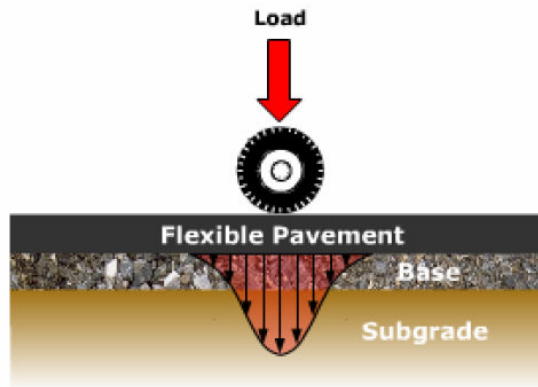


Figura 2.2: Estrutura de um pavimento Flexível (SPECHT, 2008).

2.2.3 – Semi-rígido

Caracteriza-se por uma base cimentada quimicamente, como por exemplo, por uma camada de solo cimento revestida por camada asfáltica, mostrado na Figura 2.3.

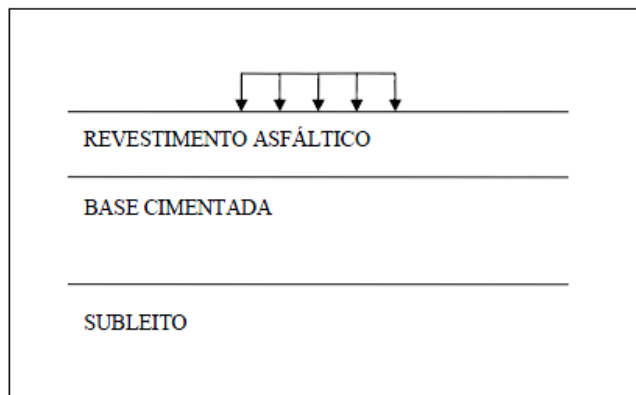


Figura 2.3: Estrutura de um pavimento Flexível (SCARANTO, 2007).

2.3 – Camadas Constituintes do Pavimento

Como foi descrito acima a estrutura do pavimento é dividida em camadas (Ver Figura 2.4). As camadas são:

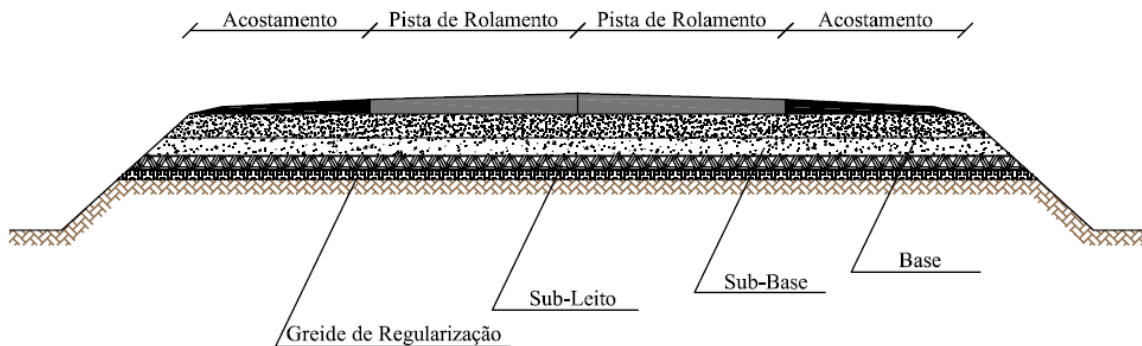


Figura 2.4: Perfil do Pavimento Flexível.

2.3.1 – Regularização

A camada de regularização é construída sobre o subleito e destinada a corrigir as falhas da superfície terraplanada, que é uma camada irregular. O material a ser importado para os pequenos aterros pode ser obtido nos próprios taludes de corte, se não for de pior qualidade que o material do próprio subleito. Durante a execução é fundamental o controlar do grau de compactação exigido, pois o preparo do subleito é uma operação que, se não for executado com requintes técnicos pode comprometer toda a estrutura.

2.3.2 – Reforço do Subleito

O reforço do subleito é a camada de espessura constante transversal e variável longitudinalmente, de acordo com o dimensionamento do pavimento, fazendo parte integral deste e que, por circunstâncias técnico-económicas, é executada sobre o subleito regularizado. Geralmente o material constituinte é um solo argiloso selecionado, de boas e excelentes características físicas e elevada resistência, dando ao reforço melhores condições de suporte e resistência, que vai gerar uma melhor absorção e distribuição de cargas. Sua simples utilização indica um pavimento de elevada espessura advindo de um subleito de má qualidade, ou de um subleito de regulares condições associado ao tráfego intenso.

2.3.3 – Sub-Base

A sub-base é colocada sobre o reforço, quando não há reforço ele fica sobre a regularização, e fica abaixo da base. Pode ser constituído de uma ou mais de uma camada apropriadamente compactada. A diferença entre a estruturação da sub-base e da base é que a sub-base é menos exigida em termos de

resistência, plasticidade e graduação dos materiais que o constituem. É indicado seu uso como parte da estrutura quando houver um tráfego pesado e o subleito não for de excelente qualidade. Ele deve ter capacidade de estabilização de suporte, ótima capacidade para drenar água acumulada e reduzida suscetibilidade às variações volumétricas.

2.3.4 – Base

A camada de base é a parte estrutural situada abaixo do revestimento. Tem função de suporte estrutural, promovendo à rigidez e resistência a fadiga, reduzir as tensões de compressão no subleito e na sub-base a níveis aceitável, e garantir que a magnitude das tensões de flexão no revestimento não leve ao trincamento prematuro. As especificações dos materiais usado na base, em geral, são mais rigorosas que as usadas nos material de sub-base em termos de resistência, plasticidade, graduação e durabilidade.

2.3.5 – Revestimento

A camada de revestimento de um pavimento flexível consiste na mistura de agregados com materiais betuminosos, e é colocado sobre a camada de base. Tem como principais funções a de resistir às forças abrasivas do tráfego, reduzir a penetração de água superficial no pavimento e proporcionar um rolamento suave e uniforme ao tráfego.

Para obter um pavimento durável, resistente a fraturas e desagregação, é necessária a obtenção de uma mistura que apresente uma ótima graduação de agregados e da porcentagem de ligante betuminoso. É particularmente importante que o pavimento no momento da construção seja compactado adequadamente, reduzindo o número de vazios ao máximo, pois a má compactação vai deixar o pavimento mais suscetível a uma grande variedade de defeitos que irão diminuir sua vida útil. Os tipos de defeitos mais freqüentes relacionado à compactação são o afundamento do trilho das rodas, a desagregação e deterioração estrutural devido ao excesso de infiltração de água.

2.4 – Avaliação Estrutural de Pavimentos Flexíveis

Utilizando as características mecânicas do pavimento e subleito é possível se fazer uma avaliação estrutural do pavimento, obtendo assim o seu comportamento e sua vida útil, estando o mesmo sujeito a efeitos climáticos e solicitação de tráfego. Há duas formas de se avaliação a estrutura de um pavimento, uma é pelos métodos destrutivos e a outra são métodos não destrutivos.

2.4.1 – Métodos Destrutivos

Estes métodos são chamados de destrutivos porque invalidam, para futuros testes, as áreas do pavimento onde foram feitas o ensaio. Seu método de ensaio consiste em extrair do pavimento um corpo de prova onde verifica as condições “in situ” e faz os ensaios de laboratório na amostra extraída (MACÊDO, 1996, ALBERNAZ, 1997, OLIVEIRA et. al., 2000).

As propriedades medidas nestes tipos de ensaio não refletem, na sua totalidade, o estado de tensão e condições ambientais ao longo do tempo, pelo fato de não estarem bem representadas às condições dos materiais em campo (estado de tensões, índice de vazios, etc.) sob a ação combinada das cargas e do clima. Porém, apesar destas ressalvas, os ensaios de laboratórios são bastante utilizados para determinação de parâmetros elásticos e de resistência e também, como ponto positivo, destaca-se nos ensaios de laboratórios, o fato que uma amostra pode ser condicionada milhões de vezes sob condições de contorno controladas (MACÊDO, 1996).

A extração deste corpo-de-prova pode ser realizada de forma manual (abertura de cavas e trincheiras a pá e picareta, sondagens a trado manual) e de forma mecânica (sondagens rotativas), como é mostrado na Figura 2.5. Com a extração do corpo-de-prova é possível determinar o número de camadas existente no pavimento, os materiais usados nas camadas e espessura além de possibilitar a perspectiva visual acerca do estado de desagregação do pavimento (BERNUCCI et al, 2008).



Figura 2.5: Extração do corpo-de-prova e de poços de sondagem em pavimentos (BERNUCCI et al, 2008).

2.4.2 – Métodos não destrutivos

Estes métodos, em quase sua totalidade, são baseados na determinação da deformação elástica que significam a resposta do pavimento sob efeito de cargas dinâmicas do tráfego. Este parâmetro pode sofrer a influência do comportamento resiliente dos materiais, pelo teor de umidade e pela temperatura, diminuindo seu módulo de resiliência, ou seja, a mistura tornasse menos rígida (OLIVEIRA et. al., 2000).

2.4.2.1 – Deformação

A ação das cargas de tráfego sobre os pavimentos flexíveis e semi-rígidos provoca deformações dos tipos permanentes e recuperáveis. As deformações permanentes são aquelas que permanecem mesmo após cessar o efeito da atuação da carga, ou seja, tem caráter residual. São exemplos de deformações permanentes aquelas geradas nas trilhas de roda pela consolidação adicional pelo tráfego, bem como as rupturas de natureza plástica. As deformações ou deflexões recuperáveis representam um indicativo do comportamento elástico da estrutura, deixando de existir alguns momentos após a retirada da carga. As deflexões recuperáveis provocam o arqueamento das camadas do pavimento, e a sua repetição é a responsável pelo fenômeno de fadiga das camadas betuminosas e cimentadas. O estudo das deflexões ou das condições de deformabilidade dos pavimentos flexíveis e semi-rígidos é fundamental à compreensão de seu comportamento, já que estas refletem e caracterizam as condições estruturais das diversas camadas e do próprio subleito.

A atuação de uma carga de tráfego produz em um pavimento deformações de caráter transitório. A magnitude destas deformações é variável e depende não só da geometria do carregamento, do valor da carga e da pressão de inflação do pneu, como também da posição do ponto de medida em relação à posição da carga. Considerando-se a aplicação de uma carga de roda dupla estática, a área próxima à carga que sofrerá deformação recuperável assume a forma aproximada de uma elipse, como mostra a Figura 2.6, cujo eixo maior coincide com a direção de deslocamento do tráfego. À superfície assim formada dá-se o nome de bacia de deformação, ou seja:

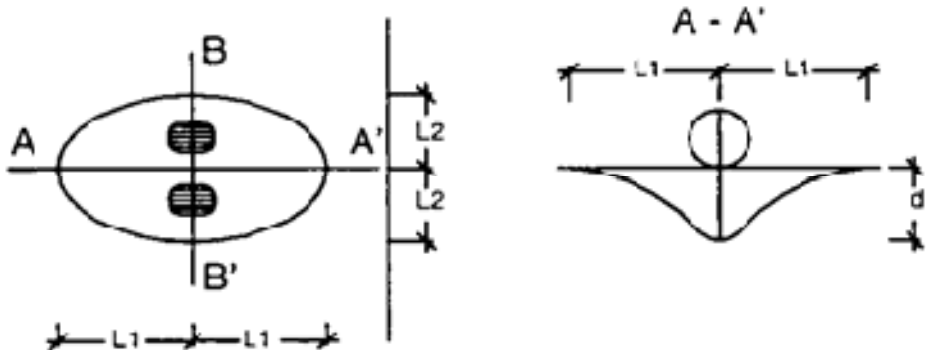


Figura 2.6: Mostra a área de influencia da carga aplicada no pavimento e a bacia de deformação (PINTO, 2002).

Uma seção longitudinal da bacia de deformação mostra a linha correspondente a esta seção longitudinal e dá-se o nome da deformada. Observa-se que a severidade do arqueamento transversal é maior, o que explica o fato de que as trincas de fadiga têm inicialmente sentido longitudinal.

A prática rodoviária e os equipamentos de medição desenvolvidos subentendem a determinação da deformada segundo o sentido longitudinal, ou seja, no sentido de atuação do tráfego.

A deflexão recuperável máxima (d) é um parâmetro importante para a compreensão do comportamento da estrutura. Quanto maior seu valor, mais elástica ou resiliente é a estrutura, e maior o seu comprometimento estrutural. No entanto, a análise isolada de seu valor pode não esclarecer completamente a questão, já que estruturas de pavimentos distintas podem apresentar a mesma deflexão máxima, porém com arqueamentos diferenciados na deformada. Conclui-se que a forma da deformada é um fator a ser levado em consideração na avaliação estrutural. Diversas tentativas foram realizadas no sentido de identificar parâmetros ligados à forma das deformadas que auxiliasssem na avaliação estrutural. Entre eles, talvez o mais difundido, seja o chamado raio de curvatura (R), parâmetro indicativo do arqueamento da deformada na sua porção mais crítica, em geral considerada a 25 cm do centro da carga. A forma da deformada é ilustrada na Figura 2.7:

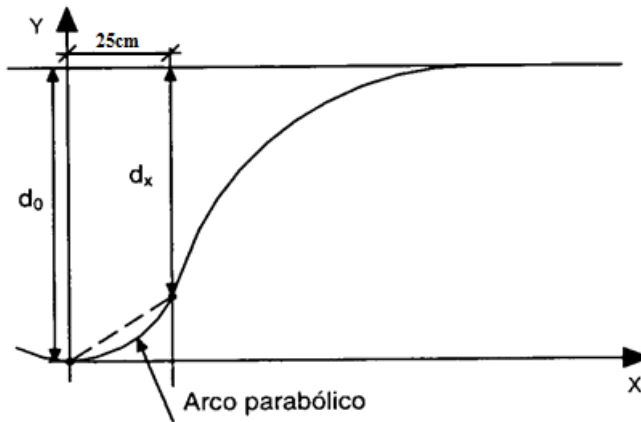


Figura 2.7: Esquema de medida e cálculo do raio de curvatura (PINTO, 2002).

Uma das expressões de cálculo mais utilizadas é a que corresponde ao ajuste de um arco parabólico que passa pelo ponto considerado, afastado genericamente do centro da carga de um valor 25 cm, e que depende da deflexão máxima e da deflexão no ponto considerado:

$$R = \frac{3125}{(D_0 + D_{25})} \quad (2.1)$$

Onde:

R – raio de curvatura (m);

D₀ – deflexão no ponto de aplicação (0,01 mm);

D₂₅ – deflexão a 25 cm do ponto de aplicação da carga (0,01 mm).

Um raio de curvatura baixo é indicativo de um severo arqueamento da deformada, denotando uma condição estrutural crítica. A análise conjunta da deflexão máxima e do raio de curvatura já permite uma melhor compreensão do complexo comportamento das estruturas de pavimentos. É possível atentar uma associação entre os referidos parâmetros, o que pode ser feito pelo chamado produto R × d, ou mesmo do quociente R/d.

2.4.2.2 – Medição da deflexão

A deflexão de um pavimento caracteriza a resposta das camadas estruturais e do subleito à aplicação do carregamento. Quando uma carga é aplicada em um ponto (ou uma área) da superfície do pavimento, todas as camadas fletem devido às tensões e às deformações geradas pelo carregamento. O valor da deflexão em cada camada geralmente diminui com a profundidade e o distanciamento do ponto de aplicação da carga e depende ainda do módulo de

elasticidade das camadas. A partir de certas distâncias e profundidades as deflexões tornam-se muito pequenas.

Os pavimentos mais robustos estruturalmente deformam menos do que os pavimentos mais debilitados. A significativa diferença na “resposta” entre os pavimentos robustos e debilitados indica os efeitos no desempenho estrutural. Assim sendo, pavimentos com deflexões mais baixas suportam maior número de solicitações de tráfego.

Os ensaios não destrutivos avaliam a deflexão recuperável máxima na superfície do revestimento e são bastante apropriados para avaliação da capacidade estrutural. Os equipamentos mais utilizados podem ser divididos em:

- vigas de Deflexão;
- equipamento Dinâmico de Impacto (FWD - *Falling Weight Deflectometer*).

2.4.2.3 – Vigas de Deflexão

As vigas de deflexão medem a resposta do pavimento submetido a um carregamento estático ou a aplicação de uma carga em movimento lento. O equipamento mais utilizado é a viga Benkelman.

A viga Benkelman é composta por uma viga horizontal apoiada sobre três pés, sendo um traseiro e dois dianteiros. Um braço de prova é rotulado na parte frontal na viga de referência, tendo a sua porção maior posicionada adiante da viga, e a menor sob ela. A ponta do braço de prova deve tocar o pavimento no ponto a ser ensaiado, enquanto na outra extremidade aciona um extensômetro, solidário à viga, sensível a 0,01mm (DNER, 1994d).

Dentro os vários instrumentos disponíveis para medições deflectométricas em pavimentos, a viga Benkelman foi o aparelho que mais se difundiu em todo o mundo e ainda hoje tem papel relevante em meio ao sistema rodoviário nacional (ver Figura 2.8). Foi idealizado pelo engenheiro A. C. Benkelman, do *Bureau of Public Roads*, tendo seu primeiro uso nas pistas experimentais de WASHO, no ano de 1953. No Brasil os primeiros a utilizá-la foram os engenheiros Nestor Aratangy, do DER de São Paulo, e Francisco Bolivar Lobo Carneiro.

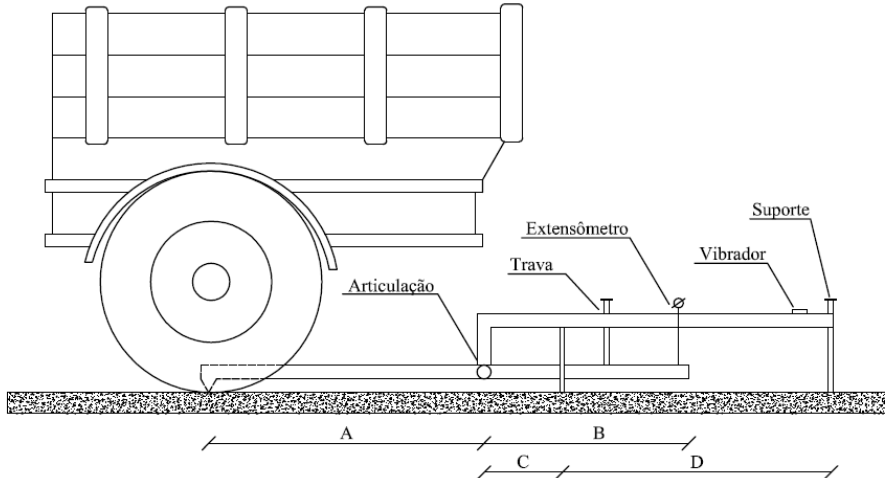


Figura 2.8: Esquema de viga Benkelman (DNER ME 24/94).

Para a execução desse ensaio é necessário um caminhão com eixo traseiro de rodas duplas carregado com 8,2 tf, para aplicar a carga sob a qual será medida a deformação elástica. O ensaio completo consiste em:

- 1- colocar a ponta de prova de viga Benkelman entre os pneus germinados do caminhão, colocando-a exatamente sob o seu eixo;
- 2- fazer uma leitura inicial do extensômetro que se situa a uma distância segura para o operador sobre o braço móvel da viga – leitura L_i ;
- 3- fazer o caminhão se afastar lentamente até 10m de distância da ponta de prova ou até que o extensômetro não acuse mais variação de leitura;
- 4- ler o extensômetro – leitura L_f .

A leitura final corresponde ao deslocamento do pavimento e todo o deslocamento recuperado é associado à deformação elástica do pavimento (deflexão). Calcula-se a deflexão d_0 pela expressão (2.2), sendo k a constante da viga dada pela relação entre o braço maior e o braço menor, articulados:

$$d_0 = (L_i + L_f) \cdot k \quad (2.2)$$

A Figura 2.9 mostra o esquema de medidas quando se deseja obter a bacia de deflexão com a viga Benkelman. É um procedimento trabalhoso e de pouca precisão quando realizado com a viga convencional, mas hoje é possível encontrar no país vigas automatizadas, nas quais a leitura dos deslocamentos se faz com medidores elétricos tipo LVDT. Todas as leituras intermediárias devem ser referidas à leitura final, para o cálculo de deflexão no ponto considerado.

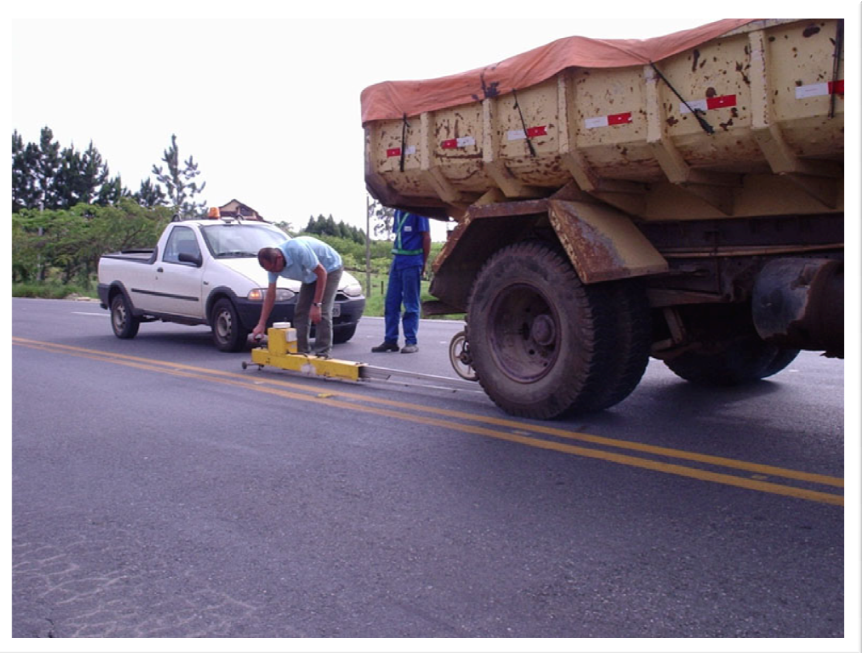


Figura 2.9: Medição com viga Benkelman.

Na maioria das vezes medem-se somente a deflexão máxima D_0 e mais um ponto em geral a 25cm do inicial D_{25} , para cálculo do chamado raio de curvatura.

2.4.2.4 – Equipamento Dinâmico de Impacto

Segundo Pinto (2002) todos os equipamentos que transferem ao pavimento uma carga dinâmica de impacto estão incluídos nesta classificação e são chamados de FWD – “*Falling Weight Deflectometer*” ou defletômetros de impacto. Os equipamentos mais conhecidos no Brasil são o Dynatest FWD e o KUAB FWD, como é mostrado na Figura 2.10.



Figura 2.10: Dynatest FWD e o KUAB FWD

Os equipamentos medem os deslocamentos elásticos de um pavimento a partir de impactos por queda de um peso em suspenso a certa altura, sobre amortecedores que comunicam o choque a uma placa metálica apoiada sobre o pavimento no ponto de leitura da deflexão máxima (ver Figura 2.11).



Figura 2.11: Sensores de medida de deflexão (MACEDO, 2003)

As normas DNER-PRO 273 e ASTM 4695 descrevem o uso desse tipo de equipamento. O equipamento é totalmente automatizado, sendo rebocado por um veículo utilitário leve que carrega parte do sistema de aquisição de dados feito por computador, conectado aos sensores (geofones) instalados na parte do rebocada, que é o deflectômetro propriamente dito. O ensaio consiste em se aplicar a carga de impacto e ler os deslocamentos em vários sensores colocados ao longo de um suporte em posições convenientemente escolhidas para se obter a linha de deslocamentos. Note-se que essa é uma diferença importante entre FWD e a viga Benkelman. Outra diferença marcante está na forma de aplicação da carga: dinâmico no FWD e estático na viga Benkelman.

Embora ambos os tipos de defletômetros sejam preparados para medir os deslocamentos elásticos, pelas diferenças de concepção entre eles, as deflexões não são iguais, nem existe uma correlação simples e universal entre medidas realizadas com o FWD e a viga Benkelman. Em cada tipo de pavimento pode-se obter certa correlação entre esses valores, porém não generalizável.

À baixo é listado as vantagens do FWD em relação à viga Benkelman:

- acurácia nas medições;
- possibilidade de aplicação de vários níveis de carga;
- maior produtividade;

- ensaio não sofre influência do operador;
- registra automaticamente a temperatura e a distância dos pontos levantados.

Tanto o FWD com a viga Benkelman podem ser usados no controle da capacidade de suporte das camadas do pavimento desde a sua construção, o que vem sendo cada vez mais usado no país com muitas vantagens.

A ordem de grandeza das deflexões dos pavimentos asfálticos varia muito com as características da estrutura, o tipo de revestimento, o nível de trincamento, as condições climáticas etc. Mas como valor típico pode-se indicar de 30 a 50 ($\times 10^{-2}$ mm) para um pavimento com revestimento de concreto asfáltico e base granular em boa condição estrutural, e da ordem de 80 ($\times 10^{-2}$ mm) para um pavimento com revestimento de tratamento superficial.

A vantagem de se poder medir com acurácia a bacia deflectométrica do pavimento é utilizá-la para estimar os módulos de elasticidade das camadas, o permite uma avaliação estrutural mais adequada de cada segmento e o cálculo do reforço estrutural, se necessário, pelos princípios da mecânica dos pavimentos. Isto é possível através da técnica chamada retroanálise.

2.5 – Retroanálise

O entendimento do pavimento como uma estrutura que forma um sistema em camadas que trabalham solidariamente, permite compatibilizar os materiais em termos de rigidez. Aplicando-se os princípios da mecânica dos pavimentos é possível fazer uma avaliação estrutural mais adequada de todas as camadas e do subleito (MEDINA e MOTA).

Para aplicar o cálculo de tensões e deformações para um dimensionamento apropriado do reforço do pavimento, é necessário se conhecer a rigidez de todas as camadas do pavimento e do subleito. A maioria dos pavimentos, em uso, foi dimensionada pelo método do CBR (ou ISC), não se conhece a princípio essa característica dos materiais em cada trecho. Mesmo conhecendo os valores dos módulos de resiliência da época do projeto e construção, eles tendem a ser variáveis com o tempo e o uso e, em alguns casos, pelo clima. Uma forma de resolver esse problema seria por meio da avaliação destrutiva por abertura de poços, que permitam coletar amostras para determinação destes parâmetros em laboratório. Mas isto é um serviço lento e causa transtornos adicionais ao pavimento (BERNUCCI et al, 2008).

É surgiu então um método que permite inferir os módulos de elasticidade das camadas do pavimento e do subleito por interpretação das bacias de deformação – a retroanálise. Usa-se aqui o termo módulo de resiliência por ser

nesse caso um parâmetro retrocalculado e não determinado em laboratório por meio de ensaio de carga repetida, com é o caso do módulo de elasticidade.

A Figura 2.12 indica os elementos necessários para entender o conceito do método de retroanálise. Tendo-se o conhecimento da carga externa aplicada para a qual foi obtida a bacia deflectométrica e, conhecendo-se as características básicas dos tipos de materiais presentes em cada camada e suas espessuras, é possível inferir os módulos de elasticidade a partir das deflexões obtidas. Esta especificação é feita considerando-se uma determinada combinação de módulos das camadas de modo a fazer coincidirem a bacia teórica calculada e a bacia de campo determinada. Esta última pode ser obtida a partir de ensaios não destrutivos, utilizando equipamentos como viga Benkelman, universalmente usada, ou o FWD, instrumento capaz de obter determinações mais acuradas (MACEDO, 1996; ALBERNAZ, 1997; VILLELA E MARCON, 2001; NOBREGA 2003).

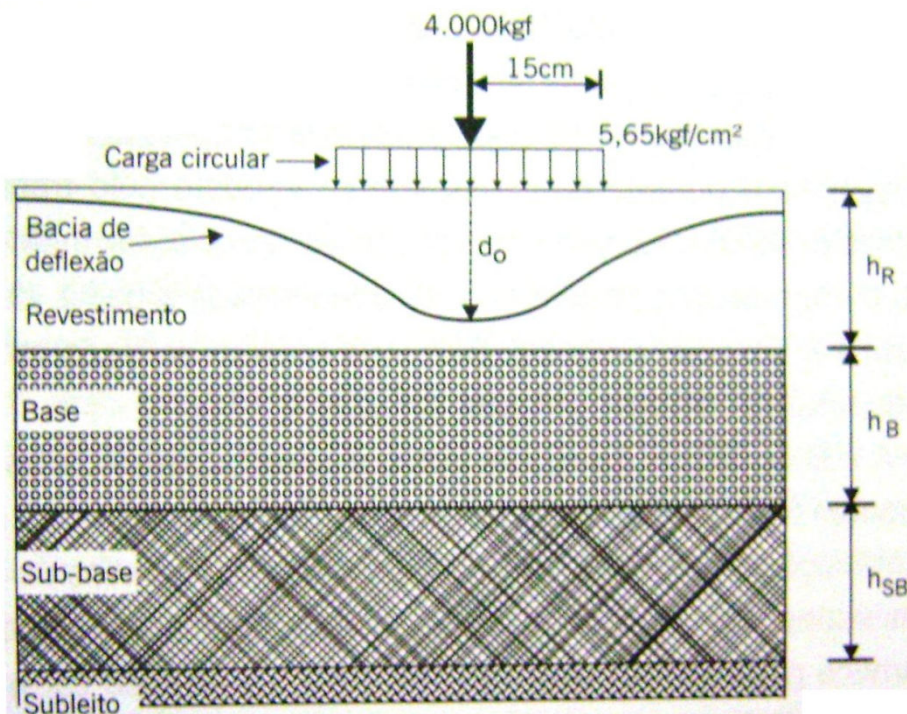


Figura 2.12: Esquema de dados necessários para se fazer uma Retroanálise do Pavimento (NÓBREGA, 2003).

Os dados de entrada do processo de retroanálise são:

- 1- o tipo de ensaio, FWD ou viga Benkelman;
- 2- a carga aplicada no pavimento;
- 3- a bacia deflectométrica;

- 4- a seção tipo do pavimento;
- 5- o coeficiente de Poisson de cada camada;
- 6- as faixas de valores modulares para cada camada da estrutura.

Em relação aos procedimentos de avaliação estrutural e projeto de reforço de pavimentos flexíveis adotados pelo DNER (PRO-10/79, PRO-11/79, PRO-159/85 e PRO-269/94), a retroanálise dos módulos de resiliência de um pavimento apresentam as seguintes vantagens:

- possibilita a obtenção dos módulos nas condições de campo;
- minimiza o número de sondagem para determinação das espessuras e coleta de amostras para determinação dos parâmetros desejados, que são de difícil reprodução em laboratório, além de serem onerosas, perigosas e demoradas;
- possibilita o uso pleno da bacia deflectométrica, não só a deflexão máxima (D_0) como nas técnicas de avaliação estrutural preconizadas pelo DNER.

Os métodos tradicionais fazem a caracterização estrutural de um pavimento a partir dos valores individuais de deflexão máxima, considerando-os isoladamente. A deflexão máxima possibilita a determinação dos locais onde o pavimento apresenta variações nas deformações verticais reversíveis quando do carregamento imposto pelo tráfego. Entretanto, um mesmo valor de deflexão reversível máxima pode representar inúmeros níveis de qualidade estrutural. Ou seja, pode-se obter uma mesma deflexão máxima para diversas combinações estruturais.

A sistemática de retroanálise se justifica por permitir:

- inferir os módulos de resiliência “E” nas condições de campo;
- eliminar ou minimizar coleta de amostras;
- caracterizar com rapidez as camadas em termos de elasticidade;
- verificar a condição estrutural de cada camada e subleito.

As desvantagens de obtenção dos módulos de elasticidade por retroanálise são:

- a sensibilidade do cálculo dos valores dos módulos de elasticidade aos valores das bacias deflectométricas que possuem uma imprecisão inerente aos levantamentos de campo;
- a confiabilidade dos instrumentos e dos procedimentos operacionais de medição das deflexões deve ser continuamente verificada;

- os módulos de elasticidade retroanalisados não apresentam necessariamente os módulos reais dos materiais das camadas e sim “módulos equivalentes” (igualmente dependente de diversos fatores, como por exemplo, número de camadas, grau de trincamento, homogeneidade de material e regularidade de espessura);
- o conjunto de módulos retroanalisados não é único, depende do programa utilizado para obtê-lo, das hipóteses simplificadoras, dos níveis de ajuste atingidos etc.

A retroanálise não serve somente para avaliação estrutural e projeto de reforço, já tendo sido usado para o desenvolvimento de método de dimensionamento de pavimentos novos e vias de baixo volume de tráfego. Nos referidos trabalhos, a retroanálise foi usada na estimativa dos módulos de trechos já implantados e serviu de calibração do método de dimensionamento proposto. Além disso, a retroanálise é recomendada como forma de estimar o módulo de trabalho do subleito (ALVAREZ NETO, 1997; ALVAREZ NETO et al., 1998).

Os dados da retroanálise podem contribuir para elaboração de projetos mais confiáveis, para pavimentos mais duráveis, representando um ganho de tempo nos projetos e minimizando a coleta de amostras. A retroanálise é o procedimento de projeto de reforço que mais evolui no momento no mundo.

É fundamental que os processos de retroanálise de bacias deflectométricas sejam claramente compreendidos para que o projetista e o contratante conheçam as vantagens e as limitações da modelagem utilizada. Há, ainda, a necessidade de balizar os programas e procedimentos de retroanálise pelos ensaios de laboratório ou faixa de valores de módulos consistentes (BERNUCCI et al, 2008).

Capítulo III – Metodologia aplicada

3.1 – Considerações iniciais

Antes de se fazer a análise não linear do pavimento da rodovia é necessário se fazer um diagnóstico estrutural do mesmo. O estudo foi baseado em levantamento das deflexões com o FWD, em estações espaçadas em 20m e alternando as faixas direita e esquerda. Após o levantamento, utilizando modelos matemáticos, foi feita a retroanálise e pode-se obter os módulos de resiliência.

3.2 – Levantamento FWD

O levantamento com o FWD foi feito nas rodovias entre a Curva do Boi a TDR sul situadas em Suape, no estado de Pernambuco, mostrado na Figura 3.1. O levantamentos foram feitos entre o dia 25 de julho de 2010 a 7 de agosto do mesmo ano. O dados levantados foram obtidos através do PRI2100 trailer versin (ver Figura 3.2), fabricado pela CarlBro Pavement Consultants.

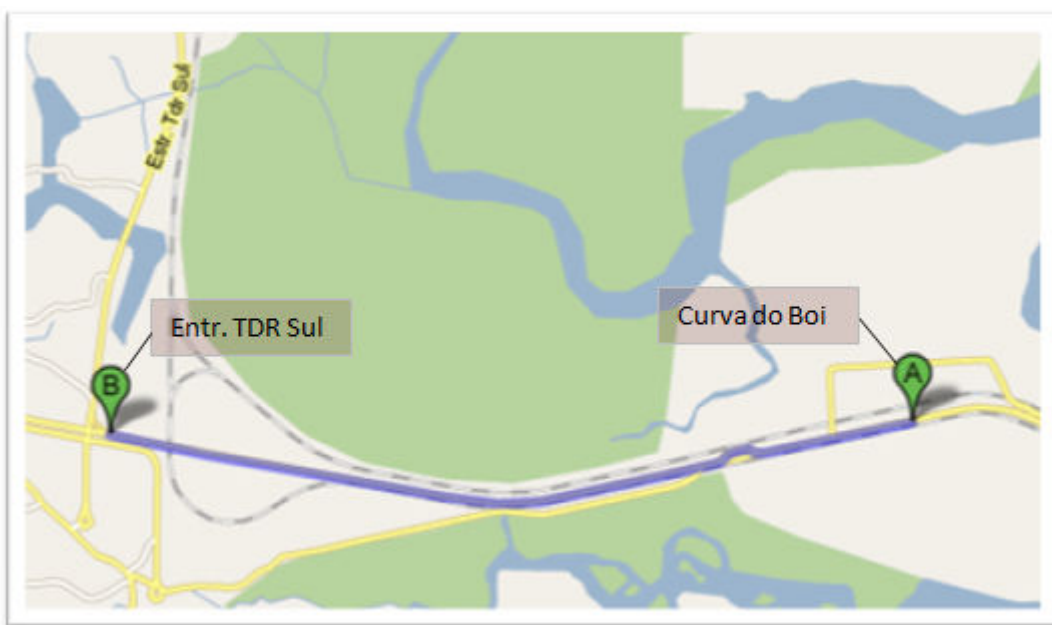


Figura 3.1: Local do levantamento deflectométrico.

Este equipamento é constituído de um trailer com o seguinte princípio de funcionamento:

- um conjunto de pesos é solto sobre uma plataforma com amortecedores de borracha e a carga de impacto é transferida para o pavimento através de uma placa de carregamento;
- a carga utilizada, mostrado na Tabela 3.1;

- quando submetido a uma carga, o pavimento curva-se e uma bacia de deflexão é criada. As deformações em várias distâncias do centro de carga são registradas pelos sensores (geofones) e armazenadas em um arquivo de dados;
- essas deformações são chamadas deflexões, dadas em μm (10^{-6} m).



Figura 3.2: Fotos do equipamento usado no levantamento deflectométrico.

Para o estudo do trabalho aqui desenvolvido foi feito levantamentos com quatro cargas distintas, incluindo a carga padrão (41kN). As cargas trabalhadas são mostradas na Tabela 3.1.

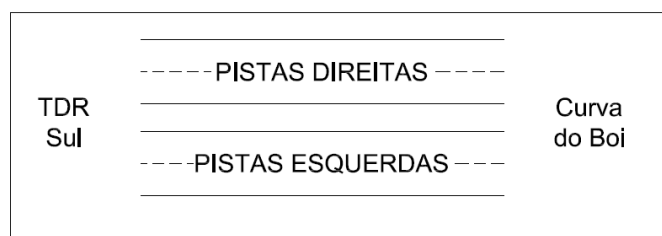


Figura 3.3: Indicação das rodovias estudadas.

Local	Cargas			
Pista Esquerda	30kN	41kN	80kN	120kN
Pista Direita	30kN	41kN	80kN	120kN

Tabela 3.1: Cargas usadas no levantamento com FWD

Para a aquisição dos dados os geofone 1 foi colocado no ponto de aplicação das cargas, já os outros geofones ficaram a uma distâncias de 25, 35, 60, 90,

120 e 150 cm do geofone 1 (ver Figura 3.4). Os levantamentos dos dados encontrasse no Anexo I.

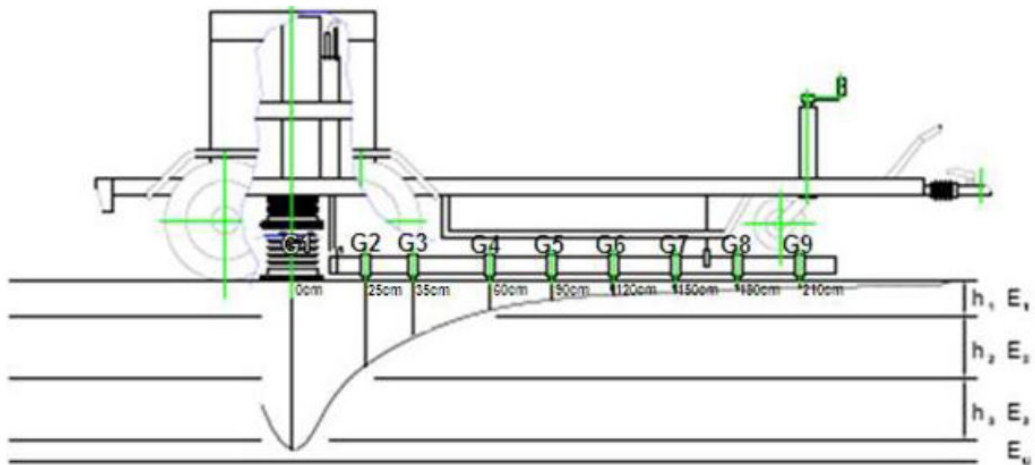


Figura 3.4: Esquema da coleta de dados.

3.3 – Divisão de Segmentação Homogênea

A divisão do segmento em trechos homogêneos visa identificar os segmentos dos quais se espera um desempenho uniforme tanto para o pavimento existente. Logo, a definição dos Sub-trechos Homogêneos deve basear-se nos parâmetros que mais fundamentalmente se relacionem ao desempenho do pavimento existente e ao desempenho futuro de eventuais medidas de restauração a serem aplicadas. Desse modo, utilizou-se o método denominado “Método das Diferenças Acumuladas” (Analisis Unit Delineation by Cumulative Differences), recomendado pela AASHTO no Guia de Projeto de Pavimento (1993) (Guide for Design of Pavements Structures) para a definição dos segmentos com características homogêneas. Para a divisão dos segmentos o parâmetro utilizado foi à deflexão máxima obtida com a FWD, uma vez que este parâmetro é a contribuição de todas as camadas do sistema pavimento/subleito.

Os procedimentos de cálculo estão descritos abaixo:

- 1) Calcula-se o valor médio da deflexão para todo o trecho (\bar{D}_i);

$$\bar{D}_i = \frac{D_{i+1} + D_i}{2} \quad (3.1)$$

- 2) Calcula-se a diferença entre cada valor individual e o valor médio;

- 3) Calculam-se os valores acumulados das diferenças;
- 4) Plota-se em um gráfico, nas abscissas as distâncias e nas ordenadas os valores acumulados das diferenças.

Cada variação de coeficiente angular da curva obtida indica uma mudança do comportamento médio de um determinado segmento para outro, delimitando as extremidades dos segmentos homogêneos (ver Figura 3.5). Analiticamente considera-se:

Área entre estações e curva (A_i)

$$A_i = \bar{D}_i * \Delta l_i \quad (3.2)$$

Onde:

\bar{D}_i – deflexão média na estação i;

Δl_i – distância entre estações.

No Anexo I é mostra os resultados dos cálculos do método da diferença acumulada na rodovia estudada nos sentidos Curva do Boi a TDR sul e TDR a Curva do Boi.

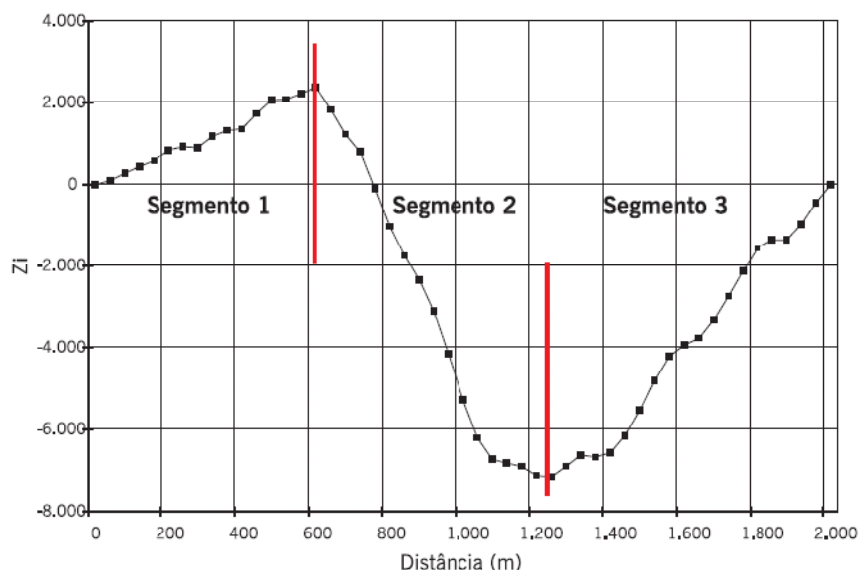


Figura 3.5: Exemplo de delimitação dos segmentos homogêneos pelo método da diferenças acumuladas (AASH TO, 1993).

3.4 – Determinação dos Módulos de Resiliência

Para obtenção dos módulos de resiliência são feitas retroanálise pontuais das bacias deflectométricas. A retroanálise foi feita pelo programa RETROPAV.

The screenshot shows the main interface of the RETROPAV software. On the left, there is a section titled 'Dados - Levantamento Deflectométrico' (Data - Deflectometric Survey) with fields for 'Nome' (Name), 'Tipo de Carregamento' (Loading Type) set to 'FWD', 'Carregamento (kgf)' (Load), 'Raio de Aplicação da Carga (cm)' (Radius of Load Application), and 'Localização das Medidas de Deflexão' (Deflection Measurement Locations). Below this is a table for 'Distâncias (cm)' (Distances) with five columns. To the right, there is a 'Retroanálise' (Retroanalysis) section with tables for 'Bacia Medida (x 0.01mm)' (Measured Basin) and 'Bacia Calculada (x 0.01mm)' (Calculated Basin), both with six columns labeled D0 to D6. There are also sections for 'Critérios de Parada' (Stop Criteria) and 'Módulos Retroanalisados (kgf/cm²)' (Calculated Moduli) for five layers. A large orange button labeled 'Retroanálise' is centered at the bottom of the interface.

Figura 3.6: Tela inicial do RETROPAV.

Os dados de entrada do RETROPAV para realização do processo de retroanálise são divididos em três classes:

1. Dados – Levantamento Deflectométrico;
2. Caracterização da Estrutura do Pavimento;
3. Retroanálise.

Na fase inicial, nos dados do Levantamento Deflectométrico, devem ser informados as características associadas ao levantamento deflectométrico realizado com os quais se objetiva realizar a retroanálise. Abaixo é descrita a forma de preenchimento do programa.

Campo 1: Está localizado o identificador do levantamento realizado.

Campo 2: O usuário irá informar qual o tipo de levantamento que foi realizado, se a Viga Benkelman ou o FWD.

Campo 3: Deve ser informado o carregamento, em kgf, em valor arredondado sem casas decimais, conforme ilustrado na Figura 3.7.

Campo 4: Deve ser informado o raio de aplicação da carga em cm, com no máximo uma casa decimal.

Campo 5: Está reservado para informar os pontos onde foram realizadas as medidas das deflexões; deve ser informado valores arredondados sem casas decimais, como mostrado na Figura 3.7.

Dados - Levantamento Deflectométrico

1	Nome:	SH-01 da Curva do Boi a TDR Sul						
2	Tipo de Carregamento:	FWD	4					
3	Carregamento (kgf):	4000	Raio de Aplicação da Carga (cm): 15,0					
Localização das Medidas de Deflexão:								
5	Distâncias (cm):	0	25	35	60	90	120	150

Figura 3.7: Forma de preenchimento do levantamento dos dados no programa.

A próxima etapa é informar ao RETROPAV as características do pavimento que está sendo analisado através da Caracterização da Estrutura do Pavimento.

Campo 6: conforme mostrado na Figura 3.8, deve ser informado o número de camadas que constituem a estrutura, sendo no mínimo 1 camada e no máximo 5 camadas.

Campos 7, 11, 15, 19 e 23: Deve ser informado o valor mínimo da faixa de módulos em kgf/cm² a ser empregado na retroanálise;

Campos 8, 12, 16, 20 e 24: Deve ser informado o valor máximo da faixa de módulos em kgf/cm²;

Campo 9, 13, 17, 21 e 25: Deve ser informado o valor do coeficiente de Poisson a ser adotado;

Campo 10, 14, 18, 22: Espessura da camada, devendo esta ser informada com precisão de uma casa decimal.

Vale salientar que a espessura da última camada não necessita ser informada, pois o programa a considera como sendo semi-infinita.

Caracterização da Estrutura do Pavimento

Numeros da Camada (Max 5)

Camada 1		Faixa de Módulos (kgf/cm ²)	Coeficiente de Poisson	Espessura (cm)	
7	Mínimo 10000	Máximo 70000	8 0,25	9 5,0	10

Camada 2		Faixa de Módulos (kgf/cm ²)	Coeficiente de Poisson	Espessura (cm)	
11	Mínimo 10000	Máximo 70000	12 0,25	13 7,0	14

Camada 3		Faixa de Módulos (kgf/cm ²)	Coeficiente de Poisson	Espessura (cm)	
15	Mínimo 500	Máximo 5000	16 0,35	17 20,0	18

Camada 4		Faixa de Módulos (kgf/cm ²)	Coeficiente de Poisson	Espessura (cm)	
19	Mínimo 500	Máximo 4000	20 0,35	21 20,0	22

Camada 5		Faixa de Módulos (kgf/cm ²)	Coeficiente de Poisson	Espessura (cm)
23	Mínimo 100	Máximo 4000	24 0,45	25

Figura 3.8: Forma de preenchimento da caracterização da Estrutura do Pavimento do programa.

Por fim, devem ser inseridos os dados referentes à retroanálise propriamente dita.

Campo A e G: Devem ser preenchidos, conforme ilustrado na Figura 3.9, com as deflexões obtidas no levantamento deflectométrico;

Campos I e K: Também devem ser preenchidos pelo usuário, determinando assim os critérios de parada a serem adotados pelo RETROPAV.

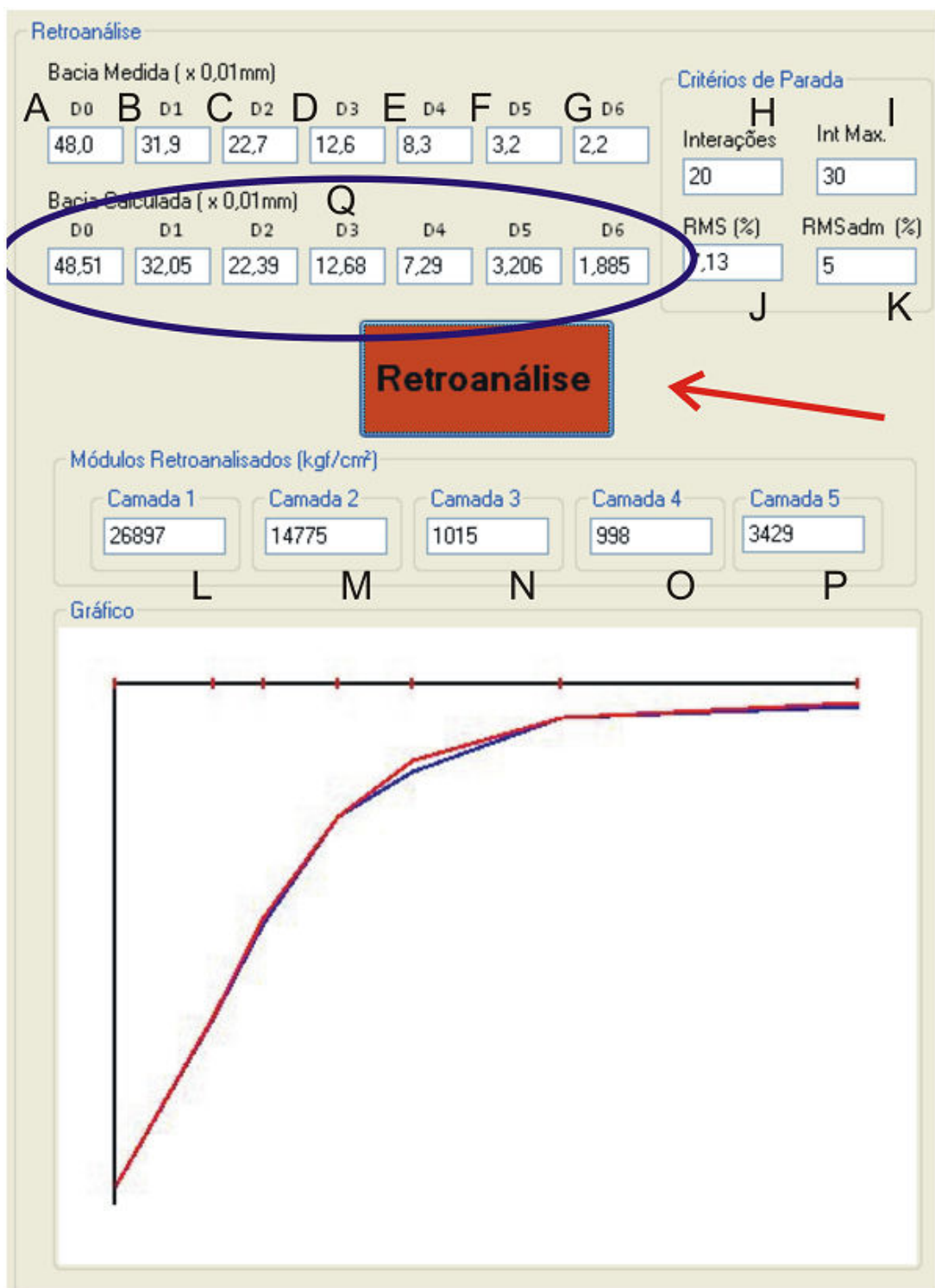


Figura 3.9: Forma de preenchimento da Retroanálise do programa.

Após serem inseridos estes parâmetros, o usuário deve acionar o botão “Retroanálise”, indicado pela seta vermelha em destaque na Figura 3.9, de forma que os campos H, J e Q comecem então a serem preenchidos pelo RETROPAV, interação a interação. Ademais, os campos de L a P começam também a serem preenchidos, ilustrando a solução encontrada pelo RETROPAV para o conjunto de módulos resilientes da estrutura analisada.

Quando uma camada não for utilizada, o RETROPAV preenche o campo referente àquela camada com o valor zero.

Vemos então na Figura 3.10 como fica apresentado o RETROPAV durante seu funcionamento.

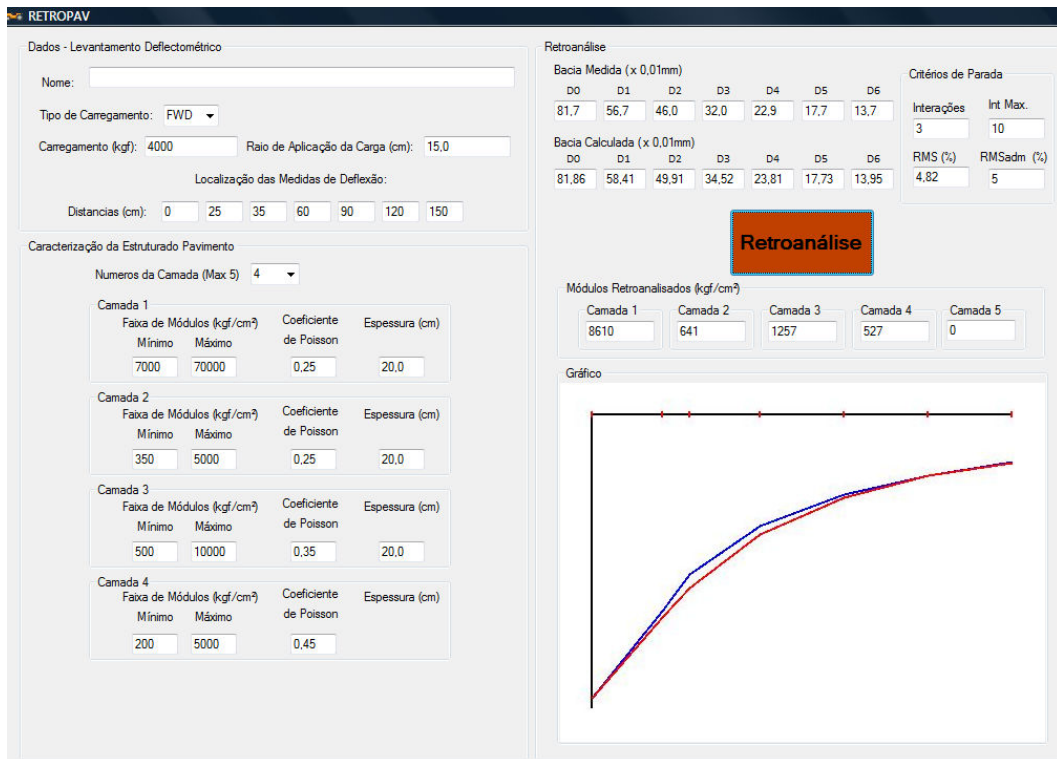


Figura 3.10: RETOPAV Durante Realização de Retroanálise.

3.5 – Método Probabilístico de Rosenblueth

Para avaliar a vida útil do pavimento utilizou-se o método probabilístico de Rosenblueth. Neste método, os parâmetros estatísticos de cada variável independente de projeto são determinados pela média e variância dos mesmos.

O método consiste no cálculo da média e variância dos $2N$ valores da variável dependente, sendo que “ N ” corresponde ao número de variáveis independentes envolvidas na análise. Neste caso, as variáveis independentes de projeto correspondem aos módulos resiliência das camadas do pavimento (Revestimento, Base, Su-base e Sub-Leito) e as variáveis dependentes, aos parâmetros da estrutura analisada. Neste método as equações usadas são:

$$E[Y_M] = 1/2 \cdot (Y_{M+} + Y_{M-}), \text{ para } N=1$$

$$E[Y_M] = 1/4 \cdot (Y_{M++} + Y_{M+-} + Y_{M-+} + Y_{M--}), \text{ para } N=2$$

$E[Y_M] = 1/2^N \cdot (Y_{M++++} + \dots + Y_{M----})$, para N qualquer, onde a média da variável dependente é igual a $E[Y_M]$ ($M = 1$) e sua variância é igual a $V[Y] = E[Y^2] - (E[Y])^2$. Os parâmetros +++,--- representam as combinações $(2N)$

considerando o valor médio \pm o desvio padrão para determinação dos valores médios.

CAMADAS					CRÍTERIOS		
1	M_{REV+}	M_{BASE+}	$M_{SUB-BASE+}$	$M_{SUB-LEITO+}$	$\varepsilon t++++$	D++++	$\sigma v++++$
2	M_{REV+}	M_{BASE+}	$M_{SUB-BASE+}$	$M_{SUB-LEITO-}$	$\varepsilon t++-$	D+++	$\sigma v+++$
3	M_{REV+}	M_{BASE+}	$M_{SUB-BASE-}$	$M_{SUB-LEITO+}$	$\varepsilon t+++$	D+++	$\sigma v+++$
4	M_{REV+}	M_{BASE+}	$M_{SUB-BASE-}$	$M_{SUB-LEITO-}$	$\varepsilon t++-$	D++-	$\sigma v++-$
5	M_{REV+}	M_{BASE-}	$M_{SUB-BASE+}$	$M_{SUB-LEITO+}$	$\varepsilon t-++$	D++	$\sigma v++$
6	M_{REV+}	M_{BASE-}	$M_{SUB-BASE+}$	$M_{SUB-LEITO-}$	$\varepsilon t-+-$	D+-	$\sigma v+-$
7	M_{REV+}	M_{BASE-}	$M_{SUB-BASE-}$	$M_{SUB-LEITO+}$	$\varepsilon t-+-$	D-++	$\sigma v-++$
8	M_{REV+}	M_{BASE-}	$M_{SUB-BASE-}$	$M_{SUB-LEITO-}$	$\varepsilon t---$	D----	$\sigma v---$
9	M_{REV-}	M_{BASE+}	$M_{SUB-BASE+}$	$M_{SUB-LEITO+}$	$\varepsilon t-++$	D-++	$\sigma v-++$
10	M_{REV-}	M_{BASE+}	$M_{SUB-BASE+}$	$M_{SUB-LEITO-}$	$\varepsilon t-+-$	D-+-	$\sigma v-+-$
11	M_{REV-}	M_{BASE+}	$M_{SUB-BASE-}$	$M_{SUB-LEITO+}$	$\varepsilon t-++$	D-++	$\sigma v-++$
12	M_{REV-}	M_{BASE+}	$M_{SUB-BASE-}$	$M_{SUB-LEITO-}$	$\varepsilon t-+-$	D-+-	$\sigma v-+-$
13	M_{REV-}	M_{BASE-}	$M_{SUB-BASE+}$	$M_{SUB-LEITO+}$	$\varepsilon t--+$	D---	$\sigma v---$
14	M_{REV-}	M_{BASE-}	$M_{SUB-BASE+}$	$M_{SUB-LEITO-}$	$\varepsilon t--$	D--	$\sigma v--$
15	M_{REV-}	M_{BASE-}	$M_{SUB-BASE-}$	$M_{SUB-LEITO+}$	$\varepsilon t---+$	D----	$\sigma v---$
16	M_{REV-}	M_{BASE-}	$M_{SUB-BASE-}$	$M_{SUB-LEITO-}$	$\varepsilon t----$	D----	$\sigma v----$

Tabela 3.2: Combinação usada no método de Rosenblueth.

Utilizando-se o ELSYM5, será determinado para a estrutura ilustrada na figura 5.78, a deflexão no topo do revestimento (D), o maior valor para a deformação específica de tração na fibra inferior do revestimento e por fim, será determinado o maior valor da tensão vertical atuante no topo do subleito para cada uma das posições, em baixo da roda ou entre as rodas. Os parâmetros serão obtidos para cada uma das combinações de valores modulares indicados na Tabela 3.2.

A última etapa da análise consiste em determinar qual a vida útil do pavimento, ou seja, a probabilidade de ocorrer problemas futuros no mesmo. Neste estudo, ele é traduzido pela probabilidade das variáveis dependentes apresentarem valores menores que os critérios admissíveis. A determinação destas probabilidades foi feita utilizando-se as tabelas de distribuição normal.

$$p(x \leq x_{admissível}) = \phi \left[\frac{x_{admissível} - \mu_x}{\sigma_x} \right] \quad (3.3)$$

Capítulo IV – Apresentação e análise dos resultados

4.1 – Introdução

Serão apresentados e analisados os resultados dos Ensaios de campo, Avaliação Estrutural Não-Destrutiva através da retroanálise dos módulos de resiliência e da Rodovia entre a curva do boi e a TDR sul. O levantamento com as deflexões encontra-se no Anexo I.

A divisão dos segmentos homogêneos foi definida baseando-se nas deflexões D0 (no centro de aplicação da carga) e utilizando-se o “Método das Diferenças Acumuladas” (Analysys Unit Delineation by Accumulative Differences) preconizado pela AASHTO (1986).

Na Figura 4.1 e 4.2 consta o gráfico das diferenças acumuladas, onde cada ponto de inflexão do gráfico limita os segmentos homogêneos com características similares, resultando em 5 segmentos homogêneos no sentido Curva do Boi a TDR Sul e 4 segmentos homogêneos no sentido TDR Sul a Curva do Boi. A planilha com os valores encontra-se no Anexo II.

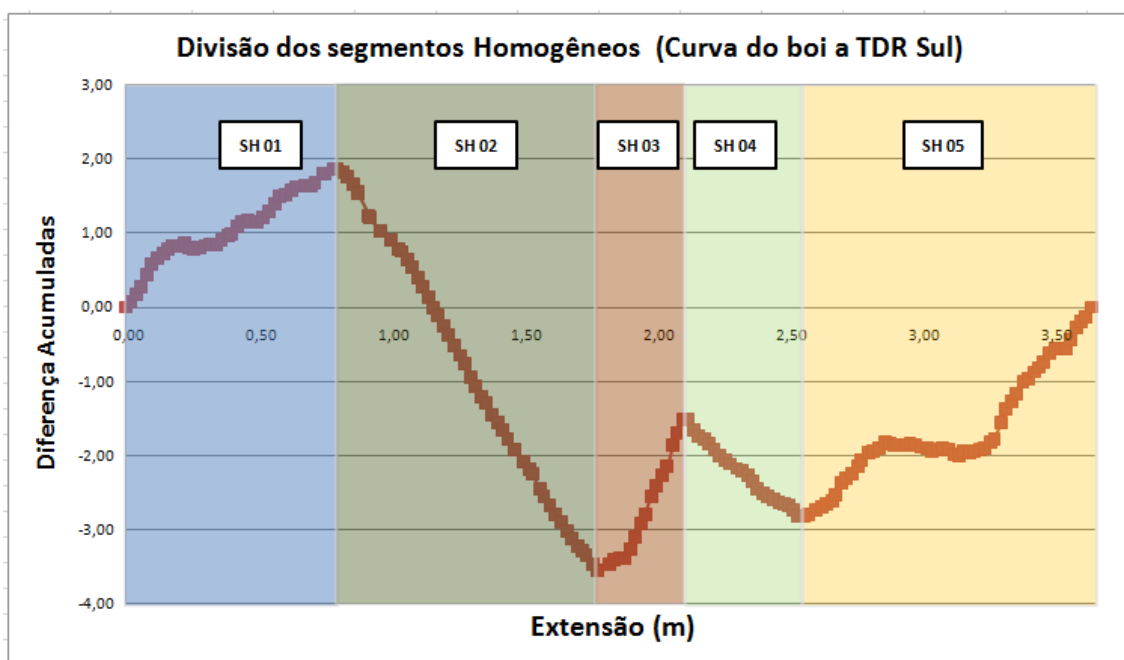


Figura 4.1: Divisão de segmentos homogêneos no sentido Curva do Boi a TDR sul – Método das diferenças Acumuladas (AASHTO, 1993).

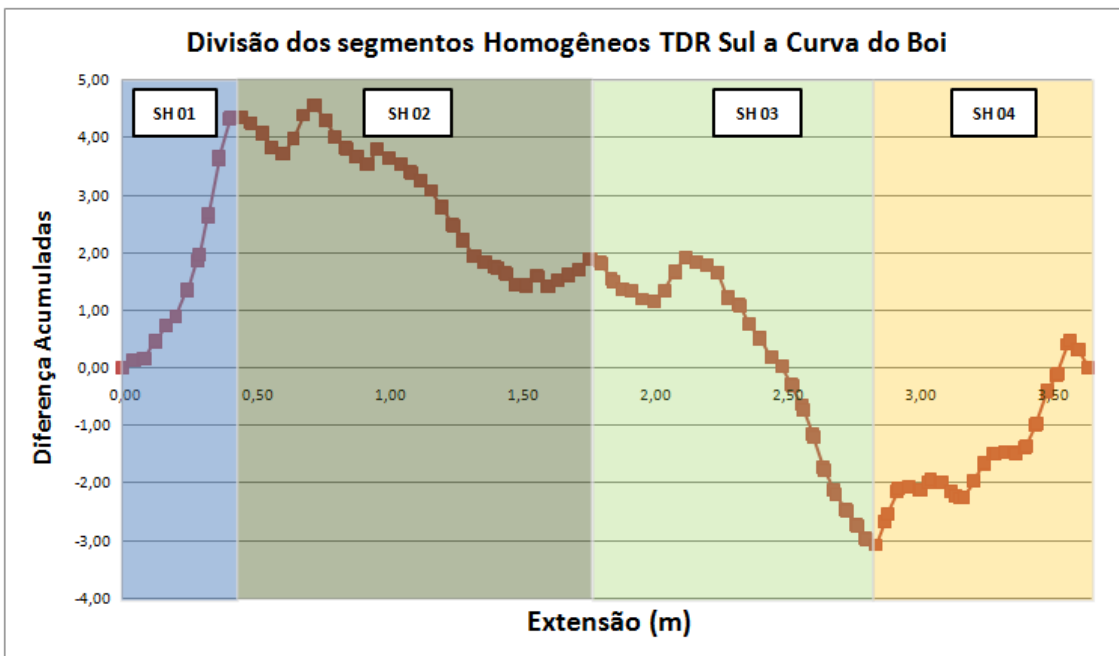


Figura 4.2: Divisão de segmentos homogêneos no sentido TDR sul a Curva do Boi – Método das diferenças Acumuladas (AASHTO, 1993).

4.2 – Ensaios de Campo

Nas Figuras 4.3 e 4.4, estão sendo apresentados os levantamentos deflectométricos realizados com o FWD, para uma carga de 41KN nos sentidos Curva do boi – TDR sul e TDR sul – Curva do boi, respectivamente. Os levantamentos deflectométricos foram realizados a cada 20m de forma alternada nas faixas direita e esquerda.

O trecho analisado no sentido Curva do boi – TDR sul apresentou uma deflexão média de $19,6 \times 10^{-2}$ mm, mínima de $10,5 \times 10^{-2}$ mm e máxima de $38,0 \times 10^{-2}$ mm, já o trecho no sentido TDR sul – Curva do boi apresentou uma deflexão média de $34,8 \times 10^{-2}$ mm, mínima de $19,9 \times 10^{-2}$ mm e máxima de $69,0 \times 10^{-2}$ mm.

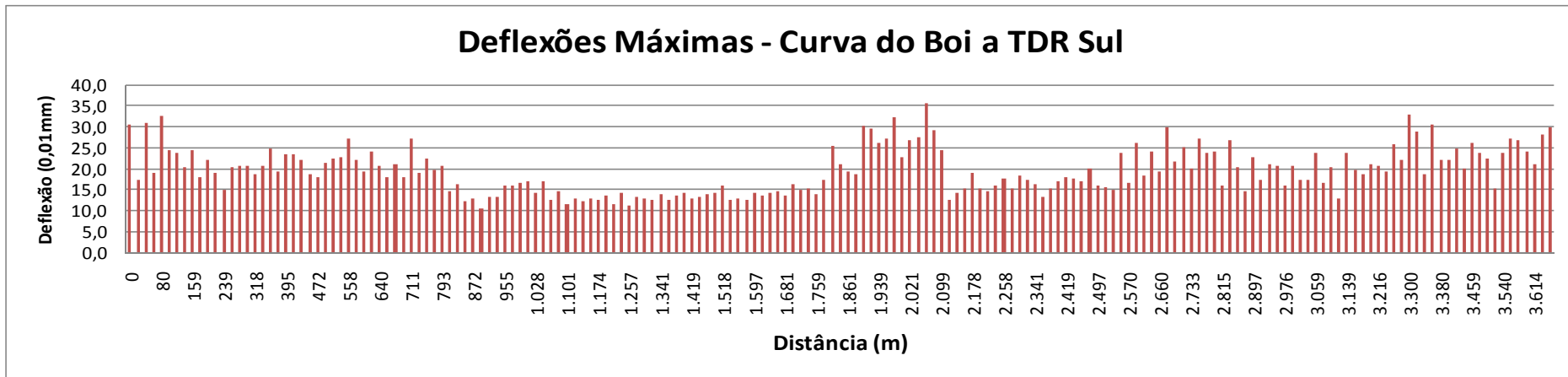


Figura 4.3: Levantamento deflectométrico máximo do trecho no sentido Curva do boi a TDR sul.

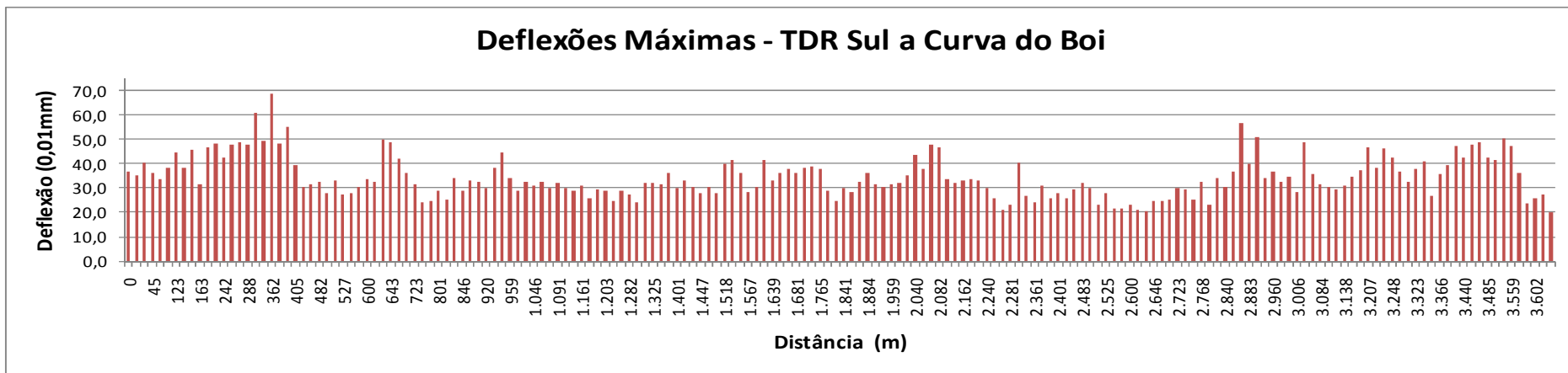


Figura 4.4: Levantamento deflectométrico máximo do trecho no sentido TDR sul a Curva do boi.

Nas tabelas 4.1 e 4.2, são apresentadas o tratamento estatístico realizado com as bacias deflectométricas, por segmento homogêneo, levantadas com o FWD nas faixas direita e esquerda, respectivamente.

Curva do Boi a TDR sul								
Segmento Homogêneo	KN	D ₀ (10 ⁻² mm)	D ₂₅ (10 ⁻² mm)	D ₃₅ (10 ⁻² mm)	D ₆₀ (10 ⁻² mm)	D ₉₀ (10 ⁻² mm)	D ₁₂₀ (10 ⁻² mm)	D ₁₅₀ (10 ⁻² mm)
SH01	Quantidade	38	38	38	38	38	38	38
	Média	41	22	15	12	7	4	3
	Desvio Padrão	0,48	3,61	2,68	2,17	1,37	0,84	0,63
	CV	1%	16%	17%	18%	20%	21%	19%
	z	3	3	3	3	3	3	3
	Máximo	43	33	23	19	11	7	5
SH02	Mínimo	40	11	7	6	3	1	1
	Quantidade	48	48	48	48	48	48	48
	Média	41	14	9	7	4	3	2
	Desvio Padrão	0,45	1,55	1,19	1,06	0,86	0,64	0,54
	CV	1%	11%	13%	15%	20%	22%	21%
	z	3	3	3	3	3	3	3
SH03	Máximo	42	18	13	10	7	5	4
	Mínimo	40	9	6	4	2	1	1
	Quantidade	14	14	14	14	14	14	14
	Média	41	27	19	15	9	5	4
	Desvio Padrão	0,21	4,48	3,18	2,43	1,47	0,91	0,72
	CV	1%	17%	17%	16%	17%	17%	19%
SH04	z	2,5	2,5	2,5	2,5	2,5	2,5	2,5
	Máximo	42	38	27	21	12	7	6
	Mínimo	41	16	11	9	5	3	2
	Quantidade	22	22	22	22	22	22	22
	Média	41	16	11	9	5	3	3
	Desvio Padrão	0,42	1,84	1,21	1,01	0,75	0,62	0,52
SH05	CV	1%	11%	11%	12%	15%	18%	17%
	z	3	3	3	3	3	3	3
	Máximo	42	22	15	12	7	5	4
	Mínimo	40	11	7	6	3	2	1
	Quantidade	56	56	56	56	56	56	56
	Média	41	22	16	12	7	4	3
	Desvio Padrão	0,44	4,38	3,15	2,48	1,46	0,85	0,62
	CV	1%	20%	20%	20%	20%	20%	17%
	z	3	3	3	3	3	3	3
	Máximo	42	35	25	20	12	7	5
	Mínimo	40	9	6	5	3	2	1

Tabela 4.1: Resultados estatísticos das bacias deflectométricas no trecho no sentido Curva do Boi a TDR Sul.

TDR sul a Curva do Boi								
Segmento Homogêneo	Carga KN	D ₀ (10 ⁻² mm)	D ₂₅ (10 ⁻² mm)	D ₃₅ (10 ⁻² mm)	D ₆₀ (10 ⁻² mm)	D ₉₀ (10 ⁻² mm)	D ₁₂₀ (10 ⁻² mm)	D ₁₅₀ (10 ⁻² mm)
SH01	Quantidade	20	20	20	20	20	20	20
	Média	41	43	28	21	10	5	4
	Desvio Padrão	0,44	8,02	5,95	4,64	2,55	1,26	0,79
	CV	1%	19%	21%	22%	26%	25%	19%
	z	3	3	3	3	3	3	3
	Máximo	42	67	46	35	18	9	6
SH02	Mínimo	40	19	11	7	2	1	1
	Quantidade	70	70	70	70	70	70	70
	Média	41	32	21	15	7	4	3
	Desvio Padrão	0,42	4,62	3,28	2,50	1,41	0,81	0,56
	CV	1%	14%	16%	17%	21%	22%	19%
	z	3	3	3	3	3	3	3
SH03	Máximo	42	46	31	22	11	6	5
	Mínimo	40	18	11	7	3	1	1
	Quantidade	31	31	31	31	31	31	31
	Média	41	27	16	11	5	3	2
	Desvio Padrão	0,39	4,84	3,04	2,17	1,10	0,63	0,43
	CV	1%	18%	19%	19%	23%	23%	18%
SH04	z	3	3	3	3	3	3	3
	Máximo	42	42	25	18	8	5	4
	Mínimo	40	13	7	5	1	1	1
	Quantidade	37	37	37	37	37	37	37
	Média	41	39	26	19	9	5	4
	Desvio Padrão	0,54	7,71	5,10	3,64	1,50	0,65	0,56
	CV	1%	20%	20%	20%	17%	14%	15%
	z	3	3	3	3	3	3	3
	Máximo	43	62	41	29	13	7	5
	Mínimo	40	16	10	8	4	3	2

Tabela 4.2: Resultados estatísticos das bacias deflectométricas no trecho no sentido TDR sul a Curva do Boi.

Com base nas bacias deflectométricas, pode-se avaliar através dos parâmetros: ICS, IDB, ICB e ÁREA, o comportamento da superestrutura (revestimento+base+sub-base) e da infra-estrutura (subleito) da rodovia. Segundo os seguintes critérios:

PARÂMETROS DE AVALIAÇÃO DA BACIA				
Parâmetro	Unid.	Símbolo	Fórmula	Valores Aceitáveis
Índice de Curvatura Superficial	mm ⁻²	ICS	ICS = D ₀ -D ₃₀	ICS < 25 mm ⁻²
Índice de Curvatura da Base	mm ⁻²	ICB	ICB = D ₆₀ -D ₉₀	Quanto < melhor
Índice de Destrução da Base	mm ⁻²	IDB	IDB = D ₃₀ -D ₆₀	IDB < 40 mm ⁻²

Tabela 4.3: Parâmetros para avaliação de bacias deflectométricas (Fabrício et. Al 1998).

TIPO DE REVESTIMENTO	ÁREA (mm)
PCCP	610 – 840
Concreto Asfáltico, esp. \geq 10 cm	530 – 760
Concreto Asfáltico, esp. < 10 cm	410 – 530
Tratamento Superficial	380 – 430

Tabela 4.4: Parâmetros de área (AASHTO 1993).

ÁREA	DEFLEXÃO MÁXIMA	CONCLUSÕES	
Baixa	Baixa	Pavimento “fraco” e Subleito “forte”	
Baixa	Alta	Pavimento “fraco” e Subleito “fraco”	
Alta	Baixa	Pavimento “forte” e Subleito “forte”	
Alta	Alta	Pavimento “forte” e Subleito “fraco”	

Tabela 4.5: Parâmetros de área (PIERCE, 1999).

Avaliação Curva do Boi a TDR sul													
Segmento Homogenio	ESTACAS (m)	CARGA (kN)	D ₀ (10 ⁻² mm)	D ₂₅ (10 ⁻² mm)	D ₃₅ (10 ⁻² mm)	D ₆₀ (10 ⁻² mm)	D ₉₀ (10 ⁻² mm)	D ₁₂₀ (10 ⁻² mm)	Raio m	Área mm	ICS D ₀ - D ₃₀	ICB D ₃₀ - D ₆₀	IDB D ₆₀ - D ₉₀
SH-01	0 a 800	41	22,21	15,43	12,15	6,88	4,01	3,29	461	451	8,41	6,91	2,87
SH-02	800 a 1800	41	13,82	9,09	7,20	4,28	2,89	2,60	661	448	5,67	3,87	1,39
SH-03	1800 a 2110	41	26,91	18,87	15,00	8,77	5,19	3,98	389	459	9,98	8,16	3,59
SH-04	2110 a 2545	41	16,19	10,94	8,61	5,06	3,41	3,04	595	453	6,41	4,71	1,65
SH-05	2545 a 3640	41	22,23	15,57	12,33	7,12	4,35	3,58	469	459	8,28	6,83	2,77
		N = 5,30E+07		D _{adm} = 49,64									

Tabela 4.6: Parâmetros das bacias deflectométricas nas pistas direita.

Nos trecho do sentido Curva do boi a TDR sul os segmentos apresentam valores menores do que os valores indicados na faixa típica da AASHTO (1993) que é de 530 mm a 760 mm, para pavimentos com espessura de concreto asfáltico, maior que 10 cm, sendo o maior valor de 449 mm e o menor valor de 448 mm. Se analisarmos segundo o critério apresentado na Tabela 4.5, como as “Deflexões máximas médias” estão relativamente baixas e o parâmetro “ÁREA” esta baixo, conclui-se que o pavimento encontra-se pouco resistente em relação ao subleito.

Avaliação Curva do Boi a TDR sul													
Segmento Homogenio	ESTACAS (m)	CARGA (kN)	D ₀ (10 ⁻² mm)	D ₂₅ (10 ⁻² mm)	D ₃₅ (10 ⁻² mm)	D ₆₀ (10 ⁻² mm)	D ₉₀ (10 ⁻² mm)	D ₁₂₀ (10 ⁻² mm)	Raio m	Área mm	ICS D ₀ - D ₃₀	ICB D ₃₀ - D ₆₀	IDB D ₆₀ - D ₉₀
SH-01	0 a 444	41	43,16	28,50	20,82	9,88	5,12	3,79	213	403	18,50	14,78	4,76
SH-02	444 a 2140	41	32,34	20,70	14,89	6,85	3,68	2,89	269	392	14,54	10,95	3,16
SH-03	2140 a 2860	41	27,29	16,24	11,15	4,76	2,74	2,40	283	366	13,60	8,93	2,03
SH-04	2860 a 3640	41	39,00	25,55	18,54	8,66	4,59	3,67	232	400	16,96	13,39	4,06
		N = 5,30E+07		D _{adm} = 49,64									

Tabela 4.7: Parâmetros das bacias deflectométricas nas pistas esquerda.

Nos trecho do sentido TDR sul a Curva do boi os segmentos apresentam valores menores do que os valores indicados na faixa típica da AASHTO (1993) que é de 530 mm a 760 mm, para pavimentos com espessura de concreto asfáltico maior que 10 cm, sendo o maior valor de 403 mm e o menor valor de 366 mm. Se analisarmos segundo o critério apresentado na Tabela 4.5, como as “Deflexões máximas médias” estão relativamente baixas e o parâmetro “ÁREA” esta baixo, conclui-se que o pavimento encontra-se pouco resistente em relação ao subleito.

4.3 – Avaliação Estrutural do pavimento Não-Destrutiva Através de Retroanálise

A avaliação estrutural não-destrutiva foi realizada baseando-se no processo de retroanálise dos módulos de resiliência das camadas do sistema pavimento-subleito. Os módulos assim obtidos refletem o estado de tensão em que se encontra a estrutura permitindo assim avaliar estruturalmente as camadas constituintes do pavimento e diagnosticar o desempenho apresentado.

Foram utilizados os programas RETROPAV e ELSYM. O RETROPAV foi usado para obtenção do módulo de resiliência considerando a estrutura em quatro camadas (revestimento, base, sub-base e subleito) com o objetivo de obter os módulos separadamente. Já o ELSYN foi usado para obtenção das deflexões no topo do revestimento, deformação específica de tração na base do revestimento e tensões vertical no topo do subleito. Os valores dos módulos encontram-se no Anexo III.

4.4 – Análise pelo Programa RETROPAV

Para a retroanálise com o programa RETROPAV utilizou-se a estrutura da Figura 4.5 para todos os segmentos homogêneos e as faixas de módulos conforme Tabela 4.8.

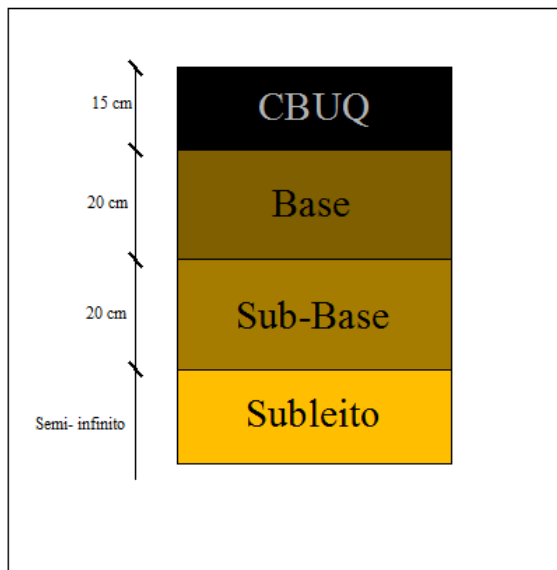


Figura 4.5: Perfil da estrutura usada na retroanálise.

CAMADA	MR (kgf/cm ²)	
	Mínimo	Máximo
REVESTIMENTO	7.000	70.000
BASE	350	5.000
SUB BASE	500	10.000
SUBLEITO	200	5.000

Tabela 4.8: Faixas dos módulos de resiliência trabalhados no RETROPAV.

A justificativa para a utilização destas faixas de módulos se deve a tentativa de buscar módulos compatíveis com as características elásticas dos materiais constituintes da estrutura. Para o revestimento, sabe-se que o mesmo apresenta módulos bastante baixos quando muito trincado e bastante altos com a exposição às intempéries que provocam o enrijecimento do revestimento betuminoso por oxidação e perda gradativa das frações voláteis do ligante. Já para as camadas de base + sub-base granulares utilizou-se a faixa indicada por cobrir o intervalo de módulo que estes tipos de materiais apresentam “*in situ*”. E por fim, para o subleito a mesma faixa do material granular por também cobrir os valores de módulos dos subleitos existentes nas rodovias nacionais.

Utilizando-se as bacias deflectométricas do FWD, foram obtidos os módulos de resiliência das camadas do pavimento através do programa RETROPAV. Na Figura 4.5, estão apresentados os módulos de resiliência obtidos pontualmente para a pista direita e na Figuras 4.6 os módulos de resiliência da pista esquerda, onde eixo das ordenadas está em escala logarítmica.

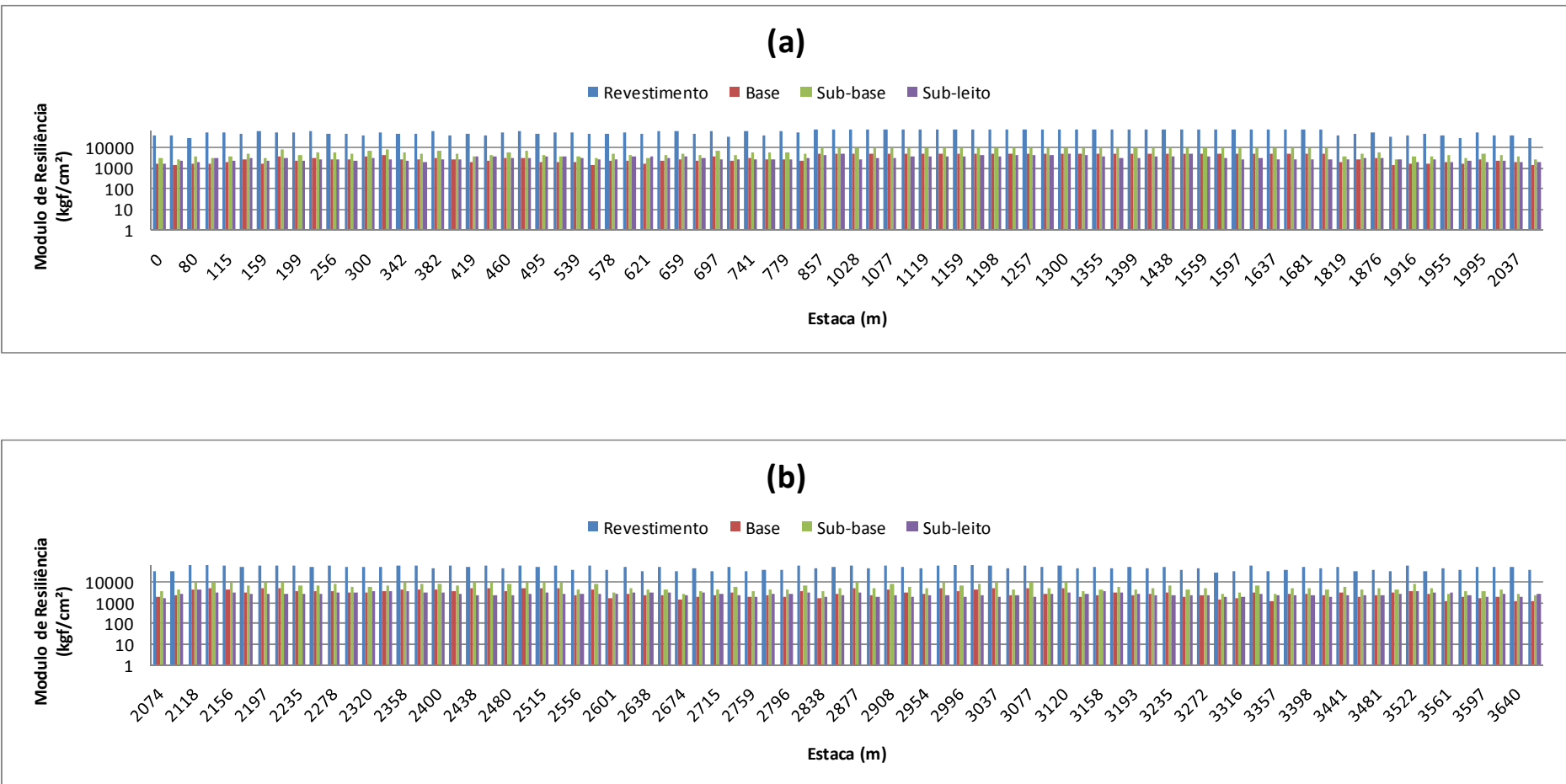


Figura 4.6: Módulos de Resiliência obtidos com o programa RETRIOPAV – Pista Direita (a) Estaca 0 a 2061 (b) 2074 a 3640.

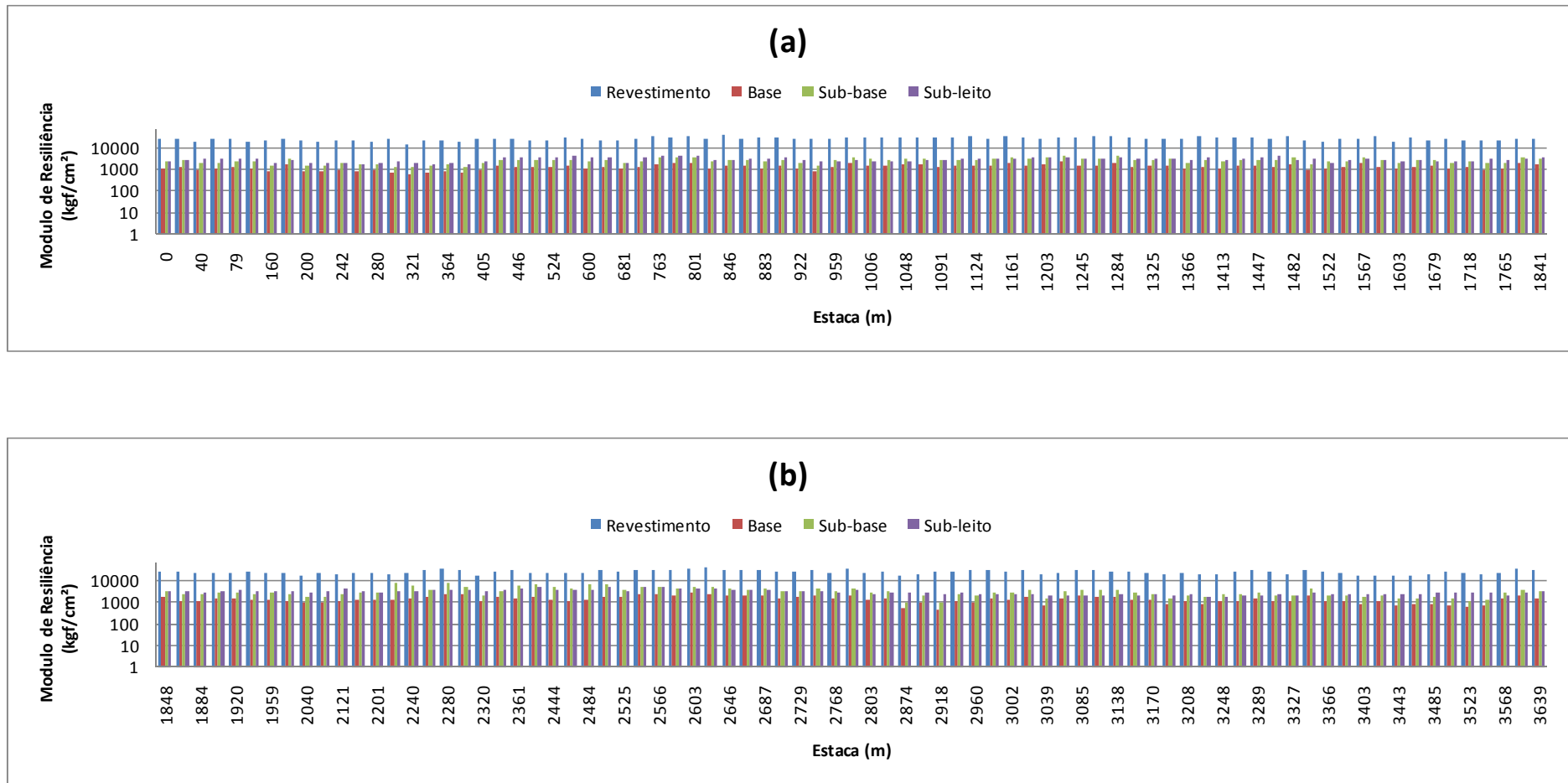


Figura 4.7: Módulos de Resiliência obtidos com o programa RETRIOPAV – Pista Esquerda (a) Estaca 0 a 1841 (b) 1848 a 3639.

Na Figuras 4.7, apresenta-se o histograma dos módulos retroanalisados do revestimento, onde as seguintes considerações se fazem pertinentes:

Nos módulos de resiliência obtido é possível observar que 11,4% do levantamento da pista esquerda apresentam módulos abaixo de 30.000 kgf/cm², isto pode ter ocorrido por pequenas incidências de defeitos encontradas nesta pista. No entanto, nessa mesma pista, 69,0% dos módulos apresentam módulos entorno de 30.000 kgf/cm² que é um valor normalmente usado para esse tipo de mistura asfáltica. Para a pista direita apenas 1,9% dos módulos apresentam valores entorno de 30.000 kgf/cm². Para indicativo de oxidação da mistura é usado os módulos maiores ou iguais a 50.000 kgf/cm², na pista esquerda não houve indicativo de oxidação já a pista direita 80,7% apresentam este problema.

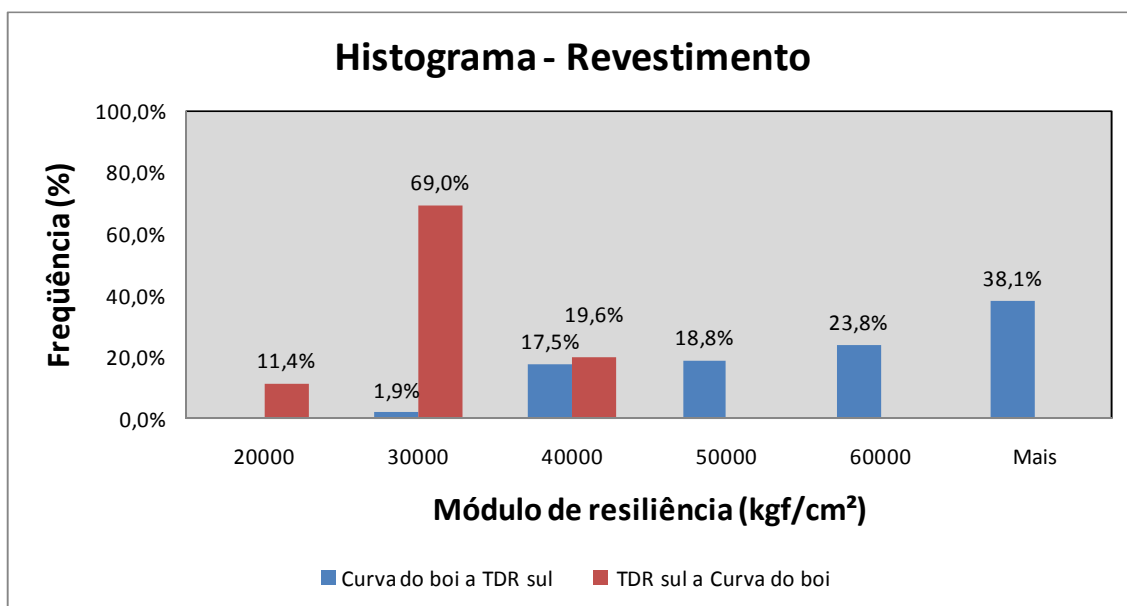


Figura 4.8: Histograma dos módulos de resiliência do revestimento para ambas as pistas analisadas neste estudo.

Na Figura 4.9 são apresentados os histogramas dos módulos de resiliência da base, para a pista esquerda 20,9% dos módulos estão menores ou iguais a 1.000 kgf/cm² sendo 2,5% próximos de 600 kgf/cm², 7,6% próximos de 800 kgf/cm². Na mesma pista 79,1% apresentaram os módulos iguais ou acima de 2.000 kgf/cm². Já na pista direita 100% das amostras apresentam módulos iguais ou superiores há 2.000 kgf/cm².

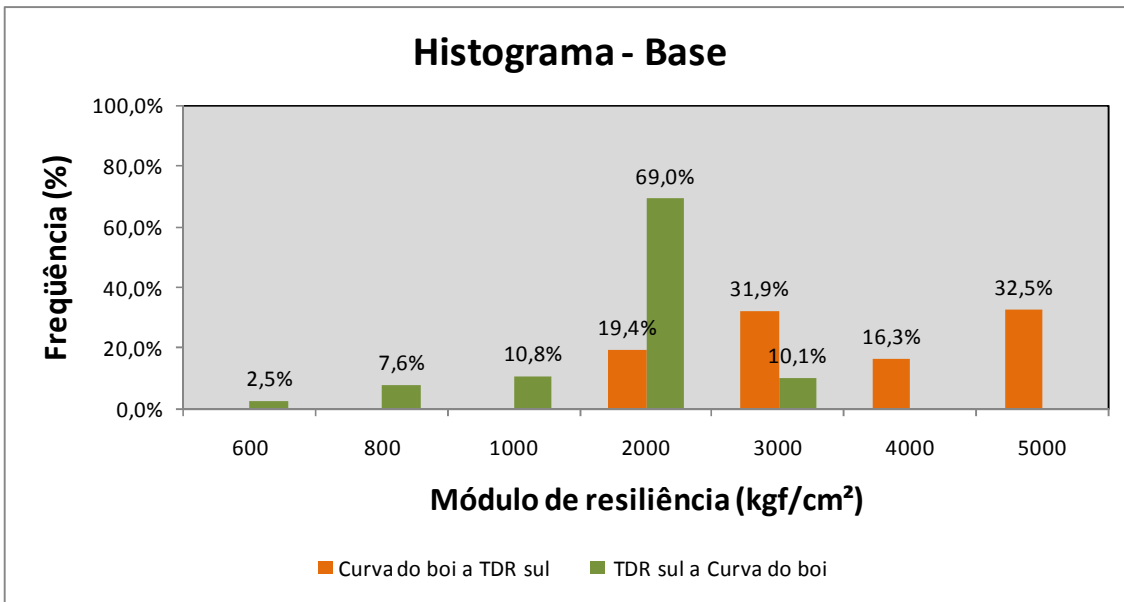


Figura 4.9: Histograma dos módulos de resiliência da Base para ambas as pistas analisadas neste estudo.

Na Figura 4.10 são apresentados os histogramas dos módulos de resiliência da Sub-base, para a pista esquerda 21,5% dos módulos são menores a 3.000 kgf/cm², 44,9% são próximos a 3.000 kgf/cm². Já na pista direita 40% das amostras apresentam módulos menores ou iguais a 5.000 kgf/cm², 30,6% entre os módulos de 5.000 a 10.000 kgf/cm² e 29,4% iguais a 10.000 kgf/cm².

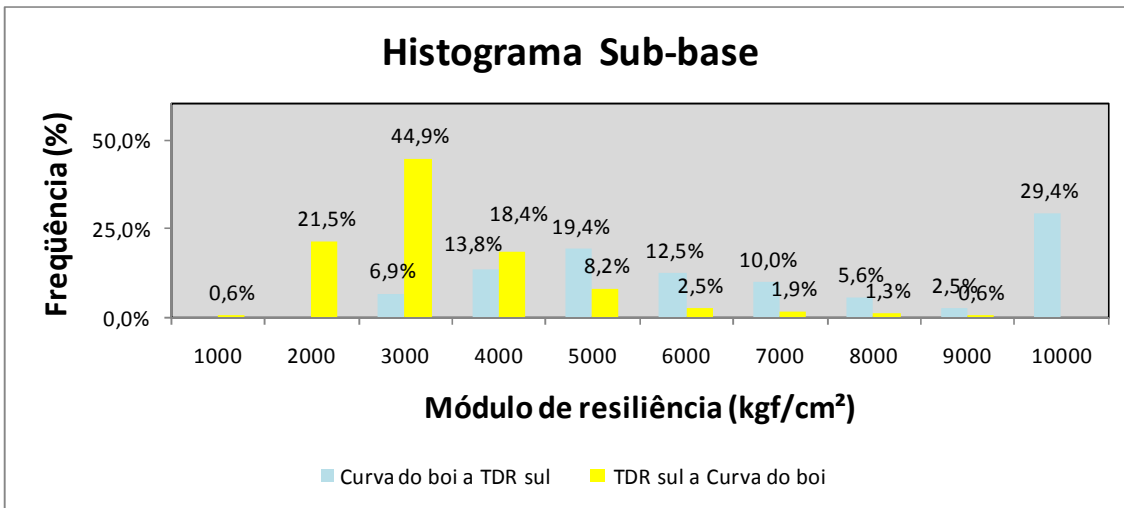


Figura 4.10: Histograma dos módulos de resiliência da Sub-Base para ambas as pistas analisadas neste estudo.

No Subleito os valores modulares do subleito da pista direita apresentam 94,4% dos módulos no intervalo de 2.000 kgf/cm² a 4.000 kgf/cm², tendo ainda, para a pista esquerda, 91,8% dos módulos no mesmo intervalo (ver Figura 4.11). Estes valores de módulo confirmam as baixas deflexões medidas pelo geofone mais afastado do ponto de aplicação da carga.

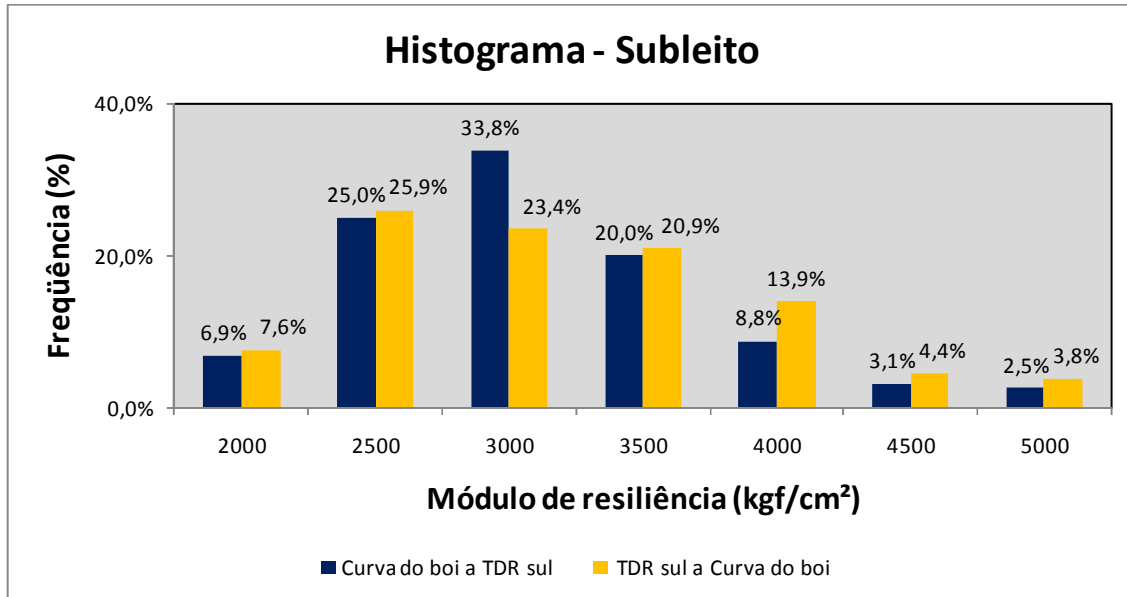


Figura 4.11: Histograma dos módulos de resiliência do Subleito para ambas as pistas analisadas neste estudo.

4.5 – Análise do Pavimento

Como foi descrito acima o método probabilístico de Rosenblueth foi usado na avaliação do pavimento. As avaliações foram feitas em cada segmento homogêneo. Para analisar o comportamento do pavimento foi necessário calcular a deflexão característica (PRO-011), a deformação específica de tração característica e tensão vertical característica. A formulas usadas foram:

$$D_C = 10^{(3,148 - 0,188 \log N)} \quad (4.1)$$

$$\varepsilon_t = \sqrt{\frac{9,07 \cdot 10^{-9} \cdot (1/M_R)^{-0,033}}{N}}^{2,65} \quad (4.2)$$

$$\sigma = c * \frac{M_R}{1 + 0,7 \log N} \quad (4.3)$$

Nas Tabelas 4.9 e 4.10 é mostrado um resumo das avaliações em por cada segmento homogêneo. No Anexo IV é mostrado às planilhas de calculo.

	SH01	SH02	SH03	SH04	SH05
Prob. da $D \leq D_{adm}$	100,00%	100,00%	100,00%	100,00%	100,00%
Prob. da $\epsilon t \leq \epsilon t_{adm}$	7,96%	100,00%	0,75%	97,49%	18,51%
Prob. da $\sigma v \leq \sigma v_{adm}$	100,00%	100,00%	100,00%	100,00%	100,00%

Tabela 4.9: Probabilidades obtidas pelo método de Rosenblueth nas Pistas direita da Rodovia estudada.

	SH01	SH02	SH03	SH04
Prob. da $D \leq D_{adm}$	99,93%	100,00%	100,00%	100,00%
Prob. da $\epsilon t \leq \epsilon t_{adm}$	0,00%	0,00%	0,03%	0,05%
Prob. da $\sigma v \leq \sigma v_{adm}$	100,00%	100,00%	100,00%	100,00%

Tabela 4.10: Probabilidades obtidas pelo método de Rosenblueth nas Pistas esquerda da Rodovia estudada.

4.6 – Níveis de Carga

A utilização de diferentes níveis de carga para o levantamento das deflexões poderia resultar em melhora significativa da análise do pavimento "para estimar a força e a vida restante dos pavimentos". Na Figura 4.12, são mostrados os efeitos e o comportamento das bacias deflectométricas com a aplicação destes níveis de carga (Y. Richard Kim, 2002).

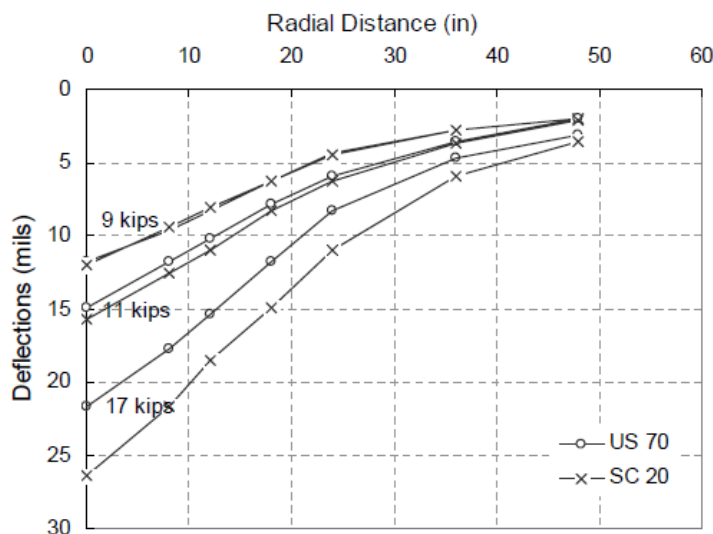


Figura 4.12: Diferentes efeitos da bacia de deflexões com aplicação de forças diferentes.

4.6.1 – Análise da Relação de Cargas com a deflexão

De acordo com os levantamentos obtidos em campo pode-se observar, como já era esperado, que com o aumento das cargas haveria um aumento das

deflexões. Através dos gráficos mostrados na Figura 4.13 podemos observar que o segmento homogêneo 2 e 4 apresentam uma menor deflexão comparado aos outros segmentos homogêneos, isso pode ter ocorrido por oxidação do material betuminoso pois, nestes mesmos segmentos os módulos de resiliência do revestimento apresentaram valores maiores que 5.000 kgf/cm².

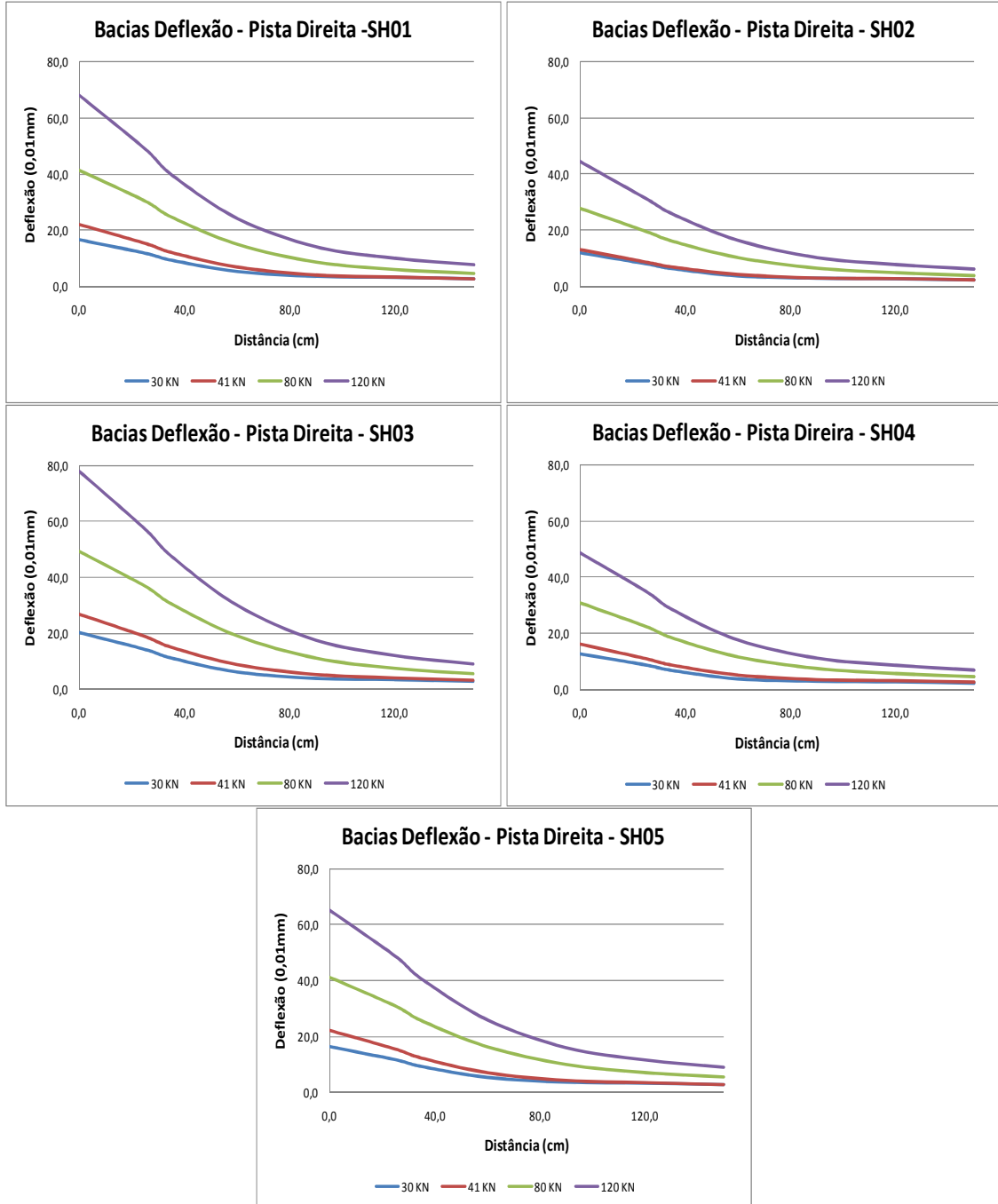


Figura 4.13: Bacias deflectométricas formadas pelas cargas indicadas

Analizando as bacias deflectométricas das pistas esquerda e das pistas direita podemos observar que as deflexões nas pistas esquerdas foram superiores a das pistas direitas, isso se deu por que foi duplicada e a pista antiga com esses anos já sofreu suas deformações (recalque e adensamento).

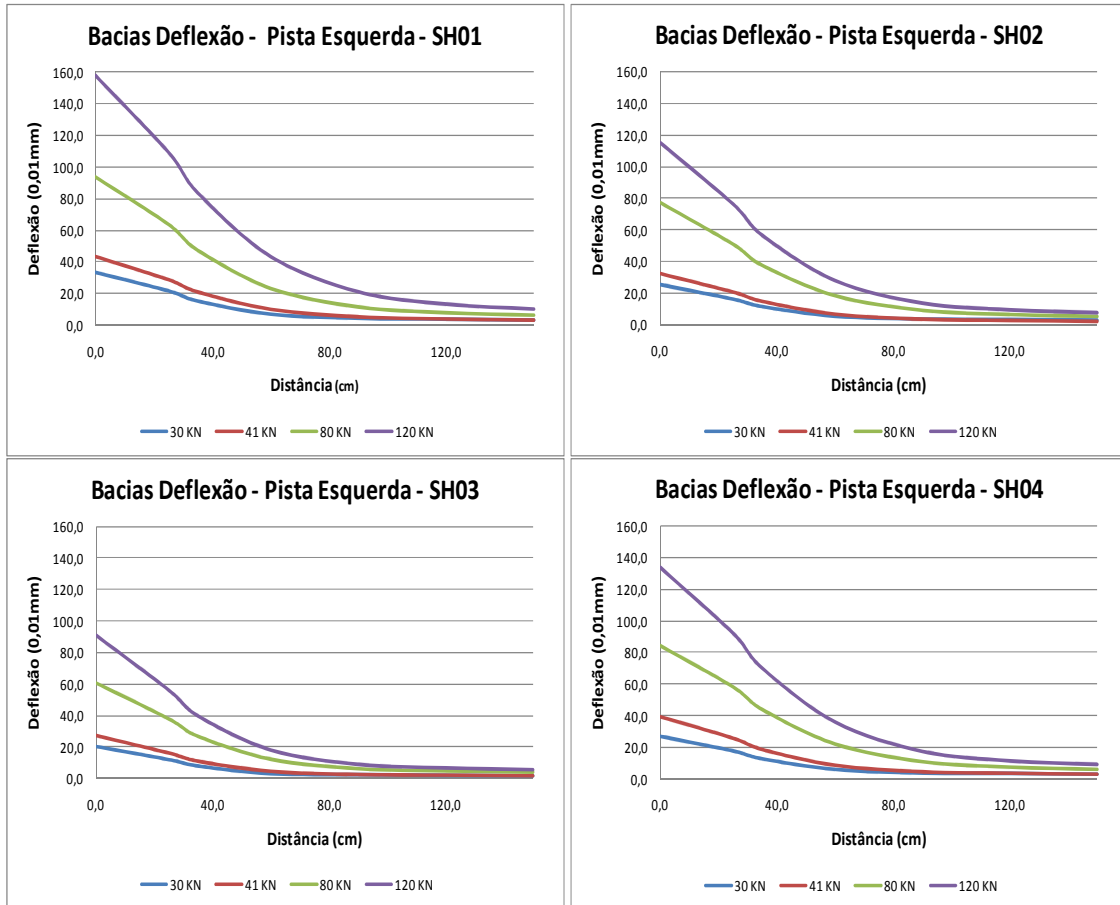


Figura 4.14: Bacias deflectométricas formadas pelas cargas indicadas

Como os levantamentos deflectométricos também foi possível avaliar sua correlação com a deflexão máxima com a carga usada nos levantamentos. A avaliação foi feita em cada segmento homogêneo. Nos gráficos apresentados nas Figuras 4.15 e 4.16 pode-se observar que o comportamento da deflexão máxima sobre o aumento de carga se aproxima muito do linear, sendo avaliado para cada segmento homogêneo.

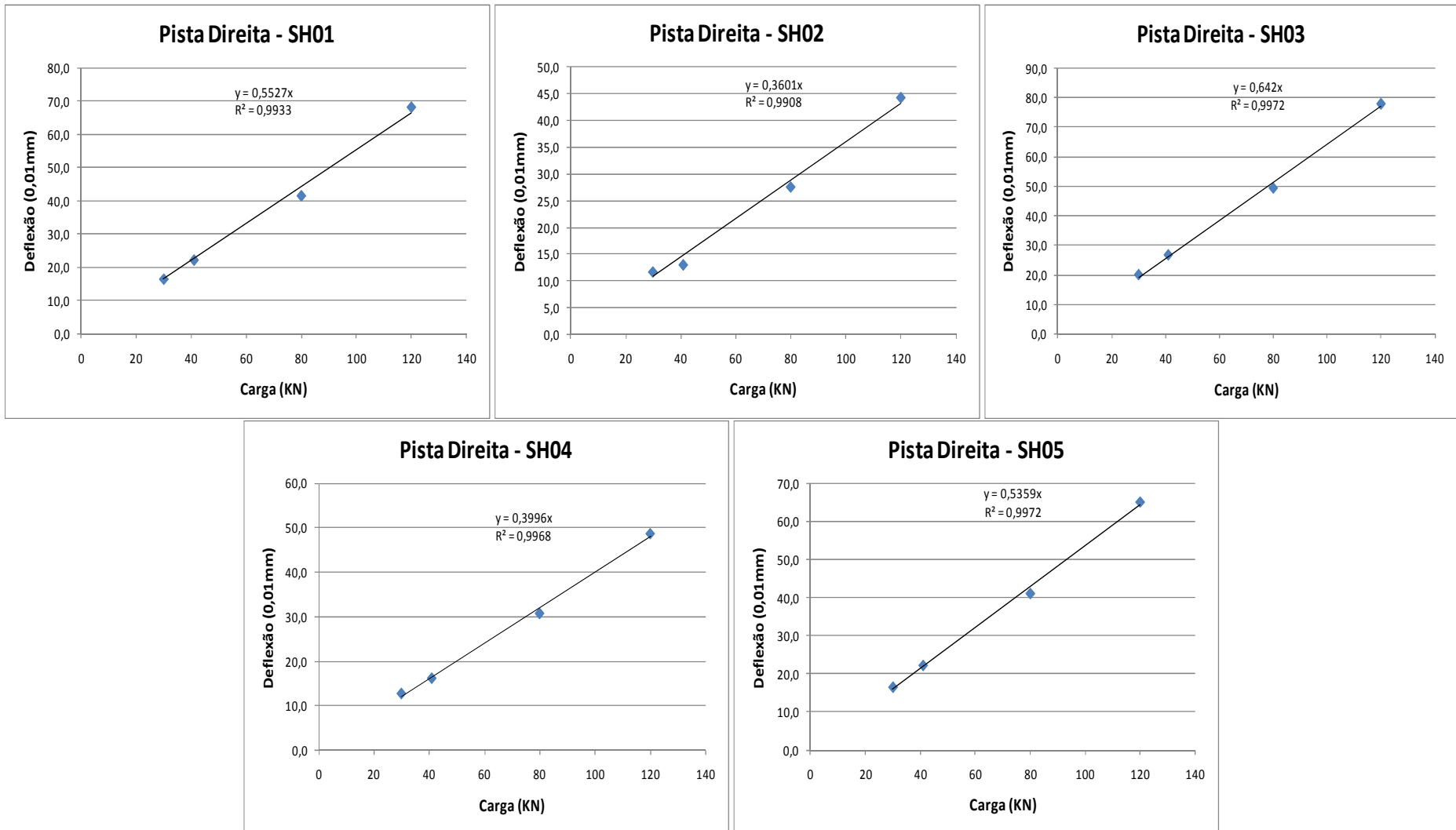


Figura 4.15: Análise da correlação das cargas com as deflexões médias máximas de cada segmento homogêneo nas pistas direitas.

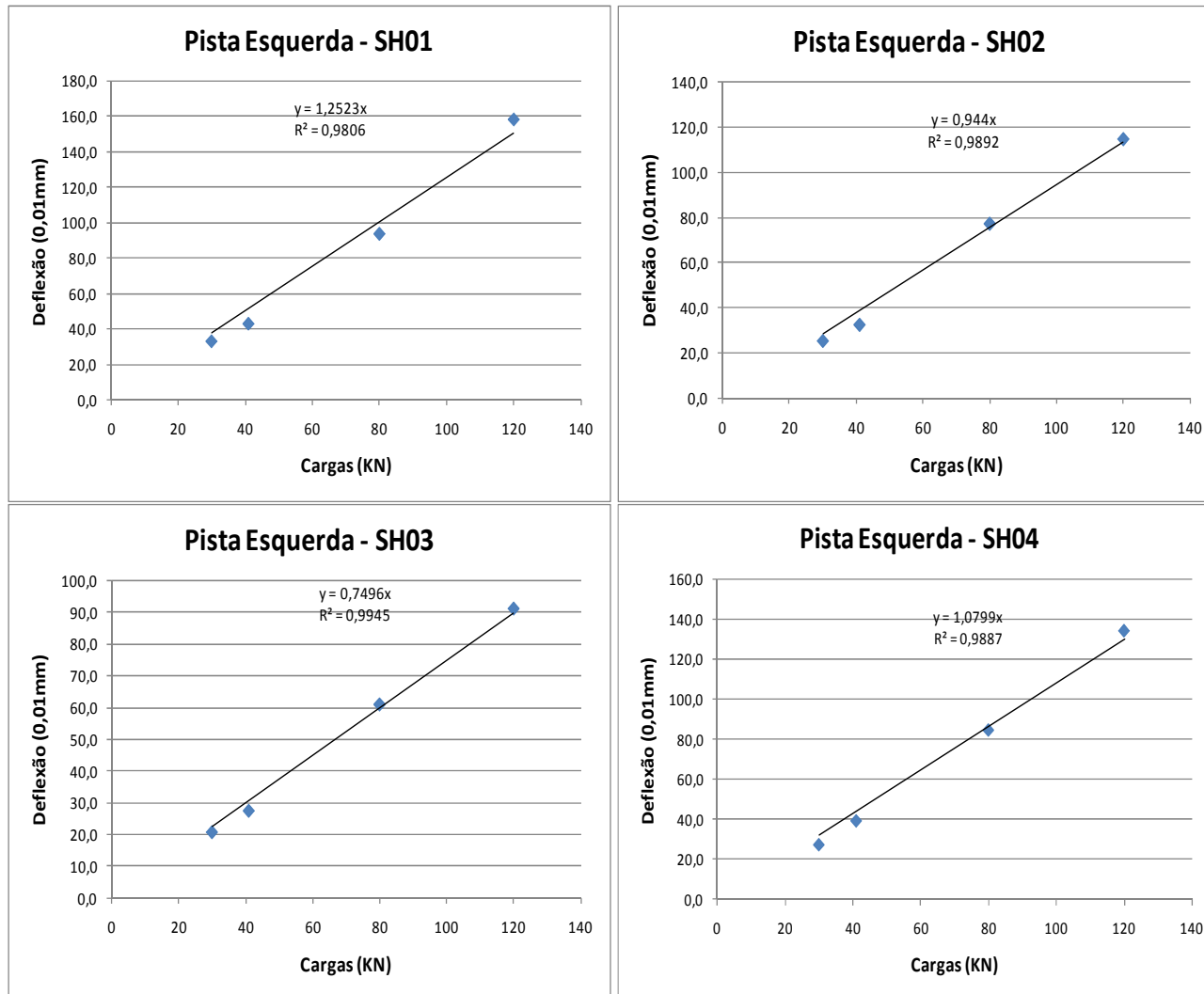


Figura 4.16: Análise da correlação das cargas com as deflexões médias máximas de cada segmento homogêneo nas pistas esquerdas.

Na Figura 4.17 podemos observar o comportamento dos módulos de resiliência do revestimento com relação às cargas aplicadas nos segmentos homogêneos das pistas direitas, os módulos do revestimento se ajustaram melhor em equações do segundo grau, mostrando que ele alcança o máximo valor do módulo em sua maioria quando aplicada uma carga próxima de 8,0 tf.

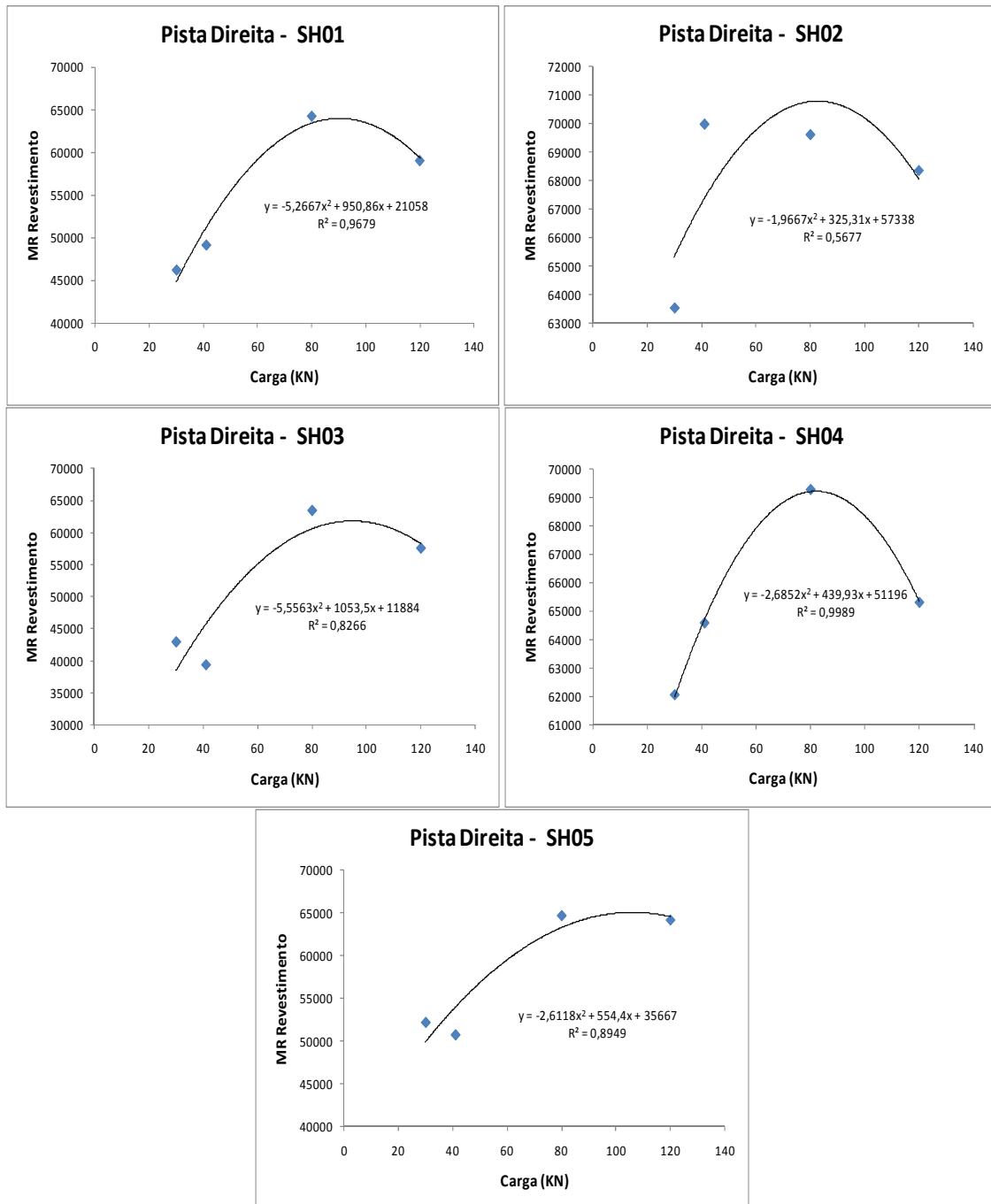


Figura 4.17: Análises das correlações entre as cargas e os módulos de resiliência do revestimento das pistas direitas.

Já nas pistas esquerdas, mostrado Figura 4.18, os módulos do revestimento se ajustaram melhor em equações exponenciais, diferente das pistas direitas o comportamento dos módulos aumentou com o aumento das cargas.

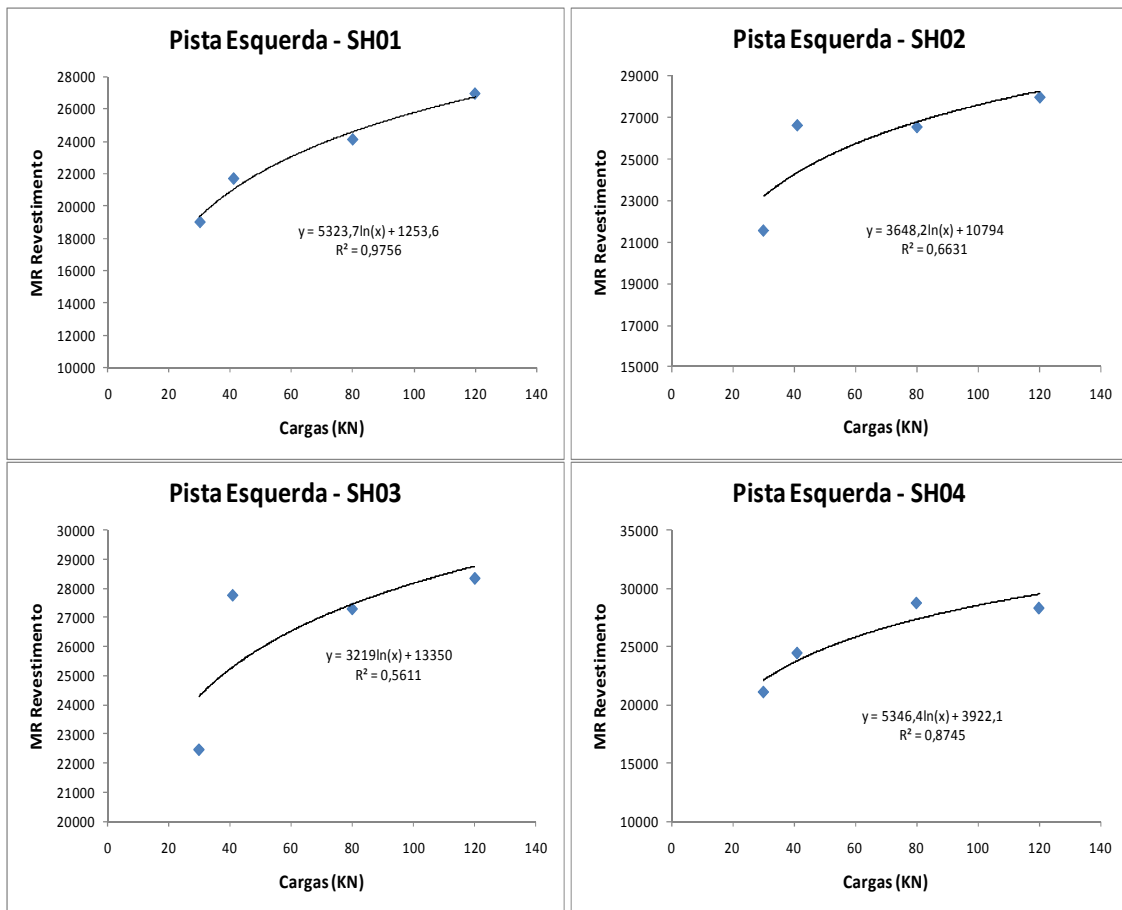


Figura 4.18: Análises das correlações entre as cargas e os módulos de resiliência do revestimento das pistas esquerdas.

Nas Figuras 4.19 e 4.20 podemos observar o comportamento dos módulos de resiliência da base com relação às cargas aplicadas nos segmentos homogêneos das pistas direitas e esquerdas, os módulos da base se ajustaram melhor em equações exponenciais, e sempre com os módulos diminuindo com o aumento das cargas.

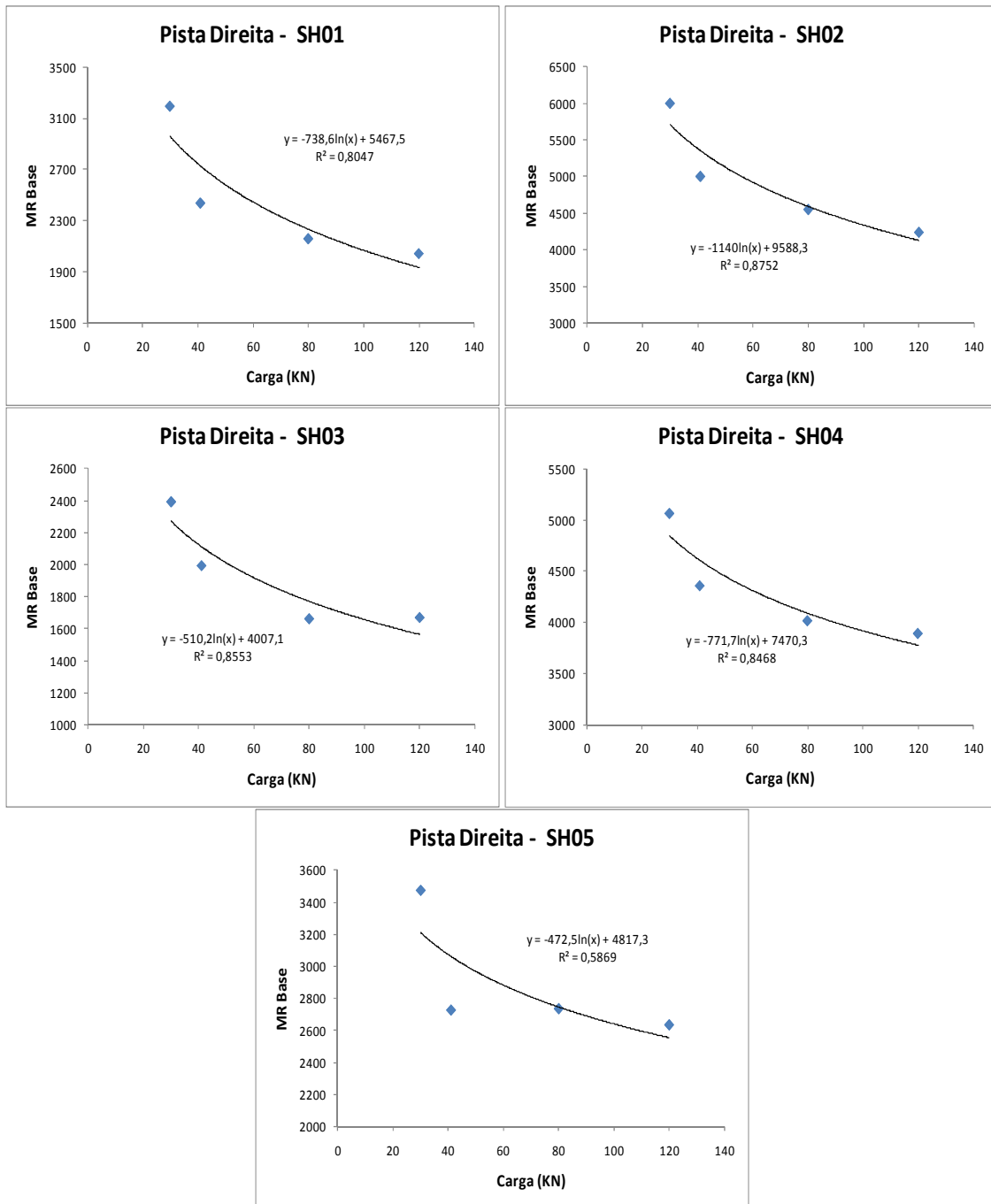


Figura 4.19: Análises das correlações entre as cargas e os módulos de resiliência de base das pistas direitas.

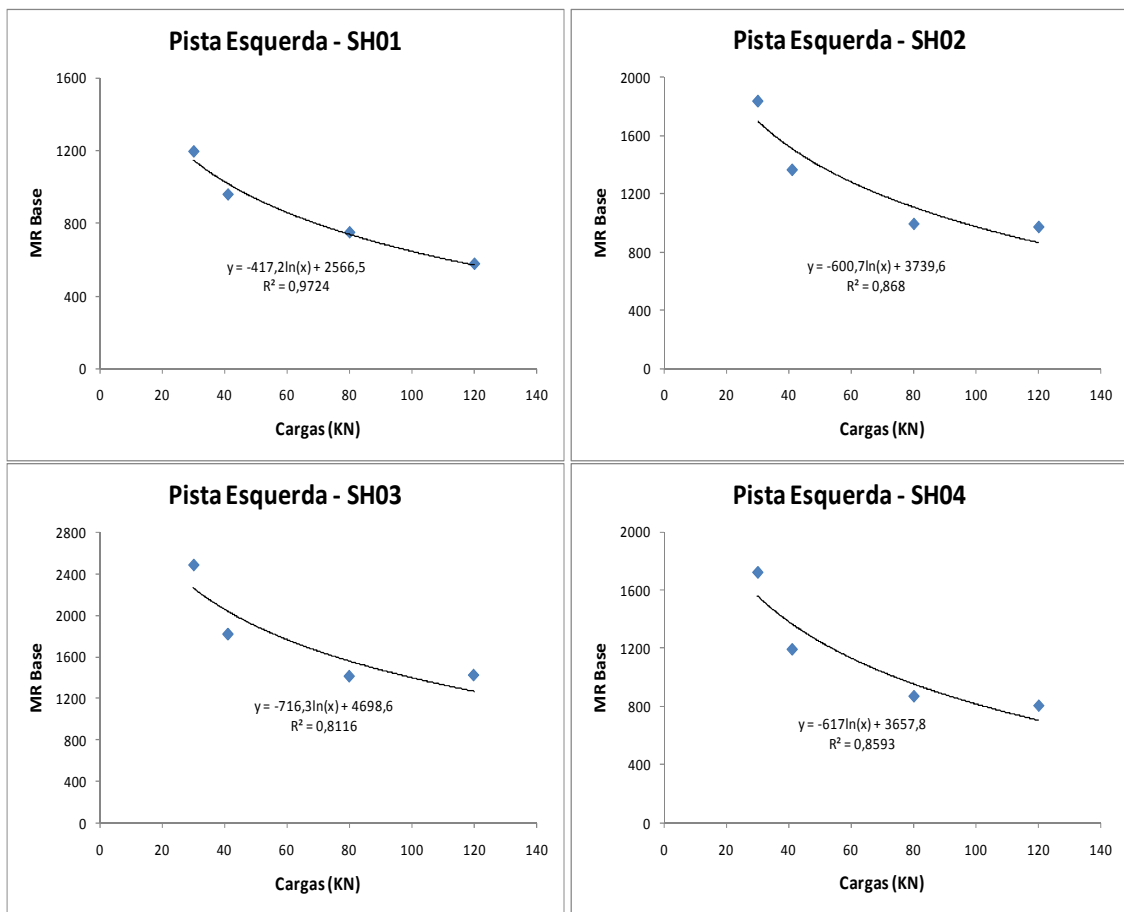


Figura 4.20: Análises das correlações entre as cargas e os módulos de resiliência de base das pistas esquerdas.

Nas Figuras 4.21 e 4.22 podemos observar o comportamento dos módulos de resiliência da sub-base com relação às cargas aplicadas nos segmentos homogêneos das pistas direita e esquerda. Os módulos da sub-base das pistas direita se ajustaram melhor em equações logarítmica já o da pista esquerda teve um ajuste melhor com equações exponenciais, e sempre com os módulos diminuindo com o aumento das cargas.

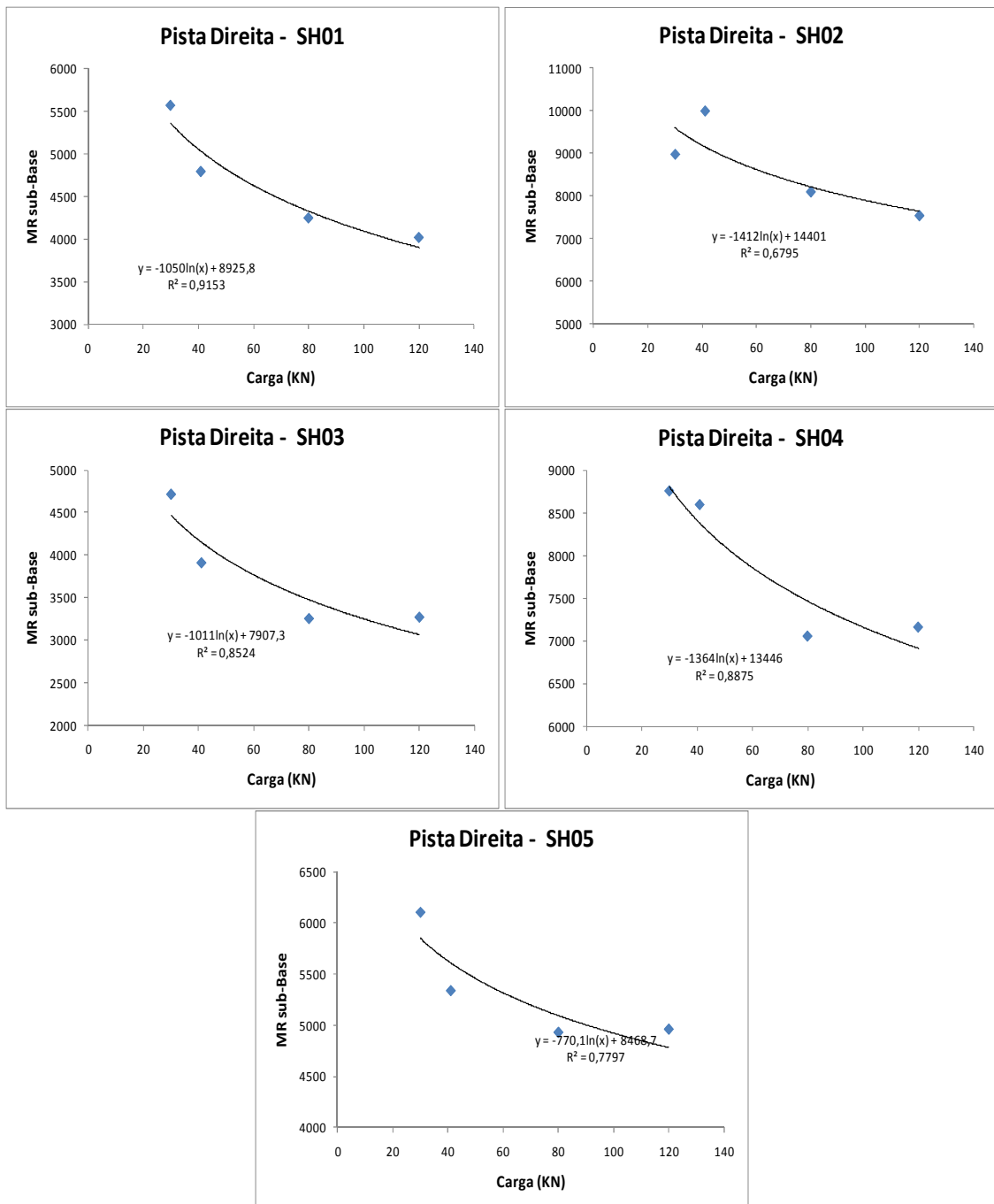


Figura 4.21: Análises das correlações entre as cargas e os módulos de resiliência de Sub-base das pistas direitas.

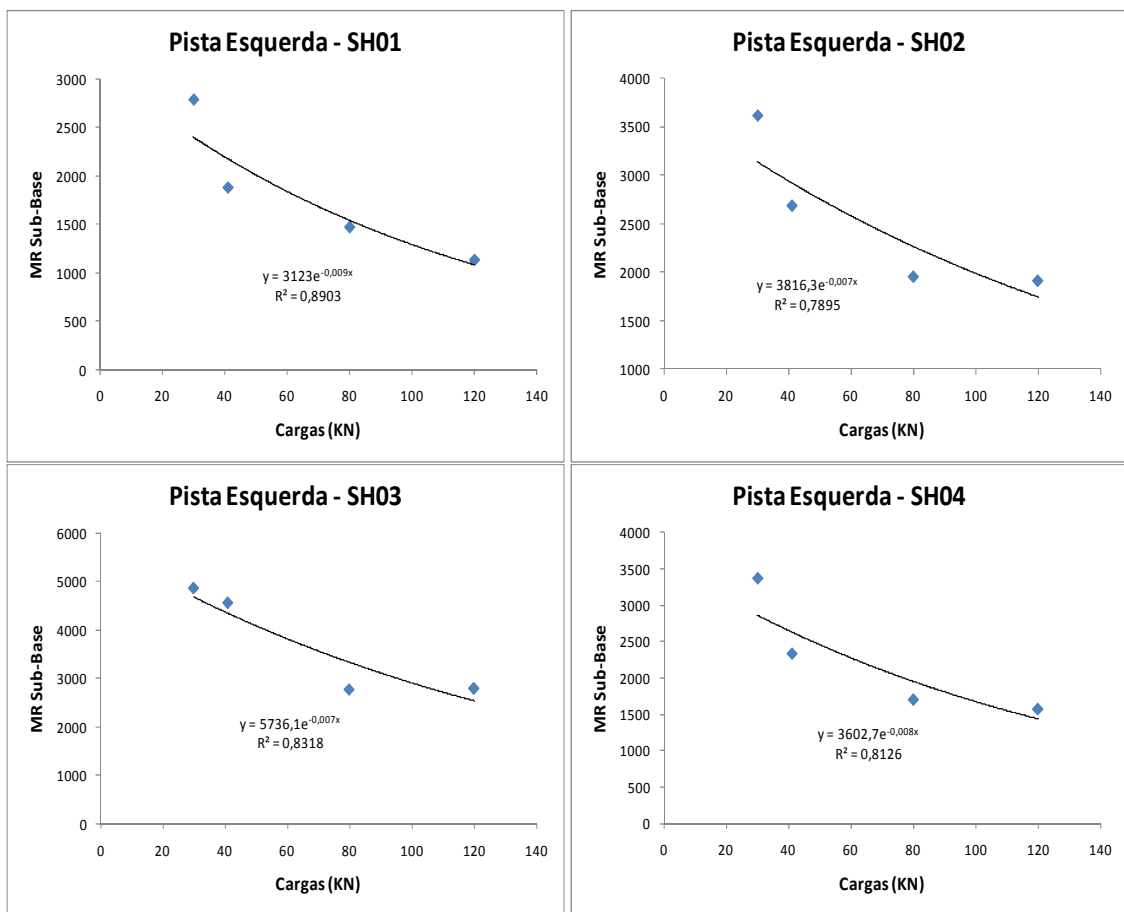


Figura 4.22: Análises das correlações entre as cargas e os módulos de resiliência de Sub-base das pistas esquerdas.

Nas Figuras 4.23 e 4.244 podemos observar o comportamento dos módulos de resiliência do subleito com relação às cargas aplicadas nos segmentos homogêneos das pistas direitas e esquerdas. Os módulos do subleito se ajustaram melhor em equações do segundo grau, mostrando que ele alcança o máximo valor do modulo em sua maioria quando aplicada uma carga entre 4,0 e 8,0 tf.

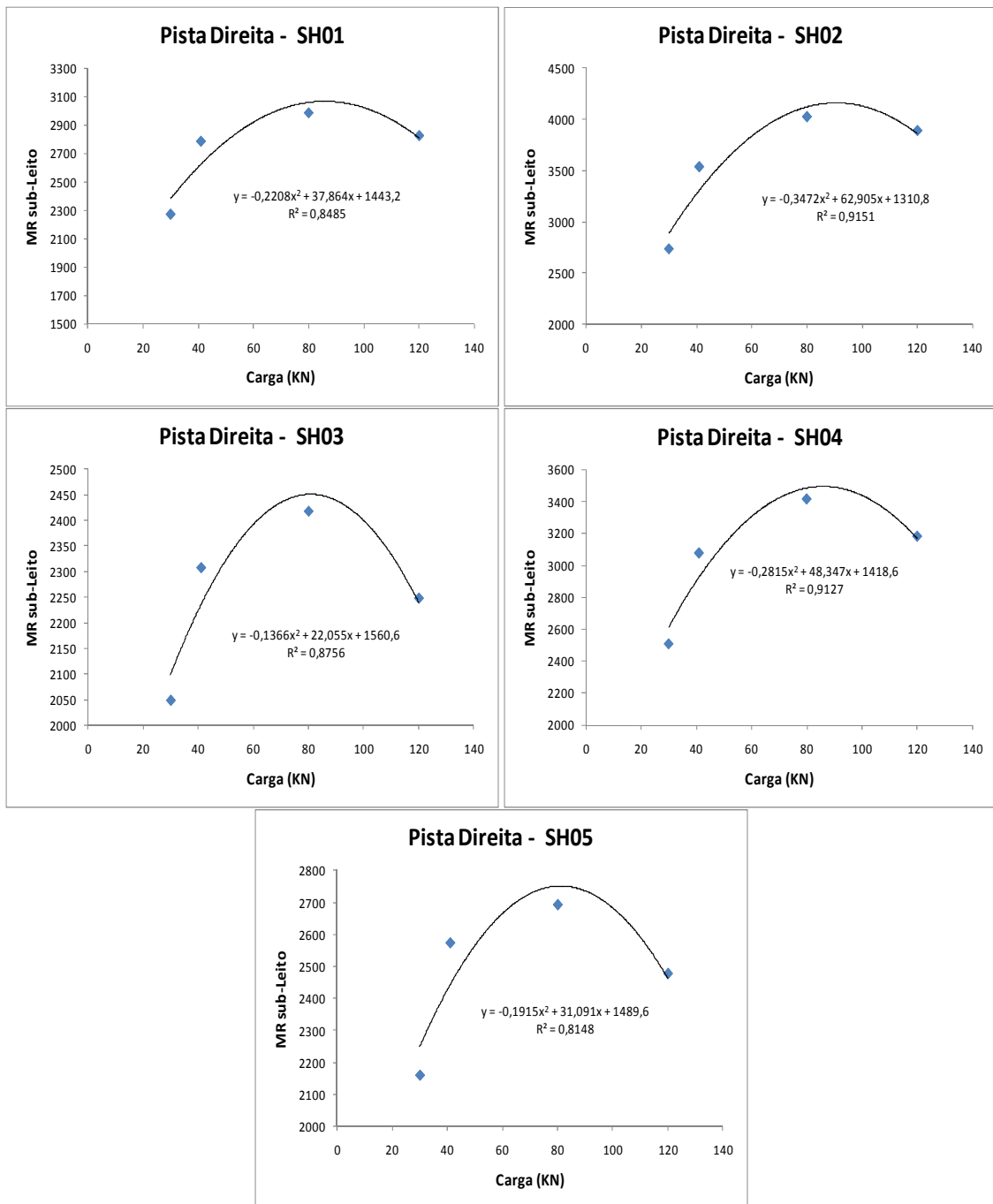


Figura 4.23: Análises das correlações entre as cargas e os módulos de resiliência de Sub-base das pistas direitas.

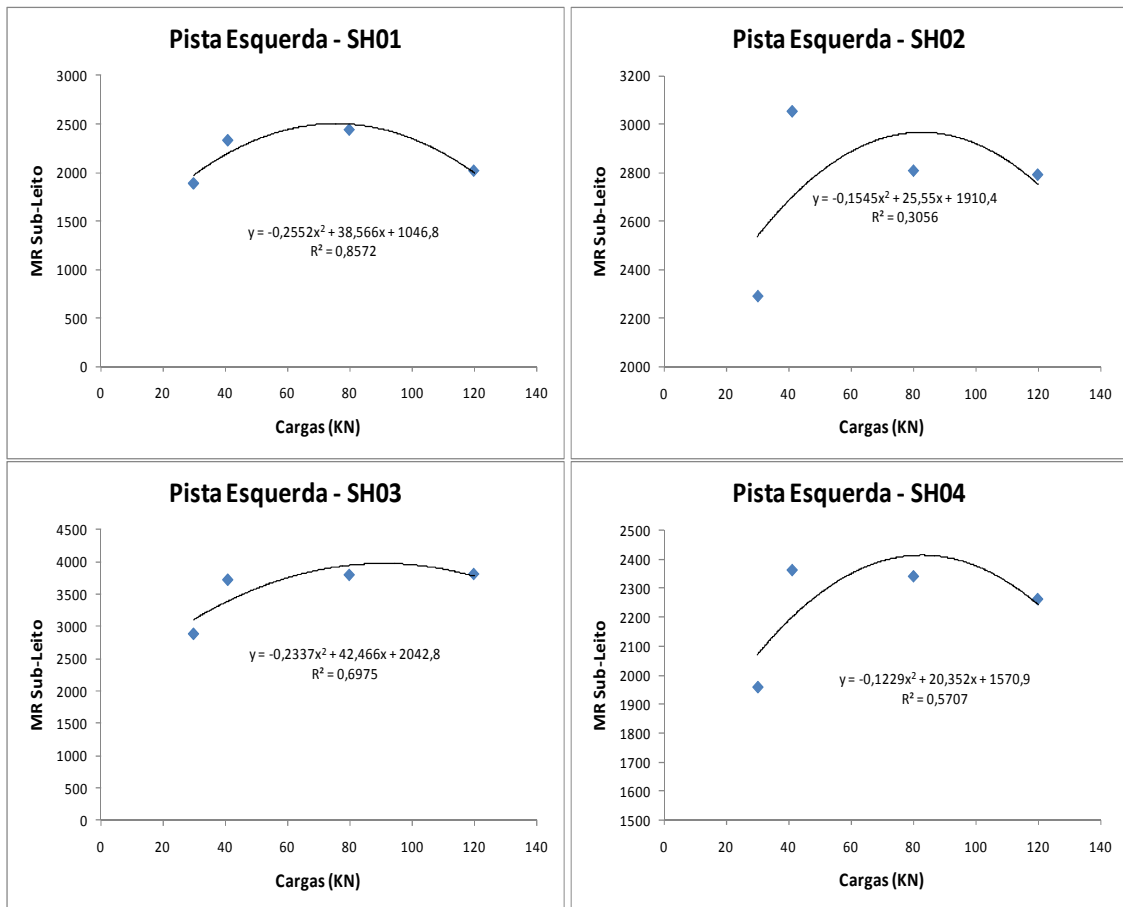


Figura 4.24: Análises das correlações entre as cargas e os módulos de resiliência de Sub-base das pistas esquerdas.

Capítulo V – Conclusões e Sugestões para pesquisas futuras

5.1 – Conclusões

Com base nos resultados obtidos neste estudo, pode-se concluir até o momento:

- Foi observado na retroanálise que com o aumento da carga a bacia de deflexão se ajustava melhor, necessitando uma quantidade menos interações para convergir no valor desejado.
- A pista direita, que é no sentido TDR sul a curva do boi, apresentou um módulo de resiliência menor, comparado com a pista no sentido inverso, isto ocorreu porque a pista nesse sentido é a mais antiga que a pista no outro sentido, ou seja, esta pista já sofreu adensamento e recalques em sua vida útil.
- Na avaliação através do método de probabilístico de Rosenblueth, a parte inferior do revestimento apresenta, na maioria dos segmentos homogêneos, uma distribuição normal baixa indicando possíveis problemas de fadiga. Esse problema pode ser corrigido através de reforço no pavimento. Nas avaliações feitas na parte superior do revestimento e no subleito, não há risco de ocorrer problemas.
- Na correlação feita entre as cargas aplicadas e a deflexão no ponto de aplicação das cargas pode-se observar, mesmo com poucos pontos, uma tendência de obedecer a um comportamento linear. Para ter uma análise mais precisa é necessário o levantamento de mais pontos.
- Na análise dos módulos de resiliência do revestimento foram identificados alguns pontos onde os modelos apresentam valores altos podendo se causado pela oxidação do material betuminoso, para se ter certeza do problema seria necessário um levantamento superficial dos defeitos.

5.2 – Sugestões para pesquisas futuras

- Realizar avaliação objetiva da superfície do pavimento pela norma DNIT 006/2003-PRO ou um levantamento de defeitos pela norma DNIT 007/2003-PRO que permite quantificar os defeitos de superfície;
- Realizar um número maior de levantamento de níveis de cargas diferente a fim de obter uma amostragem maior;

Referências

- AASHTO (1993). – Guide for Design of Pavement structures. Washington.
- ABNT – ASSOCIAÇÃO BRASILEIRA DE NORMAS TÉCNICAS. NBR 7207 (1982). Terminologia e Classificação de Pavimentação.
- ALBERNAZ, C. A.V. (1997). – Método Simplificado de Retroanálise de Módulos de Resiliência de Pavimentos Flexíveis Partir da Bacia de Deflexão. Tese de Mestrado, COPPE/UFRJ, Rio de Janeiro.
- BERNUCCI, L.B; MOTTA, L.M.G.; CERATTI, J.A.P; SOARES,, J.B. (2008). *Pavimentação Asfáltica: Formação Básica para Engenheiros*. Programa Pró-asfalto. PETROBRAS: ABEDA. Rio de Janeiro.
- DNER- DEPARTAMENTO NACIONAL DE ESTRADAS DE RODAGEM. DNER-PRO-011 (1979). Avaliação Estrutural dos Pavimentos Flexíveis. Volume 1 – Procedimento B.
- DNER- DEPARTAMENTO NACIONAL DE ESTRADAS DE RODAGEM. DNER-PRO-010 (1979). Avaliação Estrutural dos Pavimentos Flexíveis. Volume I – Procedimento A.
- DNER- DEPARTAMENTO NACIONAL DE ESTRADAS DE RODAGEM. DNER-PRO-159 (1985). Projeto de restauração de pavimento flexível e semi-rígido.
- DNER- DEPARTAMENTO NACIONAL DE ESTRADAS DE RODAGEM. DNER-PRO-269 (1994). Projeto de restauração de pavimento flexível – TECNAPAV.
- DNER- DEPARTAMENTO NACIONAL DE ESTRADAS DE RODAGEM. DNER PRO-273 (1996). Determinação das Deflexões Utilizando o Deflectômetro de Impacto Tipo Falling Weight Deflectometer (FWD).
- PINTO, S., PREUSSLER, E. S. (2002). Pavimentação Rodoviária – Conceitos Fundamentais sobre Pavimentos Flexíveis. Rio de Janeiro, Copiarte, Copiadora e Artes Gráficas.

SCARANTO, M. (2007). Procedimentos Aplicáveis na Definição de Medidas para a Manutenção de Pavimentos Urbanos com Revestimentos Asfálticos. Dissertação de Mestrado. Universidade de Passo Fundo. Faculdade de Engenharia e Arquitetura. Passo Fundo – RS. 162 p.

SPECHT, L.P. (2008). Restauração de Pavimentos. Disponível em <<http://www2.unijui.tche.br/~specht/rodo2/aula12.pdf>> acessado em 29 de junho de 2010.

Anexo I

Levantamento Deflectométricos com o FWD

Curva do Boi a TDR Sul - 30kN												
Estaca	Ext. (m)	Carga (kN)	D ₀ (10 ⁻² mm)	D ₂₅ (10 ⁻² mm)	D ₃₅ (10 ⁻² mm)	D ₆₀ (10 ⁻² mm)	D ₉₀ (10 ⁻² mm)	D ₁₂₀ (10 ⁻² mm)	D ₁₅₀ (10 ⁻² mm)	Temp. Ar (°C)	Temp. sup. (°C)	Man
0 + 0	0	30	17,5	13,5	10,9	6,5	4,8	4,1	3,5	28,3	32,7	37,6
0 + 2	2	30	22,3	16,1	12,7	7,3	4,7	4,3	3,5	30,2	33,4	33,0
0 + 14	14	30	21,1	15,0	11,5	6,3	4,2	3,9	3,2	29,9	32,7	33,0
1 + 0	20	30	17,6	13,6	10,9	6,6	4,4	4,1	3,4	28,3	32,7	37,6
2 + 14	54	30	16,7	12,0	9,7	6,1	4,3	4,2	3,5	29,5	33,3	33,0
3 + 0	60	30	18,0	13,7	11,1	6,6	4,4	4,2	3,5	28,2	32,8	37,6
4 + 12	92	30	34,4	24,0	18,1	9,4	4,8	4,0	3,1	28,5	32,9	37,6
4 + 16	96	30	18,5	13,6	10,6	5,7	3,3	3,1	2,6	29,4	33,2	33,0
6 + 15	135	31	30,9	20,5	14,6	6,7	3,8	3,8	3,2	28,6	32,5	37,6
6 + 17	137	30	18,2	10,9	7,8	3,6	2,9	2,7	2,3	29,6	33,3	33,0
8 + 14	174	30	14,3	9,7	7,4	3,9	3,5	2,8	2,3	29,7	33,3	33,0
8 + 17	177	30	17,8	12,0	9,2	5,0	2,9	2,6	2,1	28,5	33,1	37,6
10 + 16	216	31	15,1	10,8	8,6	5,1	3,2	3,2	2,7	30,0	32,7	33,0
10 + 18	218	30	18,0	11,4	8,1	3,9	3,3	2,8	2,4	28,7	33,6	37,6
12 + 16	256	26	14,4	10,0	7,6	3,8	3,2	2,8	2,4	28,9	33,7	37,6
13 + 0	260	33	16,0	11,7	9,3	5,3	3,3	3,3	2,8	30,3	33,6	33,0
14 + 16	296	30	18,8	13,3	10,2	5,4	3,9	3,5	3,0	28,9	33,3	37,6
15 + 0	300	30	14,6	9,9	7,6	4,0	3,8	3,0	2,5	30,6	32,7	33,0
16 + 17	337	29	17,3	12,3	9,4	5,1	3,9	3,4	3,0	29,3	33,6	37,6
17 + 2	342	30	16,4	11,3	8,8	5,0	3,9	3,5	3,1	31,0	33,7	33,0
18 + 15	375	30	16,2	11,2	8,6	4,7	3,5	3,1	2,6	29,6	33,5	37,6
18 + 17	377	30	15,5	11,1	8,7	4,9	3,8	3,5	2,8	30,7	33,2	33,0
20 + 15	415	32	18,4	12,9	9,9	5,3	3,3	3,3	2,7	29,2	32,4	37,6
20 + 15	415	30	16,2	10,6	7,9	3,9	2,5	2,5	2,2	30,8	33,3	33,0
22 + 13	453	28	16,2	11,4	8,8	4,9	3,9	3,5	3,0	29,1	33,6	37,6
22 + 18	458	30	15,4	10,6	7,9	3,8	2,9	2,7	2,3	30,9	33,8	33,0
24 + 12	492	30	18,7	12,6	9,5	4,7	2,6	2,6	2,1	28,6	33,6	37,6
24 + 19	499	30	17,1	11,6	8,5	4,0	2,2	2,2	1,9	30,9	32,9	33,0
26 + 12	532	30	15,7	10,8	8,2	4,3	2,7	2,7	2,3	28,8	33,1	37,6
26 + 18	538	30	18,7	13,0	10,0	5,1	2,9	2,8	2,4	30,8	32,3	33,0
28 + 12	572	30	19,4	12,4	8,9	3,9	2,8	2,2	2,0	28,6	33,2	37,6
28 + 19	579	30	15,3	10,7	8,4	4,9	3,1	2,9	2,3	30,8	32,2	33,0
30 + 15	615	30	22,7	15,8	12,0	6,7	4,0	3,5	2,8	28,8	32,8	37,6
30 + 19	619	31	19,9	14,0	10,5	5,2	2,7	2,6	2,2	30,6	32,6	33,0
32 + 14	654	30	13,5	9,5	7,6	4,5	3,0	2,8	2,3	28,8	32,5	37,6
33 + 0	660	34	15,4	10,6	8,1	4,2	2,4	2,3	2,0	30,7	33,4	33,0
34 + 13	693	30	14,4	10,1	8,0	4,6	3,1	3,0	2,4	30,2	32,8	33,0
34 + 19	699	30	18,3	12,9	9,7	4,6	2,4	2,3	2,1	28,7	32,7	37,6
36 + 12	732	30	14,8	10,5	8,2	4,8	3,2	3,0	2,5	29,9	31,6	33,0
36 + 19	739	30	19,6	13,2	9,9	5,1	2,9	2,6	2,4	28,6	32,4	37,6
38 + 12	772	30	15,3	10,7	8,3	4,5	2,9	2,9	2,4	30,0	31,8	33,0
39 + 1	781	30	14,8	10,5	8,2	4,7	3,2	3,1	2,6	28,5	32,1	37,6
40 + 13	813	31	12,7	8,8	6,8	3,7	2,4	2,4	2,1	30,1	32,4	33,0
40 + 18	818	30	12,5	8,8	6,9	3,9	3,4	2,9	2,4	28,5	32,4	37,6
42 + 15	855	26	9,5	5,9	4,4	3,1	2,8	2,4	2,1	30,0	31,8	33,0
42 + 16	856	30	14,8	10,7	8,5	5,0	3,3	3,2	2,5	28,6	32,5	37,6
44 + 10	890	30	15,6	11,1	8,7	5,0	2,9	2,7	2,2	28,6	32,5	37,6
44 + 16	896	30	10,5	6,9	5,2	2,6	2,2	2,0	1,7	30,2	32,7	33,0
46 + 9	929	33	14,9	9,9	7,4	3,6	2,8	2,2	1,9	28,7	32,1	37,6
46 + 18	938	30	13,1	8,7	6,7	3,5	2,8	2,4	2,0	30,7	32,7	33,0
48 + 13	973	30	10,0	6,0	4,4	2,5	2,1	2,0	1,8	28,6	33,0	37,6
48 + 19	979	31	17,6	13,6	11,2	6,9	4,2	3,5	2,7	30,9	32,4	33,0
50 + 17	1.017	30	13,2	8,3	5,8	2,7	2,6	2,5	2,2	28,3	31,8	37,6
51 + 3	1.023	27	10,8	7,4	5,8	3,6	3,5	3,3	2,9	31,0	33,0	33,0
52 + 16	1.056	30	13,6	10,2	8,4	5,6	4,0	3,7	3,1	28,4	32,1	37,6
53 + 18	1.078	30	10,0	7,0	5,5	3,3	2,9	2,7	2,3	31,2	32,8	33,0
55 + 0	1.100	30	11,1	7,6	6,0	3,6	3,1	2,9	2,5	28,0	31,4	37,6
55 + 0	1.100	30	10,0	7,0	5,6	3,5	3,3	3,0	2,5	28,2	31,5	37,6
56 + 11	1.131	30	9,3	5,9	4,5	2,6	2,5	2,3	2,1	28,3	32,8	37,6
56 + 13	1.133	30	10,6	7,1	5,4	3,0	2,8	2,4	2,1	31,2	33,2	33,0
58 + 12	1.172	30	10,8	7,1	5,4	3,0	2,9	2,7	2,2	28,2	32,9	38,7
58 + 16	1.176	30	9,7	6,3	4,7	2,5	2,2	2,1	1,8	31,5	33,3	33,0

Curva do Boi a TDR Sul - 30kN												
Estaca	Ext. (m)	Carga (kN)	D ₀	D ₂₅	D ₃₅	D ₆₀	D ₉₀	D ₁₂₀	D ₁₅₀	Temp. Ar (°C)	Temp. sup. (°C)	Man
			(10 ⁻² mm)									
60 + 11	1.211	30	12,0	7,5	5,5	2,8	2,6	2,4	2,0	27,9	32,8	38,7
60 + 19	1.219	29	9,4	6,1	4,6	2,4	2,2	2,0	1,7	31,5	33,5	33,0
62 + 15	1.255	30	10,4	6,7	5,0	2,5	2,3	2,2	1,9	27,6	32,7	38,7
62 + 17	1.257	30	9,5	6,1	4,6	2,6	2,5	2,3	1,9	31,3	33,7	33,0
64 + 17	1.297	26	9,3	6,0	4,5	3,3	2,5	2,3	2,1	30,9	33,9	33,0
64 + 19	1.299	30	12,2	7,8	5,6	2,6	2,5	2,2	1,9	28,0	31,8	38,7
66 + 16	1.336	30	10,8	6,9	5,4	3,0	2,5	2,3	1,9	30,5	32,7	33,0
66 + 18	1.338	30	9,9	6,2	4,8	2,8	2,6	2,4	2,0	28,0	32,1	38,7
68 + 15	1.375	30	10,6	7,3	5,9	3,6	2,9	2,7	2,2	29,8	33,0	33,0
68 + 18	1.378	31	10,5	6,9	5,4	3,1	2,8	2,5	2,1	28,4	32,7	38,7
70 + 17	1.417	28	10,5	7,1	5,6	3,3	3,1	3,0	2,6	28,4	32,0	38,7
70 + 17	1.417	33	11,4	7,8	6,2	3,7	2,5	2,4	2,0	29,7	31,8	33,0
72 + 17	1.457	26	10,1	6,6	5,2	2,8	2,5	2,3	2,1	29,7	31,9	33,0
73 + 0	1.460	30	10,7	6,8	5,1	2,7	2,5	2,2	2,0	28,5	32,0	38,7
74 + 16	1.496	30	13,2	8,6	6,8	3,8	2,4	2,3	1,8	29,8	31,2	33,0
75 + 0	1.500	30	14,6	10,3	8,3	4,9	3,0	2,6	2,0	28,8	30,9	38,7
76 + 16	1.536	30	9,3	6,2	4,9	2,6	2,3	2,0	1,7	29,8	31,7	33,0
77 + 0	1.540	32	13,4	8,9	7,0	3,8	2,1	2,1	1,7	28,4	32,6	38,7
78 + 16	1.576	30	10,5	7,1	5,7	3,5	2,9	2,8	2,4	29,8	32,0	33,0
79 + 0	1.580	35	12,5	8,4	6,5	3,5	2,0	2,0	1,7	28,5	33,9	0,0
80 + 14	1.614	32	11,6	7,8	6,3	4,0	2,9	2,9	2,3	28,8	33,8	38,7
80 + 14	1.614	30	9,8	6,9	5,7	3,6	2,9	2,8	2,4	30,1	31,8	33,0
82 + 13	1.653	30	11,9	8,1	6,8	4,6	3,4	3,4	2,8	28,6	32,0	39,0
82 + 19	1.659	30	10,9	7,6	6,1	3,9	3,5	3,1	2,7	30,5	32,1	33,0
84 + 11	1.691	30	11,0	7,3	6,0	4,0	3,1	3,1	2,6	28,5	32,7	39,0
85 + 15	1.715	30	11,4	7,5	6,1	3,8	3,0	2,8	2,4	30,9	32,2	33,0
86 + 9	1.729	30	14,1	9,8	7,9	4,9	3,5	3,3	2,8	28,6	32,1	39,0
87 + 18	1.758	30	15,0	9,5	7,4	4,1	2,6	2,3	1,8	31,1	32,2	33,0
88 + 12	1.772	30	10,0	6,5	5,1	3,0	2,4	2,4	2,0	28,6	33,0	39,0
90 + 0	1.800	31	16,8	11,7	9,3	5,3	3,5	3,1	2,5	31,3	33,2	33,0
90 + 14	1.814	30	13,9	9,2	7,2	4,2	2,7	2,5	2,1	28,4	32,4	39,0
92 + 7	1.847	32	10,7	7,4	5,9	3,4	2,2	2,1	1,8	31,8	33,4	33,0
92 + 15	1.855	30	13,6	9,7	8,2	5,2	3,3	2,9	2,2	28,6	33,0	39,0
94 + 12	1.892	30	19,7	13,4	10,2	5,3	3,1	2,7	2,3	32,0	33,5	33,0
94 + 17	1.897	30	14,5	10,5	8,3	4,6	2,8	2,6	2,0	28,6	33,8	39,0
96 + 13	1.933	30	20,5	14,6	11,6	6,2	3,7	3,2	2,7	32,1	33,7	33,0
97 + 0	1.940	30	21,0	15,1	12,1	7,0	4,5	3,8	3,0	28,6	33,2	39,0
98 + 16	1.976	31	24,9	17,2	13,4	7,0	4,1	3,6	3,1	31,8	33,9	33,0
99 + 0	1.980	30	20,6	15,4	12,7	7,9	4,8	4,0	3,2	28,4	33,6	39,0
100 + 14	2.014	30	21,3	14,7	11,4	5,9	3,7	3,5	3,0	31,4	33,7	33,0
100 + 17	2.017	30	22,3	15,7	12,4	7,1	4,8	4,0	3,2	28,1	34,3	39,0
102 + 15	2.055	30	24,6	17,4	13,7	7,6	4,5	3,8	3,2	31,1	33,0	33,0
103 + 1	2.061	33	18,9	13,7	11,1	7,2	4,7	4,3	3,3	27,2	32,1	35,0
104 + 12	2.092	30	24,3	16,1	11,6	5,4	3,2	3,0	2,6	31,4	34,1	33,0
105 + 16	2.116	26	9,8	6,2	4,6	2,3	2,2	2,1	2,0	27,2	32,3	35,0
106 + 14	2.134	30	12,9	8,4	6,4	3,5	2,9	2,5	2,1	31,3	33,8	33,0
107 + 18	2.158	30	12,3	8,5	6,7	3,8	2,7	2,7	2,2	27,4	31,8	35,0
108 + 13	2.173	30	13,0	8,9	6,9	4,0	3,0	2,8	2,3	31,2	33,2	33,0
110 + 10	2.210	30	13,6	9,7	7,8	4,6	3,1	3,0	2,4	27,1	30,8	35,0
110 + 12	2.212	30	12,6	9,3	7,6	4,7	3,3	3,0	2,4	31,4	33,9	33,0
112 + 15	2.255	30	13,4	9,3	7,2	4,2	3,5	2,9	2,5	27,1	31,9	35,0
112 + 16	2.256	30	13,6	9,2	7,2	4,0	2,8	2,8	2,3	31,8	34,2	33,0
114 + 11	2.291	30	13,7	9,5	7,3	4,0	2,7	2,7	2,3	32,3	34,5	33,0
114 + 18	2.298	30	12,7	8,1	6,1	3,2	2,9	2,5	2,1	26,8	32,4	35,0
116 + 8	2.328	30	11,1	7,9	6,1	3,2	2,7	2,4	2,1	32,6	35,6	33,0
116 + 19	2.339	30	12,1	7,9	6,2	3,5	2,5	2,3	2,0	27,0	31,9	35,0
118 + 12	2.372	30	10,9	7,6	5,9	3,1	2,8	2,3	2,0	32,7	35,6	33,0
118 + 17	2.377	30	9,8	6,6	5,1	2,7	2,2	2,1	1,8	26,8	32,5	35,0
120 + 15	2.415	30	13,6	9,4	7,1	3,8	3,5	3,0	2,6	32,5	36,4	33,0
120 + 17	2.417	30	12,0	8,3	6,6	3,9	3,2	2,9	2,5	26,7	32,2	35,0
122 + 11	2.451	30	12,5	8,6	6,7	3,9	3,5	3,2	2,7	32,4	35,9	33,0
123 + 1	2.461	30	15,3	10,9	8,7	5,1	3,5	3,4	2,8	27,1	31,7	35,0

Curva do Boi a TDR Sul - 30kN												
Estaca	Ext. (m)	Carga (kN)	D ₀	D ₂₅	D ₃₅	D ₆₀	D ₉₀	D ₁₂₀	D ₁₅₀	Temp. Ar	Temp. sup.	Man
			(10 ⁻² mm)	(°C)	(°C)							
124 + 11	2.491	30	12,3	8,8	7,0	4,2	3,2	3,2	2,7	32,2	34,2	33,0
125 + 1	2.501	28	14,2	9,6	7,4	4,0	3,8	2,9	2,4	27,5	32,2	35,0
126 + 11	2.531	30	12,4	8,8	6,9	3,9	3,5	3,0	2,6	32,3	35,6	33,0
126 + 19	2.539	30	10,4	7,0	5,3	2,9	2,7	2,5	2,2	27,9	32,2	35,0
128 + 11	2.571	30	12,0	8,1	6,4	3,8	2,8	2,8	2,3	32,0	35,0	33,0
128 + 18	2.578	30	13,5	9,4	7,3	4,1	2,9	2,8	2,3	27,8	32,0	35,0
130 + 15	2.615	30	16,3	10,9	8,2	4,1	2,9	2,6	2,3	31,8	35,4	33,0
130 + 16	2.616	31	18,7	13,2	10,1	5,3	3,2	3,0	2,5	28,0	31,0	35,0
132 + 15	2.655	29	16,9	11,2	8,6	4,6	2,9	2,8	2,4	28,0	32,1	35,0
132 + 16	2.656	30	14,1	9,9	7,6	3,8	2,4	2,4	2,1	31,5	33,8	33,0
134 + 13	2.693	30	17,4	12,6	9,9	5,1	3,0	2,7	2,4	28,0	32,3	35,0
134 + 16	2.696	30	17,9	12,3	9,2	4,5	2,6	2,5	2,2	31,1	33,0	33,0
136 + 8	2.728	30	19,5	13,1	10,2	5,9	3,9	3,5	3,0	27,7	32,1	35,0
136 + 15	2.735	30	16,6	11,7	9,0	5,0	3,3	3,2	2,7	31,0	32,9	33,0
138 + 10	2.770	30	21,0	14,1	10,8	6,0	3,8	3,4	2,8	27,5	32,0	35,0
138 + 15	2.775	30	16,4	11,7	9,1	5,0	3,2	3,0	2,6	30,9	33,5	33,0
140 + 11	2.811	30	10,1	7,1	5,8	3,4	2,2	2,1	1,8	27,6	32,2	35,0
140 + 16	2.816	30	13,3	9,8	8,0	4,7	3,1	2,8	2,3	30,6	33,0	33,0
142 + 14	2.854	30	16,1	11,9	9,5	5,5	3,4	3,0	2,4	30,5	33,1	33,0
142 + 15	2.855	30	17,3	13,3	10,9	6,7	4,2	3,7	2,8	27,8	32,6	35,0
144 + 13	2.893	30	19,5	14,0	11,2	6,5	3,9	3,5	2,8	30,1	32,4	33,0
144 + 18	2.898	30	14,7	10,7	8,7	5,4	3,8	3,5	2,8	27,6	32,6	35,0
146 + 12	2.932	31	17,2	12,1	9,4	5,4	3,9	3,5	2,9	29,9	32,5	33,0
146 + 19	2.939	31	13,9	10,0	7,9	4,7	3,3	3,3	2,7	27,9	32,8	35,0
148 + 14	2.974	30	12,8	9,2	7,2	4,4	3,7	3,7	3,2	29,6	31,8	33,0
148 + 17	2.977	29	12,2	9,0	7,5	5,0	3,9	3,9	3,3	28,1	33,8	35,0
150 + 18	3.018	30	15,5	11,4	9,2	5,7	4,0	3,9	3,2	28,6	32,9	35,0
150 + 19	3.019	30	13,1	9,2	7,2	4,2	3,2	3,2	2,9	29,2	32,6	33,0
152 + 16	3.056	30	13,3	9,4	7,7	4,9	4,5	4,0	3,6	28,8	33,3	35,0
153 + 1	3.061	29	20,5	14,2	10,7	5,4	3,9	3,8	3,4	28,8	31,8	33,0
154 + 15	3.095	30	12,5	8,9	7,4	4,8	4,5	4,0	3,5	28,8	32,6	35,0
155 + 11	3.111	30	17,9	11,9	8,8	4,2	3,5	2,7	2,5	28,5	31,0	33,0
156 + 17	3.137	30	13,6	9,4	7,3	3,9	2,4	2,4	2,1	28,5	32,3	35,0
158 + 9	3.169	30	15,5	10,4	8,0	4,1	2,4	2,3	2,0	28,3	32,2	35,0
158 + 9	3.169	30	16,1	11,1	8,2	4,2	2,7	2,6	2,1	28,3	30,4	33,0
160 + 10	3.210	30	15,1	10,8	8,7	5,2	3,9	3,6	3,1	28,1	32,4	35,0
160 + 12	3.212	30	16,8	12,5	10,0	5,8	4,0	3,5	2,9	28,1	30,3	33,0
162 + 9	3.249	30	17,7	12,7	9,9	5,5	3,7	3,3	2,8	28,1	30,4	33,0
162 + 16	3.256	30	20,6	14,7	11,4	6,1	3,7	3,3	2,8	28,1	32,0	35,0
164 + 11	3.291	30	20,4	16,7	14,9	10,1	6,4	5,0	3,9	28,0	29,7	33,0
164 + 16	3.296	30	27,2	21,6	17,7	10,2	6,0	4,5	3,5	28,0	32,1	35,0
166 + 12	3.332	30	20,2	14,1	10,7	5,8	3,8	3,4	2,9	27,7	31,6	35,0
166 + 14	3.334	30	19,5	13,5	10,2	5,4	3,5	3,4	2,9	28,2	30,3	33,0
168 + 13	3.373	30	16,8	11,6	9,1	5,3	3,4	3,3	2,8	27,8	30,7	35,0
168 + 16	3.376	30	17,7	12,0	9,0	4,9	3,3	3,1	2,5	28,3	30,1	33,0
170 + 12	3.412	30	17,7	12,8	10,2	6,1	4,3	3,9	3,2	28,5	30,3	33,0
170 + 14	3.414	30	13,6	9,8	8,0	5,0	3,6	3,3	2,7	27,9	31,3	35,0
172 + 14	3.454	30	17,5	12,8	10,1	5,8	4,2	3,8	3,1	28,6	30,3	33,0
173 + 0	3.460	31	16,9	12,0	9,5	5,5	3,7	3,3	2,8	27,7	31,9	35,0
174 + 15	3.495	30	15,3	10,8	8,4	4,6	3,3	3,0	2,9	28,9	29,8	33,0
175 + 0	3.500	31	17,1	12,5	9,7	5,4	3,4	3,4	2,9	27,6	31,7	35,0
176 + 16	3.536	30	13,2	7,3	5,4	3,1	2,7	2,5	2,2	29,2	29,5	33,0
177 + 0	3.540	30	9,4	6,1	4,9	3,2	2,7	2,6	2,1	27,3	31,6	35,0
178 + 16	3.576	30	22,4	17,3	14,3	9,1	6,2	5,1	4,1	29,5	29,1	33,0
179 + 0	3.580	30	20,4	16,3	13,2	7,8	4,5	3,3	2,5	27,0	30,8	35,0
181 + 0	3.620	30	17,1	12,5	9,9	5,6	3,2	2,6	2,1	26,9	29,9	35,0
181 + 1	3.621	30	16,6	11,5	9,3	5,4	3,3	2,6	2,0	30,0	28,5	33,0
182 + 0	3.640	30	19,6	13,4	10,2	5,2	2,7	2,6	1,9	27,3	30,7	35,0
182 + 0	3.640	30	18,4	14,7	12,6	8,3	5,2	3,7	2,8	30,7	27,5	33,0

Curva do Boi a TDR Sul - 41kN												
Estaca	Ext. (m)	Carga (kN)	D ₀ (10 ⁻² mm)	D ₂₅ (10 ⁻² mm)	D ₃₅ (10 ⁻² mm)	D ₆₀ (10 ⁻² mm)	D ₉₀ (10 ⁻² mm)	D ₁₂₀ (10 ⁻² mm)	D ₁₅₀ (10 ⁻² mm)	Temp. Ar (°C)	Temp. sup. (°C)	Man
0 + 0	0	42	30,4	22,7	18,3	10,9	6,5	5,1	4,0	25,8	28,5	34,0
0 + 18	18	41	17,3	13,1	10,6	6,4	4,2	3,5	2,9	26,0	28,9	34,0
1 + 16	36	41	30,9	21,7	17,3	10,3	5,9	4,1	3,1	26,9	29,8	37,0
2 + 16	56	40	19,1	13,8	11,4	7,7	5,4	4,7	3,7	26,0	29,1	34,0
4 + 0	80	40	32,7	22,1	17,1	9,8	5,9	4,7	3,7	27,0	30,4	37,0
4 + 17	97	42	24,3	17,7	14,0	7,5	3,9	3,0	2,4	26,0	29,0	34,0
5 + 15	115	42	23,6	18,2	14,7	8,2	4,6	3,8	2,9	27,4	30,7	37,0
6 + 18	138	41	20,5	14,1	10,6	5,1	2,9	2,8	2,4	26,0	28,9	34,0
7 + 19	159	41	24,4	18,1	14,9	9,1	5,1	3,7	2,7	27,5	31,0	37,0
8 + 15	175	41	17,9	11,6	9,3	5,5	3,5	2,9	2,5	26,1	28,8	34,0
9 + 19	199	41	22,2	16,3	13,0	7,5	4,4	3,7	3,1	27,9	31,1	37,0
10 + 19	219	41	19,1	13,4	10,8	6,6	3,8	3,4	2,7	26,2	28,7	34,0
11 + 19	239	41	15,0	10,3	8,2	5,1	3,7	3,7	3,2	28,0	31,3	37,0
12 + 16	256	42	20,4	14,3	11,4	6,6	4,2	3,7	3,1	26,4	28,8	34,0
13 + 17	277	41	20,7	15,0	11,9	7,0	4,4	3,8	3,2	28,3	31,4	37,0
15 + 0	300	41	20,7	12,5	9,6	5,3	3,4	3,1	2,6	26,2	28,9	34,0
15 + 18	318	40	18,7	12,4	9,6	5,5	3,6	3,4	2,7	27,9	30,9	37,0
17 + 2	342	41	20,7	14,4	11,3	6,7	4,3	3,8	3,1	26,5	29,6	34,0
17 + 19	359	42	24,9	17,1	13,3	7,7	5,0	4,5	3,8	27,8	31,3	37,0
19 + 2	382	41	19,2	13,3	10,7	6,4	4,0	3,4	2,8	26,4	29,2	34,0
19 + 15	395	41	23,5	15,4	12,1	6,8	4,1	3,5	3,1	27,6	31,4	37,0
20 + 19	419	41	23,5	15,8	12,1	6,3	3,3	2,5	2,1	26,4	29,3	34,0
21 + 15	435	40	22,0	14,2	10,6	5,3	2,7	2,4	1,9	27,5	31,5	37,0
23 + 0	460	41	18,6	12,5	9,6	5,1	3,1	2,8	2,3	26,3	29,1	34,0
23 + 12	472	41	18,0	12,5	9,9	5,7	3,5	3,1	2,5	27,3	31,3	37,0
24 + 15	495	41	21,5	14,3	10,8	5,3	2,8	2,3	1,9	26,6	29,4	34,0
25 + 14	514	42	22,5	15,7	12,1	6,5	3,3	2,6	2,1	27,5	32,0	37,0
26 + 19	539	41	22,9	16,2	12,7	6,8	3,7	3,0	2,4	26,9	29,5	34,0
27 + 18	558	41	27,0	18,9	14,7	8,0	4,1	3,1	2,4	27,6	31,3	35,6
28 + 18	578	41	21,9	15,5	12,5	7,4	4,3	3,3	2,6	26,8	29,4	34,0
29 + 19	599	42	19,5	13,7	10,5	5,6	2,9	2,4	1,9	27,8	30,9	35,6
31 + 1	621	41	24,0	16,7	12,9	6,8	3,4	2,5	2,0	26,5	29,7	34,0
32 + 0	640	41	20,8	15,2	12,3	7,2	4,0	3,0	2,4	27,8	31,0	35,6
32 + 19	659	41	18,1	13,0	10,3	5,8	3,2	2,6	2,0	26,3	30,0	34,0
33 + 15	675	41	21,2	15,1	12,0	6,9	4,0	3,0	2,3	27,7	31,2	35,6
34 + 17	697	41	18,1	12,6	10,2	6,3	4,1	3,3	2,6	26,4	29,4	34,0
35 + 11	711	40	27,3	17,1	13,0	6,9	4,2	3,5	2,7	27,8	31,0	35,6
37 + 1	741	41	19,1	13,7	11,1	6,7	4,1	3,4	2,4	26,3	29,2	34,0
37 + 8	748	40	22,5	14,5	11,3	6,4	3,9	3,3	2,6	27,9	31,1	35,6
38 + 19	779	41	19,8	14,1	11,3	6,9	4,1	3,4	2,5	26,4	29,3	34,0
39 + 13	793	42	20,8	14,9	12,0	7,0	4,1	3,1	2,6	27,7	31,4	35,6
40 + 19	819	41	14,7	9,8	7,9	4,7	2,8	2,5	2,0	26,4	29,1	34,0
41 + 15	835	42	16,3	10,9	8,4	4,4	2,6	2,2	1,9	27,8	31,1	35,6
42 + 17	857	41	12,2	7,9	6,0	3,3	2,1	2,1	1,7	26,5	29,2	34,0
43 + 12	872	41	13,0	8,2	6,2	3,1	2,7	1,9	1,6	27,9	31,6	35,6
43 + 15	875	41	10,5	6,9	5,4	3,0	1,9	1,8	1,6	26,4	29,2	34,0
45 + 14	914	41	13,3	8,5	6,3	3,0	2,5	1,9	1,7	27,7	31,6	35,6
45 + 18	918	41	13,3	8,7	6,7	3,6	2,0	1,9	1,5	26,4	29,4	34,0
47 + 15	955	42	16,1	10,2	7,6	4,0	2,7	2,5	2,4	27,8	31,2	35,6
47 + 19	959	41	15,8	11,2	9,2	5,7	3,7	3,2	2,5	26,3	29,2	34,0
49 + 17	997	42	16,5	12,9	11,2	8,0	5,5	4,3	3,1	26,2	29,2	34,0
49 + 17	997	41	17,0	12,2	10,1	6,5	4,1	3,4	2,6	28,1	31,2	35,6
51 + 8	1.028	41	14,4	10,4	8,5	5,4	4,1	3,6	2,9	26,1	29,1	34,5
51 + 16	1.036	42	16,9	10,6	8,3	5,0	3,6	3,3	2,7	27,9	31,4	35,6
53 + 1	1.061	41	12,7	8,6	6,8	4,2	3,1	3,0	2,6	26,2	29,2	34,5
53 + 17	1.077	41	14,7	10,1	8,1	5,0	3,6	3,1	2,6	27,8	31,2	35,6
55 + 1	1.101	41	11,6	8,2	6,6	4,0	2,8	2,6	2,2	26,2	29,0	34,5
55 + 19	1.119	41	12,9	7,8	6,0	3,5	2,5	2,4	2,1	27,9	31,1	35,6
57 + 0	1.140	41	12,1	7,7	6,0	3,7	2,8	2,5	2,0	26,3	29,2	34,5
57 + 19	1.159	41	13,0	8,4	6,5	3,9	2,8	2,6	2,1	28,1	31,4	35,6
58 + 14	1.174	41	12,5	7,8	6,1	3,5	2,3	2,1	1,8	26,2	29,1	34,5
59 + 18	1.198	41	13,5	8,6	6,5	3,5	2,4	2,4	2,0	28,1	31,5	35,6
60 + 15	1.215	41	11,7	7,9	6,1	3,3	2,1	2,1	1,7	26,4	29,4	34,5
61 + 16	1.236	40	14,2	9,1	6,8	3,6	2,3	2,2	1,9	28,0	31,3	35,6

Curva do Boi a TDR Sul - 41kN												
Estaca	Ext. (m)	Carga (kN)	D ₀ (10 ⁻² mm)	D ₂₅ (10 ⁻² mm)	D ₃₅ (10 ⁻² mm)	D ₆₀ (10 ⁻² mm)	D ₉₀ (10 ⁻² mm)	D ₁₂₀ (10 ⁻² mm)	D ₁₅₀ (10 ⁻² mm)	Temp. Ar (°C)	Temp. sup. (°C)	Man
62 + 17	1.257	41	11,3	7,6	6,0	3,6	2,4	2,3	1,9	26,3	29,3	34,5
63 + 14	1.274	42	13,3	8,5	6,3	3,3	2,2	2,1	1,9	27,9	31,0	35,6
65 + 0	1.300	41	12,8	8,1	6,3	3,5	2,1	1,9	1,6	26,6	29,5	34,5
65 + 18	1.318	40	12,5	7,5	5,9	3,5	2,4	2,3	1,9	27,9	31,2	35,6
67 + 1	1.341	41	13,8	8,7	6,9	3,9	2,6	2,3	1,8	26,3	29,2	34,5
67 + 15	1.355	41	12,7	8,0	6,3	3,7	2,6	2,5	2,1	27,9	31,1	35,6
69 + 0	1.380	41	13,6	9,0	7,5	4,9	3,5	3,0	2,4	26,3	29,3	34,5
69 + 19	1.399	41	14,4	9,6	7,6	4,8	3,3	2,9	2,4	27,9	31,2	35,6
70 + 19	1.419	41	13,0	8,7	7,1	4,3	2,9	2,6	2,1	26,4	29,5	34,5
71 + 18	1.438	40	13,3	7,9	6,0	3,5	2,4	2,4	2,0	27,9	31,1	35,6
73 + 1	1.461	41	13,9	9,2	7,3	4,2	2,5	2,1	1,7	26,3	29,3	34,5
74 + 15	1.495	41	14,4	9,7	7,9	4,7	2,8	2,4	1,8	26,1	29,1	34,5
75 + 18	1.518	40	16,1	10,4	7,9	4,2	2,4	2,1	1,7	27,9	31,1	35,6
76 + 9	1.529	41	12,6	7,5	5,9	3,4	2,1	1,9	1,5	26,1	29,3	34,5
77 + 19	1.559	41	12,8	8,1	6,5	3,9	2,7	2,6	2,1	27,9	31,5	35,6
78 + 14	1.574	41	12,6	8,9	7,4	4,8	3,2	3,0	2,4	26,3	29,7	34,5
79 + 17	1.597	41	14,3	9,7	8,0	5,1	3,7	3,3	2,6	27,9	31,5	35,6
80 + 17	1.617	41	13,7	9,3	7,7	5,1	3,6	3,2	2,6	26,4	29,8	34,5
81 + 17	1.637	41	14,2	9,6	8,0	5,5	4,0	3,5	2,8	27,9	31,6	35,6
83 + 2	1.662	42	14,5	9,6	7,8	5,0	3,8	3,5	2,9	26,5	29,5	34,5
84 + 1	1.681	41	13,5	9,2	7,7	5,2	3,9	3,5	2,8	28,1	31,4	35,6
85 + 0	1.700	42	16,3	10,9	9,0	5,9	4,0	3,4	2,8	26,4	29,5	34,5
86 + 0	1.720	40	15,0	10,6	8,7	5,7	3,8	3,5	2,8	28,1	31,8	35,6
86 + 13	1.733	41	15,3	9,8	7,5	4,0	2,5	2,4	1,9	26,8	29,9	36,5
87 + 19	1.759	41	13,8	9,4	7,6	4,7	2,8	2,3	1,9	28,0	31,8	35,6
88 + 17	1.777	41	17,2	11,1	8,7	5,1	3,1	2,7	2,1	26,6	29,7	36,5
90 + 19	1.819	41	25,3	16,9	13,2	7,5	4,3	3,2	2,4	26,8	29,9	36,5
91 + 16	1.836	40	20,9	14,5	11,6	7,0	4,1	3,1	2,3	28,1	31,5	35,6
93 + 1	1.861	41	19,5	12,9	9,6	5,0	2,7	2,0	1,9	27,0	30,1	36,5
93 + 16	1.876	41	18,6	13,0	10,7	6,2	3,7	2,8	2,2	28,1	31,9	35,6
95 + 0	1.900	41	30,2	21,2	16,2	8,8	4,7	3,5	2,7	26,7	30,3	36,5
95 + 16	1.916	41	29,5	21,1	17,1	10,2	6,0	4,5	3,4	28,2	32,4	35,6
96 + 19	1.939	41	26,1	18,3	14,8	8,8	4,9	3,5	2,8	26,9	30,3	36,5
97 + 15	1.955	41	27,2	19,5	15,7	9,6	5,8	4,6	3,7	28,2	32,1	35,6
98 + 18	1.978	41	32,4	22,3	17,4	9,6	5,5	4,2	3,4	26,9	30,3	36,5
99 + 15	1.995	41	22,9	17,2	14,4	9,4	6,0	4,6	3,4	28,3	32,4	35,6
101 + 1	2.021	41	26,7	18,6	14,9	8,7	5,2	4,1	3,3	26,8	30,5	36,5
101 + 17	2.037	41	27,6	20,0	15,9	9,5	5,7	4,5	3,6	28,1	32,6	35,6
103 + 1	2.061	41	35,7	24,8	19,4	10,9	6,3	4,8	3,8	26,6	30,3	36,5
103 + 14	2.074	41	29,2	20,8	16,6	10,2	6,4	5,0	3,9	28,0	32,3	35,6
104 + 19	2.099	41	24,5	16,0	12,1	6,4	4,0	3,3	2,7	26,4	30,3	36,5
105 + 18	2.118	41	12,4	8,3	6,3	3,4	2,1	1,9	1,6	27,9	32,7	35,6
107 + 1	2.141	41	14,1	9,8	7,8	4,7	3,1	2,8	2,3	26,1	30,0	36,5
107 + 16	2.156	41	15,3	10,3	8,0	4,7	3,2	2,9	2,4	27,8	31,9	35,6
108 + 18	2.178	41	18,9	12,5	10,0	5,9	3,9	3,2	2,6	26,0	30,1	36,5
109 + 17	2.197	41	15,2	10,1	8,2	5,4	3,8	3,5	2,9	27,5	31,5	35,6
110 + 16	2.216	41	14,5	10,5	8,8	5,9	4,1	3,5	2,8	26,1	30,2	36,5
111 + 15	2.235	42	16,0	11,7	9,5	6,0	4,1	3,2	2,7	27,7	31,4	35,6
112 + 18	2.258	41	17,7	11,8	9,3	5,4	3,5	3,1	2,6	26,0	30,0	36,5
113 + 18	2.278	42	15,3	10,8	8,5	4,9	3,1	2,8	2,4	27,7	31,4	35,6
115 + 1	2.301	41	18,2	12,5	9,7	5,4	3,4	3,0	2,3	26,2	30,2	36,5
116 + 0	2.320	41	17,4	11,7	9,0	4,8	2,9	2,5	2,1	27,5	31,3	35,6
117 + 1	2.341	40	16,3	11,1	8,6	4,7	2,8	2,5	2,0	26,2	30,5	36,5
117 + 18	2.358	41	13,2	9,0	7,0	3,8	2,4	2,2	1,8	27,5	31,7	35,6
119 + 0	2.380	41	15,2	10,3	8,0	4,6	3,1	2,7	2,3	26,1	30,1	36,5
120 + 0	2.400	41	17,0	10,6	8,1	4,6	3,1	2,8	2,3	27,5	31,6	35,6
120 + 19	2.419	41	18,1	12,4	9,5	5,3	3,7	3,4	2,9	26,1	30,4	36,5
121 + 18	2.438	41	17,5	11,8	9,4	5,7	3,9	3,7	2,9	27,5	31,5	35,6
123 + 0	2.460	41	17,1	11,8	9,6	6,2	4,5	4,1	3,4	26,4	31,7	36,5
124 + 0	2.480	40	19,9	13,0	10,3	6,2	4,5	3,7	3,0	27,6	31,9	35,6
124 + 17	2.497	41	16,1	10,6	8,4	5,0	3,5	3,3	2,8	26,5	30,4	34,0
125 + 15	2.515	40	15,6	9,7	7,4	4,2	3,2	2,8	2,5	27,9	31,9	35,6
126 + 13	2.533	41	15,1	10,3	8,1	4,6	3,2	3,2	2,7	27,2	30,5	34,0
127 + 16	2.556	41	23,9	16,2	12,7	7,0	4,1	3,3	2,7	27,7	31,6	35,6

Curva do Boi a TDR Sul - 41kN												
Estaca	Ext. (m)	Carga (kN)	D ₀ (10 ⁻² mm)	D ₂₅ (10 ⁻² mm)	D ₃₅ (10 ⁻² mm)	D ₆₀ (10 ⁻² mm)	D ₉₀ (10 ⁻² mm)	D ₁₂₀ (10 ⁻² mm)	D ₁₅₀ (10 ⁻² mm)	Temp. Ar (°C)	Temp. sup. (°C)	Man
128 + 10	2.570	42	16,6	11,3	8,9	5,3	3,6	3,1	2,5	26,9	29,7	34,0
130 + 1	2.601	41	26,0	17,4	13,5	7,3	3,9	3,2	2,6	27,9	31,8	35,6
131 + 0	2.620	41	18,4	13,0	10,2	5,5	3,0	2,6	2,2	27,2	30,9	34,0
131 + 18	2.638	41	24,0	15,3	11,4	5,7	3,0	2,8	2,4	28,1	32,1	35,6
133 + 0	2.660	41	19,5	13,8	10,8	5,8	3,2	2,7	2,3	27,1	30,6	34,0
133 + 14	2.674	42	29,9	20,4	15,6	8,3	4,5	3,5	2,7	28,3	32,2	35,6
134 + 18	2.698	41	21,8	15,2	11,6	6,3	3,5	2,8	2,4	27,1	30,7	34,0
135 + 15	2.715	41	25,1	15,9	12,2	6,7	4,1	3,4	2,9	28,2	32,4	35,6
136 + 13	2.733	41	20,0	13,7	10,9	6,4	4,2	3,6	2,9	27,0	31,0	34,0
137 + 19	2.759	42	27,3	19,2	14,8	8,4	5,1	4,2	3,2	28,2	32,6	35,6
138 + 12	2.772	41	23,7	16,1	12,5	6,9	4,0	3,4	2,8	26,8	31,0	34,0
139 + 16	2.796	41	24,0	16,0	12,4	6,7	3,8	3,0	2,5	28,2	32,0	35,6
140 + 15	2.815	41	16,0	11,8	9,7	6,0	4,0	3,0	2,4	26,7	30,3	34,0
141 + 18	2.838	40	26,9	19,1	15,7	9,5	5,5	4,3	3,1	27,9	32,2	35,6
142 + 18	2.858	41	20,5	15,0	12,3	7,5	4,6	3,6	2,9	26,8	30,4	34,0
143 + 17	2.877	41	14,7	10,0	8,0	4,9	3,4	3,0	2,5	28,0	31,7	35,6
144 + 17	2.897	42	22,9	16,9	13,9	8,7	5,6	4,4	3,3	27,0	30,5	34,0
145 + 8	2.908	41	17,2	12,5	10,3	6,7	4,7	3,9	3,1	28,1	32,0	35,6
146 + 19	2.939	41	21,0	14,9	12,1	7,6	5,1	4,3	3,3	27,1	30,5	34,0
147 + 14	2.954	42	20,6	15,1	12,0	6,8	4,4	3,6	2,9	28,2	32,1	35,6
148 + 16	2.976	41	15,9	11,7	9,7	6,2	4,5	4,2	3,6	26,9	30,9	34,0
149 + 16	2.996	41	20,7	15,2	12,6	8,2	5,4	4,9	4,0	28,2	31,5	35,6
151 + 1	3.021	41	17,2	12,2	9,7	5,7	3,9	3,7	3,1	26,8	30,1	34,0
151 + 17	3.037	41	17,2	12,7	10,4	6,7	4,9	4,4	3,9	28,2	31,8	35,6
152 + 19	3.059	41	23,7	16,8	13,2	7,3	4,4	3,8	3,3	26,7	30,2	34,0
153 + 17	3.077	41	16,7	12,3	10,2	6,8	5,0	4,5	4,0	28,3	31,8	35,6
155 + 0	3.100	41	20,5	14,9	11,7	6,7	4,0	3,5	3,1	26,8	30,2	34,0
156 + 0	3.120	41	12,9	8,5	6,7	3,8	2,7	2,6	2,2	28,3	32,5	35,6
156 + 19	3.139	41	23,8	17,0	13,6	7,9	4,4	3,4	2,5	27,0	30,4	34,0
157 + 18	3.158	41	19,7	13,2	10,3	5,4	2,9	2,4	2,0	28,3	31,7	35,6
158 + 18	3.178	41	18,7	12,7	10,0	5,7	3,6	2,9	2,3	26,7	30,2	34,0
159 + 13	3.193	42	20,9	14,8	11,6	6,7	3,7	3,1	2,5	28,3	32,1	35,6
160 + 16	3.216	41	20,7	14,2	11,4	7,1	4,8	4,0	3,1	26,7	29,9	34,0
161 + 15	3.235	40	19,2	13,3	10,7	6,5	4,4	3,6	2,9	28,7	32,8	35,6
163 + 0	3.260	41	25,9	18,4	14,7	8,6	5,3	4,1	3,1	27,0	30,3	34,0
163 + 12	3.272	41	21,9	15,8	12,7	7,4	4,6	3,6	2,8	28,8	32,2	35,6
165 + 0	3.300	41	32,9	24,1	18,8	10,3	6,0	4,6	3,6	26,9	30,4	34,0
165 + 16	3.316	41	29,0	21,2	17,1	10,3	6,2	4,7	3,6	28,5	32,2	35,6
167 + 0	3.340	41	18,7	12,8	9,9	5,5	3,7	3,4	2,8	26,9	30,4	34,0
167 + 17	3.357	41	30,5	21,3	16,4	8,1	4,4	3,5	2,7	28,5	32,2	35,6
169 + 0	3.380	41	22,1	15,2	12,0	6,9	4,5	3,7	3,0	27,4	30,5	34,0
169 + 18	3.398	41	22,1	15,7	12,6	7,5	4,9	4,0	3,1	28,8	32,3	35,6
171 + 1	3.421	41	24,9	17,6	13,9	8,1	5,1	4,2	3,4	27,3	30,3	34,0
172 + 1	3.441	41	20,0	14,2	11,7	7,2	4,5	3,7	3,0	28,8	32,0	35,6
172 + 19	3.459	41	26,2	18,1	14,2	8,2	5,0	4,1	3,3	27,0	30,1	34,0
174 + 1	3.481	41	23,9	16,2	12,4	6,9	4,4	3,9	3,3	28,9	31,3	35,6
175 + 0	3.500	42	22,5	14,7	11,3	6,1	3,7	3,5	3,1	26,8	29,9	34,0
176 + 2	3.522	40	15,3	10,3	8,6	5,4	3,3	2,5	2,0	28,7	31,4	35,6
177 + 0	3.540	41	23,8	14,4	10,1	4,8	3,0	2,9	2,5	26,7	29,5	34,0
178 + 1	3.561	41	27,2	18,5	14,3	7,4	3,6	2,8	2,4	28,7	31,8	35,6
179 + 1	3.581	41	26,7	18,9	15,3	9,3	5,5	4,0	3,0	26,7	29,7	34,0
179 + 17	3.597	41	24,1	18,8	15,4	9,4	5,5	4,1	3,1	28,7	31,0	35,6
180 + 14	3.614	40	21,0	15,7	12,4	7,1	4,2	3,1	2,3	26,6	29,6	34,0
182 + 0	3.640	41	28,2	21,7	17,9	11,2	6,4	4,4	3,3	26,8	29,2	34,0
182 + 0	3.640	42	29,9	19,9	15,5	8,4	4,1	2,9	2,1	29,1	32,5	35,6

Curva do Boi a TDR Sul - 80kN												
Estaca	Ext. (m)	Carga (kN)	D ₀ (10 ⁻² mm)	D ₂₅ (10 ⁻² mm)	D ₃₅ (10 ⁻² mm)	D ₆₀ (10 ⁻² mm)	D ₉₀ (10 ⁻² mm)	D ₁₂₀ (10 ⁻² mm)	D ₁₅₀ (10 ⁻² mm)	Temp. Ar (°C)	Temp. sup. (°C)	Man
0 + 0	0	80	47,9	37,6	32,4	22,1	13,8	9,4	6,6	28,8	31,6	38,3
0 + 16	16	80	54,5	41,0	33,9	21,5	12,3	8,1	5,9	28,7	31,5	38,3
1 + 1	21	81	42,7	33,4	28,4	19,2	12,3	9,0	6,9	26,8	31,3	34,5
2 + 17	57	80	72,0	51,2	39,7	21,9	11,9	8,2	6,4	28,8	31,5	38,3
3 + 0	60	80	33,4	24,1	20,3	13,0	8,3	6,2	4,9	27,0	30,5	35,3
4 + 16	96	81	39,9	27,4	21,9	13,2	7,5	4,6	3,4	29,0	31,6	38,3
5 + 0	100	81	50,2	38,5	32,0	21,1	13,6	10,1	7,8	27,2	31,4	35,3
6 + 18	138	80	39,7	26,9	20,8	12,1	7,4	5,6	4,5	29,3	31,8	38,3
7 + 0	140	80	42,7	32,3	26,3	15,4	8,5	6,0	4,7	27,1	30,6	35,4
8 + 17	177	80	35,2	26,5	21,8	13,3	7,7	5,2	4,0	29,6	32,1	38,3
8 + 19	179	80	52,1	34,6	27,0	14,9	7,9	5,5	4,3	27,1	30,6	35,4
10 + 17	217	80	45,4	34,4	28,1	16,7	10,0	7,0	5,7	29,6	32,3	38,3
10 + 18	218	80	37,2	26,0	20,7	12,3	7,4	5,6	4,6	27,1	30,7	35,4
12 + 17	257	80	33,3	24,9	20,9	13,5	8,2	6,1	4,8	27,3	30,7	35,4
13 + 1	261	80	40,9	30,1	24,6	15,2	9,2	6,9	5,7	29,9	32,5	38,3
14 + 19	299	81	35,9	26,8	21,9	13,6	8,2	6,0	4,8	30,1	32,3	38,3
15 + 0	300	80	38,9	28,4	22,9	13,8	8,4	6,5	5,4	27,4	30,7	35,4
16 + 13	333	80	41,1	30,6	24,3	14,6	8,7	6,4	5,1	29,9	31,7	38,3
16 + 19	339	81	38,1	26,7	21,3	12,6	7,8	6,1	4,9	27,1	30,6	35,4
18 + 19	379	80	37,0	26,7	22,0	14,2	9,3	7,5	6,4	27,2	30,7	35,4
18 + 19	379	79	43,5	31,8	26,1	16,1	9,5	6,9	5,7	30,3	32,4	38,3
20 + 14	414	80	50,4	36,1	28,5	15,7	8,0	5,3	4,1	30,2	32,9	38,3
20 + 18	418	81	34,8	25,8	21,3	13,7	8,5	6,4	5,3	27,4	30,9	35,4
22 + 12	452	80	46,2	32,8	25,7	14,2	7,3	5,0	3,9	27,2	30,7	35,4
22 + 17	457	80	30,8	22,1	17,8	10,8	6,5	4,8	3,8	30,2	32,8	38,3
24 + 19	499	79	31,3	23,0	18,8	12,0	7,5	5,8	4,7	27,4	30,7	35,4
24 + 19	499	80	38,8	26,1	20,3	10,7	5,4	3,6	2,8	30,2	32,3	38,3
27 + 0	540	80	43,1	31,3	24,5	13,6	6,6	4,2	3,1	27,5	30,4	35,4
27 + 0	540	80	58,9	45,1	37,7	24,4	14,0	8,7	6,0	30,6	32,5	38,3
28 + 18	578	80	36,5	26,3	21,6	13,5	8,0	5,5	4,1	31,2	32,3	38,3
28 + 19	579	81	43,8	32,9	26,9	15,9	8,8	5,9	4,6	27,6	30,7	35,4
30 + 15	615	81	46,0	33,5	26,6	14,9	7,3	3,9	2,9	31,6	33,0	38,3
31 + 0	620	80	35,8	25,8	20,7	12,2	6,9	4,7	3,8	27,8	30,8	35,4
32 + 5	645	80	45,1	33,2	26,6	15,1	7,7	5,1	3,8	28,0	30,8	35,4
32 + 13	653	80	47,9	34,8	28,1	16,3	8,7	5,5	4,1	31,8	32,8	38,3
34 + 7	687	80	43,6	32,1	25,8	15,2	8,1	5,3	3,8	27,9	30,5	35,4
34 + 8	688	80	49,5	36,9	30,0	18,1	10,2	6,7	4,9	31,8	32,8	38,3
36 + 9	729	80	31,7	23,4	19,0	11,9	7,3	5,5	4,4	32,0	33,3	38,3
36 + 10	730	80	41,6	31,4	26,1	16,5	9,7	6,6	4,9	27,8	30,7	35,4
38 + 14	774	81	44,0	32,9	26,9	17,0	9,9	6,7	4,8	27,7	30,8	35,4
38 + 15	775	80	38,6	30,1	25,2	16,2	10,0	6,8	5,0	31,9	33,0	38,3
40 + 7	807	79	42,0	31,8	26,4	16,7	9,5	6,4	4,5	27,8	30,8	35,4
40 + 15	815	80	36,4	27,6	22,6	13,8	7,8	5,1	3,8	31,2	33,0	38,3
42 + 9	849	80	30,4	21,4	17,6	10,8	6,3	4,5	3,4	27,8	31,0	35,4
42 + 15	855	80	30,1	21,4	16,9	9,1	4,7	3,3	2,8	31,4	33,0	38,3
44 + 12	892	80	20,3	13,0	10,1	5,3	3,0	2,4	2,0	31,4	32,7	38,3
44 + 14	894	80	28,2	18,8	14,9	8,1	4,1	3,3	2,5	27,7	30,9	35,4
46 + 12	932	80	24,6	15,9	12,0	6,5	4,1	3,4	2,9	31,2	32,4	38,3
46 + 13	933	81	26,9	16,9	13,3	7,3	3,8	2,9	2,3	27,6	30,8	35,4
48 + 8	968	80	24,9	18,5	15,5	10,4	7,1	5,5	4,4	31,2	33,1	38,3
49 + 0	980	81	37,0	25,9	21,0	12,2	6,8	5,1	4,3	27,7	31,0	35,4
50 + 4	1.004	80	25,2	20,1	17,6	12,7	8,8	6,4	4,8	31,1	33,0	38,3
50 + 13	1.013	83	34,7	28,1	24,9	18,5	12,8	9,3	6,7	27,8	31,6	35,4
52 + 6	1.046	80	29,0	22,1	18,6	12,7	8,9	6,7	5,3	31,1	32,6	38,3
52 + 14	1.054	80	32,0	23,9	19,9	13,1	9,0	7,2	5,9	28,1	30,8	35,0
54 + 14	1.094	80	24,8	17,9	14,6	9,1	5,9	4,6	3,7	30,6	32,6	38,3
54 + 16	1.096	80	26,1	19,2	15,9	10,5	7,2	5,7	4,7	27,9	30,9	35,0
56 + 13	1.133	80	29,4	19,7	15,2	8,7	5,9	4,7	3,6	30,6	32,2	38,3
56 + 15	1.135	80	24,7	16,3	13,0	8,0	5,4	4,6	3,8	28,0	31,0	35,0
58 + 16	1.176	81	24,6	16,5	13,0	7,7	4,8	3,7	2,9	30,8	32,5	34,1
59 + 0	1.180	80	25,2	17,2	13,5	7,9	5,2	4,4	3,7	28,2	31,1	35,0
60 + 13	1.213	80	25,5	17,7	14,0	8,0	4,5	3,2	2,7	31,1	32,0	34,1
60 + 17	1.217	80	26,9	18,2	14,2	8,0	4,6	3,4	2,8	28,1	30,7	35,0

Curva do Boi a TDR Sul - 80kN												
Estaca	Ext. (m)	Carga (kN)	D ₀ (10 ⁻² mm)	D ₂₅ (10 ⁻² mm)	D ₃₅ (10 ⁻² mm)	D ₆₀ (10 ⁻² mm)	D ₉₀ (10 ⁻² mm)	D ₁₂₀ (10 ⁻² mm)	D ₁₅₀ (10 ⁻² mm)	Temp. Ar (°C)	Temp. sup. (°C)	Man
62 + 2	1.242	80	25,0	17,2	13,5	7,7	4,4	3,4	2,8	28,2	30,8	35,0
62 + 14	1.254	80	26,2	18,2	14,6	8,6	5,6	4,4	3,5	31,6	32,4	34,1
64 + 12	1.292	80	25,9	17,4	13,8	8,1	4,7	3,6	2,8	28,1	31,2	35,0
64 + 15	1.295	80	23,9	16,7	13,5	8,3	5,1	3,7	3,0	31,8	32,3	34,1
66 + 13	1.333	80	23,4	16,3	13,4	8,5	5,3	3,9	3,2	32,1	32,3	34,1
66 + 14	1.334	80	26,8	17,1	13,9	8,3	4,9	3,8	3,1	28,1	31,0	35,0
68 + 9	1.369	80	27,0	18,4	15,3	9,9	6,2	4,7	3,7	28,2	31,1	35,0
68 + 14	1.374	80	26,0	18,2	14,9	9,4	5,9	4,2	3,3	32,2	32,4	34,1
70 + 12	1.412	80	30,2	21,0	17,6	11,7	7,4	5,6	4,4	28,1	30,5	35,0
70 + 12	1.412	80	29,3	20,8	17,5	11,6	7,5	5,6	4,4	28,0	30,4	35,0
70 + 14	1.414	80	24,4	17,3	14,3	9,0	5,6	4,1	3,2	32,2	32,2	34,1
72 + 12	1.452	80	25,9	17,6	14,2	8,5	5,1	4,0	3,3	28,1	30,6	35,0
72 + 16	1.456	80	23,2	16,1	13,4	8,3	4,8	3,3	2,5	32,4	32,1	34,1
74 + 12	1.492	80	37,6	25,3	20,9	13,0	7,5	4,9	3,4	28,1	30,6	35,0
74 + 13	1.493	80	27,1	20,3	17,1	11,5	7,2	4,9	3,5	32,3	32,3	34,1
76 + 15	1.535	80	28,2	18,8	15,2	8,9	4,9	3,4	2,6	28,3	30,8	35,0
76 + 17	1.537	80	25,9	18,2	14,9	9,0	5,1	3,3	2,5	32,0	32,7	34,1
78 + 14	1.574	80	26,0	18,0	15,2	10,1	6,8	5,3	4,2	28,2	30,6	35,0
78 + 15	1.575	80	25,1	18,0	15,0	10,1	6,9	5,2	4,1	32,0	32,8	34,1
80 + 13	1.613	80	25,6	19,4	16,7	12,1	8,5	6,4	4,9	32,1	32,3	34,1
80 + 15	1.615	80	33,2	23,5	19,5	13,0	8,4	6,5	5,0	28,1	31,2	35,0
82 + 12	1.652	80	27,5	21,1	18,3	13,3	9,3	6,8	5,2	32,2	32,5	34,1
82 + 17	1.657	80	32,2	22,5	19,1	13,1	9,0	6,9	5,4	27,7	31,0	35,0
84 + 13	1.693	80	24,7	18,6	16,2	11,9	8,6	6,6	5,2	32,4	32,9	34,1
84 + 19	1.699	79	30,5	21,4	18,0	12,3	8,6	6,8	5,5	27,8	30,5	35,0
86 + 13	1.733	80	28,4	19,9	16,6	10,6	6,5	4,6	3,4	32,3	33,0	34,1
86 + 17	1.737	80	30,9	21,8	18,1	11,9	7,8	6,0	4,8	27,7	30,6	35,0
88 + 13	1.773	80	24,5	18,8	16,1	10,9	6,8	4,2	3,0	32,4	32,7	34,1
89 + 0	1.780	80	38,8	26,7	22,0	13,7	7,7	4,9	3,5	27,8	30,8	35,0
90 + 15	1.815	79	47,3	34,7	28,8	18,4	10,9	7,4	5,3	27,7	30,7	35,0
90 + 15	1.815	80	43,2	32,7	27,0	17,6	10,8	7,2	5,0	32,1	32,6	34,1
92 + 16	1.856	80	31,6	22,1	18,6	11,9	6,9	4,6	3,3	27,6	30,4	35,0
93 + 0	1.860	81	47,0	34,4	27,7	15,9	8,4	5,2	3,6	31,9	33,0	34,1
94 + 17	1.897	80	53,4	38,4	30,8	17,5	8,9	5,5	4,0	27,3	30,0	35,0
94 + 19	1.899	80	46,5	34,9	28,7	17,5	10,2	6,9	5,3	31,6	32,3	34,1
96 + 14	1.934	80	47,8	36,9	31,2	20,1	11,9	8,2	6,0	31,8	32,5	34,1
97 + 0	1.940	80	57,0	41,8	33,9	20,5	11,3	7,4	5,7	27,7	30,3	35,0
98 + 14	1.974	80	51,2	39,8	33,7	22,1	13,6	9,2	6,6	31,6	32,6	34,1
98 + 15	1.975	78	57,0	42,5	35,2	21,8	12,8	8,8	6,7	27,7	31,2	35,0
100 + 19	2.019	81	48,7	37,9	32,3	22,0	13,4	9,5	7,3	31,8	32,6	34,1
101 + 0	2.020	80	48,0	36,8	31,1	20,0	12,0	8,4	6,5	28,0	31,0	35,9
102 + 18	2.058	80	62,9	48,9	40,5	24,7	14,3	9,7	7,2	27,8	30,8	35,9
102 + 18	2.058	80	43,3	33,6	28,9	19,9	12,7	8,6	6,4	32,5	32,6	34,1
104 + 2	2.082	79	57,0	40,4	32,4	19,2	11,1	7,9	6,2	27,4	30,8	35,9
104 + 19	2.099	79	36,9	27,5	23,0	15,2	9,3	6,3	4,8	32,5	32,8	34,1
106 + 2	2.122	80	35,9	24,9	19,8	11,1	6,0	4,1	3,1	27,4	30,4	35,9
107 + 0	2.140	80	23,2	16,8	13,8	8,9	5,8	4,4	3,5	32,5	32,2	34,1
107 + 14	2.154	80	29,9	20,7	16,3	10,0	6,5	5,1	4,1	27,3	31,4	35,9
108 + 1	2.161	80	26,7	20,0	16,8	11,3	7,5	5,6	4,3	32,5	32,4	34,1
109 + 2	2.182	80	31,3	22,9	18,9	12,3	8,2	6,3	4,7	27,2	30,6	35,9
110 + 1	2.201	80	25,0	18,4	15,5	10,7	7,4	5,6	4,5	32,3	32,8	34,1
112 + 7	2.247	80	31,1	23,9	20,3	13,6	8,9	6,5	5,0	32,0	32,9	34,1
112 + 10	2.250	81	30,3	21,6	17,8	11,5	7,8	6,3	5,2	27,0	31,0	35,9
114 + 10	2.290	80	26,0	18,7	15,3	9,7	6,2	4,5	3,6	31,8	32,6	34,1
114 + 12	2.292	79	30,2	21,2	17,1	10,2	6,6	5,3	4,3	27,1	31,2	35,9
116 + 13	2.333	80	26,6	18,5	15,1	9,3	5,8	4,2	3,4	32,0	32,7	34,1
116 + 17	2.337	80	31,6	22,5	17,8	10,5	6,3	4,9	4,1	27,1	30,6	35,9
118 + 13	2.373	80	23,0	16,5	13,5	8,3	5,0	3,4	2,7	31,8	32,8	34,1
118 + 19	2.379	81	30,7	21,8	17,5	10,3	6,0	4,5	3,6	27,1	31,2	35,9
120 + 16	2.416	80	33,6	24,0	18,9	11,5	8,0	6,5	5,3	27,1	31,2	35,9
120 + 17	2.417	80	29,9	22,4	19,0	12,7	8,3	6,1	4,8	32,0	32,3	34,1
122 + 12	2.452	80	35,4	27,7	23,5	16,0	10,9	7,8	5,9	32,1	32,5	34,1
122 + 13	2.453	79	30,4	22,8	19,4	13,3	9,4	7,5	6,1	27,3	31,4	35,9

Curva do Boi a TDR Sul - 80kN												
Estaca	Ext. (m)	Carga (kN)	D ₀ (10 ⁻² mm)	D ₂₅ (10 ⁻² mm)	D ₃₅ (10 ⁻² mm)	D ₆₀ (10 ⁻² mm)	D ₉₀ (10 ⁻² mm)	D ₁₂₀ (10 ⁻² mm)	D ₁₅₀ (10 ⁻² mm)	Temp. Ar (°C)	Temp. sup. (°C)	Man
124 + 1	2.481	80	39,9	29,2	24,0	15,6	10,7	8,6	7,0	27,4	31,8	35,9
124 + 14	2.494	80	31,4	22,5	18,1	10,8	6,8	5,1	4,2	32,0	32,4	34,1
126 + 6	2.526	80	29,6	20,2	15,9	9,6	6,5	5,4	4,6	27,6	31,7	35,9
126 + 12	2.532	80	24,1	17,3	14,2	8,7	5,4	4,2	3,4	31,8	32,3	34,1
128 + 7	2.567	80	37,2	26,6	20,8	11,5	6,1	4,3	3,3	27,4	31,6	35,9
128 + 15	2.575	80	32,3	23,8	19,7	12,8	8,1	5,7	4,2	31,7	32,0	34,1
130 + 15	2.615	80	37,4	27,4	21,9	12,4	6,7	4,8	4,0	27,4	31,6	35,9
130 + 19	2.619	81	40,8	29,4	23,2	12,1	7,0	5,1	4,0	31,6	32,2	34,1
132 + 18	2.658	81	37,2	27,7	22,3	12,8	6,6	4,6	3,7	27,9	31,5	35,9
133 + 0	2.660	80	38,5	28,5	23,7	15,3	9,2	6,2	4,6	31,9	32,3	34,1
134 + 17	2.697	80	38,8	27,8	22,2	12,8	7,0	4,9	4,0	27,9	32,0	35,9
134 + 18	2.698	80	48,6	33,4	26,4	16,2	8,2	5,5	4,5	32,1	32,2	34,1
136 + 19	2.739	80	42,4	32,7	27,1	16,7	10,2	7,3	5,6	27,6	31,7	35,9
136 + 19	2.739	79	59,8	44,6	37,2	23,6	13,6	9,3	6,9	32,0	31,6	34,1
138 + 14	2.774	81	49,0	37,2	30,1	18,7	10,4	7,0	5,4	32,1	31,6	34,1
138 + 19	2.779	79	42,1	31,6	25,9	15,8	9,2	6,6	5,2	27,1	31,7	35,9
140 + 16	2.816	79	28,5	20,3	16,9	10,6	6,0	4,3	3,4	27,1	31,5	35,9
140 + 17	2.817	80	30,7	24,5	21,3	15,1	10,0	7,0	5,0	32,0	30,9	34,1
141 + 18	2.838	80	55,8	44,5	36,7	23,6	13,7	8,8	6,1	31,9	31,8	34,1
142 + 16	2.856	80	45,1	33,8	28,7	19,2	11,8	7,8	5,5	27,3	31,3	35,9
144 + 7	2.887	80	29,4	23,1	19,8	13,8	9,3	6,7	5,1	31,4	31,2	34,1
144 + 17	2.897	81	62,9	44,6	35,9	21,4	12,2	8,4	6,3	27,5	31,5	35,9
146 + 12	2.932	80	29,0	22,4	19,2	13,3	8,9	6,5	4,8	31,5	31,2	34,1
147 + 0	2.940	81	51,0	38,5	31,9	20,5	12,6	8,9	6,6	27,7	30,7	35,9
148 + 16	2.976	79	30,0	22,1	18,8	12,9	9,5	8,1	6,9	28,3	32,0	36,0
148 + 16	2.976	81	29,2	22,1	18,8	13,1	9,6	8,2	7,0	27,9	31,0	35,9
148 + 16	2.976	80	27,8	21,5	18,7	13,7	10,0	7,9	6,5	31,5	30,7	34,1
150 + 15	3.015	80	39,0	30,0	25,4	17,3	11,6	8,7	7,1	31,3	30,8	34,1
150 + 18	3.018	79	35,8	26,0	21,4	13,2	8,5	6,8	5,9	28,2	32,1	36,0
152 + 13	3.053	80	27,9	21,1	18,3	13,3	10,1	8,3	7,1	31,2	30,4	34,1
152 + 18	3.058	81	45,9	34,1	27,6	16,3	9,4	6,9	5,9	28,0	31,6	36,0
154 + 15	3.095	80	26,6	20,7	17,9	12,9	9,5	7,6	6,4	31,1	30,5	34,1
154 + 17	3.097	79	39,3	28,8	23,5	14,3	8,8	7,2	6,2	28,0	32,2	36,0
156 + 13	3.133	80	43,8	33,3	27,5	16,8	9,1	5,9	4,4	27,8	32,1	36,0
156 + 13	3.133	80	28,2	20,7	16,9	10,2	5,9	4,1	3,3	31,1	30,2	34,1
158 + 17	3.177	80	39,2	28,5	23,3	14,1	8,1	5,6	4,1	27,8	31,9	36,0
158 + 17	3.177	80	36,8	26,9	21,6	12,6	6,7	4,2	3,1	30,9	29,8	34,1
160 + 15	3.215	80	41,5	32,0	26,8	17,7	11,2	8,0	6,2	30,8	29,8	34,1
160 + 18	3.218	80	46,2	35,5	29,2	18,6	11,8	8,3	6,4	27,9	31,8	36,0
162 + 16	3.256	81	54,5	41,5	33,9	20,7	12,0	8,2	6,0	27,8	31,4	36,0
162 + 16	3.256	80	46,2	35,9	29,8	18,9	10,8	6,9	5,0	30,5	29,4	34,1
164 + 12	3.292	79	55,4	44,2	39,7	29,0	17,7	11,4	7,9	27,5	31,1	36,0
164 + 17	3.297	80	76,5	53,2	43,1	27,8	17,5	11,6	8,1	30,8	29,8	34,1
166 + 14	3.334	80	43,7	33,2	27,3	16,9	10,2	7,0	5,4	30,9	28,6	34,1
166 + 17	3.337	80	43,1	32,1	26,2	16,0	9,8	7,1	5,6	27,4	31,3	36,0
168 + 12	3.372	80	43,8	32,0	26,3	16,4	10,2	7,5	5,8	27,6	31,4	36,0
168 + 19	3.379	80	47,7	35,8	29,3	17,5	10,4	6,9	4,9	30,7	29,6	34,1
170 + 16	3.416	80	52,3	39,0	31,8	20,1	12,3	8,8	6,6	27,7	31,4	36,0
170 + 17	3.417	80	35,6	26,8	22,6	14,9	10,1	7,3	5,8	30,5	24,3	34,1
172 + 16	3.456	80	43,5	32,7	27,5	17,3	10,6	7,3	5,4	30,3	25,1	34,1
172 + 17	3.457	80	57,0	43,3	35,9	22,0	13,2	9,2	6,9	27,5	30,6	36,0
174 + 17	3.497	80	40,5	28,7	23,0	13,4	8,1	6,4	5,5	27,5	30,6	36,0
174 + 17	3.497	80	43,3	31,7	26,1	16,6	10,3	7,5	6,3	30,0	27,9	34,1
176 + 18	3.538	79	36,7	22,1	17,1	10,1	6,4	5,0	4,2	27,4	31,1	36,0
177 + 0	3.540	79	21,8	16,5	14,3	10,2	6,8	4,7	3,5	29,9	29,1	34,1
178 + 16	3.576	81	42,0	30,6	24,8	14,5	7,3	4,8	4,0	27,4	30,7	36,0
178 + 17	3.577	80	41,7	31,7	26,8	17,7	10,6	6,8	4,5	29,8	25,4	34,1
181 + 0	3.620	81	43,2	34,9	28,9	18,2	10,3	6,4	4,5	27,3	29,8	36,0
181 + 0	3.620	80	36,7	28,0	23,6	15,5	9,2	5,8	4,0	29,6	-19,3	34,1
182 + 0	3.640	81	54,6	41,9	35,2	22,4	13,0	8,5	6,1	27,6	31,2	36,0
182 + 0	3.640	80	31,5	25,2	21,2	13,5	7,7	4,6	3,1	29,8	-28,2	34,1

Curva do Boi a TDR Sul - 120kN												
Estaca	Ext. (m)	Carga (kN)	D ₀ (10 ⁻² mm)	D ₂₅ (10 ⁻² mm)	D ₃₅ (10 ⁻² mm)	D ₆₀ (10 ⁻² mm)	D ₉₀ (10 ⁻² mm)	D ₁₂₀ (10 ⁻² mm)	D ₁₅₀ (10 ⁻² mm)	Temp. Ar (°C)	Temp. sup. (°C)	Man
0 + 0	0	121	81,7	56,7	46,0	32,0	22,9	17,7	13,7	25,7	30,0	35,7
0 + 0	0	120	75,3	59,4	51,1	34,4	21,4	15,2	11,4	29,8	36,0	37,7
0 + 19	19	121	82,9	56,7	45,9	31,8	22,7	17,6	13,7	25,6	30,1	35,7
1 + 0	20	121	75,2	59,6	51,2	34,4	21,4	15,2	11,4	29,8	35,8	37,7
2 + 19	59	120	75,2	59,6	51,2	34,2	21,2	15,0	11,3	29,6	35,6	37,7
3 + 0	60	119	120,9	80,1	61,6	35,4	19,0	12,0	8,8	26,0	30,0	35,7
4 + 14	94	120	72,2	53,1	43,6	26,3	15,0	10,7	8,3	29,6	36,3	37,7
5 + 0	100	119	115,2	81,9	64,5	36,9	20,5	14,4	11,4	26,1	30,4	35,7
6 + 14	134	119	74,7	58,6	50,0	33,7	21,7	15,7	11,8	29,7	34,8	37,7
6 + 17	137	121	81,5	52,3	40,8	23,6	13,1	8,8	6,6	26,1	30,3	35,7
8 + 14	174	120	84,0	58,1	45,0	24,5	12,1	7,9	6,1	29,8	34,6	37,7
8 + 19	179	120	82,1	56,7	44,8	25,8	14,4	9,9	7,3	26,1	30,0	35,7
10 + 15	215	120	82,8	56,3	42,4	21,0	10,7	7,9	6,4	30,1	33,7	37,7
11 + 0	220	121	58,5	41,7	33,9	20,6	11,8	8,4	6,7	26,1	30,4	35,7
12 + 16	256	119	77,2	53,5	42,4	25,6	15,5	11,7	9,6	26,4	30,2	35,7
12 + 19	259	120	51,9	36,5	29,8	17,6	10,8	8,7	7,2	30,5	34,0	37,7
14 + 15	295	120	59,9	44,9	36,8	23,2	14,2	10,8	8,8	26,8	30,7	35,7
15 + 0	300	120	56,2	39,3	33,0	21,0	13,1	10,0	8,1	31,3	35,5	37,7
16 + 14	334	121	56,5	41,3	33,5	20,7	12,5	9,1	7,0	26,6	30,3	35,7
17 + 0	340	120	60,5	44,0	35,6	21,3	13,2	10,6	8,7	31,5	35,8	37,7
19 + 0	380	120	75,7	53,3	42,5	25,7	15,7	12,2	10,2	27,0	30,7	35,7
19 + 0	380	121	54,6	38,1	30,2	17,7	11,3	9,2	7,5	31,7	34,8	0,0
20 + 13	413	120	66,0	47,4	38,5	23,7	14,4	10,7	8,6	26,6	30,9	35,7
20 + 16	416	122	53,9	38,5	31,6	19,5	12,6	10,3	8,8	32,0	37,0	42,7
22 + 14	454	121	47,2	35,8	30,0	19,2	11,9	9,0	7,3	32,0	37,1	42,7
22 + 17	457	120	88,3	60,6	47,0	25,7	12,9	8,3	6,4	26,5	30,6	35,7
24 + 15	495	120	69,2	48,1	38,2	21,0	10,9	7,9	6,4	31,6	36,9	42,7
24 + 16	496	121	57,7	39,5	30,9	17,6	9,9	7,2	5,8	26,6	30,6	35,7
26 + 16	536	120	55,2	37,2	29,1	15,9	9,3	7,7	6,6	31,2	36,2	42,7
26 + 18	538	120	68,4	47,7	37,7	21,7	11,3	7,0	5,0	26,7	31,0	35,7
29 + 0	580	119	80,9	58,5	47,4	29,2	16,7	11,1	8,3	26,6	30,6	35,7
29 + 0	580	121	61,8	44,6	36,5	21,6	11,6	7,8	5,9	31,5	35,6	42,7
30 + 14	614	120	71,8	53,0	43,0	23,6	10,6	7,3	6,1	31,3	37,7	42,7
30 + 18	618	120	62,3	45,7	37,1	22,3	12,4	8,1	6,0	26,6	30,6	35,7
31 + 0	620	120	62,4	44,6	36,3	21,3	11,4	7,8	5,8	30,9	37,2	42,7
32 + 10	650	121	72,0	51,6	41,0	22,9	12,0	8,2	6,2	31,1	36,7	43,7
32 + 16	656	121	59,0	44,7	36,9	22,6	12,0	7,2	4,8	26,7	30,2	35,7
33 + 0	660	121	58,8	43,5	35,5	21,1	11,8	8,3	6,4	31,0	37,1	42,7
34 + 13	693	120	73,5	54,6	45,6	28,4	16,1	10,7	7,8	31,5	36,1	43,7
34 + 16	696	121	60,7	45,2	36,9	22,9	13,3	8,9	6,4	26,8	30,3	35,7
36 + 15	735	120	66,9	48,4	40,1	24,7	14,1	9,9	7,5	31,2	36,0	43,7
37 + 0	740	120	73,9	52,8	42,7	26,6	15,6	10,5	7,5	26,6	29,8	35,7
38 + 15	775	119	68,3	49,7	41,6	26,1	15,1	10,4	7,5	31,2	36,2	43,7
39 + 0	780	120	81,0	59,1	48,6	30,5	17,1	11,2	8,1	27,1	30,7	35,7
40 + 11	811	120	65,2	46,1	38,7	24,1	13,5	8,7	6,1	31,4	35,6	43,7
40 + 13	813	122	60,4	44,9	37,2	23,5	13,8	9,3	6,8	27,2	31,7	35,7
42 + 9	849	120	42,0	28,1	22,0	12,5	6,8	5,1	4,3	27,3	30,8	37,0
42 + 11	851	120	39,5	27,7	22,0	12,1	7,0	5,6	4,9	31,7	35,7	43,7
44 + 7	887	120	31,8	19,7	15,1	8,5	5,2	4,2	3,5	27,2	30,9	37,0
44 + 11	891	120	38,3	24,9	19,7	10,6	5,5	4,1	3,4	31,5	36,0	43,7
46 + 10	930	120	39,1	26,1	20,5	11,5	6,0	4,6	3,8	27,2	31,1	37,0
46 + 17	937	121	43,6	29,5	23,9	13,5	6,9	5,5	4,5	31,9	35,9	43,7
48 + 8	968	120	50,2	35,7	28,9	17,9	10,9	8,2	6,6	27,1	31,5	37,0
48 + 19	979	120	65,0	50,8	43,5	29,8	18,5	12,8	9,4	32,6	37,3	43,7
50 + 9	1.009	120	44,2	33,2	28,6	20,1	13,4	9,8	7,3	27,3	31,3	37,0
50 + 11	1.011	119	58,2	45,5	39,7	28,5	19,1	13,7	10,0	31,9	36,0	43,7
52 + 8	1.048	120	46,3	34,5	28,7	19,0	13,0	10,2	8,2	27,6	31,1	37,0
52 + 10	1.050	119	45,4	33,3	27,9	18,9	13,5	11,0	8,6	31,9	36,4	43,7
54 + 7	1.087	120	43,3	31,6	26,1	17,0	11,2	8,7	6,9	27,6	31,7	37,0
54 + 15	1.095	120	37,6	28,1	23,0	14,5	9,7	7,6	6,1	32,4	37,1	43,7
56 + 11	1.131	120	41,2	29,0	23,7	15,1	9,6	7,6	6,2	27,7	31,3	37,0
56 + 16	1.136	120	50,3	35,7	28,3	16,2	9,3	7,1	5,7	32,1	36,8	43,7
58 + 12	1.172	120	41,4	29,6	23,9	14,7	9,3	7,3	5,9	27,7	31,9	37,0
58 + 13	1.173	120	37,7	26,0	20,4	12,1	7,6	6,2	5,1	31,8	36,4	43,7
60 + 9	1.209	120	39,4	26,7	20,8	11,5	6,5	5,0	4,1	31,5	35,5	43,7
60 + 17	1.217	121	40,8	27,7	21,7	12,4	7,0	5,2	4,2	27,4	31,1	37,0

Curva do Boi a TDR Sul - 120kN												
Estaca	Ext. (m)	Carga (kN)	D ₀ (10 ⁻² mm)	D ₂₅ (10 ⁻² mm)	D ₃₅ (10 ⁻² mm)	D ₆₀ (10 ⁻² mm)	D ₉₀ (10 ⁻² mm)	D ₁₂₀ (10 ⁻² mm)	D ₁₅₀ (10 ⁻² mm)	Temp. Ar (°C)	Temp. sup. (°C)	Man
62 + 11	1.251	120	32,9	22,8	19,2	11,8	7,0	5,3	4,3	31,1	36,4	43,7
62 + 14	1.254	119	38,2	26,2	20,8	12,2	7,2	5,5	4,4	27,5	31,2	37,0
64 + 13	1.293	120	41,9	27,3	21,8	12,3	7,1	5,7	4,8	31,3	35,0	43,7
64 + 17	1.297	120	46,2	30,6	23,4	12,9	7,5	6,0	4,9	27,7	31,2	37,0
66 + 16	1.336	120	42,0	28,1	22,8	14,5	9,4	7,3	5,8	27,4	31,6	37,0
66 + 16	1.336	120	41,6	28,0	23,0	14,1	8,3	6,2	4,9	31,9	34,7	43,7
68 + 16	1.376	120	41,0	28,9	24,1	15,3	9,4	7,1	5,7	31,3	35,3	43,7
68 + 17	1.377	120	44,4	30,7	25,3	16,3	10,4	7,9	6,1	27,5	31,3	37,0
70 + 15	1.415	120	47,2	32,4	27,2	16,4	9,6	7,3	5,9	31,8	34,8	43,7
71 + 0	1.420	120	40,3	27,0	21,7	13,6	8,7	6,7	5,3	27,5	31,1	37,0
72 + 11	1.451	121	40,6	26,3	21,3	12,8	7,4	5,4	4,3	31,9	37,2	43,7
73 + 0	1.460	121	41,2	28,1	22,4	13,3	7,6	5,4	4,2	27,4	30,9	37,0
74 + 8	1.488	120	60,9	43,8	36,9	23,3	13,0	8,4	5,6	32,2	35,9	43,7
75 + 0	1.500	119	52,2	39,0	32,9	21,8	13,1	8,7	6,0	27,5	31,2	37,0
76 + 10	1.530	121	33,6	21,2	16,9	9,7	5,6	4,4	3,6	31,7	36,6	43,7
77 + 0	1.540	121	32,5	20,6	15,9	9,0	5,4	4,3	3,5	27,5	32,0	37,0
78 + 16	1.576	121	38,2	29,3	25,7	17,2	11,2	8,6	6,9	32,4	35,2	43,7
79 + 0	1.580	120	43,1	29,4	24,3	15,8	10,3	8,0	6,4	27,7	32,0	37,0
80 + 15	1.615	119	48,0	33,8	29,1	20,6	14,1	10,7	8,3	28,3	31,6	0,0
80 + 15	1.615	120	48,4	33,9	29,3	21,0	14,4	11,0	8,5	27,8	32,7	37,0
81 + 0	1.620	122	42,9	31,4	27,3	19,1	13,0	10,1	8,0	32,8	35,7	41,3
82 + 12	1.652	120	43,9	31,5	27,5	19,3	13,3	10,5	8,3	33,6	37,5	40,8
82 + 16	1.656	120	48,1	35,6	31,0	22,5	15,4	11,6	8,8	28,1	31,2	37,0
84 + 12	1.692	119	42,1	29,2	24,7	16,9	12,1	9,9	8,2	33,7	37,9	40,8
84 + 19	1.699	121	64,1	49,3	42,6	29,8	19,5	13,8	10,2	28,0	33,3	37,0
86 + 15	1.735	121	48,4	33,1	26,8	14,9	8,1	6,2	5,1	33,5	38,1	40,8
86 + 18	1.738	119	46,6	30,2	24,0	14,2	8,4	6,5	5,2	28,2	33,1	36,2
88 + 19	1.779	121	44,4	31,7	26,2	16,9	10,3	7,3	5,6	28,1	32,9	36,2
88 + 19	1.779	120	63,0	45,7	37,9	23,4	13,3	8,8	6,3	33,0	37,9	40,8
90 + 14	1.814	119	77,5	57,3	48,2	29,8	16,4	10,6	7,4	32,4	37,9	40,8
90 + 19	1.819	119	65,4	48,0	40,9	27,6	16,8	11,1	7,6	28,0	32,8	36,2
92 + 9	1.849	121	43,3	30,2	25,5	15,3	8,4	5,9	4,6	32,3	37,6	40,8
92 + 19	1.859	121	73,8	51,7	41,5	24,4	12,6	7,7	5,5	28,0	32,9	36,2
94 + 12	1.892	120	78,8	58,4	48,0	28,6	15,3	10,0	7,4	32,9	37,9	40,8
94 + 19	1.899	120	76,8	57,2	47,2	29,8	17,6	12,0	8,8	28,2	32,6	36,2
96 + 18	1.938	120	79,4	59,2	49,4	30,7	16,1	10,6	8,2	32,6	37,7	40,8
97 + 0	1.940	120	80,4	60,1	50,0	32,3	19,2	13,3	10,0	28,4	32,9	36,2
98 + 15	1.975	120	80,7	59,7	50,7	32,6	19,5	13,8	10,8	32,9	38,9	40,8
98 + 18	1.978	120	85,0	61,5	50,1	31,2	18,5	12,7	9,8	28,1	32,7	36,2
100 + 14	2.014	121	79,0	60,4	50,7	31,7	19,0	13,6	10,6	32,5	38,3	40,8
100 + 19	2.019	120	83,9	61,2	50,9	33,3	20,3	14,4	11,0	28,3	32,8	36,2
102 + 9	2.049	119	80,7	61,4	52,9	35,5	22,3	15,8	12,0	32,0	37,9	40,8
102 + 13	2.053	120	83,0	61,6	51,8	34,3	21,2	14,8	10,9	28,2	33,0	36,2
104 + 12	2.092	119	69,8	48,4	40,1	26,0	16,6	12,0	8,7	28,2	32,8	36,2
104 + 12	2.092	119	73,7	52,8	42,2	24,1	13,9	10,3	8,2	31,9	39,5	40,8
106 + 11	2.131	120	37,6	26,8	21,7	13,3	8,4	6,6	5,3	28,2	32,8	36,2
106 + 14	2.134	120	40,0	29,6	24,7	15,6	10,2	7,9	6,2	31,7	38,1	40,8
108 + 14	2.174	120	46,8	33,8	27,9	18,1	12,0	9,4	7,4	28,1	32,4	36,2
108 + 14	2.174	120	46,5	34,6	28,7	18,8	12,5	9,6	7,5	32,4	38,6	40,8
110 + 13	2.213	120	52,7	39,4	32,8	21,5	13,6	9,9	7,6	27,9	32,0	36,2
110 + 13	2.213	120	49,8	37,8	31,9	21,2	13,8	10,5	8,1	32,5	38,8	40,8
112 + 9	2.249	120	52,0	37,8	30,8	19,3	12,4	9,6	7,7	27,7	32,7	36,2
112 + 10	2.250	120	43,2	30,6	24,9	15,8	10,8	8,9	7,3	32,6	39,2	40,8
114 + 11	2.291	120	53,0	39,2	31,3	18,1	10,8	8,3	6,7	32,4	38,2	40,8
114 + 12	2.292	120	43,9	28,0	22,2	13,5	9,0	7,4	6,1	27,7	33,3	36,2
116 + 11	2.331	120	45,5	31,6	25,4	15,2	9,8	7,7	6,4	32,2	38,3	40,8
116 + 15	2.335	120	47,1	31,4	24,8	14,7	9,0	6,9	5,4	27,8	32,8	36,2
118 + 12	2.372	121	44,8	33,9	27,9	16,4	9,4	7,1	5,6	32,1	37,1	40,8
118 + 14	2.374	120	39,8	26,9	21,6	12,7	7,6	5,8	4,7	27,9	32,5	36,2
120 + 13	2.413	120	49,3	33,9	26,8	16,2	11,3	9,3	7,7	32,5	37,4	40,8
120 + 18	2.418	120	57,3	42,2	34,7	22,6	14,5	10,9	8,6	28,0	33,2	36,2
122 + 11	2.451	119	44,9	33,1	28,2	19,4	14,1	11,6	9,2	32,3	36,5	40,8
122 + 19	2.459	120	58,6	43,9	36,6	24,3	16,2	12,4	9,8	28,4	33,0	36,2
124 + 8	2.488	119	42,5	31,4	26,4	16,9	11,7	9,8	8,2	31,9	37,2	40,8
124 + 19	2.499	120	55,1	39,1	31,3	18,6	11,7	9,0	7,3	28,2	33,3	36,2
126 + 10	2.530	120	48,6	32,2	26,1	15,6	10,1	8,3	7,1	32,2	38,5	40,8

Curva do Boi a TDR Sul - 120kN												
Estaca	Ext. (m)	Carga (kN)	D ₀ (10 ⁻² mm)	D ₂₅ (10 ⁻² mm)	D ₃₅ (10 ⁻² mm)	D ₆₀ (10 ⁻² mm)	D ₉₀ (10 ⁻² mm)	D ₁₂₀ (10 ⁻² mm)	D ₁₅₀ (10 ⁻² mm)	Temp. Ar (°C)	Temp. sup. (°C)	Man
126 + 17	2.537	121	38,1	26,6	21,0	12,3	7,8	6,6	5,7	28,1	33,8	36,2
128 + 14	2.574	120	47,6	37,6	30,8	19,8	12,2	9,1	7,0	31,9	37,5	40,8
128 + 15	2.575	120	59,5	42,9	35,3	22,1	13,5	9,7	7,2	28,1	33,5	36,2
130 + 14	2.614	120	50,7	37,4	30,5	17,7	9,7	7,1	5,9	32,0	36,0	40,8
130 + 16	2.616	120	69,9	48,9	38,4	21,6	12,0	8,7	7,0	28,3	33,9	36,2
132 + 10	2.650	121	56,3	40,8	32,8	18,4	9,7	6,7	5,5	31,7	36,6	40,8
133 + 0	2.660	121	64,5	47,6	39,3	23,8	13,9	9,9	7,8	28,2	33,1	36,2
134 + 8	2.688	120	55,5	41,0	33,2	19,6	10,6	7,6	6,0	31,7	36,9	40,8
134 + 18	2.698	122	68,9	50,8	41,2	24,5	12,9	8,6	7,1	28,4	33,6	36,2
136 + 13	2.733	120	65,7	50,7	42,4	26,2	15,1	11,1	8,7	31,7	38,1	40,8
136 + 17	2.737	118	94,5	72,2	60,8	39,9	24,0	16,1	11,7	28,2	33,3	36,2
138 + 11	2.771	120	63,7	49,2	41,1	24,9	14,6	10,6	8,2	31,3	37,5	40,8
138 + 17	2.777	120	82,7	59,0	48,1	29,8	17,3	11,7	8,7	27,8	32,8	36,2
140 + 15	2.815	121	49,3	37,9	32,4	21,4	13,6	9,9	7,5	31,6	35,6	40,8
141 + 0	2.820	120	60,4	46,6	39,9	27,3	17,5	12,2	8,7	27,6	32,3	36,2
142 + 16	2.856	121	67,4	52,7	45,0	29,9	18,0	11,7	8,3	31,9	36,6	40,8
142 + 19	2.859	120	64,0	47,8	40,5	26,7	16,3	10,9	7,8	27,9	32,5	36,2
144 + 12	2.892	120	95,3	70,9	57,3	34,4	19,5	13,3	9,8	32,0	36,5	40,8
144 + 18	2.898	120	55,6	40,4	34,5	24,0	16,2	12,2	9,3	28,2	31,9	36,2
146 + 14	2.934	120	51,3	38,2	32,2	21,9	14,8	11,2	8,8	28,4	32,3	36,2
146 + 14	2.934	119	82,0	62,0	51,9	33,5	20,5	14,3	10,5	32,9	38,1	40,8
148 + 10	2.970	120	48,4	35,1	29,0	19,0	13,3	11,3	9,8	32,4	37,0	40,8
148 + 12	2.972	120	51,4	37,1	30,9	20,5	14,3	12,0	10,4	28,4	32,5	36,2
150 + 10	3.010	120	65,0	50,3	42,7	29,5	20,0	15,5	12,5	28,4	32,4	36,2
150 + 15	3.015	120	50,4	39,5	33,3	22,2	15,3	12,6	10,6	31,8	36,8	40,8
152 + 3	3.043	119	47,0	34,8	29,5	21,1	16,0	13,7	11,9	28,5	32,6	36,2
152 + 15	3.055	120	49,4	36,3	29,7	17,7	11,1	9,4	8,2	32,0	37,3	40,8
154 + 4	3.084	120	45,7	33,6	28,9	21,0	15,6	13,0	11,2	28,6	32,7	36,2
154 + 11	3.091	119	54,1	42,3	36,0	24,7	16,5	12,7	10,6	32,3	37,0	40,8
156 + 6	3.126	121	41,5	27,4	22,0	13,2	8,1	6,7	5,7	28,6	32,5	36,2
156 + 12	3.132	121	58,6	43,2	35,2	20,5	10,7	7,3	5,9	32,0	37,1	40,8
158 + 8	3.168	121	58,9	41,4	33,0	18,8	10,1	6,7	5,2	28,5	32,7	36,2
158 + 9	3.169	121	64,4	47,6	39,0	22,4	12,0	8,0	5,9	31,9	37,0	40,8
160 + 8	3.208	120	68,9	51,8	43,1	27,5	17,1	12,3	9,4	28,5	32,2	36,2
160 + 13	3.213	120	68,1	53,2	44,9	28,7	17,5	12,6	9,6	31,8	37,5	40,8
162 + 9	3.249	121	79,5	58,8	48,5	30,3	18,2	12,9	9,6	28,5	31,9	36,2
162 + 13	3.253	120	76,9	58,4	48,5	30,0	17,3	11,9	8,8	31,5	35,9	40,8
164 + 11	3.291	119	96,7	77,1	64,5	40,2	23,8	16,3	11,7	31,3	35,9	40,8
164 + 13	3.293	119	94,0	74,1	62,9	41,6	25,6	17,2	12,0	28,4	32,9	36,2
166 + 11	3.331	120	75,8	58,6	48,9	31,2	18,9	13,3	10,0	28,5	33,2	36,2
166 + 13	3.333	120	71,0	54,8	45,6	28,9	18,0	13,1	9,9	31,6	37,0	40,8
168 + 7	3.367	120	69,8	51,0	41,9	25,8	15,2	11,5	8,9	28,1	32,2	36,2
168 + 11	3.371	120	78,2	57,9	48,4	29,5	17,2	11,9	9,0	32,0	35,0	40,8
170 + 9	3.409	120	77,7	59,8	50,4	33,2	20,3	14,2	10,5	32,0	35,6	40,8
170 + 11	3.411	121	53,7	41,9	36,0	25,3	16,9	12,6	9,8	28,2	32,5	36,2
172 + 12	3.452	120	78,1	59,7	50,4	32,7	20,1	14,1	10,7	32,0	35,6	40,8
172 + 19	3.459	119	77,3	56,0	46,8	30,3	18,2	12,5	9,3	28,1	32,1	36,2
174 + 18	3.498	121	62,0	47,1	38,8	24,6	15,5	11,9	10,1	28,1	31,1	36,2
175 + 0	3.500	121	58,4	42,4	34,6	20,2	12,2	10,0	8,6	31,7	34,6	40,8
176 + 16	3.536	121	34,3	20,7	18,0	13,6	9,8	7,5	5,6	27,9	31,8	36,1
177 + 0	3.540	121	46,3	28,5	22,7	14,2	9,4	7,4	6,1	31,6	34,4	40,8
178 + 17	3.577	121	65,1	43,2	35,4	22,4	13,4	9,1	6,9	28,0	31,4	36,1
178 + 18	3.578	121	59,4	47,3	41,0	30,9	24,4	19,2	14,6	31,5	34,5	40,8
181 + 0	3.620	121	72,5	51,3	41,5	25,0	14,2	9,4	6,9	27,9	31,0	36,1
181 + 0	3.620	119	66,0	52,4	44,2	28,6	16,0	9,8	6,7	31,3	36,3	40,8
182 + 0	3.640	121	76,1	53,0	41,9	23,9	12,6	7,9	5,4	28,7	31,8	36,1
182 + 0	3.640	121	75,4	57,8	48,5	30,4	17,5	11,5	9,1	30,5	34,3	40,8

TDR Sul a Curva do boi - 30kN												
Estaca	Ext. (m)	Carga (kN)	D ₀ (10 ⁻² mm)	D ₂₅ (10 ⁻² mm)	D ₃₅ (10 ⁻² mm)	D ₆₀ (10 ⁻² mm)	D ₉₀ (10 ⁻² mm)	D ₁₂₀ (10 ⁻² mm)	D ₁₅₀ (10 ⁻² mm)	Temp. Ar (°C)	Temp. sup. (°C)	Man
0 + 0	0	31	43,5	26,8	17,7	7,1	4,2	3,7	3,5	25,7	29,5	34,5
2 + 5	45	29	26,8	17,3	11,9	5,1	3,9	3,2	2,8	27,6	32,1	37,3
2 + 11	51	30	26,9	17,0	11,5	4,5	2,3	2,1	1,7	26,5	29,7	34,0
4 + 7	87	30	26,5	16,4	11,2	4,8	3,9	3,3	2,9	28,2	32,7	37,3
4 + 9	89	30	25,9	16,6	11,7	5,4	3,3	2,8	2,5	26,9	31,3	34,0
6 + 2	122	28	32,8	21,8	15,4	6,7	3,7	3,3	2,7	26,7	32,5	36,7
6 + 3	123	32	26,8	16,8	11,3	5,0	4,3	3,7	3,1	28,0	33,1	37,3
8 + 4	164	30	33,4	21,8	15,4	6,9	3,9	3,3	2,7	27,1	32,0	36,7
8 + 6	166	30	22,9	14,0	9,4	4,3	4,0	3,4	2,9	28,1	32,9	37,3
10 + 0	200	30	37,6	24,7	17,6	8,0	4,5	4,0	3,3	27,4	30,9	36,7
10 + 11	211	30	34,5	22,9	16,6	8,0	4,5	4,1	3,5	28,5	32,8	37,3
12 + 5	245	30	37,4	24,5	17,5	8,2	4,8	4,1	3,3	27,6	31,8	36,7
12 + 6	246	30	31,3	20,7	14,9	7,2	4,3	4,1	3,4	29,0	32,7	37,3
14 + 4	284	30	34,8	22,4	15,6	6,9	3,6	3,1	2,5	27,9	31,7	36,7
14 + 7	287	30	33,7	22,7	16,3	8,0	4,6	4,1	3,1	29,1	33,4	37,3
16 + 3	323	30	42,8	28,4	20,1	8,9	4,8	4,3	3,6	29,7	33,9	37,3
16 + 4	324	30	41,8	28,0	20,3	9,4	5,0	4,3	3,5	28,0	21,1	36,7
18 + 7	367	30	45,1	29,8	21,1	9,4	5,0	4,5	3,9	30,2	33,8	37,3
18 + 7	367	30	34,9	22,3	15,9	7,6	5,0	4,4	3,2	28,0	31,9	36,7
20 + 5	405	30	33,4	21,6	14,9	6,5	3,8	3,4	3,0	27,9	31,6	36,7
20 + 9	409	30	36,7	23,9	17,1	8,1	4,5	4,3	3,6	30,2	33,0	37,3
22 + 5	445	30	22,0	12,6	8,2	3,2	2,8	2,4	2,2	28,0	31,7	36,7
22 + 7	447	26	21,4	13,0	8,8	3,7	3,5	3,4	2,9	29,7	32,9	37,3
24 + 5	485	30	23,4	14,1	9,2	3,4	2,8	2,4	2,1	27,7	31,2	36,7
24 + 9	489	30	22,5	13,6	8,8	3,5	3,4	3,0	2,9	29,6	33,4	37,3
26 + 3	523	30	19,4	11,4	7,5	2,9	2,0	2,1	1,9	27,4	32,1	36,7
26 + 8	528	30	22,2	13,9	9,4	3,7	3,4	3,0	2,6	29,5	33,7	37,3
28 + 4	564	30	20,2	11,8	7,7	3,0	2,8	2,3	2,0	27,3	31,5	36,7
28 + 5	565	30	20,0	11,9	7,9	3,0	2,8	2,3	2,0	29,4	33,3	37,3
30 + 5	605	31	28,7	17,6	11,8	4,6	2,6	2,6	2,4	27,2	31,1	36,7
30 + 9	609	30	20,6	12,1	7,9	3,0	2,9	2,5	2,1	29,3	33,6	37,3
32 + 5	645	30	35,8	23,8	17,1	8,5	5,5	4,8	3,9	27,3	31,2	36,7
32 + 6	646	31	34,7	22,7	15,9	7,0	4,1	4,0	3,4	29,7	33,1	37,3
34 + 5	685	31	28,5	18,3	13,0	6,3	4,9	4,5	3,8	29,2	33,3	37,3
34 + 6	686	30	36,9	24,1	17,3	8,2	5,2	4,7	4,0	27,2	31,0	36,7
36 + 4	724	30	26,6	15,9	10,4	3,9	2,4	2,4	2,0	27,3	30,7	36,7
36 + 5	725	30	26,3	16,6	11,8	5,8	4,8	4,3	3,8	29,1	33,1	37,3
38 + 6	766	30	18,4	10,9	7,4	3,2	2,8	2,6	2,2	29,6	33,3	37,3
38 + 7	767	30	18,9	11,5	7,7	3,5	2,2	2,2	1,7	27,4	31,1	36,7
40 + 7	807	30	22,3	14,5	10,6	5,2	3,2	2,9	2,4	27,6	30,8	36,7
40 + 9	809	30	17,1	10,4	7,3	3,4	2,9	2,8	2,2	29,8	33,6	37,3
42 + 2	842	31	24,7	16,1	11,9	5,9	3,4	2,9	2,4	27,9	31,0	36,7
42 + 8	848	30	27,7	17,8	12,6	5,8	3,4	3,2	2,7	29,5	33,3	37,3
44 + 6	886	30	23,2	13,9	9,7	4,5	2,8	2,8	2,4	30,0	33,0	37,3
44 + 7	887	30	21,1	12,3	8,3	3,7	2,4	2,3	2,0	27,9	31,2	36,7
46 + 3	923	31	29,4	19,8	14,5	6,7	3,6	2,9	2,5	28,0	30,6	36,7
46 + 6	926	25	22,3	12,8	9,0	4,1	3,7	3,4	2,9	29,5	33,4	37,3
48 + 5	965	31	30,6	20,5	15,1	7,6	4,3	3,9	3,1	28,3	31,8	37,3
48 + 5	965	30	31,8	20,4	14,5	6,3	3,3	3,2	2,6	28,0	30,9	36,7
50 + 7	1.007	30	23,1	14,2	10,4	5,2	3,6	3,1	2,6	27,9	30,5	36,7
50 + 9	1.009	30	24,6	15,7	11,4	5,8	3,7	3,7	3,2	27,9	31,2	37,3
52 + 5	1.045	30	24,7	16,5	12,2	6,4	4,1	3,7	3,1	28,7	31,9	37,3
52 + 16	1.056	29	23,7	14,4	10,4	5,0	3,7	3,2	2,9	27,9	30,3	36,7
54 + 4	1.084	30	22,0	14,4	10,5	5,2	3,3	3,0	2,5	27,7	30,3	36,7
54 + 7	1.087	31	21,7	14,0	10,1	5,2	3,8	3,3	2,8	29,2	32,3	37,3
56 + 5	1.125	30	21,5	14,0	10,3	5,1	3,0	3,0	2,5	29,4	32,7	37,3
56 + 7	1.127	30	23,1	14,5	10,3	4,7	2,8	2,5	2,1	27,3	29,8	36,7
58 + 1	1.161	33	22,2	13,8	9,7	4,7	3,8	3,2	2,5	29,4	33,4	37,3
58 + 9	1.169	29	23,1	14,7	10,4	4,8	2,8	2,7	2,3	27,0	29,5	36,7
60 + 4	1.204	30	22,4	13,0	8,8	3,8	3,1	2,9	2,4	29,0	32,4	37,3
60 + 12	1.212	30	21,8	12,9	8,8	3,9	2,5	2,5	2,1	26,8	30,4	36,7
62 + 7	1.247	33	21,7	13,8	9,8	4,5	2,7	2,7	2,2	28,5	32,7	37,3
62 + 10	1.250	30	24,2	15,6	11,1	5,0	2,7	2,5	2,2	26,7	29,8	36,7
64 + 10	1.290	31	20,3	12,4	8,7	4,0	3,2	2,7	2,3	29,3	33,3	37,3

TDR Sul a Curva do boi - 30kN												
Estaca	Ext. (m)	Carga (kN)	D ₀ (10 ⁻² mm)	D ₂₅ (10 ⁻² mm)	D ₃₅ (10 ⁻² mm)	D ₆₀ (10 ⁻² mm)	D ₉₀ (10 ⁻² mm)	D ₁₂₀ (10 ⁻² mm)	D ₁₅₀ (10 ⁻² mm)	Temp. Ar (°C)	Temp. sup. (°C)	Man
64 + 13	1.293	30	24,5	15,2	10,8	4,9	3,1	2,9	2,4	26,4	30,0	36,7
66 + 4	1.324	30	24,7	15,4	10,7	4,6	2,7	2,6	2,3	26,2	29,9	36,7
66 + 8	1.328	32	24,2	15,6	11,1	5,1	3,5	3,2	2,6	28,7	32,8	37,3
68 + 1	1.361	30	25,3	16,2	11,4	5,0	2,8	2,7	2,3	25,9	30,3	36,7
68 + 7	1.367	33	24,8	15,8	11,0	5,0	3,0	3,0	2,6	28,1	32,8	37,3
69 + 19	1.399	30	30,7	20,5	14,9	6,9	3,6	3,1	2,8	25,7	29,2	36,7
70 + 0	1.400	30	21,7	14,3	10,3	4,9	3,9	3,1	2,6	28,0	32,6	37,3
72 + 0	1.440	30	23,0	14,6	10,6	5,1	3,0	2,9	2,4	28,5	32,4	37,3
72 + 3	1.443	30	22,1	13,3	9,3	4,1	2,1	2,1	1,8	25,4	29,7	36,7
74 + 1	1.481	33	25,5	16,0	11,0	4,5	2,2	2,2	1,9	29,3	32,2	37,3
74 + 4	1.484	30	22,8	14,2	10,2	4,9	3,3	3,1	2,7	25,4	29,4	36,7
76 + 0	1.520	35	37,1	24,5	17,5	8,5	4,9	4,2	3,6	28,8	33,4	37,8
76 + 1	1.521	30	28,7	17,7	12,2	5,5	3,3	2,8	2,2	25,3	31,6	36,7
78 + 5	1.565	30	28,2	18,2	13,1	6,2	3,7	3,2	2,7	25,3	29,9	36,7
78 + 7	1.567	31	23,4	14,5	10,5	5,1	3,0	3,0	2,4	29,0	31,9	37,8
80 + 2	1.602	30	30,6	20,3	14,1	5,8	3,9	3,5	2,9	28,6	31,7	37,8
80 + 2	1.602	30	22,6	14,6	10,6	5,2	3,2	2,9	2,5	25,3	28,7	36,7
82 + 2	1.642	30	25,7	16,4	11,3	5,0	3,9	3,5	3,0	28,3	31,6	37,8
82 + 3	1.643	30	23,6	15,4	11,2	5,4	3,4	3,2	2,7	25,5	28,6	36,7
84 + 3	1.683	30	23,9	16,3	12,0	5,7	3,3	3,1	2,6	25,4	29,4	36,7
84 + 6	1.686	30	27,0	17,2	12,0	5,4	3,8	3,5	3,0	28,3	31,4	37,8
86 + 4	1.724	30	23,5	16,4	12,3	6,2	3,7	3,3	2,7	25,4	29,9	36,7
86 + 5	1.725	30	29,0	19,1	13,3	6,0	3,8	3,8	3,2	28,3	31,8	37,8
88 + 4	1.764	30	30,5	20,2	14,2	6,3	3,6	3,5	2,8	28,4	31,6	37,8
88 + 4	1.764	31	30,2	18,0	11,8	4,7	3,0	2,8	2,4	25,3	29,9	36,7
90 + 6	1.806	30	19,8	12,5	8,6	3,9	3,8	3,3	2,9	28,2	31,5	37,8
90 + 6	1.806	30	20,7	13,1	9,2	4,1	2,5	2,4	2,2	25,3	30,8	36,7
92 + 3	1.843	30	20,9	13,0	9,0	3,9	2,5	2,5	2,2	25,2	30,7	36,7
92 + 6	1.846	30	26,4	17,2	12,3	5,6	3,1	3,0	2,6	28,4	31,7	37,8
94 + 6	1.886	30	23,6	14,5	10,2	4,4	2,8	2,5	2,2	25,4	29,6	36,7
94 + 7	1.887	30	25,0	16,6	11,8	5,4	3,1	3,1	2,6	28,4	32,0	37,8
96 + 5	1.925	30	21,3	13,4	9,3	4,0	2,5	2,5	2,1	25,5	29,8	36,7
96 + 9	1.929	30	23,0	14,0	9,6	4,3	3,3	3,0	2,8	28,3	31,7	37,8
98 + 8	1.968	30	23,9	15,3	11,0	5,2	2,8	2,5	2,2	25,5	30,1	36,7
98 + 10	1.970	30	28,6	17,5	11,9	4,8	3,6	2,9	2,6	28,2	32,2	37,8
100 + 6	2.006	30	25,1	15,4	10,4	4,4	2,7	2,6	2,3	25,6	31,4	36,7
100 + 10	2.010	30	36,0	23,4	16,7	7,4	3,7	3,6	2,9	28,0	31,7	37,8
102 + 7	2.047	30	23,7	14,8	10,4	4,6	2,5	2,4	2,3	25,9	30,7	36,7
102 + 10	2.050	30	27,1	16,6	11,5	5,1	3,1	3,1	2,6	27,8	31,4	37,8
104 + 2	2.082	30	37,0	24,1	17,3	7,5	3,6	2,9	2,5	25,9	29,4	36,7
104 + 5	2.085	31	30,4	19,2	13,4	5,6	2,8	2,8	2,2	27,4	30,4	37,8
106 + 3	2.123	30	32,8	19,7	12,9	4,5	3,5	2,9	2,4	27,3	30,8	37,8
106 + 6	2.126	29	23,8	13,8	8,9	2,9	2,7	1,9	1,7	25,9	30,3	36,7
108 + 5	2.165	31	26,6	16,4	10,9	4,2	2,4	2,4	2,1	26,1	30,1	36,7
108 + 6	2.166	29	24,3	14,5	9,8	4,0	3,2	2,5	2,3	26,8	30,6	37,8
110 + 4	2.204	30	23,6	14,3	9,4	3,1	1,4	1,2	0,9	26,2	29,7	36,7
110 + 6	2.206	30	23,6	13,5	8,9	3,7	3,5	2,8	2,4	26,6	30,3	37,8
112 + 6	2.246	30	22,5	12,9	8,5	3,6	3,5	2,8	2,4	26,5	30,5	37,8
112 + 6	2.246	30	18,1	11,3	7,8	3,2	2,4	2,0	1,8	26,0	29,6	36,7
114 + 1	2.281	30	17,3	10,0	6,8	3,0	2,8	2,5	2,1	26,5	30,2	37,8
114 + 5	2.285	30	17,6	10,2	7,1	3,2	2,7	2,3	1,9	26,1	28,9	36,7
116 + 4	2.324	30	25,3	15,8	10,8	4,5	3,7	2,9	2,4	26,8	30,3	37,8
116 + 12	2.332	30	19,5	11,7	7,9	3,1	2,5	2,1	1,8	26,1	29,4	36,7
118 + 4	2.364	30	22,9	13,8	8,9	3,4	2,9	2,6	2,2	26,5	29,9	37,8
118 + 13	2.373	30	17,8	10,5	6,9	2,8	2,5	2,0	1,7	26,1	29,7	36,7
120 + 2	2.402	30	18,6	10,6	6,9	2,6	2,3	2,1	1,8	26,2	29,5	37,8
120 + 10	2.410	30	20,2	11,6	7,8	3,3	2,6	2,2	1,9	26,0	28,8	36,7
122 + 6	2.446	33	21,4	12,9	8,7	3,4	3,1	2,4	2,1	25,7	29,2	37,8
122 + 10	2.450	30	18,0	10,7	7,2	3,0	2,7	2,2	1,9	26,2	29,1	36,7
124 + 3	2.483	30	22,6	13,2	8,7	3,4	2,9	2,7	2,3	25,5	29,4	37,8
124 + 13	2.493	30	25,3	14,8	9,5	3,4	2,3	2,2	2,0	26,3	29,7	34,7
126 + 6	2.526	30	19,9	12,6	8,8	4,1	3,5	2,8	2,3	25,4	29,3	37,8
126 + 8	2.528	27	17,5	10,4	6,9	2,5	2,3	2,0	1,8	26,2	30,5	35,0
128 + 1	2.561	28	16,1	9,2	5,7	2,3	2,0	1,9	1,7	26,1	28,8	33,8

TDR Sul a Curva do boi - 30kN												
Estaca	Ext. (m)	Carga (kN)	D ₀ (10 ⁻² mm)	D ₂₅ (10 ⁻² mm)	D ₃₅ (10 ⁻² mm)	D ₆₀ (10 ⁻² mm)	D ₉₀ (10 ⁻² mm)	D ₁₂₀ (10 ⁻² mm)	D ₁₅₀ (10 ⁻² mm)	Temp. Ar (°C)	Temp. sup. (°C)	Man
128 + 5	2.565	31	17,6	10,1	6,5	2,5	2,3	2,2	1,9	25,2	30,2	35,0
130 + 4	2.604	30	17,2	9,8	6,5	2,6	2,4	2,2	1,9	25,1	29,1	35,0
130 + 7	2.607	33	18,6	10,7	7,0	2,8	2,5	2,1	1,8	26,3	29,5	33,8
132 + 6	2.646	30	19,7	11,8	7,8	3,2	2,9	2,6	2,3	24,9	29,0	35,0
132 + 9	2.649	30	16,9	10,4	7,0	3,0	2,8	2,3	2,0	26,2	30,2	33,8
134 + 2	2.682	30	19,0	11,4	7,8	3,6	3,4	2,7	2,3	24,8	29,3	35,0
134 + 6	2.686	30	18,1	10,8	7,3	3,0	2,3	2,3	2,0	26,3	29,9	33,8
136 + 3	2.723	30	26,2	15,6	10,3	4,2	3,6	2,9	2,4	24,9	28,6	35,0
136 + 9	2.729	30	21,4	13,4	9,3	4,2	2,7	2,7	2,4	26,6	30,1	33,8
138 + 4	2.764	30	19,6	11,9	8,2	3,9	2,7	2,5	2,3	25,2	28,9	35,0
138 + 7	2.767	30	19,5	11,7	8,0	3,9	2,8	2,8	2,3	26,7	30,0	33,8
140 + 1	2.801	30	19,3	11,2	7,6	3,4	2,2	2,2	1,8	26,8	30,6	33,8
140 + 4	2.804	30	26,6	17,2	12,6	6,4	3,9	3,4	2,8	25,1	28,4	35,0
142 + 6	2.846	30	25,7	16,5	12,0	6,0	3,6	3,5	2,6	25,0	28,3	35,0
142 + 6	2.846	30	19,8	12,1	8,3	4,1	2,9	2,9	2,5	27,0	30,7	33,8
144 + 4	2.884	30	40,8	27,3	18,7	7,0	3,2	2,9	2,6	27,3	31,7	33,8
144 + 5	2.885	29	19,8	11,9	8,3	4,0	3,8	3,1	2,7	24,6	28,7	35,0
145 + 18	2.918	30	26,6	18,2	13,3	6,1	3,3	2,9	2,4	27,6	30,4	33,8
145 + 19	2.919	30	30,0	19,8	14,1	6,9	3,2	3,1	2,7	24,6	28,2	35,0
147 + 19	2.959	30	26,2	17,9	13,3	6,6	3,8	3,6	3,1	27,6	30,0	33,8
148 + 0	2.960	30	25,4	16,7	12,1	5,9	3,7	3,7	3,2	24,6	28,0	35,0
150 + 2	3.002	30	20,8	14,2	10,3	4,9	3,2	3,1	2,7	27,7	29,9	33,8
150 + 4	3.004	30	26,2	16,6	11,8	5,4	4,5	3,8	3,2	24,5	27,8	35,0
152 + 7	3.047	30	26,0	16,6	12,0	6,1	4,8	4,4	3,9	24,5	28,7	35,0
152 + 7	3.047	30	28,6	19,0	13,7	6,6	4,3	4,3	3,8	27,7	29,9	33,8
154 + 5	3.085	30	23,0	14,7	10,6	5,3	4,9	4,3	3,8	24,6	28,8	35,0
154 + 7	3.087	30	25,3	16,9	12,2	6,0	4,2	4,2	3,7	28,4	31,8	36,8
156 + 1	3.121	30	23,3	15,0	10,8	5,6	5,1	4,4	3,8	24,5	28,8	35,0
156 + 8	3.128	30	23,0	14,2	10,2	5,2	3,9	3,7	3,2	28,7	31,3	36,8
158 + 2	3.162	30	23,9	15,9	11,6	5,8	3,5	3,4	2,7	24,4	29,1	35,0
158 + 6	3.166	30	26,5	18,0	13,1	6,3	3,9	3,5	2,8	28,9	32,2	37,0
160 + 3	3.203	30	33,0	21,4	15,0	6,7	3,8	3,4	2,8	29,0	31,3	37,0
160 + 6	3.206	30	27,8	18,6	13,5	6,3	3,8	3,6	3,0	24,4	28,6	35,0
162 + 1	3.241	30	31,0	20,5	15,1	7,7	4,6	4,3	3,6	24,5	29,1	35,0
162 + 6	3.246	30	34,4	22,5	16,0	7,3	4,5	4,2	3,5	28,9	30,6	37,0
164 + 4	3.284	30	28,3	19,0	14,2	7,5	4,5	4,2	3,6	24,5	28,2	35,0
164 + 5	3.285	30	31,8	21,0	15,3	7,4	4,5	4,0	3,5	28,6	30,5	37,0
166 + 3	3.323	30	28,4	18,9	14,0	7,3	4,5	4,2	3,5	24,2	27,3	35,0
166 + 4	3.324	30	30,4	19,7	13,9	6,0	3,6	3,5	3,0	28,5	30,4	37,0
168 + 1	3.361	30	22,8	14,8	10,5	4,9	3,5	3,3	2,8	24,3	27,6	35,0
168 + 12	3.372	30	25,2	16,8	12,1	5,7	3,4	3,4	2,8	28,7	31,1	37,0
170 + 3	3.403	30	28,2	17,9	13,1	6,4	3,8	3,8	3,2	24,4	27,8	35,0
170 + 9	3.409	30	28,8	18,6	13,0	5,9	3,6	3,3	2,7	28,7	31,2	37,0
172 + 5	3.445	30	34,3	22,0	15,1	6,3	3,6	3,2	2,7	28,8	31,1	37,0
172 + 12	3.452	30	31,2	19,7	13,6	6,0	3,4	3,2	2,6	24,3	28,3	35,0
174 + 2	3.482	30	26,0	16,8	12,1	5,7	3,3	3,0	2,6	24,4	27,7	35,0
174 + 7	3.487	30	31,2	19,3	13,3	5,4	3,1	3,1	2,8	28,7	31,6	37,0
176 + 1	3.521	30	29,5	19,4	13,9	6,2	2,9	2,8	2,3	24,5	27,7	35,0
176 + 3	3.523	30	37,3	25,1	17,5	7,1	3,1	2,5	2,0	28,6	31,5	37,0
178 + 1	3.561	30	35,3	23,6	16,8	7,6	3,8	3,2	2,4	24,4	28,1	35,0
178 + 8	3.568	30	28,1	17,6	11,9	4,9	2,8	2,7	2,3	28,5	31,5	37,0
179 + 18	3.598	30	17,4	12,3	9,6	5,5	3,7	3,7	3,1	24,2	28,0	35,0
180 + 3	3.603	30	20,1	14,3	11,0	6,0	3,8	3,5	3,0	28,4	31,9	37,0
182 + 3	3.643	30	20,1	13,5	10,0	5,0	3,0	3,0	2,3	24,2	27,5	35,0
182 + 5	3.645	30	16,0	11,0	8,0	3,7	2,8	2,3	1,9	28,2	31,6	37,0

TDR Sul a Curva do boi - 41kN												
Estaca	Ext. (m)	Carga (kN)	D ₀ (10 ⁻² mm)	D ₂₅ (10 ⁻² mm)	D ₃₅ (10 ⁻² mm)	D ₆₀ (10 ⁻² mm)	D ₉₀ (10 ⁻² mm)	D ₁₂₀ (10 ⁻² mm)	D ₁₅₀ (10 ⁻² mm)	Temp. Ar (°C)	Temp. sup. (°C)	Man
0 + 0	0	42	36,6	25,1	18,6	9,2	5,0	3,8	3,1	26,0	-61,0	32,0
0 + 0	0	42	35,0	22,7	16,5	8,1	4,6	3,5	2,8	28,2	32,3	37,4
2 + 0	40	41	40,5	25,3	17,6	7,3	3,7	2,9	2,5	29,1	33,2	38,2
2 + 5	45	42	36,2	23,5	17,1	7,9	3,9	2,7	2,2	26,4	28,0	32,0
3 + 19	79	41	33,8	22,1	16,2	7,6	3,8	2,9	2,3	27,0	24,4	32,0
4 + 2	82	41	38,6	22,8	15,6	6,4	3,4	2,8	2,4	29,5	33,3	38,2
6 + 3	123	41	44,9	30,5	22,6	11,1	5,6	3,8	2,9	27,2	29,9	32,0
6 + 5	125	41	38,3	22,4	15,4	6,6	4,0	3,3	2,8	29,6	33,6	38,2
8 + 0	160	41	45,7	31,1	23,2	11,2	5,6	4,0	3,2	27,2	29,7	32,0
8 + 3	163	41	31,4	19,1	13,4	6,0	3,6	3,1	2,7	29,5	33,2	38,2
10 + 0	200	42	46,9	32,6	24,8	12,3	6,3	4,5	3,7	27,4	30,4	32,0
10 + 0	200	41	48,1	32,1	23,3	11,0	5,4	4,1	3,4	29,6	33,4	38,2
12 + 2	242	41	42,5	28,5	21,1	10,4	5,6	4,1	3,3	29,6	32,8	38,2
12 + 3	243	41	47,7	32,8	24,7	12,4	6,5	4,8	3,7	27,7	30,3	32,0
14 + 0	280	41	48,8	31,6	22,8	11,1	6,0	4,5	3,4	29,3	32,5	38,2
14 + 8	288	42	48,0	32,9	24,4	11,5	5,3	3,6	2,7	27,7	30,5	32,0
16 + 1	321	41	60,8	39,0	27,9	12,7	6,3	4,4	3,6	29,2	33,6	38,2
16 + 4	324	40	49,5	34,7	26,1	12,9	6,6	4,8	3,9	28,2	30,4	32,0
18 + 2	362	42	69,0	43,7	30,7	13,2	6,4	4,8	3,9	29,6	33,3	38,2
18 + 4	364	41	48,2	31,9	23,9	12,2	6,5	4,5	3,5	28,3	30,7	32,0
20 + 2	402	41	54,9	37,3	27,2	13,2	6,9	4,9	3,8	29,7	33,6	38,2
20 + 5	405	40	39,5	26,5	19,4	9,0	4,7	3,6	3,1	28,1	30,7	32,0
22 + 2	442	41	30,5	18,3	12,6	5,1	2,7	2,3	2,1	28,3	31,6	32,0
22 + 6	446	41	31,5	19,3	13,2	5,4	2,8	2,4	2,1	29,9	33,6	38,2
24 + 2	482	41	32,7	19,4	13,5	5,2	2,5	2,3	1,9	28,4	31,2	32,0
24 + 4	484	41	27,7	16,5	11,1	4,4	2,7	2,4	2,1	29,9	33,3	38,2
26 + 4	524	41	33,0	20,3	13,9	5,4	2,9	2,5	2,1	29,9	33,6	38,2
26 + 7	527	41	27,3	16,8	11,5	4,3	2,2	2,0	1,8	27,9	31,5	32,0
27 + 19	559	41	27,7	16,7	11,6	4,8	2,4	1,9	1,7	28,0	31,5	32,0
28 + 3	563	41	30,7	17,0	11,2	4,1	2,3	2,0	1,8	29,9	33,3	38,2
30 + 0	600	42	33,5	20,9	14,5	5,9	2,7	2,3	2,0	28,5	31,9	32,0
30 + 4	604	41	32,7	19,6	13,2	5,0	2,7	2,2	1,8	29,8	33,4	38,2
32 + 3	643	41	49,9	35,2	26,8	13,9	8,2	6,3	5,0	28,5	31,9	32,0
32 + 3	643	41	48,9	32,2	23,0	10,1	5,1	4,0	3,3	29,6	33,6	38,2
34 + 1	681	40	42,2	28,1	20,8	9,9	5,4	4,2	3,5	28,4	31,9	32,0
36 + 1	721	41	36,2	22,9	16,2	7,5	4,9	4,4	3,5	30,0	33,6	38,2
36 + 3	723	40	31,7	20,7	14,6	6,3	3,2	2,5	2,0	28,6	32,0	32,0
38 + 3	763	40	24,1	15,1	10,8	4,8	2,5	1,9	1,6	29,0	31,9	32,0
38 + 3	763	41	24,9	15,2	10,5	4,5	2,4	2,1	1,7	30,2	33,8	38,2
40 + 1	801	41	29,0	19,4	14,7	7,6	4,1	3,1	2,4	28,6	31,9	32,0
40 + 1	801	41	25,0	15,4	11,0	5,0	2,7	2,2	1,8	30,6	33,9	38,2
42 + 0	840	41	34,4	23,4	17,4	8,3	4,3	3,2	2,5	30,6	34,1	38,2
42 + 6	846	40	28,8	19,9	15,2	8,2	4,8	3,2	2,5	29,0	32,3	32,0
44 + 1	881	42	32,9	20,5	14,6	6,8	3,7	2,9	2,3	30,6	33,9	38,2
44 + 3	883	42	32,6	21,6	15,9	7,5	3,8	2,7	2,1	28,7	32,1	32,0
46 + 0	920	41	30,2	19,2	13,8	6,4	3,3	2,5	2,0	30,8	34,2	38,2
46 + 2	922	41	38,3	25,1	18,4	9,1	4,5	3,3	2,6	28,9	31,9	32,0
47 + 19	959	41	44,5	30,2	22,6	10,7	5,0	3,5	2,9	29,1	32,1	32,0
47 + 19	959	41	34,3	22,9	17,1	8,6	4,7	3,6	2,7	30,9	34,0	38,2
50 + 4	1.004	40	28,7	19,0	14,3	7,6	4,8	3,6	2,9	29,6	32,2	32,0
50 + 6	1.006	41	32,7	22,1	16,4	8,3	4,8	3,8	3,0	30,5	33,5	38,2
52 + 6	1.046	41	30,9	21,1	16,2	8,6	4,9	3,6	2,9	29,6	32,4	32,0
52 + 8	1.048	41	32,7	21,5	16,3	8,8	5,2	4,0	3,2	30,5	33,1	38,2
54 + 2	1.082	41	29,9	20,0	14,9	7,5	4,3	3,3	2,7	30,7	33,4	38,2
54 + 11	1.091	42	32,1	21,9	16,4	8,3	4,5	3,3	2,6	29,6	32,5	32,0
56 + 4	1.124	41	29,8	19,6	14,7	7,2	3,9	2,9	2,4	29,8	32,7	32,0
56 + 4	1.124	41	28,8	19,4	14,6	7,3	3,9	2,9	2,3	30,1	33,0	38,2
58 + 1	1.161	41	30,8	19,4	14,1	6,7	3,5	2,9	2,4	29,7	32,6	32,0
58 + 1	1.161	41	25,9	16,8	12,0	5,7	3,4	2,7	2,3	29,8	34,3	38,9
60 + 0	1.200	41	29,3	18,3	13,2	6,1	3,2	2,5	2,1	29,9	32,8	32,0
60 + 3	1.203	41	29,1	17,5	12,0	5,3	3,0	2,6	2,2	30,0	33,4	38,9
62 + 0	1.240	41	24,6	14,8	10,5	4,8	2,9	2,4	2,0	30,1	33,2	38,9
62 + 5	1.245	41	28,7	18,8	14,0	6,7	3,5	2,7	2,2	29,9	32,7	32,0
64 + 2	1.282	41	27,4	18,0	13,2	6,3	3,5	2,6	2,1	30,1	32,5	32,0
64 + 4	1.284	41	24,3	14,9	10,6	5,0	2,8	2,4	2,0	30,3	33,3	38,9
66 + 3	1.323	41	32,0	20,3	14,7	6,7	3,5	2,7	2,4	29,7	31,9	38,9

TDR Sul a Curva do boi - 41kN												
Estaca	Ext. (m)	Carga (kN)	D ₀ (10 ⁻² mm)	D ₂₅ (10 ⁻² mm)	D ₃₅ (10 ⁻² mm)	D ₆₀ (10 ⁻² mm)	D ₉₀ (10 ⁻² mm)	D ₁₂₀ (10 ⁻² mm)	D ₁₅₀ (10 ⁻² mm)	Temp. Ar (°C)	Temp. sup. (°C)	Man
66 + 5	1.325	41	31,8	20,4	14,8	7,0	3,7	2,9	2,4	30,1	32,6	32,0
68 + 3	1.363	41	31,3	19,8	13,9	6,3	3,5	2,9	2,3	29,6	32,2	38,9
68 + 6	1.366	42	36,0	24,2	18,0	8,6	4,3	3,3	2,7	29,9	32,4	32,0
70 + 1	1.401	41	30,0	18,7	13,5	6,3	3,6	2,5	2,3	29,8	33,0	38,9
70 + 13	1.413	41	33,2	22,4	16,7	8,2	4,2	3,1	2,4	29,9	32,7	32,0
72 + 3	1.443	41	30,7	19,6	14,4	6,9	3,7	2,9	2,3	30,2	32,9	38,9
72 + 7	1.447	41	28,0	18,0	13,0	5,8	2,9	2,2	1,7	30,1	32,6	32,0
74 + 0	1.480	41	30,3	18,7	13,1	5,7	2,8	2,1	1,7	30,4	33,3	38,9
74 + 2	1.482	41	28,1	19,1	14,2	7,4	4,6	3,6	3,0	30,1	32,5	32,0
75 + 18	1.518	41	39,8	25,8	18,0	7,8	3,8	2,7	2,1	30,2	32,8	32,0
76 + 2	1.522	41	41,7	27,0	19,4	9,3	5,4	4,3	3,5	30,2	33,6	38,9
78 + 0	1.560	40	36,3	23,5	16,8	7,8	4,3	3,4	2,7	30,1	32,3	32,0
78 + 7	1.567	41	28,5	17,2	12,1	5,6	3,4	2,8	2,3	30,0	33,3	38,9
79 + 19	1.599	41	30,4	20,8	15,5	7,6	4,0	3,1	2,6	30,0	32,0	32,0
80 + 3	1.603	41	41,3	26,2	17,8	7,3	4,1	3,5	2,9	30,2	33,1	38,9
81 + 19	1.639	41	32,9	22,2	16,2	7,6	4,4	3,5	2,9	29,9	32,1	32,0
82 + 1	1.641	41	36,4	22,3	15,3	6,7	4,2	3,7	3,0	30,2	32,8	38,9
83 + 19	1.679	40	37,8	23,3	16,1	7,3	4,5	3,8	3,1	30,3	33,2	38,9
84 + 1	1.681	41	36,4	25,3	18,6	8,7	4,7	3,6	3,0	29,6	32,0	32,0
85 + 18	1.718	41	38,3	24,9	18,2	8,8	4,9	3,9	3,1	30,0	31,9	32,0
87 + 19	1.759	42	38,9	24,5	16,7	6,6	3,4	2,6	2,1	30,0	31,9	32,0
88 + 5	1.765	41	37,6	25,0	17,8	7,9	4,1	3,1	2,4	30,5	34,1	39,3
90 + 0	1.800	41	28,8	17,1	12,0	5,2	3,1	2,7	2,3	29,4	31,5	32,0
90 + 6	1.806	41	24,5	14,3	9,8	4,3	3,0	2,8	2,5	30,0	33,7	39,3
92 + 1	1.841	41	29,8	17,4	12,2	5,3	2,9	2,4	2,0	29,7	31,9	32,0
92 + 8	1.848	41	28,3	17,6	12,3	5,4	2,9	2,6	2,2	30,5	34,5	39,3
94 + 1	1.881	41	32,5	21,1	15,3	6,8	3,4	2,7	2,3	29,5	32,1	32,0
94 + 4	1.884	41	36,5	22,8	16,1	6,8	3,7	3,1	2,5	30,4	33,7	39,3
95 + 19	1.919	41	31,3	18,9	13,4	6,0	3,1	2,5	2,1	29,9	32,0	32,0
96 + 0	1.920	41	30,5	18,1	12,4	5,2	2,8	2,4	2,0	30,6	34,0	39,3
97 + 19	1.959	41	31,7	20,8	15,2	7,0	3,5	2,7	2,2	29,7	32,5	32,0
97 + 19	1.959	41	32,2	19,4	13,6	5,9	3,1	2,6	2,2	31,0	33,6	39,3
100 + 1	2.001	42	35,1	21,5	15,1	6,5	3,4	2,7	2,2	29,8	32,2	32,0
102 + 0	2.040	41	43,8	26,3	18,4	7,8	3,8	3,0	2,4	30,8	34,0	39,3
102 + 1	2.041	41	37,6	24,6	17,7	7,8	3,7	2,7	2,2	30,1	32,4	32,0
104 + 0	2.080	41	47,9	29,3	20,4	8,6	3,6	2,6	2,2	30,7	34,1	39,3
104 + 2	2.082	41	46,8	31,9	23,5	10,9	4,6	3,0	2,5	30,1	32,0	32,0
106 + 1	2.121	41	33,6	20,0	13,0	4,3	2,1	1,9	1,6	30,1	32,4	32,0
108 + 0	2.160	41	32,1	18,9	12,9	5,3	3,0	2,8	2,1	30,0	32,2	32,0
108 + 2	2.162	41	33,1	19,9	13,5	5,3	2,8	2,5	2,0	30,7	33,0	39,3
110 + 1	2.201	41	33,6	20,9	14,6	6,2	3,4	2,9	2,3	29,9	31,9	32,0
110 + 3	2.203	41	32,9	18,2	12,0	5,0	3,1	2,8	2,3	30,7	33,5	39,3
112 + 0	2.240	41	30,0	17,7	12,0	5,1	3,1	2,8	2,3	30,8	33,5	39,3
112 + 2	2.242	41	25,9	15,6	10,9	4,7	2,6	2,2	1,7	29,8	32,0	32,0
114 + 0	2.280	41	21,0	13,0	9,2	4,2	2,6	2,3	1,9	29,6	31,7	32,0
114 + 1	2.281	41	23,0	13,0	9,2	4,3	2,5	2,2	1,7	30,6	32,6	39,3
116 + 0	2.320	42	40,2	23,0	15,4	6,1	3,4	2,8	2,4	30,3	32,3	39,3
116 + 5	2.325	41	26,8	15,8	10,8	4,5	2,4	2,1	1,8	29,6	31,3	32,0
118 + 1	2.361	41	24,1	14,5	9,9	3,9	2,1	1,9	1,6	29,4	31,9	32,0
118 + 1	2.361	41	31,1	18,1	12,1	4,6	2,7	2,5	2,2	30,3	32,8	39,3
120 + 0	2.400	41	26,0	13,9	9,2	3,5	2,0	1,8	1,5	29,8	32,5	39,3
120 + 1	2.401	41	27,7	16,8	11,6	4,5	2,4	2,1	1,8	29,4	32,1	32,0
122 + 3	2.443	41	26,0	15,6	10,7	4,3	2,3	2,2	1,7	29,3	31,7	32,0
122 + 4	2.444	41	29,2	17,0	11,5	4,5	2,4	2,2	1,9	29,9	32,8	39,3
124 + 3	2.483	41	32,2	19,1	12,7	4,9	2,6	2,4	1,9	29,3	32,4	32,0
124 + 4	2.484	41	29,7	17,6	11,9	4,7	2,6	2,4	2,0	30,3	33,1	39,3
126 + 2	2.522	40	23,0	13,1	8,6	3,4	2,0	1,8	1,5	29,4	31,7	32,0
126 + 5	2.525	41	28,1	16,7	11,8	5,5	3,1	2,6	2,1	30,2	32,5	39,3
127 + 18	2.558	41	21,8	12,4	8,0	3,0	1,8	1,8	1,6	29,3	31,4	32,0
128 + 6	2.566	41	21,8	12,1	7,9	3,1	1,9	1,8	1,4	30,3	33,1	39,3
130 + 0	2.600	41	22,9	13,6	9,2	3,6	2,0	1,9	1,7	29,3	31,9	32,0
130 + 3	2.603	41	21,1	12,0	8,2	3,3	2,0	2,0	1,7	30,3	33,1	39,3
132 + 1	2.641	41	20,3	12,5	8,7	3,9	2,4	2,1	1,8	29,0	31,4	32,0
132 + 6	2.646	40	24,8	14,6	9,8	3,9	2,3	2,2	1,8	29,8	33,0	39,3
134 + 1	2.681	41	24,8	15,1	10,6	4,7	2,6	2,3	1,9	29,0	31,3	32,0
134 + 7	2.687	42	25,1	14,8	10,2	4,5	2,7	2,4	2,0	30,1	33,0	39,3

TDR Sul a Curva do boi - 41kN												
Estaca	Ext. (m)	Carga (kN)	D ₀ (10 ⁻² mm)	D ₂₅ (10 ⁻² mm)	D ₃₅ (10 ⁻² mm)	D ₆₀ (10 ⁻² mm)	D ₉₀ (10 ⁻² mm)	D ₁₂₀ (10 ⁻² mm)	D ₁₅₀ (10 ⁻² mm)	Temp. Ar (°C)	Temp. sup. (°C)	Man
136 + 3	2.723	41	29,7	18,9	13,4	6,0	3,4	2,8	2,3	29,2	31,6	32,0
136 + 9	2.729	41	29,3	18,0	12,3	5,4	3,1	2,7	2,1	29,4	32,7	37,9
138 + 2	2.762	41	25,1	15,6	10,9	5,3	3,4	2,9	2,4	29,2	31,5	32,0
138 + 8	2.768	41	32,6	19,2	13,3	6,0	3,7	2,9	2,5	29,6	32,8	37,9
139 + 18	2.798	41	23,3	14,6	10,5	5,0	2,7	2,4	1,9	29,5	31,5	32,0
140 + 3	2.803	42	34,2	21,9	15,8	7,9	4,5	3,4	2,5	29,7	33,0	37,9
142 + 0	2.840	41	30,4	19,1	13,6	6,2	3,6	3,1	2,5	28,9	31,2	32,0
142 + 0	2.840	41	37,0	24,1	17,8	8,9	4,8	3,5	2,7	29,5	32,2	37,9
143 + 14	2.874	41	56,6	37,1	26,2	10,4	3,9	2,9	2,6	29,1	32,1	32,0
144 + 3	2.883	41	40,1	24,8	17,2	7,5	3,8	3,1	2,6	29,6	32,7	37,9
145 + 18	2.918	40	51,1	36,1	27,3	13,0	5,4	3,3	2,5	28,9	31,5	32,0
146 + 5	2.925	41	33,9	21,7	15,7	7,3	3,7	3,0	2,5	29,6	32,6	37,9
148 + 0	2.960	42	37,0	25,2	19,2	9,6	5,0	3,8	3,4	29,1	32,1	32,0
148 + 3	2.963	41	32,6	21,9	16,6	8,5	4,8	3,9	3,3	29,4	32,4	37,9
150 + 2	3.002	41	34,6	22,3	16,6	8,1	4,5	3,7	3,1	29,0	31,2	32,0
150 + 6	3.006	41	28,4	18,8	13,7	6,7	4,1	3,5	3,0	29,5	33,0	37,9
151 + 19	3.039	41	49,0	32,6	23,8	11,1	5,5	4,3	3,8	29,4	31,7	32,0
152 + 5	3.045	42	35,7	23,0	16,4	7,8	5,0	4,5	3,9	29,6	33,0	37,9
154 + 4	3.084	41	31,5	20,9	15,3	7,8	4,9	4,4	3,8	29,2	31,8	32,0
154 + 5	3.085	41	30,7	19,5	14,0	7,1	4,9	4,5	3,9	29,9	33,1	37,9
155 + 19	3.119	43	29,2	20,0	15,3	8,3	5,1	4,2	3,7	29,5	32,2	0,0
156 + 18	3.138	41	31,0	19,7	14,1	6,7	4,0	3,7	3,2	29,9	33,2	37,9
157 + 16	3.156	42	34,8	23,8	17,7	8,8	5,1	4,1	3,2	29,5	31,8	36,9
158 + 10	3.170	41	37,5	24,3	17,4	8,1	4,6	3,8	3,1	29,7	33,5	37,9
160 + 7	3.207	42	46,7	31,5	22,6	10,2	5,2	4,1	3,3	29,5	32,0	36,9
160 + 8	3.208	41	38,2	24,9	17,9	8,3	4,5	3,7	3,0	29,8	33,2	37,9
162 + 6	3.246	42	46,2	31,4	23,3	11,5	6,2	4,8	4,1	29,6	31,6	36,9
162 + 8	3.248	41	42,3	27,7	20,1	9,6	5,5	4,6	3,8	30,0	33,1	37,9
164 + 0	3.280	41	36,8	25,7	19,4	9,8	5,5	4,3	3,6	29,9	32,2	36,9
164 + 9	3.289	40	32,7	22,8	17,3	9,1	5,4	4,3	3,6	29,9	33,2	37,9
166 + 3	3.323	41	37,6	25,8	19,0	9,1	4,8	3,8	3,1	29,9	32,4	36,9
166 + 7	3.327	42	41,2	26,6	19,0	8,8	4,8	4,0	3,2	30,3	33,3	37,9
168 + 1	3.361	40	26,9	16,1	11,4	5,4	3,5	3,1	2,5	30,1	33,1	37,9
168 + 6	3.366	41	35,6	23,9	17,6	8,4	4,4	3,5	3,0	29,8	32,2	36,9
170 + 0	3.400	41	39,3	25,5	18,3	8,5	4,5	3,7	3,0	30,0	33,2	37,9
170 + 3	3.403	41	47,2	29,5	20,4	8,5	4,4	3,6	3,0	29,6	31,5	36,9
172 + 0	3.440	41	42,6	25,3	17,7	8,0	4,2	3,3	2,7	30,2	33,1	37,9
172 + 3	3.443	41	48,0	31,2	22,0	9,3	4,4	3,4	2,8	29,8	32,4	36,9
174 + 2	3.482	41	49,0	29,9	20,9	9,1	4,7	3,4	3,1	30,6	33,5	37,9
174 + 5	3.485	41	42,5	27,1	19,1	7,9	3,6	2,9	2,3	29,8	31,8	36,9
176 + 0	3.520	41	41,3	27,2	19,7	8,6	3,8	2,8	2,1	30,6	33,5	37,9
176 + 3	3.523	41	50,2	32,9	23,7	10,2	4,3	2,9	2,2	30,0	32,8	36,9
177 + 19	3.559	41	47,2	30,4	21,8	9,7	4,5	3,1	2,4	30,4	33,8	37,9
178 + 8	3.568	41	36,2	23,3	16,7	8,1	4,9	4,2	3,5	29,8	32,6	36,9
180 + 1	3.601	41	23,7	17,7	14,1	8,2	5,1	4,2	3,5	29,3	31,3	36,9
180 + 2	3.602	41	25,7	17,7	13,2	6,7	4,0	3,4	3,0	29,9	33,1	37,9
181 + 19	3.639	41	27,5	18,2	13,5	6,5	3,4	2,7	2,2	29,7	32,8	37,9
182 + 0	3.640	41	19,9	14,3	11,0	5,7	3,1	2,4	1,9	29,1	31,0	36,9

TDR Sul a Curva do boi - 80kN												
Estaca	Ext. (m)	Carga (kN)	D ₀ (10 ⁻² mm)	D ₂₅ (10 ⁻² mm)	D ₃₅ (10 ⁻² mm)	D ₆₀ (10 ⁻² mm)	D ₉₀ (10 ⁻² mm)	D ₁₂₀ (10 ⁻² mm)	D ₁₅₀ (10 ⁻² mm)	Temp. Ar (°C)	Temp. sup. (°C)	Man
0 + 0	0	80	87,7	60,6	45,5	22,6	11,1	7,6	6,0	28,3	29,9	37,4
0 + 0	0	81	88,3	64,3	49,6	25,7	12,4	8,2	6,6	28,0	27,5	32,6
2 + 0	40	80	78,9	54,2	40,8	20,1	9,2	5,5	4,2	28,2	22,3	32,6
2 + 1	41	80	92,6	62,0	45,7	21,6	9,4	6,0	4,8	28,1	31,7	37,4
4 + 0	80	80	77,6	53,8	41,1	21,2	10,0	6,1	4,7	28,7	24,4	32,6
4 + 1	81	80	81,0	54,3	39,6	18,2	8,0	5,3	4,4	28,6	32,9	37,4
6 + 1	121	80	98,5	71,3	54,7	27,7	13,1	7,7	5,4	29,9	-34,6	32,6
6 + 7	127	80	85,1	55,2	39,8	18,4	9,5	7,2	5,9	29,1	33,0	37,4
7 + 19	159	80	115,4	78,7	59,0	29,1	13,6	8,5	6,3	29,9	23,9	32,6
8 + 6	166	80	71,0	45,3	32,7	15,8	8,3	6,2	5,1	29,5	33,1	37,4
10 + 1	201	80	103,8	75,7	59,0	31,5	15,7	10,1	7,7	30,7	28,8	32,6
10 + 2	202	79	112,1	76,5	57,4	28,4	13,5	8,6	6,7	29,5	33,5	37,4
12 + 1	241	79	111,0	79,9	61,5	32,9	17,0	10,7	7,8	31,3	24,3	32,6
12 + 2	242	80	97,2	67,5	51,4	27,1	13,8	9,0	6,8	29,4	33,3	37,4
14 + 1	281	80	112,3	77,9	59,1	31,0	15,6	10,0	7,3	29,5	33,4	37,4
14 + 2	282	80	107,4	76,4	58,8	30,4	14,6	9,1	6,6	31,0	29,9	34,3
16 + 1	321	80	121,8	83,7	63,1	31,7	14,9	9,2	6,8	29,5	32,8	37,4
16 + 3	323	80	129,5	92,1	70,7	36,8	17,8	11,0	8,3	31,0	32,3	34,3
18 + 1	361	80	105,2	74,4	56,9	30,3	15,7	10,2	7,8	31,1	33,4	37,9
18 + 4	364	80	131,6	88,6	65,1	31,2	14,7	9,5	7,5	30,0	33,5	37,4
20 + 0	400	81	103,2	73,0	55,8	28,6	13,9	9,1	7,2	31,5	33,2	37,9
20 + 10	410	80	117,7	79,1	58,3	29,0	14,3	9,4	7,4	30,4	34,2	37,4
22 + 0	440	82	69,2	44,1	30,9	13,1	6,1	4,6	3,9	31,7	33,9	37,9
22 + 12	452	81	67,1	40,4	28,0	11,9	5,7	4,6	3,9	30,2	34,1	37,4
24 + 4	484	81	72,5	47,6	33,2	13,1	5,4	4,2	3,8	31,4	33,9	37,9
24 + 12	492	81	64,7	39,9	27,5	11,7	5,7	4,6	4,0	29,9	35,3	38,8
26 + 4	524	80	76,3	47,4	33,4	14,1	6,8	5,5	4,7	29,9	34,3	38,8
26 + 8	528	80	63,5	39,5	27,2	10,6	4,6	3,7	3,2	30,8	33,8	37,9
28 + 2	562	80	65,4	38,4	26,2	10,5	4,6	3,6	3,2	30,3	34,4	38,8
28 + 8	568	80	63,5	41,2	29,4	12,9	5,9	4,1	3,4	30,8	33,3	37,9
30 + 1	601	81	78,5	50,6	36,0	15,4	6,5	4,5	3,9	31,0	33,5	37,9
30 + 3	603	80	83,1	52,6	36,4	15,0	7,2	5,5	4,4	30,8	34,0	38,8
32 + 4	644	78	118,0	85,2	65,8	35,0	19,1	13,6	10,7	30,8	33,4	37,9
32 + 5	645	80	104,8	70,2	51,5	24,5	12,2	8,7	6,7	30,9	34,5	38,8
34 + 1	681	80	107,8	74,8	56,0	27,1	12,6	8,6	7,2	31,5	33,7	37,9
34 + 2	682	80	132,1	92,3	68,0	32,5	17,0	13,1	10,6	30,8	35,6	38,8
36 + 2	722	81	87,3	56,4	39,7	17,2	7,9	5,4	4,3	32,2	33,3	37,9
36 + 4	724	81	83,0	54,7	39,9	19,4	11,1	9,0	7,7	30,5	34,4	38,8
38 + 3	763	80	59,7	37,3	26,3	11,5	5,6	4,2	3,3	32,4	34,3	37,9
38 + 12	772	81	60,3	30,1	21,1	10,3	5,8	4,5	3,6	30,6	34,2	38,8
40 + 0	800	79	65,6	44,8	33,9	17,7	9,2	6,4	4,8	32,0	34,0	37,9
40 + 19	819	80	61,0	40,5	30,3	15,8	8,2	5,8	4,5	30,8	34,3	38,8
42 + 2	842	80	82,1	56,8	43,2	22,3	10,8	6,9	5,1	31,6	33,7	37,9
42 + 10	850	80	85,8	55,6	41,0	20,3	9,7	6,2	5,1	31,3	35,2	38,8
44 + 5	885	81	68,3	43,9	32,1	15,6	8,0	5,6	4,5	31,1	34,5	38,8
44 + 6	886	81	69,7	43,5	31,8	15,1	7,7	5,4	4,2	31,6	33,5	37,9
46 + 1	921	80	67,2	43,7	32,5	16,1	7,7	5,1	4,1	31,3	34,6	38,8
46 + 9	929	79	103,0	69,0	51,9	26,5	12,5	7,3	5,3	31,5	33,7	37,9
47 + 16	956	79	77,4	51,7	38,7	20,0	10,3	7,1	5,5	31,2	34,8	38,8
48 + 11	971	79	84,3	58,8	45,2	24,2	12,4	8,0	6,2	31,5	33,2	37,9
50 + 0	1.000	81	70,7	47,4	35,9	18,8	10,4	7,5	6,0	31,1	33,2	37,9
50 + 1	1.001	79	79,9	56,1	43,8	24,6	13,5	9,0	6,9	30,4	33,6	38,8
52 + 1	1.041	81	77,1	51,6	39,5	21,9	12,4	8,7	6,7	30,8	33,9	38,8
52 + 1	1.041	81	73,1	51,1	39,8	22,3	12,5	8,7	6,6	31,6	32,9	37,9
54 + 2	1.082	81	67,6	47,2	36,2	19,6	10,6	7,4	5,5	30,6	33,8	38,6
54 + 3	1.083	80	65,6	43,1	32,7	18,0	10,2	7,1	5,7	30,4	34,3	38,8
56 + 1	1.121	80	69,1	46,2	34,6	17,7	9,0	6,1	4,8	30,8	33,0	38,6
56 + 4	1.124	80	61,8	42,3	32,1	17,0	8,9	6,2	4,9	30,1	33,4	38,8
58 + 3	1.163	80	62,7	39,4	28,6	14,6	8,0	5,9	4,8	29,9	33,2	38,8
58 + 6	1.166	80	71,9	46,7	34,5	16,7	8,1	5,7	4,7	30,6	33,1	38,6
60 + 1	1.201	80	62,7	41,3	30,3	14,5	7,2	5,2	4,2	30,9	32,2	38,6
60 + 6	1.206	80	63,4	38,8	27,2	12,7	6,9	5,4	4,5	29,6	33,1	38,8
61 + 19	1.239	81	56,9	39,6	30,4	16,6	9,1	6,5	5,0	29,9	33,1	38,3
62 + 11	1.251	80	58,8	38,1	28,1	14,3	7,8	5,6	4,5	29,7	33,1	38,8

TDR Sul a Curva do boi - 80kN												
Estaca	Ext. (m)	Carga (kN)	D ₀ (10 ⁻² mm)	D ₂₅ (10 ⁻² mm)	D ₃₅ (10 ⁻² mm)	D ₆₀ (10 ⁻² mm)	D ₉₀ (10 ⁻² mm)	D ₁₂₀ (10 ⁻² mm)	D ₁₅₀ (10 ⁻² mm)	Temp. Ar (°C)	Temp. sup. (°C)	Man
64 + 0	1.280	81	54,1	35,7	26,4	13,3	7,1	5,2	4,1	29,3	33,3	38,8
64 + 3	1.283	81	63,7	42,8	32,1	16,4	8,1	5,7	4,5	30,8	32,3	38,3
66 + 0	1.320	82	78,3	53,2	39,1	18,7	8,8	6,1	4,9	31,0	34,3	39,0
66 + 11	1.331	80	69,9	44,9	33,1	16,6	8,7	6,2	5,1	29,6	32,8	38,8
68 + 4	1.364	81	79,2	53,3	40,2	20,0	9,4	6,7	5,5	31,2	33,9	39,0
68 + 18	1.378	80	64,8	42,5	31,4	15,9	8,6	6,5	5,3	29,6	32,7	38,8
70 + 15	1.415	79	65,2	42,6	31,8	16,2	8,7	6,1	4,9	29,6	32,6	38,8
72 + 1	1.441	80	65,9	43,2	31,9	15,4	7,4	5,0	3,9	31,3	32,9	39,0
73 + 4	1.464	80	70,2	42,3	29,7	12,7	5,5	3,8	3,1	29,3	32,6	38,8
74 + 4	1.484	80	72,9	48,0	35,6	18,5	10,4	7,8	6,4	31,2	33,0	39,0
74 + 7	1.487	81	64,5	41,8	30,8	16,4	9,5	7,3	5,9	29,5	32,2	38,8
76 + 1	1.521	79	109,1	74,7	55,4	25,9	11,1	6,3	4,4	31,1	33,5	39,0
76 + 4	1.524	81	81,5	50,3	34,9	15,1	7,1	5,0	3,9	29,7	32,2	38,8
78 + 2	1.562	80	102,6	71,5	53,3	25,4	11,9	8,1	6,2	31,0	32,9	39,0
78 + 6	1.566	79	88,2	60,0	44,6	22,1	11,2	7,8	6,0	29,6	33,2	38,8
80 + 1	1.601	80	77,3	52,3	39,1	19,2	9,4	6,7	5,5	32,3	32,6	39,0
80 + 4	1.604	81	84,7	53,7	38,7	17,4	8,7	6,6	5,4	29,4	32,3	38,8
82 + 0	1.640	80	86,2	57,9	42,8	20,3	10,0	7,5	5,9	32,0	32,8	39,0
82 + 8	1.648	81	80,3	50,9	36,3	17,0	9,4	7,3	5,9	28,7	33,1	38,7
84 + 0	1.680	80	87,6	61,1	46,0	22,4	10,8	7,8	6,4	32,2	33,0	39,0
84 + 12	1.692	80	84,3	54,9	39,3	18,5	10,0	7,8	6,4	29,1	32,4	38,7
86 + 4	1.724	80	84,3	59,9	46,0	24,9	12,9	8,6	6,6	31,5	32,3	39,0
86 + 14	1.734	80	88,8	58,6	43,6	22,2	11,5	8,1	6,3	29,4	32,8	38,7
88 + 6	1.766	81	88,1	59,5	42,4	17,9	8,3	6,1	5,1	31,6	33,1	39,0
88 + 14	1.774	80	77,5	50,7	37,4	17,8	8,6	5,9	4,8	29,6	33,3	38,7
90 + 9	1.809	80	65,6	41,1	29,6	13,7	6,5	4,8	4,1	31,4	33,7	39,0
90 + 17	1.817	80	91,9	57,2	39,4	15,1	5,5	4,2	3,9	29,6	33,0	38,7
92 + 7	1.847	80	72,1	47,1	33,8	14,9	6,9	5,1	4,3	31,4	33,5	39,0
92 + 14	1.854	80	69,1	43,0	30,2	12,8	5,9	4,7	4,1	29,8	33,1	38,7
94 + 4	1.884	79	78,9	52,1	39,1	19,5	8,8	5,6	4,5	29,5	32,8	38,7
94 + 10	1.890	80	78,9	52,7	38,9	18,1	7,7	5,0	4,0	31,3	32,7	39,0
96 + 1	1.921	80	61,5	38,4	27,2	12,2	6,0	4,6	4,0	29,4	33,2	38,7
96 + 7	1.927	80	64,2	41,0	29,9	13,3	5,9	4,2	3,7	31,4	33,2	39,0
98 + 2	1.962	81	110,2	71,0	51,3	22,5	8,3	4,7	4,0	29,4	32,8	38,7
98 + 10	1.970	80	98,4	65,3	48,0	21,5	8,0	4,5	3,6	31,4	33,2	39,0
100 + 4	2.004	80	87,0	58,1	41,5	17,2	7,0	4,8	3,9	31,4	33,7	39,0
100 + 5	2.005	80	71,0	43,7	31,3	14,3	7,2	5,4	4,5	29,3	32,4	38,7
102 + 3	2.043	80	82,0	54,0	39,4	17,5	7,3	4,9	4,0	31,2	33,4	39,0
102 + 4	2.044	80	97,5	63,3	46,0	21,1	8,6	5,3	4,2	29,5	32,9	38,7
104 + 3	2.083	79	107,7	70,9	51,7	23,8	9,7	5,9	4,7	29,8	33,2	38,7
104 + 5	2.085	80	108,2	71,9	53,4	25,0	10,0	5,9	4,8	31,5	33,0	39,0
106 + 3	2.123	80	116,0	73,0	51,4	20,4	5,9	3,1	3,0	29,9	32,8	38,7
106 + 7	2.127	81	80,7	50,6	34,3	12,5	5,2	4,2	3,6	31,4	33,1	39,0
108 + 4	2.164	80	77,7	49,2	34,1	14,8	7,2	5,4	4,6	31,4	33,5	39,0
108 + 6	2.166	81	70,0	41,3	28,7	12,1	5,9	4,7	4,0	29,8	32,7	38,7
109 + 19	2.199	80	73,7	46,3	33,4	15,6	8,1	6,1	4,8	31,5	32,9	39,0
110 + 5	2.205	79	69,9	41,6	29,1	13,3	7,0	5,4	4,4	29,9	33,0	38,7
112 + 0	2.240	80	58,7	38,0	27,4	12,7	6,4	4,6	3,7	31,7	33,3	39,0
112 + 3	2.243	80	63,1	38,3	26,1	11,7	6,1	4,8	3,9	29,7	32,6	38,7
114 + 0	2.280	80	45,6	26,9	19,0	8,9	5,1	4,1	3,4	29,7	33,0	38,7
114 + 0	2.280	80	47,8	29,2	20,7	9,8	5,5	4,5	3,7	31,7	33,3	39,0
116 + 2	2.322	80	59,6	37,7	26,3	11,5	5,3	4,1	3,4	31,3	32,7	39,0
116 + 6	2.326	81	79,5	50,1	35,7	16,1	7,4	5,4	4,4	30,2	33,4	38,7
118 + 3	2.363	79	64,6	38,1	26,4	10,9	4,9	3,8	3,3	29,9	33,0	38,7
118 + 5	2.365	80	50,0	30,1	20,5	8,6	4,5	3,6	3,1	31,1	32,7	39,0
120 + 0	2.400	80	60,2	35,9	24,4	10,1	4,8	3,5	3,2	30,2	33,2	38,7
120 + 7	2.407	78	56,8	36,1	25,2	11,0	5,3	4,1	3,4	29,9	32,8	38,5
122 + 5	2.445	80	62,5	37,7	25,7	10,3	4,9	3,9	3,4	29,8	32,8	38,7
122 + 11	2.451	80	61,4	38,7	26,6	10,4	4,6	3,8	3,4	29,3	31,7	38,5
124 + 4	2.484	80	70,9	44,4	31,6	13,7	6,0	4,3	3,7	29,8	33,3	38,7
124 + 15	2.495	80	73,4	46,1	31,8	12,8	6,0	4,6	3,9	29,4	31,2	38,5
126 + 3	2.523	80	53,7	34,4	25,6	13,0	6,8	4,8	3,7	29,8	33,4	38,7
126 + 17	2.537	80	55,3	32,5	21,5	8,3	4,0	3,2	2,7	29,5	31,4	38,5
128 + 1	2.561	80	44,3	24,9	16,9	7,1	3,7	3,1	2,7	30,3	33,6	38,7

TDR Sul a Curva do boi - 80kN												
Estaca	Ext. (m)	Carga (kN)	D ₀ (10 ⁻² mm)	D ₂₅ (10 ⁻² mm)	D ₃₅ (10 ⁻² mm)	D ₆₀ (10 ⁻² mm)	D ₉₀ (10 ⁻² mm)	D ₁₂₀ (10 ⁻² mm)	D ₁₅₀ (10 ⁻² mm)	Temp. Ar (°C)	Temp. sup. (°C)	Man
128 + 12	2.572	80	50,6	30,9	21,6	8,8	4,4	3,2	2,7	29,6	31,7	38,5
130 + 1	2.601	80	43,0	25,9	18,0	7,8	4,0	3,3	2,8	30,1	33,4	38,7
130 + 17	2.617	80	52,2	31,2	20,9	8,4	4,2	3,5	3,0	29,5	31,0	38,5
132 + 6	2.646	80	49,0	29,8	20,8	9,8	5,7	4,5	3,7	29,8	33,4	38,7
132 + 9	2.649	79	49,4	30,4	21,7	10,4	5,7	4,4	3,6	29,7	32,0	38,5
134 + 7	2.687	80	55,8	36,1	25,7	11,8	6,1	4,6	3,8	30,0	32,0	38,5
134 + 8	2.688	80	60,0	36,9	26,0	11,6	6,0	4,5	3,7	29,9	33,1	38,7
136 + 6	2.726	80	63,8	41,5	30,5	14,5	7,4	5,4	4,5	30,3	32,3	38,5
136 + 7	2.727	80	63,5	40,6	29,3	14,0	7,4	5,6	4,5	30,1	33,6	38,7
138 + 0	2.760	80	55,2	35,7	26,0	13,4	7,8	6,0	4,8	30,7	33,2	38,5
138 + 0	2.760	81	50,0	31,3	22,8	11,0	5,9	4,5	3,8	30,1	34,3	39,5
138 + 6	2.766	80	66,3	42,5	31,2	15,8	8,6	6,3	5,0	30,3	33,0	38,7
140 + 1	2.801	81	83,4	54,2	39,5	18,5	8,5	5,7	4,8	30,3	32,9	39,5
140 + 7	2.807	80	56,1	34,7	25,6	13,0	7,0	5,0	4,0	30,3	33,3	38,7
142 + 3	2.843	80	92,9	61,9	44,5	20,6	9,0	6,0	4,8	30,3	32,5	39,5
142 + 13	2.853	80	67,7	42,5	31,3	15,9	8,5	6,2	5,1	30,3	33,1	38,7
144 + 2	2.882	81	97,4	67,1	50,3	24,2	10,8	6,9	5,4	30,1	32,1	39,5
144 + 11	2.891	79	122,2	84,0	63,1	28,8	10,5	5,8	5,1	30,3	33,6	38,7
146 + 4	2.924	80	84,5	60,0	45,6	22,9	11,1	7,8	6,6	30,5	33,5	39,5
146 + 10	2.930	80	79,1	54,3	40,9	19,7	9,0	5,9	4,9	30,6	33,4	38,7
148 + 4	2.964	80	105,2	74,4	56,1	27,5	12,6	8,6	7,3	30,8	32,6	39,5
148 + 8	2.968	80	82,3	56,1	42,2	21,7	11,2	8,1	6,6	30,2	32,9	38,7
150 + 2	3.002	80	75,9	53,3	40,8	21,7	12,0	9,1	7,7	30,9	33,2	39,5
150 + 12	3.012	80	66,4	43,4	32,4	16,7	9,2	6,9	5,6	29,9	32,8	38,7
152 + 5	3.045	80	67,1	46,1	35,0	18,7	10,7	8,4	6,7	31,0	33,4	39,5
152 + 6	3.046	80	70,8	47,4	35,8	18,8	10,7	8,7	7,5	29,8	32,8	38,7
154 + 5	3.085	80	67,7	44,5	33,4	17,9	11,2	9,4	8,2	30,0	33,0	38,7
154 + 9	3.089	80	78,2	54,1	40,0	19,9	10,2	7,3	5,8	31,0	32,7	39,5
156 + 6	3.126	80	68,4	44,3	33,1	17,1	9,9	7,9	6,9	30,0	32,9	38,7
156 + 11	3.131	80	91,6	63,8	47,9	23,4	11,0	7,4	5,9	31,7	33,0	39,5
158 + 8	3.168	80	86,1	59,5	45,1	23,5	11,9	7,7	6,1	30,2	32,9	38,7
158 + 12	3.172	79	104,1	73,4	56,0	28,8	14,6	10,1	8,0	31,3	33,0	39,5
160 + 2	3.202	80	85,7	59,0	44,4	22,5	11,2	7,6	5,9	30,0	32,7	38,7
160 + 19	3.219	80	88,2	64,7	50,8	28,0	14,8	10,0	7,7	31,0	33,0	39,5
162 + 4	3.244	80	90,5	62,1	48,3	25,9	14,1	10,0	7,8	29,8	32,6	38,7
162 + 14	3.254	81	101,6	71,2	53,7	26,7	12,6	8,5	6,9	31,0	33,3	39,5
164 + 6	3.286	80	81,3	58,2	45,2	24,8	13,3	9,2	7,4	29,9	33,4	38,7
164 + 17	3.297	81	67,6	45,6	33,5	16,6	8,4	6,0	4,9	30,9	32,7	39,5
166 + 7	3.327	80	97,4	64,8	47,9	23,3	11,6	8,0	6,6	30,4	33,1	38,7
166 + 9	3.329	80	95,6	67,3	49,9	23,2	10,2	6,8	5,6	30,7	34,1	39,5
168 + 9	3.369	80	78,3	51,9	38,6	19,4	9,8	6,9	5,6	30,6	33,4	38,7
168 + 9	3.369	79	113,7	79,0	59,7	29,4	13,2	8,0	5,9	30,7	33,2	39,5
170 + 5	3.405	81	99,2	67,6	49,3	22,4	10,0	6,5	5,3	30,7	33,6	39,5
170 + 12	3.412	80	104,4	71,3	52,9	25,5	11,6	7,3	5,6	30,8	33,5	38,7
172 + 1	3.441	80	105,1	70,4	51,9	23,6	9,8	6,0	4,6	30,8	33,4	39,5
172 + 18	3.458	80	93,2	63,4	47,5	23,6	11,1	7,1	5,4	30,4	32,8	38,7
174 + 2	3.482	80	105,8	73,7	54,3	24,6	10,1	6,0	4,6	31,2	33,9	39,5
174 + 16	3.496	80	90,2	61,2	45,5	21,8	9,7	6,1	4,8	30,4	33,3	38,7
176 + 12	3.532	80	67,0	50,9	40,7	22,5	11,6	7,8	6,3	31,2	33,6	39,5
176 + 16	3.536	80	84,3	59,2	45,5	23,8	10,9	6,2	4,3	30,6	33,6	38,7
178 + 10	3.570	80	74,7	51,5	40,4	21,4	10,2	6,1	4,3	30,4	33,2	38,7
178 + 15	3.575	80	62,5	43,9	32,8	15,5	7,3	5,1	3,9	31,1	33,5	39,5
180 + 0	3.600	80	45,7	32,5	25,0	12,8	6,0	4,3	3,4	31,1	33,1	39,5
182 + 0	3.640	81	44,3	32,0	25,0	13,0	6,3	4,3	3,4	30,5	32,9	38,5

TDR Sul a Curva do boi - 120kN												
Estaca	Ext. (m)	Carga (kN)	D ₀	D ₂₅	D ₃₅	D ₆₀	D ₉₀	D ₁₂₀	D ₁₅₀	Temp. Ar (°C)	Temp. sup. (°C)	Man
			(10 ⁻² mm)									
0 + 0	0	120	128,3	91,3	73,3	39,6	20,2	12,6	9,7	26,1	30,3	37,0
0 + 0	0	121	139,0	95,6	72,9	37,7	18,7	12,2	9,4	29,2	35,5	42,3
1 + 18	38	122	116,7	83,4	65,1	34,1	15,3	8,8	6,5	26,5	29,9	37,0
1 + 19	39	119	142,4	94,8	71,5	34,0	15,1	9,6	7,8	28,8	36,7	42,3
4 + 1	81	122	138,4	87,1	63,5	29,1	12,3	7,8	6,7	29,8	36,8	42,3
4 + 2	82	120	117,5	82,8	64,7	34,8	16,7	9,8	7,1	26,9	30,5	37,0
5 + 19	119	119	153,4	109,4	83,9	43,1	19,7	11,2	7,8	27,3	30,5	37,0
6 + 3	123	120	134,4	83,5	59,8	27,5	13,7	10,5	8,9	30,7	36,2	42,3
8 + 3	163	120	163,5	117,0	91,3	48,5	23,5	14,2	10,1	27,7	31,0	37,0
8 + 6	166	121	117,2	74,6	54,4	26,0	13,0	9,5	8,0	30,8	35,5	42,3
10 + 0	200	119	140,0	103,1	83,5	48,5	26,1	16,4	12,0	29,3	32,1	37,0
10 + 1	201	118	180,0	122,6	91,0	44,5	20,6	13,0	10,0	31,2	35,9	42,3
11 + 19	239	120	161,5	109,4	83,5	43,5	21,6	13,9	10,4	30,7	35,8	42,3
12 + 3	243	120	156,3	117,0	94,1	55,0	29,1	18,0	12,6	29,6	33,3	37,0
14 + 2	282	120	171,0	120,5	93,1	48,5	22,3	13,1	9,3	29,8	33,1	37,0
14 + 4	284	119	176,6	122,8	94,5	49,1	23,5	14,1	10,1	30,7	35,2	42,3
15 + 19	319	120	209,5	144,0	108,2	53,1	23,2	13,8	10,4	31,2	35,7	42,3
16 + 3	323	120	187,1	136,5	108,8	60,1	29,5	17,6	12,2	30,6	33,9	37,0
17 + 19	359	121	178,2	126,0	98,3	54,2	28,1	17,6	12,8	30,7	33,9	37,0
18 + 8	368	120	224,1	151,0	113,9	54,8	23,6	14,3	11,3	31,5	37,1	42,3
20 + 1	401	120	215,6	147,2	109,2	54,6	25,4	15,2	11,6	31,3	36,7	42,3
20 + 5	405	122	155,1	111,8	87,0	45,8	22,0	13,8	11,0	30,7	34,1	37,0
22 + 1	441	122	137,1	85,3	59,3	24,8	11,0	8,0	6,9	31,2	36,7	42,3
22 + 6	446	124	95,2	61,4	44,5	20,0	9,3	7,1	6,3	30,4	33,8	37,0
23 + 18	478	120	96,1	55,7	37,7	15,9	8,3	6,9	6,1	30,7	35,9	42,3
24 + 7	487	119	100,9	67,6	49,4	21,9	8,9	6,7	5,7	30,0	33,7	38,0
26 + 6	526	120	82,5	54,2	39,2	17,2	7,4	5,6	5,0	29,9	33,7	38,0
26 + 6	526	120	114,0	70,0	48,6	20,4	9,5	7,6	6,7	30,7	36,7	42,3
28 + 7	567	120	100,8	59,4	40,4	16,8	7,5	5,8	5,0	30,5	33,7	42,3
28 + 8	568	120	87,6	58,7	43,1	20,0	8,9	6,2	5,1	30,3	34,1	38,0
30 + 10	610	120	128,4	87,2	64,8	30,2	12,8	8,1	6,7	30,2	33,5	38,0
30 + 10	610	121	113,8	67,3	46,1	19,8	10,2	8,0	6,4	30,7	34,1	42,3
32 + 6	646	119	163,6	107,6	77,9	36,3	17,5	12,5	10,4	30,4	35,1	42,3
32 + 9	649	120	163,4	119,5	94,7	53,8	29,6	20,5	15,6	30,9	34,4	38,0
34 + 5	685	120	144,0	96,3	72,1	36,3	18,0	12,5	10,4	30,4	35,6	42,3
36 + 3	723	120	144,2	91,7	67,3	33,2	18,3	14,5	12,4	30,8	35,9	42,3
36 + 13	733	123	125,1	82,5	59,6	26,9	11,8	8,2	6,9	31,0	34,3	38,0
38 + 4	764	122	85,9	51,3	35,7	15,8	8,2	6,4	5,4	31,2	35,6	42,3
38 + 15	775	121	87,7	55,7	40,4	19,2	9,5	6,9	5,5	31,1	33,5	38,0
39 + 19	799	120	95,2	57,1	39,3	16,8	8,3	6,4	5,3	31,4	36,3	42,3
40 + 10	810	119	102,4	72,3	56,5	31,4	16,3	10,6	7,9	30,6	34,3	38,0
41 + 19	839	119	119,0	78,7	58,4	28,9	13,7	9,2	7,4	31,5	36,7	42,3
42 + 5	845	120	120,9	87,7	69,8	39,2	19,5	11,7	8,3	30,5	34,2	38,0
44 + 0	880	120	117,3	75,0	55,0	26,6	13,1	9,0	7,1	31,4	35,2	42,3
44 + 1	881	121	112,5	72,9	54,1	26,9	13,0	8,7	6,7	31,4	34,0	38,0
46 + 0	920	121	97,3	62,6	47,1	25,0	13,6	10,0	8,1	31,5	34,1	38,0
46 + 1	921	120	114,5	72,5	52,4	25,4	12,3	8,1	6,4	31,6	35,3	42,3
47 + 18	958	119	133,9	98,5	78,6	45,5	22,7	12,8	8,9	30,9	34,5	38,0
47 + 18	958	119	130,2	86,6	65,8	35,0	17,9	11,8	8,7	31,9	35,3	42,3
50 + 1	1.001	120	113,8	75,0	58,0	32,7	18,4	12,8	9,8	31,2	33,7	38,0
50 + 4	1.004	120	122,0	86,5	66,9	36,6	19,2	12,9	9,9	32,0	35,2	42,3
50 + 4	1.004	122	120,1	87,6	69,0	39,1	20,7	13,8	10,5	31,6	35,8	43,0
52 + 0	1.040	122	108,7	76,3	59,9	34,3	18,9	13,2	10,0	31,5	33,6	38,0
52 + 9	1.049	121	116,8	79,1	61,1	34,6	19,8	13,6	10,4	31,9	35,7	43,0
53 + 19	1.079	120	101,1	68,5	52,8	29,4	15,8	10,5	7,9	31,0	33,9	38,0
54 + 12	1.092	122	109,1	69,9	51,6	26,6	14,4	10,4	8,1	32,0	36,2	43,0
56 + 3	1.123	120	97,9	68,6	53,0	28,7	14,8	9,6	7,3	31,3	33,9	38,0
56 + 11	1.131	120	103,1	64,9	47,9	24,7	13,1	9,0	6,9	31,9	35,3	41,8
58 + 2	1.162	120	96,9	64,7	49,0	25,5	13,0	8,9	7,0	30,9	34,0	38,0
58 + 14	1.174	121	93,6	56,8	40,3	20,0	10,8	8,0	6,5	30,2	34,8	41,8
60 + 2	1.202	120	90,1	60,7	45,8	23,9	12,2	8,3	6,6	30,8	33,8	38,0
60 + 6	1.206	120	92,2	56,9	40,7	20,1	10,7	8,0	6,5	30,2	33,9	41,8
62 + 4	1.244	120	90,1	58,1	42,9	22,0	12,0	8,7	6,9	30,0	34,2	41,8
62 + 6	1.246	120	87,8	59,8	46,2	25,3	13,8	9,7	7,6	31,0	33,9	38,0

TDR Sul a Curva do boi - 120kN													
Estaca	Ext. (m)	Carga (kN)	D ₀	D ₂₅	D ₃₅	D ₆₀	D ₉₀	D ₁₂₀	D ₁₅₀	Temp. Ar	Temp. sup.	Man	
			(10 ⁻² mm)										
64 + 0	1.280	120	99,9	65,7	49,7	26,1	13,6	9,4	7,4	31,3	34,1	38,0	
64 + 4	1.284	120	85,1	54,2	39,3	19,6	10,4	7,6	6,2	29,8	33,7	41,8	
66 + 6	1.326	119	116,3	77,0	57,4	28,5	13,9	9,4	7,5	31,1	33,7	38,0	
66 + 14	1.334	120	100,2	66,4	49,5	25,6	13,6	9,6	7,7	30,1	34,5	41,8	
68 + 2	1.362	120	117,6	82,0	61,7	30,6	14,4	9,8	8,0	31,1	34,1	38,0	
68 + 9	1.369	119	107,2	66,8	48,7	24,0	12,5	8,9	7,2	30,2	33,9	41,8	
69 + 19	1.399	119	127,8	91,4	70,3	37,1	18,3	11,8	9,1	31,7	35,1	38,0	
70 + 11	1.411	120	110,9	73,3	54,2	27,1	13,8	9,8	7,9	30,2	33,2	41,8	
72 + 6	1.446	121	97,0	66,5	50,0	25,2	12,1	7,8	5,9	31,8	34,7	38,0	
72 + 6	1.446	120	99,1	66,7	49,7	25,8	13,7	9,5	7,2	30,5	33,8	41,8	
74 + 3	1.483	120	107,6	69,5	50,7	23,8	10,3	6,4	4,9	30,5	33,6	41,8	
74 + 5	1.485	120	90,9	65,0	50,8	28,5	15,9	11,7	9,3	31,0	34,3	38,0	
76 + 2	1.522	120	155,0	106,8	80,0	36,4	14,0	7,4	5,7	31,9	36,1	38,0	
76 + 11	1.531	120	132,9	81,5	57,9	25,7	11,8	8,6	6,9	30,3	33,5	41,8	
78 + 4	1.564	121	140,6	96,8	73,3	37,4	17,9	11,8	9,0	31,7	35,7	38,0	
78 + 13	1.573	119	135,5	90,7	67,5	33,5	16,7	11,3	8,7	30,3	33,6	41,8	
80 + 1	1.601	120	143,8	95,2	68,2	30,6	14,3	10,6	8,8	30,4	33,9	41,8	
80 + 9	1.609	122	113,8	80,9	62,5	32,0	15,1	10,5	8,6	30,9	32,6	38,0	
81 + 18	1.638	120	122,8	78,8	56,7	27,5	14,8	11,6	9,8	30,9	33,9	41,8	
82 + 11	1.651	120	123,0	86,6	65,5	32,8	16,7	11,8	9,8	31,3	33,5	38,0	
84 + 1	1.681	120	132,8	86,6	62,3	29,7	15,5	11,6	9,8	31,1	33,5	41,8	
84 + 13	1.693	121	120,0	80,9	60,3	27,6	11,5	7,8	6,4	31,5	33,7	38,0	
86 + 2	1.722	120	141,2	94,2	68,4	33,1	17,7	13,3	10,4	31,4	33,8	41,8	
86 + 19	1.739	119	147,1	104,6	80,7	42,0	21,2	13,9	10,2	31,3	34,7	38,0	
88 + 2	1.762	120	143,4	94,5	68,6	32,5	15,1	10,0	7,7	31,1	33,8	41,8	
89 + 5	1.785	122	99,2	67,3	50,5	25,9	13,9	10,4	8,6	31,6	34,3	38,0	
90 + 3	1.803	121	94,4	56,7	39,5	18,0	10,4	8,7	7,4	30,8	33,4	41,8	
90 + 5	1.805	121	90,6	59,5	43,3	20,6	10,7	8,1	6,8	31,3	34,6	38,0	
92 + 3	1.843	120	100,5	64,5	47,5	23,5	11,2	7,6	6,4	30,1	33,6	41,8	
92 + 4	1.844	120	90,8	60,1	44,7	21,5	10,1	7,2	6,1	31,3	34,2	38,0	
94 + 2	1.882	119	101,4	68,6	51,4	24,2	11,0	7,9	6,7	31,2	34,2	38,0	
94 + 7	1.887	120	112,3	73,1	53,9	25,7	11,7	7,9	6,7	30,4	34,1	41,8	
95 + 19	1.919	120	101,7	67,4	49,2	23,0	10,1	6,9	5,8	31,2	34,3	38,0	
96 + 5	1.925	120	103,5	61,5	42,7	18,0	8,4	6,6	5,8	31,0	34,2	41,8	
97 + 13	1.953	120	125,0	83,1	61,4	28,1	10,4	6,2	5,4	30,8	34,3	38,0	
98 + 0	1.960	120	126,6	79,1	57,3	25,8	10,0	6,1	5,5	31,0	34,4	41,8	
99 + 11	1.991	119	145,0	101,4	75,7	33,7	12,4	7,3	6,4	31,6	35,1	38,0	
100 + 4	2.004	120	165,3	109,4	81,0	37,6	15,0	9,2	7,4	30,8	36,3	41,8	
102 + 1	2.041	120	130,2	87,4	65,5	31,6	13,4	7,7	6,0	32,0	34,1	38,0	
102 + 4	2.044	121	130,6	82,9	59,4	27,1	12,1	8,2	6,8	30,9	35,1	41,8	
104 + 0	2.080	121	148,3	94,3	67,3	29,0	10,6	6,3	5,5	31,1	34,8	41,8	
104 + 7	2.087	120	148,7	102,3	77,2	37,3	15,1	8,4	6,9	31,9	34,1	38,0	
106 + 13	2.133	121	117,5	74,6	51,7	20,7	8,7	6,7	5,8	32,0	34,9	38,0	
108 + 0	2.160	121	118,3	70,7	48,9	21,1	9,5	6,9	6,0	30,8	33,7	41,8	
108 + 19	2.179	121	111,1	68,7	47,7	20,2	10,0	8,1	6,6	32,4	34,6	38,0	
110 + 4	2.204	121	119,3	69,5	47,2	20,2	10,0	7,8	6,5	30,5	33,1	41,8	
112 + 2	2.242	121	94,0	59,1	42,0	18,6	8,9	6,7	5,5	32,2	34,8	38,0	
112 + 6	2.246	120	101,8	59,3	41,0	18,1	9,3	7,4	6,1	29,9	34,0	41,8	
114 + 2	2.282	121	69,1	43,7	31,5	15,0	8,2	6,6	5,6	32,1	34,6	38,0	
114 + 10	2.290	121	77,5	43,7	29,6	13,1	7,5	6,3	5,3	30,0	33,3	41,8	
116 + 8	2.328	120	127,5	80,7	57,1	25,3	11,1	7,9	6,7	29,1	32,2	41,8	
117 + 6	2.346	120	79,3	48,7	33,1	13,3	6,1	4,9	4,3	31,9	34,7	38,0	
118 + 13	2.373	120	88,0	50,6	34,2	13,9	6,3	4,9	4,2	29,8	32,8	41,8	
119 + 1	2.381	120	78,9	47,4	32,8	14,2	6,9	5,7	4,9	31,8	34,6	38,0	
120 + 3	2.403	120	90,9	57,1	40,3	17,2	7,9	6,3	5,5	31,8	35,2	38,0	
122 + 1	2.441	120	91,2	53,8	36,2	15,3	7,2	5,6	4,9	29,9	33,7	41,8	
122 + 8	2.448	120	94,6	59,6	42,2	17,0	6,8	5,5	5,0	31,7	35,0	38,0	
124 + 5	2.485	120	106,4	65,8	46,6	20,3	8,5	6,2	5,5	30,3	33,8	41,8	
124 + 6	2.486	120	122,4	73,6	49,1	18,1	7,9	6,2	5,4	31,7	35,1	38,0	
126 + 7	2.527	120	77,1	50,6	39,0	21,1	11,2	7,7	5,9	30,5	34,2	41,8	
126 + 8	2.528	121	75,2	46,0	32,4	13,9	6,1	4,6	3,9	31,6	34,3	38,0	
128 + 9	2.569	121	67,3	37,6	25,2	10,4	5,5	4,7	4,0	30,7	34,1	41,8	
128 + 12	2.572	120	66,6	39,8	27,4	11,4	5,6	4,7	4,1	31,4	34,2	38,0	
130 + 10	2.610	120	76,1	42,6	27,9	10,8	5,9	5,3	4,6	31,8	34,3	38,0	

TDR Sul a Curva do boi - 120kN												
Estaca	Ext. (m)	Carga (kN)	D ₀	D ₂₅	D ₃₅	D ₆₀	D ₉₀	D ₁₂₀	D ₁₅₀	Temp. Ar (°C)	Temp. sup. (°C)	Man
			(10 ⁻² mm)									
130 + 15	2.615	120	66,8	38,3	26,0	11,1	5,7	4,9	4,4	30,4	33,7	41,8
132 + 7	2.647	120	69,4	42,2	30,0	14,7	8,2	6,4	5,3	31,7	34,9	38,0
132 + 12	2.652	119	79,0	46,4	32,6	16,0	8,9	6,9	5,7	30,7	33,7	41,8
134 + 7	2.687	120	82,9	52,3	37,0	17,0	8,9	6,8	5,5	31,6	34,3	38,0
134 + 12	2.692	121	97,8	58,1	40,3	18,3	9,2	6,8	5,7	30,6	34,5	41,8
136 + 8	2.728	122	93,2	63,7	47,8	23,9	12,0	8,5	6,9	31,5	36,8	40,0
136 + 12	2.732	120	97,6	62,1	44,9	21,8	11,1	8,2	6,8	30,1	34,2	41,8
138 + 10	2.770	121	82,7	56,0	42,6	23,3	13,0	9,3	7,3	31,6	36,1	40,0
138 + 17	2.777	119	120,9	82,9	64,3	35,0	17,9	11,3	8,3	29,7	34,0	41,8
140 + 1	2.801	121	81,9	52,6	38,5	18,9	10,3	7,4	5,9	32,2	35,2	40,0
140 + 9	2.809	120	89,2	54,4	39,1	19,7	10,5	7,2	5,2	29,5	33,7	41,8
142 + 10	2.850	119	97,9	66,4	49,6	24,5	12,4	8,7	7,1	31,7	34,9	40,0
142 + 15	2.855	119	103,5	64,7	47,4	24,2	13,0	9,4	7,5	29,4	33,3	41,8
144 + 13	2.893	120	186,2	130,1	97,5	44,9	15,9	8,1	6,8	32,3	39,5	40,0
144 + 16	2.896	120	193,5	135,7	103,9	50,4	18,4	8,8	7,0	29,4	33,7	41,8
146 + 12	2.932	119	170,3	121,7	93,8	48,7	21,1	10,8	7,6	32,6	36,6	40,0
146 + 14	2.934	122	134,8	90,9	67,8	32,2	14,0	8,5	7,1	29,4	33,1	41,8
148 + 9	2.969	120	128,3	86,9	65,6	34,0	17,4	12,3	10,3	29,8	33,5	41,8
148 + 10	2.970	121	129,8	91,6	71,7	38,8	19,3	12,7	9,9	32,0	35,8	40,0
150 + 8	3.008	122	107,1	70,7	53,3	28,4	15,4	11,1	8,9	29,6	33,2	41,8
151 + 1	3.021	119	174,8	126,0	97,4	49,3	21,9	13,2	10,9	31,8	36,4	40,0
152 + 12	3.052	120	113,7	75,1	56,5	29,8	16,7	13,0	11,4	30,1	33,7	41,8
153 + 11	3.071	121	112,0	80,0	62,3	35,0	20,2	15,1	12,6	32,2	36,0	40,0
154 + 11	3.091	120	102,7	67,0	50,1	27,5	17,0	14,1	12,3	30,7	33,7	41,8
156 + 1	3.121	121	108,0	76,7	60,0	33,8	19,2	14,4	11,8	32,0	36,6	40,0
156 + 8	3.128	121	109,7	69,5	52,1	27,7	15,7	12,2	10,5	30,3	34,0	41,8
158 + 4	3.164	120	135,6	95,2	73,4	39,4	20,1	13,0	9,6	31,9	35,4	40,0
158 + 11	3.171	119	136,7	92,7	70,3	36,4	17,9	11,3	8,8	30,5	34,3	41,8
160 + 5	3.205	119	161,8	112,5	85,2	42,5	19,3	12,6	9,7	31,9	35,1	40,0
160 + 7	3.207	120	143,4	95,9	71,6	35,6	16,8	11,0	8,7	30,2	34,1	41,8
162 + 7	3.247	119	147,6	101,1	77,1	41,3	22,0	15,3	12,0	30,9	33,7	41,8
162 + 12	3.252	119	157,8	112,0	86,8	46,2	23,7	16,2	12,6	32,0	35,4	40,0
164 + 7	3.287	121	123,5	86,9	68,2	38,6	21,3	14,5	11,5	31,1	34,5	41,8
165 + 3	3.303	120	161,6	116,1	90,6	48,9	24,4	16,2	12,6	32,3	34,9	40,0
166 + 3	3.323	120	148,3	99,2	73,9	37,7	18,6	12,5	10,0	30,8	34,1	41,8
167 + 13	3.353	123	89,1	58,2	42,9	21,5	11,5	8,6	7,2	32,1	34,6	40,0
168 + 1	3.361	122	88,5	55,4	40,1	20,2	11,1	8,6	7,1	31,2	34,1	41,8
170 + 0	3.400	119	135,7	93,9	70,6	35,8	17,2	11,0	8,5	32,1	34,8	40,0
170 + 5	3.405	119	148,0	95,8	71,2	35,1	16,6	10,7	8,5	31,3	34,0	41,8
172 + 8	3.448	120	148,9	96,0	70,0	35,6	17,7	11,1	8,4	31,3	34,4	41,8
172 + 14	3.454	121	142,6	97,5	72,3	33,9	14,4	9,1	7,6	31,7	34,9	40,0
174 + 8	3.488	121	146,7	96,7	72,0	35,6	16,8	10,9	9,1	31,4	34,4	41,8
175 + 4	3.504	119	156,9	107,5	80,4	37,4	15,1	8,4	6,2	31,9	34,5	40,0
176 + 4	3.524	119	128,3	87,6	66,9	33,8	15,2	8,5	6,1	31,6	34,3	41,8
176 + 8	3.528	120	162,6	112,5	85,9	42,4	17,4	9,0	6,1	31,3	34,1	40,0
178 + 8	3.568	121	112,0	76,8	58,1	29,4	14,1	9,1	7,4	31,1	34,0	40,0
178 + 8	3.568	120	118,9	84,4	65,7	35,9	17,6	10,7	7,7	31,1	34,0	41,8
180 + 9	3.609	120	116,0	81,5	60,7	27,9	12,0	8,8	7,8	30,2	33,3	41,8
180 + 12	3.612	120	107,4	79,6	62,9	34,6	17,2	11,3	8,9	30,9	33,5	40,0
182 + 1	3.641	121	79,8	58,0	45,9	24,6	12,3	8,1	6,1	31,1	34,0	40,0
182 + 4	3.644	120	125,4	88,8	68,7	34,0	14,0	8,0	6,3	29,8	32,6	41,8

Anexo II

Método das Diferenças Acumuladas

Curva do Boi a TDR Sul - 41kN									
Ext. (km)	Δx (km)	Σ Δx (km)	carga (kN)	D _{max} (10 ⁻² mm)	D _{médio} (10 ⁻² mm)	Área (m ²)	Σ Área (m ²)	tgα	Dif. Acum.
0,00	0,00	0,00	42	30,4				19,42	0,00
0,02	0,02	0,02	41	17,3	23,9	0,43	0,43	19,42	0,08
0,04	0,02	0,04	41	30,9	24,1	0,43	0,86	19,42	0,16
0,06	0,02	0,06	40	19,1	25,0	0,50	1,36	19,42	0,28
0,08	0,02	0,08	40	32,7	25,9	0,62	1,98	19,42	0,43
0,10	0,02	0,10	42	24,3	28,5	0,48	2,47	19,42	0,59
0,12	0,02	0,12	42	23,6	24,0	0,43	2,90	19,42	0,67
0,14	0,02	0,14	41	20,5	22,1	0,51	3,41	19,42	0,73
0,16	0,02	0,16	41	24,4	22,5	0,47	3,88	19,42	0,79
0,18	0,02	0,18	41	17,9	21,2	0,34	4,22	19,42	0,82
0,20	0,02	0,20	41	22,2	20,1	0,48	4,70	19,42	0,83
0,22	0,02	0,22	41	19,1	20,7	0,41	5,11	19,42	0,86
0,24	0,02	0,24	41	15,0	17,1	0,34	5,45	19,42	0,81
0,26	0,02	0,26	42	20,4	17,7	0,30	5,75	19,42	0,78
0,28	0,02	0,28	41	20,7	20,6	0,43	6,18	19,42	0,81
0,30	0,02	0,30	41	20,7	20,7	0,48	6,66	19,42	0,84
0,32	0,02	0,32	40	18,7	19,7	0,35	7,02	19,42	0,84
0,34	0,02	0,34	41	20,7	19,7	0,47	7,49	19,42	0,85
0,36	0,02	0,36	42	24,9	22,8	0,39	7,88	19,42	0,91
0,38	0,02	0,38	41	19,2	22,1	0,51	8,38	19,42	0,97
0,40	0,01	0,40	41	23,5	21,4	0,28	8,66	19,42	0,99
0,42	0,02	0,42	41	23,5	23,5	0,56	9,22	19,42	1,09
0,44	0,02	0,44	40	22,0	22,8	0,36	9,59	19,42	1,14
0,46	0,03	0,46	41	18,6	20,3	0,51	10,10	19,42	1,16
0,47	0,01	0,47	41	18,0	18,3	0,22	10,32	19,42	1,15
0,50	0,02	0,50	41	21,5	19,8	0,45	10,77	19,42	1,16
0,51	0,02	0,51	42	22,5	22,0	0,42	11,19	19,42	1,21
0,54	0,03	0,54	41	22,9	22,7	0,57	11,76	19,42	1,29
0,56	0,02	0,56	41	27,0	25,0	0,47	12,23	19,42	1,40
0,58	0,02	0,58	41	21,9	24,5	0,49	12,72	19,42	1,50
0,60	0,02	0,60	42	19,5	20,7	0,43	13,15	19,42	1,52
0,62	0,02	0,62	41	24,0	21,8	0,48	13,63	19,42	1,57
0,64	0,02	0,64	41	20,8	22,4	0,43	14,06	19,42	1,63
0,66	0,02	0,66	41	18,1	19,5	0,37	14,43	19,42	1,63
0,68	0,02	0,68	41	21,2	19,7	0,31	14,74	19,42	1,63
0,70	0,02	0,70	41	18,1	19,7	0,43	15,17	19,42	1,64
0,71	0,01	0,71	40	27,3	22,7	0,32	15,49	19,42	1,69
0,74	0,03	0,74	41	19,1	23,2	0,70	16,19	19,42	1,80
0,75	0,01	0,75	40	22,5	20,8	0,15	16,33	19,42	1,81
0,78	0,03	0,78	41	19,8	21,2	0,66	16,99	19,42	1,86
0,79	0,01	0,79	42	20,8	20,3	0,28	17,27	19,42	1,88
0,82	0,03	0,82	41	14,7	17,8	0,46	17,73	19,42	1,83
0,84	0,02	0,84	42	16,3	15,5	0,25	17,98	19,42	1,77
0,86	0,02	0,86	41	12,2	14,3	0,31	18,30	19,42	1,66
0,87	0,02	0,87	41	13,0	12,6	0,19	18,48	19,42	1,55
0,88	0,00	0,88	41	10,5	11,8	0,04	18,52	19,42	1,53
0,91	0,04	0,91	41	13,3	11,9	0,46	18,98	19,42	1,24
0,92	0,00	0,92	41	13,3	13,3	0,05	19,04	19,42	1,21
0,96	0,04	0,96	42	16,1	14,7	0,54	19,58	19,42	1,04
0,96	0,00	0,96	41	15,8	16,0	0,06	19,65	19,42	1,02
1,00	0,04	1,00	42	16,5	16,2	0,61	20,26	19,42	0,90

Curva do Boi a TDR Sul - 41kN									
Ext. (km)	Δx (km)	Σ Δx (km)	carga (kN)	D _{max} (10 ⁻² mm)	D _{médio} (10 ⁻² mm)	Área (m ²)	Σ Área (m ²)	tgα	Dif. Acum.
1,00	0,00	1,00	41	17,0	16,8	0,00	20,26	19,42	0,90
1,03	0,03	1,03	41	14,4	15,7	0,49	20,75	19,42	0,79
1,04	0,01	1,04	42	16,9	15,7	0,13	20,87	19,42	0,75
1,06	0,02	1,06	41	12,7	14,8	0,37	21,24	19,42	0,64
1,08	0,02	1,08	41	14,7	13,7	0,22	21,46	19,42	0,55
1,10	0,02	1,10	41	11,6	13,2	0,32	21,78	19,42	0,40
1,12	0,02	1,12	41	12,9	12,3	0,22	22,00	19,42	0,27
1,14	0,02	1,14	41	12,1	12,5	0,26	22,26	19,42	0,12
1,16	0,02	1,16	41	13,0	12,6	0,24	22,50	19,42	-0,01
1,17	0,01	1,17	41	12,5	12,8	0,19	22,69	19,42	-0,11
1,20	0,02	1,20	41	13,5	13,0	0,31	23,00	19,42	-0,26
1,22	0,02	1,22	41	11,7	12,6	0,21	23,21	19,42	-0,38
1,24	0,02	1,24	40	14,2	13,0	0,27	23,49	19,42	-0,51
1,26	0,02	1,26	41	11,3	12,8	0,27	23,75	19,42	-0,65
1,27	0,02	1,27	42	13,3	12,3	0,21	23,96	19,42	-0,77
1,30	0,03	1,30	41	12,8	13,1	0,34	24,30	19,42	-0,94
1,32	0,02	1,32	40	12,5	12,7	0,23	24,53	19,42	-1,06
1,34	0,02	1,34	41	13,8	13,2	0,30	24,83	19,42	-1,21
1,36	0,01	1,36	41	12,7	13,3	0,19	25,02	19,42	-1,29
1,38	0,02	1,38	41	13,6	13,2	0,33	25,35	19,42	-1,45
1,40	0,02	1,40	41	14,4	14,0	0,27	25,61	19,42	-1,55
1,42	0,02	1,42	41	13,0	13,7	0,27	25,89	19,42	-1,67
1,44	0,02	1,44	40	13,3	13,2	0,25	26,14	19,42	-1,78
1,46	0,02	1,46	41	13,9	13,6	0,31	26,45	19,42	-1,92
1,50	0,03	1,50	41	14,4	14,2	0,48	26,93	19,42	-2,10
1,52	0,02	1,52	40	16,1	15,3	0,35	27,28	19,42	-2,19
1,53	0,01	1,53	41	12,6	14,4	0,16	27,44	19,42	-2,25
1,56	0,03	1,56	41	12,8	12,7	0,38	27,82	19,42	-2,45
1,57	0,02	1,57	41	12,6	12,7	0,19	28,01	19,42	-2,55
1,60	0,02	1,60	41	14,3	13,5	0,31	28,32	19,42	-2,69
1,62	0,02	1,62	41	13,7	14,0	0,28	28,60	19,42	-2,80
1,64	0,02	1,64	41	14,2	14,0	0,28	28,88	19,42	-2,91
1,66	0,02	1,66	42	14,5	14,4	0,36	29,24	19,42	-3,03
1,68	0,02	1,68	41	13,5	14,0	0,27	29,50	19,42	-3,14
1,70	0,02	1,70	42	16,3	14,9	0,28	29,79	19,42	-3,22
1,72	0,02	1,72	40	15,0	15,7	0,31	30,10	19,42	-3,30
1,73	0,01	1,73	41	15,3	15,2	0,20	30,30	19,42	-3,35
1,76	0,03	1,76	41	13,8	14,6	0,38	30,68	19,42	-3,48
1,78	0,02	1,78	41	17,2	15,5	0,28	30,95	19,42	-3,55
1,82	0,04	1,82	41	25,3	21,3	0,89	31,85	19,42	-3,47
1,84	0,02	1,84	40	20,9	23,1	0,39	32,24	19,42	-3,41
1,86	0,02	1,86	41	19,5	20,2	0,50	32,74	19,42	-3,39
1,88	0,01	1,88	41	18,6	19,1	0,29	33,03	19,42	-3,40
1,90	0,02	1,90	41	30,2	24,4	0,59	33,62	19,42	-3,28
1,92	0,02	1,92	41	29,5	29,9	0,48	34,09	19,42	-3,11
1,94	0,02	1,94	41	26,1	27,8	0,64	34,73	19,42	-2,92
1,96	0,02	1,96	41	27,2	26,7	0,43	35,16	19,42	-2,80
1,98	0,02	1,98	41	32,4	29,8	0,69	35,84	19,42	-2,56
2,00	0,02	2,00	41	22,9	27,7	0,47	36,31	19,42	-2,42
2,02	0,03	2,02	41	26,7	24,8	0,64	36,96	19,42	-2,28
2,04	0,02	2,04	41	27,6	27,2	0,43	37,39	19,42	-2,16

Curva do Boi a TDR Sul - 41kN									
Ext. (km)	Δx (km)	Σ Δx (km)	carga (kN)	D _{max} (10 ⁻² mm)	D _{médio} (10 ⁻² mm)	Área (m ²)	Σ Área (m ²)	tgα	Dif. Acum.
2,06	0,02	2,06	41	35,7	31,7	0,76	38,15	19,42	-1,86
2,07	0,01	2,07	41	29,2	32,5	0,42	38,58	19,42	-1,70
2,10	0,03	2,10	41	24,5	26,9	0,67	39,25	19,42	-1,51
2,12	0,02	2,12	41	12,4	18,5	0,35	39,60	19,42	-1,53
2,14	0,02	2,14	41	14,1	13,3	0,30	39,90	19,42	-1,67
2,16	0,02	2,16	41	15,3	14,7	0,22	40,12	19,42	-1,74
2,18	0,02	2,18	41	18,9	17,1	0,38	40,50	19,42	-1,79
2,20	0,02	2,20	41	15,2	17,1	0,32	40,82	19,42	-1,84
2,22	0,02	2,22	41	14,5	14,9	0,28	41,10	19,42	-1,92
2,24	0,02	2,24	42	16,0	15,3	0,29	41,39	19,42	-2,00
2,26	0,02	2,26	41	17,7	16,9	0,39	41,78	19,42	-2,06
2,28	0,02	2,28	42	15,3	16,5	0,33	42,11	19,42	-2,12
2,30	0,02	2,30	41	18,2	16,8	0,39	42,50	19,42	-2,18
2,32	0,02	2,32	41	17,4	17,8	0,34	42,84	19,42	-2,21
2,34	0,02	2,34	40	16,3	16,9	0,35	43,19	19,42	-2,27
2,36	0,02	2,36	41	13,2	14,8	0,25	43,44	19,42	-2,35
2,38	0,02	2,38	41	15,2	14,2	0,31	43,75	19,42	-2,46
2,40	0,02	2,40	41	17,0	16,1	0,32	44,07	19,42	-2,53
2,42	0,02	2,42	41	18,1	17,6	0,33	44,41	19,42	-2,56
2,44	0,02	2,44	41	17,5	17,8	0,34	44,75	19,42	-2,59
2,46	0,02	2,46	41	17,1	17,3	0,38	45,13	19,42	-2,64
2,48	0,02	2,48	40	19,9	18,5	0,37	45,50	19,42	-2,66
2,50	0,02	2,50	41	16,1	18,0	0,31	45,80	19,42	-2,68
2,52	0,02	2,52	40	15,6	15,9	0,29	46,09	19,42	-2,75
2,53	0,02	2,53	41	15,1	15,4	0,28	46,36	19,42	-2,82
2,56	0,02	2,56	41	23,9	19,5	0,45	46,81	19,42	-2,82
2,57	0,01	2,57	42	16,6	20,3	0,28	47,10	19,42	-2,81
2,60	0,03	2,60	41	26,0	21,3	0,66	47,76	19,42	-2,75
2,62	0,02	2,62	41	18,4	22,2	0,42	48,18	19,42	-2,69
2,64	0,02	2,64	41	24,0	21,2	0,38	48,56	19,42	-2,66
2,66	0,02	2,66	41	19,5	21,8	0,48	49,04	19,42	-2,61
2,67	0,01	2,67	42	29,9	24,7	0,35	49,38	19,42	-2,54
2,70	0,02	2,70	41	21,8	25,9	0,62	50,00	19,42	-2,38
2,72	0,02	2,72	41	25,1	23,5	0,40	50,40	19,42	-2,31
2,73	0,02	2,73	41	20,0	22,6	0,41	50,81	19,42	-2,26
2,76	0,03	2,76	42	27,3	23,7	0,61	51,42	19,42	-2,15
2,77	0,01	2,77	41	23,7	25,5	0,33	51,76	19,42	-2,07
2,80	0,02	2,80	41	24,0	23,9	0,57	52,33	19,42	-1,96
2,82	0,02	2,82	41	16,0	20,0	0,38	52,71	19,42	-1,95
2,84	0,02	2,84	40	26,9	21,5	0,49	53,20	19,42	-1,90
2,86	0,02	2,86	41	20,5	23,7	0,47	53,68	19,42	-1,82
2,88	0,02	2,88	41	14,7	17,6	0,33	54,01	19,42	-1,85
2,90	0,02	2,90	42	22,9	18,8	0,38	54,39	19,42	-1,86
2,91	0,01	2,91	41	17,2	20,1	0,22	54,61	19,42	-1,86
2,94	0,03	2,94	41	21,0	19,1	0,59	55,20	19,42	-1,87
2,95	0,02	2,95	42	20,6	20,8	0,31	55,51	19,42	-1,85
2,98	0,02	2,98	41	15,9	18,3	0,40	55,91	19,42	-1,87
3,00	0,02	3,00	41	20,7	18,3	0,37	56,28	19,42	-1,90
3,02	0,02	3,02	41	17,2	19,0	0,47	56,75	19,42	-1,91
3,04	0,02	3,04	41	17,2	17,2	0,28	57,03	19,42	-1,94
3,06	0,02	3,06	41	23,7	20,5	0,45	57,48	19,42	-1,92

Curva do Boi a TDR Sul - 41kN									
Ext. (km)	Δx (km)	$\Sigma \Delta x$ (km)	carga (kN)	D_{\max} (10^{-2} mm)	$D_{\text{médio}}$ (10^{-2} mm)	Área (m ²)	Σ Área (m ²)	$\tg\alpha$	Dif. Acum.
3,08	0,02	3,08	41	16,7	20,2	0,36	57,84	19,42	-1,91
3,10	0,02	3,10	41	20,5	18,6	0,43	58,27	19,42	-1,92
3,12	0,02	3,12	41	12,9	16,7	0,33	58,60	19,42	-1,98
3,14	0,02	3,14	41	23,8	18,4	0,35	58,95	19,42	-2,00
3,16	0,02	3,16	41	19,7	21,8	0,41	59,36	19,42	-1,95
3,18	0,02	3,18	41	18,7	19,2	0,38	59,75	19,42	-1,96
3,19	0,02	3,19	42	20,9	19,8	0,30	60,05	19,42	-1,95
3,22	0,02	3,22	41	20,7	20,8	0,48	60,52	19,42	-1,92
3,24	0,02	3,24	40	19,2	20,0	0,38	60,90	19,42	-1,91
3,26	0,02	3,26	41	25,9	22,6	0,56	61,47	19,42	-1,83
3,27	0,01	3,27	41	21,9	23,9	0,29	61,75	19,42	-1,78
3,30	0,03	3,30	41	32,9	27,4	0,77	62,52	19,42	-1,56
3,32	0,02	3,32	41	29,0	31,0	0,50	63,02	19,42	-1,37
3,34	0,02	3,34	41	18,7	23,9	0,57	63,59	19,42	-1,26
3,36	0,02	3,36	41	30,5	24,6	0,42	64,01	19,42	-1,18
3,38	0,02	3,38	41	22,1	26,3	0,60	64,61	19,42	-1,02
3,40	0,02	3,40	41	22,1	22,1	0,40	65,01	19,42	-0,97
3,42	0,02	3,42	41	24,9	23,5	0,54	65,55	19,42	-0,88
3,44	0,02	3,44	41	20,0	22,5	0,45	66,00	19,42	-0,82
3,46	0,02	3,46	41	26,2	23,1	0,42	66,41	19,42	-0,75
3,48	0,02	3,48	41	23,9	25,1	0,55	66,97	19,42	-0,63
3,50	0,02	3,50	42	22,5	23,2	0,44	67,41	19,42	-0,55
3,52	0,02	3,52	40	15,3	18,9	0,42	67,82	19,42	-0,56
3,54	0,02	3,54	41	23,8	19,6	0,35	68,17	19,42	-0,56
3,56	0,02	3,56	41	27,2	25,5	0,54	68,71	19,42	-0,43
3,58	0,02	3,58	41	26,7	27,0	0,54	69,25	19,42	-0,28
3,60	0,02	3,60	41	24,1	25,4	0,41	69,65	19,42	-0,19
3,61	0,02	3,61	40	21,0	22,6	0,38	70,04	19,42	-0,13
3,64	0,03	3,64	41	28,2	24,6	0,64	70,68	19,42	0,00
3,64	0,00	3,64	42	29,9	29,1	0,00	70,68	19,42	0,00
$\Sigma = 3,64$						$\Sigma = 70,68$			

TDR Sul a Curva do boi - 41kN									
Ext. (km)	Δx (km)	Σ Δx (km)	carga (kN)	D _{max} (10 ⁻² mm)	D _{médio} (10 ⁻² mm)	Área (m ²)	Σ Área (m ²)	tgα	Dif. Acum.
0,00	0,00	0,00	42	36,6				34,63	0,00
0,00	0,00	0,00	42	35,0	35,8	0,00	0,00	34,63	0,00
0,04	0,04	0,04	41	40,5	37,8	1,51	1,51	34,63	0,12
0,05	0,01	0,05	42	36,2	38,4	0,19	1,70	34,63	0,14
0,08	0,03	0,08	41	33,8	35,0	1,19	2,89	34,63	0,16
0,08	0,00	0,08	41	38,6	36,2	0,11	3,00	34,63	0,16
0,12	0,04	0,12	41	44,9	41,8	1,71	4,71	34,63	0,45
0,13	0,00	0,13	41	38,3	41,6	0,08	4,80	34,63	0,47
0,16	0,04	0,16	41	45,7	42,0	1,47	6,27	34,63	0,72
0,16	0,00	0,16	41	31,4	38,6	0,12	6,38	34,63	0,74
0,20	0,04	0,20	42	46,9	39,2	1,45	7,83	34,63	0,90
0,20	0,00	0,20	41	48,1	47,5	0,00	7,83	34,63	0,90
0,24	0,04	0,24	41	42,5	45,3	1,90	9,73	34,63	1,35
0,24	0,00	0,24	41	47,7	45,1	0,05	9,78	34,63	1,36
0,28	0,04	0,28	41	48,8	48,3	1,79	11,56	34,63	1,87
0,29	0,01	0,29	42	48,0	48,4	0,39	11,95	34,63	1,98
0,32	0,03	0,32	41	60,8	54,4	1,80	13,74	34,63	2,63
0,32	0,00	0,32	40	49,5	55,2	0,17	13,91	34,63	2,69
0,36	0,04	0,36	42	69,0	59,3	2,25	16,16	34,63	3,63
0,36	0,00	0,36	41	48,2	58,6	0,12	16,28	34,63	3,67
0,40	0,04	0,40	41	54,9	51,6	1,96	18,24	34,63	4,32
0,41	0,00	0,41	40	39,5	47,2	0,14	18,38	34,63	4,35
0,44	0,04	0,44	41	30,5	35,0	1,30	19,67	34,63	4,37
0,45	0,00	0,45	41	31,5	31,0	0,12	19,80	34,63	4,35
0,48	0,04	0,48	41	32,7	32,1	1,16	20,95	34,63	4,26
0,48	0,00	0,48	41	27,7	30,2	0,06	21,01	34,63	4,25
0,52	0,04	0,52	41	33,0	30,4	1,21	22,23	34,63	4,08
0,53	0,00	0,53	41	27,3	30,2	0,09	22,32	34,63	4,07
0,56	0,03	0,56	41	27,7	27,5	0,88	23,20	34,63	3,84
0,56	0,00	0,56	41	30,7	29,2	0,12	23,32	34,63	3,82
0,60	0,04	0,60	42	33,5	32,1	1,19	24,50	34,63	3,72
0,60	0,00	0,60	41	32,7	33,1	0,13	24,64	34,63	3,72
0,64	0,04	0,64	41	49,9	41,3	1,61	26,25	34,63	3,98
0,64	0,00	0,64	41	48,9	49,4	0,00	26,25	34,63	3,98
0,68	0,04	0,68	40	42,2	45,6	1,73	27,98	34,63	4,39
0,72	0,04	0,72	41	36,2	39,2	1,57	29,55	34,63	4,58
0,72	0,00	0,72	40	31,7	34,0	0,07	29,61	34,63	4,57
0,76	0,04	0,76	40	24,1	27,9	1,12	30,73	34,63	4,31
0,76	0,00	0,76	41	24,9	24,5	0,00	30,73	34,63	4,31
0,80	0,04	0,80	41	29,0	27,0	1,02	31,75	34,63	4,01
0,80	0,00	0,80	41	25,0	27,0	0,00	31,75	34,63	4,01
0,84	0,04	0,84	41	34,4	29,7	1,16	32,91	34,63	3,82
0,85	0,01	0,85	40	28,8	31,6	0,19	33,10	34,63	3,80
0,88	0,04	0,88	42	32,9	30,9	1,08	34,18	34,63	3,67
0,88	0,00	0,88	42	32,6	32,8	0,07	34,25	34,63	3,67
0,92	0,04	0,92	41	30,2	31,4	1,16	35,41	34,63	3,55
0,92	0,00	0,92	41	38,3	34,3	0,07	35,48	34,63	3,55
0,96	0,04	0,96	41	44,5	41,4	1,53	37,01	34,63	3,80
0,96	0,00	0,96	41	34,3	39,4	0,00	37,01	34,63	3,80
1,00	0,05	1,00	40	28,7	31,5	1,42	38,43	34,63	3,66
1,01	0,00	1,01	41	32,7	30,7	0,06	38,49	34,63	3,65

TDR Sul a Curva do boi - 41kN									
Ext. (km)	Δx (km)	Σ Δx (km)	carga (kN)	D _{max} (10 ⁻² mm)	D _{médio} (10 ⁻² mm)	Área (m ²)	Σ Área (m ²)	tgα	Dif. Acum.
1,05	0,04	1,05	41	30,9	31,8	1,27	39,76	34,63	3,54
1,05	0,00	1,05	41	32,7	31,8	0,06	39,82	34,63	3,53
1,08	0,03	1,08	41	29,9	31,3	1,06	40,89	34,63	3,42
1,09	0,01	1,09	42	32,1	31,0	0,28	41,17	34,63	3,38
1,12	0,03	1,12	41	29,8	31,0	1,02	42,19	34,63	3,26
1,12	0,00	1,12	41	28,8	29,3	0,00	42,19	34,63	3,26
1,16	0,04	1,16	41	30,8	29,8	1,10	43,29	34,63	3,08
1,16	0,00	1,16	41	25,9	28,4	0,00	43,29	34,63	3,08
1,20	0,04	1,20	41	29,3	27,6	1,08	44,37	34,63	2,81
1,20	0,00	1,20	41	29,1	29,2	0,09	44,45	34,63	2,79
1,24	0,04	1,24	41	24,6	26,9	0,99	45,45	34,63	2,50
1,25	0,01	1,25	41	28,7	26,7	0,13	45,58	34,63	2,46
1,28	0,04	1,28	41	27,4	28,1	1,04	46,62	34,63	2,22
1,28	0,00	1,28	41	24,3	25,9	0,05	46,67	34,63	2,20
1,32	0,04	1,32	41	32,0	28,2	1,10	47,77	34,63	1,95
1,33	0,00	1,33	41	31,8	31,9	0,06	47,83	34,63	1,95
1,36	0,04	1,36	41	31,3	31,6	1,20	49,03	34,63	1,83
1,37	0,00	1,37	42	36,0	33,7	0,10	49,13	34,63	1,83
1,40	0,03	1,40	41	30,0	33,0	1,16	50,29	34,63	1,77
1,41	0,01	1,41	41	33,2	31,6	0,38	50,67	34,63	1,73
1,44	0,03	1,44	41	30,7	32,0	0,96	51,62	34,63	1,65
1,45	0,00	1,45	41	28,0	29,4	0,12	51,74	34,63	1,63
1,48	0,03	1,48	41	30,3	29,2	0,96	52,70	34,63	1,45
1,48	0,00	1,48	41	28,1	29,2	0,06	52,76	34,63	1,44
1,52	0,04	1,52	41	39,8	34,0	1,22	53,98	34,63	1,41
1,52	0,00	1,52	41	41,7	40,8	0,16	54,15	34,63	1,44
1,56	0,04	1,56	40	36,3	39,0	1,48	55,63	34,63	1,60
1,57	0,01	1,57	41	28,5	32,4	0,23	55,86	34,63	1,59
1,60	0,03	1,60	41	30,4	29,5	0,94	56,80	34,63	1,42
1,60	0,00	1,60	41	41,3	35,9	0,14	56,94	34,63	1,43
1,64	0,04	1,64	41	32,9	37,1	1,34	58,28	34,63	1,52
1,64	0,00	1,64	41	36,4	34,7	0,07	58,35	34,63	1,52
1,68	0,04	1,68	40	37,8	37,1	1,41	59,76	34,63	1,61
1,68	0,00	1,68	41	36,4	37,1	0,07	59,83	34,63	1,62
1,72	0,04	1,72	41	38,3	37,4	1,38	61,21	34,63	1,72
1,76	0,04	1,76	42	38,9	38,6	1,58	62,80	34,63	1,88
1,77	0,01	1,77	41	37,6	38,3	0,23	63,03	34,63	1,90
1,80	0,04	1,80	41	28,8	33,2	1,16	64,19	34,63	1,85
1,81	0,01	1,81	41	24,5	26,7	0,16	64,35	34,63	1,80
1,84	0,03	1,84	41	29,8	27,2	0,95	65,30	34,63	1,54
1,85	0,01	1,85	41	28,3	29,1	0,20	65,50	34,63	1,50
1,88	0,03	1,88	41	32,5	30,4	1,00	66,50	34,63	1,36
1,88	0,00	1,88	41	36,5	34,5	0,10	66,61	34,63	1,36
1,92	0,04	1,92	41	31,3	33,9	1,19	67,79	34,63	1,34
1,92	0,00	1,92	41	30,5	30,9	0,03	67,82	34,63	1,33
1,96	0,04	1,96	41	31,7	31,1	1,21	69,04	34,63	1,19
1,96	0,00	1,96	41	32,2	32,0	0,00	69,04	34,63	1,19
2,00	0,04	2,00	42	35,1	33,7	1,41	70,45	34,63	1,15
2,04	0,04	2,04	41	43,8	39,5	1,54	71,99	34,63	1,34
2,04	0,00	2,04	41	37,6	40,7	0,04	72,03	34,63	1,35
2,08	0,04	2,08	41	47,9	42,8	1,67	73,70	34,63	1,66

TDR Sul a Curva do boi - 41kN									
Ext. (km)	Δx (km)	Σ Δx (km)	carga (kN)	D _{max} (10 ⁻² mm)	D _{médio} (10 ⁻² mm)	Área (m ²)	Σ Área (m ²)	tgα	Dif. Acum.
2,08	0,00	2,08	41	46,8	47,4	0,09	73,79	34,63	1,69
2,12	0,04	2,12	41	33,6	40,2	1,57	75,36	34,63	1,91
2,16	0,04	2,16	41	32,1	32,9	1,28	76,64	34,63	1,84
2,16	0,00	2,16	41	33,1	32,6	0,07	76,71	34,63	1,83
2,20	0,04	2,20	41	33,6	33,4	1,30	78,01	34,63	1,78
2,20	0,00	2,20	41	32,9	33,3	0,07	78,07	34,63	1,78
2,24	0,04	2,24	41	30,0	31,5	1,16	79,24	34,63	1,66
2,24	0,00	2,24	41	25,9	28,0	0,06	79,29	34,63	1,65
2,28	0,04	2,28	41	21,0	23,5	0,89	80,18	34,63	1,22
2,28	0,00	2,28	41	23,0	22,0	0,02	80,21	34,63	1,21
2,32	0,04	2,32	42	40,2	31,6	1,23	81,44	34,63	1,09
2,33	0,01	2,33	41	26,8	33,5	0,17	81,61	34,63	1,09
2,36	0,04	2,36	41	24,1	25,5	0,92	82,52	34,63	0,76
2,36	0,00	2,36	41	31,1	27,6	0,00	82,52	34,63	0,76
2,40	0,04	2,40	41	26,0	28,6	1,11	83,64	34,63	0,52
2,40	0,00	2,40	41	27,7	26,9	0,03	83,66	34,63	0,51
2,44	0,04	2,44	41	26,0	26,9	1,13	84,79	34,63	0,19
2,44	0,00	2,44	41	29,2	27,6	0,03	84,82	34,63	0,18
2,48	0,04	2,48	41	32,2	30,7	1,20	86,02	34,63	0,03
2,48	0,00	2,48	41	29,7	31,0	0,03	86,05	34,63	0,02
2,52	0,04	2,52	40	23,0	26,4	1,00	87,05	34,63	-0,29
2,53	0,00	2,53	41	28,1	25,6	0,08	87,12	34,63	-0,32
2,56	0,03	2,56	41	21,8	25,0	0,82	87,95	34,63	-0,64
2,57	0,01	2,57	41	21,8	21,8	0,17	88,12	34,63	-0,74
2,60	0,03	2,60	41	22,9	22,4	0,76	88,88	34,63	-1,16
2,60	0,00	2,60	41	21,1	22,0	0,07	88,95	34,63	-1,20
2,64	0,04	2,64	41	20,3	20,7	0,79	89,73	34,63	-1,73
2,65	0,00	2,65	40	24,8	22,6	0,11	89,85	34,63	-1,79
2,68	0,04	2,68	41	24,8	24,8	0,87	90,72	34,63	-2,13
2,69	0,01	2,69	42	25,1	25,0	0,15	90,86	34,63	-2,19
2,72	0,04	2,72	41	29,7	27,4	0,99	91,85	34,63	-2,45
2,73	0,01	2,73	41	29,3	29,5	0,18	92,03	34,63	-2,48
2,76	0,03	2,76	41	25,1	27,2	0,90	92,93	34,63	-2,73
2,77	0,01	2,77	41	32,6	28,9	0,17	93,10	34,63	-2,76
2,80	0,03	2,80	41	23,3	28,0	0,84	93,94	34,63	-2,96
2,80	0,00	2,80	42	34,2	28,8	0,14	94,08	34,63	-2,99
2,84	0,04	2,84	41	30,4	32,3	1,20	95,28	34,63	-3,08
2,84	0,00	2,84	41	37,0	33,7	0,00	95,28	34,63	-3,08
2,87	0,03	2,87	41	56,6	46,8	1,59	96,87	34,63	-2,66
2,88	0,01	2,88	41	40,1	48,4	0,44	97,30	34,63	-2,54
2,92	0,04	2,92	40	51,1	45,6	1,60	98,90	34,63	-2,16
2,93	0,01	2,93	41	33,9	42,5	0,30	99,20	34,63	-2,10
2,96	0,04	2,96	42	37,0	35,5	1,24	100,44	34,63	-2,07
2,96	0,00	2,96	41	32,6	34,8	0,10	100,54	34,63	-2,07
3,00	0,04	3,00	41	34,6	33,6	1,31	101,85	34,63	-2,11
3,01	0,00	3,01	41	28,4	31,5	0,13	101,98	34,63	-2,12
3,04	0,03	3,04	41	49,0	38,7	1,28	103,25	34,63	-1,99
3,05	0,01	3,05	42	35,7	42,4	0,25	103,51	34,63	-1,94
3,08	0,04	3,08	41	31,5	33,6	1,31	104,82	34,63	-1,98
3,09	0,00	3,09	41	30,7	31,1	0,03	104,85	34,63	-1,99
3,12	0,03	3,12	43	29,2	30,0	1,02	105,87	34,63	-2,15

TDR Sul a Curva do boi - 41kN									
Ext. (km)	Δx (km)	Σ Δx (km)	carga (kN)	D _{max} (10 ⁻² mm)	D _{médio} (10 ⁻² mm)	Área (m ²)	Σ Área (m ²)	tgα	Dif. Acum.
3,14	0,02	3,14	41	31,0	30,1	0,57	106,44	34,63	-2,23
3,16	0,02	3,16	42	34,8	32,9	0,59	107,03	34,63	-2,26
3,17	0,01	3,17	41	37,5	36,2	0,51	107,54	34,63	-2,24
3,21	0,04	3,21	42	46,7	42,1	1,56	109,10	34,63	-1,97
3,21	0,00	3,21	41	38,2	42,5	0,04	109,14	34,63	-1,96
3,25	0,04	3,25	42	46,2	42,2	1,60	110,74	34,63	-1,67
3,25	0,00	3,25	41	42,3	44,3	0,09	110,83	34,63	-1,65
3,28	0,03	3,28	41	36,8	39,6	1,27	112,10	34,63	-1,49
3,29	0,01	3,29	40	32,7	34,8	0,31	112,41	34,63	-1,49
3,32	0,03	3,32	41	37,6	35,2	1,20	113,60	34,63	-1,48
3,33	0,00	3,33	42	41,2	39,4	0,16	113,76	34,63	-1,46
3,36	0,03	3,36	40	26,9	34,1	1,16	114,92	34,63	-1,48
3,37	0,00	3,37	41	35,6	31,3	0,16	115,08	34,63	-1,49
3,40	0,03	3,40	41	39,3	37,5	1,27	116,35	34,63	-1,40
3,40	0,00	3,40	41	47,2	43,3	0,13	116,48	34,63	-1,37
3,44	0,04	3,44	41	42,6	44,9	1,66	118,14	34,63	-0,99
3,44	0,00	3,44	41	48,0	45,3	0,14	118,28	34,63	-0,96
3,48	0,04	3,48	41	49,0	48,5	1,89	120,17	34,63	-0,42
3,49	0,00	3,49	41	42,5	45,8	0,14	120,31	34,63	-0,39
3,52	0,04	3,52	41	41,3	41,9	1,47	121,77	34,63	-0,13
3,52	0,00	3,52	41	50,2	45,8	0,14	121,91	34,63	-0,10
3,56	0,04	3,56	41	47,2	48,7	1,75	123,66	34,63	0,41
3,57	0,01	3,57	41	36,2	41,7	0,38	124,04	34,63	0,47
3,60	0,03	3,60	41	23,7	30,0	0,99	125,03	34,63	0,32
3,60	0,00	3,60	41	25,7	24,7	0,02	125,05	34,63	0,31
3,64	0,04	3,64	41	27,5	26,6	0,98	126,03	34,63	0,01
3,64	0,00	3,64	41	19,9	23,7	0,02	126,06	34,63	0,00
$\Sigma =$		3,64				$\Sigma =$	126,06		

Anexo III

Planilha com as Retroanálise

Segmento homogêneo 01 - Curva do Boi a TDR Sul - 30kN													
Estaca	EXT. (m)	CARGA (kN)	BACIAS DEFLECTOMÉTRICAS							MÓDULO DE RESILIÊNCIA			
			D ₀ (10 ⁻² mm)	D ₂₅ (10 ⁻² mm)	D ₃₅ (10 ⁻² mm)	D ₆₀ (10 ⁻² mm)	D ₉₀ (10 ⁻² mm)	D ₁₂₀ (10 ⁻² mm)	D ₁₅₀ (10 ⁻² mm)	Revestimento kgf/cm ²	Base kgf/cm ²	Sub-base kgf/cm ²	Sub-leito kgf/cm ²
0 + 0	0	30	17,5	13,5	10,9	6,5	4,8	4,1	3,5	68109	2688	5276	1669
0 + 2	2	30	22,3	16,1	12,7	7,3	4,7	4,3	3,5	36736	2282	4480	1589
0 + 14	14	30	21,1	15,0	11,5	6,3	4,2	3,9	3,2	37984	2419	4746	1751
1 + 0	20	30	17,6	13,6	10,9	6,6	4,4	4,1	3,4	63653	3046	4353	1674
2 + 14	54	30	16,7	12,0	9,7	6,1	4,3	4,2	3,5	54209	4579	6541	1645
3 + 0	60	30	18,0	13,7	11,1	6,6	4,4	4,2	3,5	58638	2828	5551	1631
4 + 16	96	30	18,5	13,6	10,6	5,7	3,3	3,1	2,6	43249	2284	4482	2181
6 + 17	137	30	18,2	10,9	7,8	3,6	2,9	2,7	2,3	34438	3486	4980	2518
8 + 14	174	30	14,3	9,7	7,4	3,9	3,5	2,8	2,3	55903	3930	7707	2443
8 + 17	177	30	17,8	12,0	9,2	5,0	2,9	2,6	2,1	38435	2506	4918	2589
10 + 16	216	31	15,1	10,8	8,6	5,1	3,2	3,2	2,7	50992	4177	5967	2148
10 + 18	218	30	18,0	11,4	8,1	3,9	3,3	2,8	2,4	33042	3533	5048	2438
12 + 16	256	26	14,4	10,0	7,6	3,8	3,2	2,8	2,4	50027	4625	6606	2459
13 + 0	260	33	16,0	11,7	9,3	5,3	3,3	3,3	2,8	46951	3951	5645	2085
14 + 16	296	30	18,8	13,3	10,2	5,4	3,9	3,5	3,0	42664	2746	5389	1952
15 + 0	300	30	14,6	9,9	7,6	4,0	3,8	3,0	2,5	49975	4893	6991	2298
16 + 17	337	29	17,3	12,3	9,4	5,1	3,9	3,4	3,0	42153	3726	5323	2024
17 + 2	342	30	16,4	11,3	8,8	5,0	3,9	3,5	3,1	45447	4337	6196	1971
18 + 15	375	30	16,2	11,2	8,6	4,7	3,5	3,1	2,6	44101	4102	5860	2219
18 + 17	377	30	15,5	11,1	8,7	4,9	3,8	3,5	2,8	49903	4447	6352	1972
20 + 15	415	32	18,4	12,9	9,9	5,3	3,3	3,3	2,7	37182	2331	4574	2040
20 + 15	415	30	16,2	10,6	7,9	3,9	2,5	2,5	2,2	43039	3085	6054	2712
22 + 13	453	28	16,2	11,4	8,8	4,9	3,9	3,5	3,0	54945	3544	6956	1959
22 + 18	458	30	15,4	10,6	7,9	3,8	2,9	2,7	2,3	44759	4140	5915	2543
24 + 12	492	30	18,7	12,6	9,5	4,7	2,6	2,6	2,1	36898	2244	4404	2575

Segmento homogêneo 01 - Curva do Boi a TDR Sul - 30kN													
Estaca	EXT. (m)	CARGA (kN)	BACIAS DEFLECTOMÉTRICAS							MÓDULO DE RESILIÊNCIA			
			D ₀ (10 ⁻² mm)	D ₂₅ (10 ⁻² mm)	D ₃₅ (10 ⁻² mm)	D ₆₀ (10 ⁻² mm)	D ₉₀ (10 ⁻² mm)	D ₁₂₀ (10 ⁻² mm)	D ₁₅₀ (10 ⁻² mm)	Revestimento kgf/cm ²	Base kgf/cm ²	Sub-base kgf/cm ²	Sub-leito kgf/cm ²
24 + 19	499	30	17,1	11,6	8,5	4,0	2,2	2,2	1,9	39470	2337	4587	3031
26 + 12	532	30	15,7	10,8	8,2	4,3	2,7	2,7	2,3	49066	3297	6470	2525
26 + 18	538	30	18,7	13,0	10,0	5,1	2,9	2,8	2,4	38889	2310	4535	2405
28 + 12	572	30	19,4	12,4	8,9	3,9	2,8	2,2	2,0	31806	2094	4109	3013
28 + 19	579	30	15,3	10,7	8,4	4,9	3,1	2,9	2,3	52574	3471	6812	2356
30 + 15	615	30	22,7	15,8	12,0	6,7	4,0	3,5	2,8	31865	1849	3629	1919
30 + 19	619	31	19,9	14,0	10,5	5,2	2,7	2,6	2,2	36779	1791	3516	2544
32 + 14	654	30	13,5	9,5	7,6	4,5	3,0	2,8	2,3	62882	4081	8010	2446
33 + 0	660	34	15,4	10,6	8,1	4,2	2,4	2,3	2,0	47191	2795	5484	2924
34 + 13	693	30	14,4	10,1	8,0	4,6	3,1	3,0	2,4	59550	3861	7578	2283
34 + 19	699	30	18,3	12,9	9,7	4,6	2,4	2,3	2,1	39700	1880	3692	2863
36 + 12	732	30	14,8	10,5	8,2	4,8	3,2	3,0	2,5	58050	3636	7136	2282
36 + 19	739	30	19,6	13,2	9,9	5,1	2,9	2,6	2,4	35209	2029	3981	2560
38 + 12	772	30	15,3	10,7	8,3	4,5	2,9	2,9	2,4	44715	2810	5515	2321
39 + 1	781	30	14,8	10,5	8,2	4,7	3,2	3,1	2,6	58050	3692	7247	2209

Segmento homogêneo 02 - Curva do Boi a TDR Sul - 30kN													
Estaca	EXT. (m)	CARGA (kN)	BACIAS DEFLECTOMÉTRICAS							MÓDULO DE RESILIÊNCIA			
			D ₀ (10 ⁻² mm)	D ₂₅ (10 ⁻² mm)	D ₃₅ (10 ⁻² mm)	D ₆₀ (10 ⁻² mm)	D ₉₀ (10 ⁻² mm)	D ₁₂₀ (10 ⁻² mm)	D ₁₅₀ (10 ⁻² mm)	Revestimento kgf/cm ²	Base kgf/cm ²	Sub-base kgf/cm ²	Sub-leito kgf/cm ²
40 + 13	813	31	12,7	8,8	6,8	3,7	2,4	2,4	2,1	54772	4758	6796	2853
40 + 18	818	30	12,5	8,8	6,9	3,9	3,4	2,9	2,4	64714	5861	8378	2381
42 + 15	855	26	9,5	5,9	4,4	3,1	2,8	2,4	2,1	70000	7000	10000	2879
42 + 16	856	30	14,8	10,7	8,5	5,0	3,3	3,2	2,5	65106	3449	7469	2138
44 + 10	890	30	15,6	11,1	8,7	5,0	2,9	2,7	2,2	52562	2818	6101	2511
44 + 16	896	30	10,5	6,9	5,2	2,6	2,2	2,0	1,7	62266	6509	9297	3435
46 + 9	929	33	14,9	9,9	7,4	3,6	2,8	2,2	1,9	47039	3071	6026	3063
46 + 18	938	30	13,1	8,7	6,7	3,5	2,8	2,4	2,0	55652	4800	8088	2859
48 + 13	973	30	10,0	6,0	4,4	2,5	2,1	2,0	1,8	66964	7000	10000	3443
48 + 19	979	31	17,6	13,6	11,2	6,9	4,2	3,5	2,7	67691	2137	4196	1937
50 + 17	1017	30	13,2	8,3	5,8	2,7	2,6	2,5	2,2	52040	5850	8357	2759
51 + 3	1023	27	10,8	7,4	5,8	3,6	3,5	3,3	2,9	70000	7000	10000	2096
52 + 16	1056	30	13,6	10,2	8,4	5,6	4,0	3,7	3,1	70000	4970	9756	1859
53 + 18	1078	30	10,0	7,0	5,5	3,3	2,9	2,7	2,3	70000	7000	10000	2562
55 + 0	1100	30	11,1	7,6	6,0	3,6	3,1	2,9	2,5	70000	7000	10000	2386
55 + 0	1100	30	10,0	7,0	5,6	3,5	3,3	3,0	2,5	70000	7000	10000	2307
56 + 11	1131	30	9,3	5,9	4,5	2,6	2,5	2,3	2,1	70000	7000	10000	3002
56 + 13	1133	30	10,6	7,1	5,4	3,0	2,8	2,4	2,1	70000	7000	10000	2879
58 + 12	1172	30	10,8	7,1	5,4	3,0	2,9	2,7	2,2	70000	7000	10000	2562
58 + 16	1176	30	9,7	6,3	4,7	2,5	2,2	2,1	1,8	70000	7000	10000	3282
60 + 11	1211	30	12,0	7,5	5,5	2,8	2,6	2,4	2,0	44371	7000	10000	2888
60 + 19	1219	29	9,4	6,1	4,6	2,4	2,2	2,0	1,7	70000	7000	10000	3441
62 + 15	1255	30	10,4	6,7	5,0	2,5	2,3	2,2	1,9	67726	7000	10000	3136
62 + 17	1257	30	9,5	6,1	4,6	2,6	2,5	2,3	1,9	70000	7000	10000	3002
64 + 17	1297	26	9,3	6,0	4,5	3,3	2,5	2,3	2,1	70000	7000	10000	3002

Segmento homogêneo 02 - Curva do Boi a TDR Sul - 30kN													
Estaca	EXT. (m)	CARGA (kN)	BACIAS DEFLECTOMÉTRICAS							MÓDULO DE RESILIÊNCIA			
			D ₀ (10 ⁻² mm)	D ₂₅ (10 ⁻² mm)	D ₃₅ (10 ⁻² mm)	D ₆₀ (10 ⁻² mm)	D ₉₀ (10 ⁻² mm)	D ₁₂₀ (10 ⁻² mm)	D ₁₅₀ (10 ⁻² mm)	Revestimento kgf/cm ²	Base kgf/cm ²	Sub-base kgf/cm ²	Sub-leito kgf/cm ²
64 + 19	1299	30	12,2	7,8	5,6	2,6	2,5	2,2	1,9	48066	5680	8110	3122
66 + 16	1336	30	10,8	6,9	5,4	3,0	2,5	2,3	1,9	42131	9778	9920	3035
66 + 18	1338	30	9,9	6,2	4,8	2,8	2,6	2,4	2,0	70000	7000	10000	2879
68 + 15	1375	30	10,6	7,3	5,9	3,6	2,9	2,7	2,2	63386	10000	10000	2583
68 + 18	1378	31	10,5	6,9	5,4	3,1	2,8	2,5	2,1	70000	7000	10000	2766
70 + 17	1417	28	10,5	7,1	5,6	3,3	3,1	3,0	2,6	70000	7000	10000	2307
70 + 17	1417	33	11,4	7,8	6,2	3,7	2,5	2,4	2,0	64833	6261	8945	2874
72 + 17	1457	26	10,1	6,6	5,2	2,8	2,5	2,3	2,1	70000	7000	10000	3002
73 + 0	1460	30	10,7	6,8	5,1	2,7	2,5	2,2	2,0	61361	7000	10000	3138
74 + 16	1496	30	13,2	8,6	6,8	3,8	2,4	2,3	1,8	53027	4149	8142	2964
75 + 0	1500	30	14,6	10,3	8,3	4,9	3,0	2,6	2,0	60343	3038	5962	2603
76 + 16	1536	30	9,3	6,2	4,9	2,6	2,3	2,0	1,7	70000	7000	10000	3441
77 + 0	1540	32	13,4	8,9	7,0	3,8	2,1	2,1	1,7	53858	3601	7067	3223
78 + 16	1576	30	10,5	7,1	5,7	3,5	2,9	2,8	2,4	70000	7000	10000	2471
79 + 0	1580	35	12,5	8,4	6,5	3,5	2,0	2,0	1,7	59923	3622	7109	3371
80 + 14	1614	32	11,6	7,8	6,3	4,0	2,9	2,9	2,3	68623	7000	10000	2387
80 + 14	1614	30	9,8	6,9	5,7	3,6	2,9	2,8	2,4	70000	7000	10000	2471
82 + 13	1653	30	11,9	8,1	6,8	4,6	3,4	3,4	2,8	70000	7000	10000	2034
82 + 19	1659	30	10,9	7,6	6,1	3,9	3,5	3,1	2,7	70000	7000	10000	2232
84 + 11	1691	30	11,0	7,3	6,0	4,0	3,1	3,1	2,6	70000	7000	10000	2232
85 + 15	1715	30	11,4	7,5	6,1	3,8	3,0	2,8	2,4	68945	7000	10000	2471
86 + 9	1729	30	14,1	9,8	7,9	4,9	3,5	3,3	2,8	58116	4829	9477	2087
87 + 18	1758	30	15,0	9,5	7,4	4,1	2,6	2,3	1,8	44517	3367	6612	2941
88 + 12	1772	30	10,0	6,5	5,1	3,0	2,4	2,4	2,0	70000	7000	10000	2879
90 + 0	1800	31	16,8	11,7	9,3	5,3	3,5	3,1	2,5	44750	3309	4727	2198
90 + 14	1814	30	13,9	9,2	7,2	4,2	2,7	2,5	2,1	54092	3985	7820	2733
92 + 7	1847	32	10,7	7,4	5,9	3,4	2,2	2,1	1,8	70000	5000	9994	3254
92 + 15	1855	30	13,6	9,7	8,2	5,2	3,3	2,9	2,2	70000	3913	7680	2360

Segmento homogêneo 03 - Curva do Boi a TDR Sul - 30kN													
Estaca	EXT.	CARGA	BACIAS DEFLECTOMÉTRICAS							MÓDULO DE RESILIÊNCIA			
			D ₀	D ₂₅	D ₃₅	D ₆₀	D ₉₀	D ₁₂₀	D ₁₅₀	Revestimento	Base	Sub-base	Sub-leito
(m)	(KN)		(10 ⁻² mm)	(10 ⁻² mm)	(10 ⁻² mm)	(10 ⁻² mm)	(10 ⁻² mm)	(10 ⁻² mm)	(10 ⁻² mm)	kgf/cm ²	kgf/cm ²	kgf/cm ²	kgf/cm ²
94 + 17	1897	30	14,5	10,5	8,3	4,6	2,8	2,6	2,0	56058	3172	6224	2613
96 + 13	1933	30	20,5	14,6	11,6	6,2	3,7	3,2	2,7	35750	1986	3898	2099
97 + 0	1940	30	21,0	15,1	12,1	7,0	4,5	3,8	3,0	43687	2044	4013	1781
98 + 16	1976	31	24,9	17,2	13,4	7,0	4,1	3,6	3,1	28348	1651	3241	1862
99 + 0	1980	30	20,6	15,4	12,7	7,9	4,8	4,0	3,2	48901	2028	3979	1695
100 + 14	2014	30	21,3	14,7	11,4	5,9	3,7	3,5	3,0	34745	2315	4542	1942
100 + 17	2017	30	22,3	15,7	12,4	7,1	4,8	4,0	3,2	40654	1995	3915	1693
102 + 15	2055	30	24,6	17,4	13,7	7,6	4,5	3,8	3,2	31564	1606	3153	1762
103 + 1	2061	33	18,9	13,7	11,1	7,2	4,7	4,3	3,3	55092	2896	5684	1594
104 + 12	2092	30	24,3	16,1	11,6	5,4	3,2	3,0	2,6	26976	1656	3251	2218
105 + 16	2116	26	9,8	6,2	4,6	2,3	2,2	2,1	2,0	70000	5000	10000	3282

Segmento homogêneo 04 - Curva do Boi a TDR Sul - 30kN													
Estaca	EXT. (m)	CARGA (kN)	BACIAS DEFLECTOMÉTRICAS							MÓDULO DE RESILIÊNCIA			
			D ₀ (10 ⁻² mm)	D ₂₅ (10 ⁻² mm)	D ₃₅ (10 ⁻² mm)	D ₆₀ (10 ⁻² mm)	D ₉₀ (10 ⁻² mm)	D ₁₂₀ (10 ⁻² mm)	D ₁₅₀ (10 ⁻² mm)	Revestimento kgf/cm ²	Base kgf/cm ²	Sub-base kgf/cm ²	Sub-leito kgf/cm ²
107 + 18	2158	30	12,3	8,5	6,7	3,8	2,7	2,7	2,2	67700	5000	10000	2545
108 + 13	2173	30	13,0	8,9	6,9	4,0	3,0	2,8	2,3	60076	4866	9553	2456
110 + 10	2210	30	13,6	9,7	7,8	4,6	3,1	3,0	2,4	56249	5034	7191	2298
110 + 12	2212	30	12,6	9,3	7,6	4,7	3,3	3,0	2,4	70000	4633	9096	2290
112 + 15	2255	30	13,4	9,3	7,2	4,2	3,5	2,9	2,5	55665	5359	7501	2380
112 + 16	2256	30	13,6	9,2	7,2	4,0	2,8	2,8	2,3	53268	5353	7493	2464
114 + 11	2291	30	13,7	9,5	7,3	4,0	2,7	2,7	2,3	52413	4975	6965	2550
114 + 18	2298	30	12,7	8,1	6,1	3,2	2,9	2,5	2,1	52227	5000	10000	2750
116 + 8	2328	30	11,1	7,9	6,1	3,2	2,7	2,4	2,1	70000	5791	8275	2866
116 + 19	2339	30	12,1	7,9	6,2	3,5	2,5	2,3	2,0	51572	5781	8255	2991
118 + 12	2372	30	10,9	7,6	5,9	3,1	2,8	2,3	2,0	70000	6037	8626	2991
118 + 17	2377	30	9,8	6,6	5,1	2,7	2,2	2,1	1,8	70000	7000	10000	3282
120 + 15	2415	30	13,6	9,4	7,1	3,8	3,5	3,0	2,6	61048	4625	9078	2291
120 + 17	2417	30	12,0	8,3	6,6	3,9	3,2	2,9	2,5	70000	5000	10000	2371
122 + 11	2451	30	12,5	8,6	6,7	3,9	3,5	3,2	2,7	61709	7000	10000	2165
123 + 1	2461	30	15,3	10,9	8,7	5,1	3,5	3,4	2,8	60464	3755	7366	2018
124 + 11	2491	30	12,3	8,8	7,0	4,2	3,2	3,2	2,7	70000	5000	10000	2150
125 + 1	2501	28	14,2	9,6	7,4	4,0	3,8	2,9	2,4	52722	4304	8452	2368
126 + 11	2531	30	12,4	8,8	6,9	3,9	3,5	3,0	2,6	70000	5000	10000	2292
126 + 19	2539	30	10,4	7,0	5,3	2,9	2,7	2,5	2,2	70000	5000	10000	2745
128 + 11	2571	30	12,0	8,1	6,4	3,8	2,8	2,8	2,3	70000	5000	10000	2454
128 + 18	2578	30	13,5	9,4	7,3	4,1	2,9	2,8	2,3	65677	4120	8083	2447
130 + 15	2615	30	16,3	10,9	8,2	4,1	2,9	2,6	2,3	46742	2793	5484	2595

Segmento homogêneo 05 - Curva do Boi a TDR Sul - 30kN													
Estaca	EXT. (m)	CARGA (kN)	BACIAS DEFLECTOMÉTRICAS							MÓDULO DE RESILIÊNCIA			
			D ₀ (10 ⁻² mm)	D ₂₅ (10 ⁻² mm)	D ₃₅ (10 ⁻² mm)	D ₆₀ (10 ⁻² mm)	D ₉₀ (10 ⁻² mm)	D ₁₂₀ (10 ⁻² mm)	D ₁₅₀ (10 ⁻² mm)	Revestimento kgf/cm ²	Base kgf/cm ²	Sub-base kgf/cm ²	Sub-leito kgf/cm ²
132 + 15	2655	29	16,9	11,2	8,6	4,6	2,9	2,8	2,4	40482	2685	5269	2404
132 + 16	2656	30	14,1	9,9	7,6	3,8	2,4	2,4	2,1	56595	3084	6054	2812
134 + 13	2693	30	17,4	12,6	9,9	5,1	3,0	2,7	2,4	40823	2250	4407	2481
134 + 16	2696	30	17,9	12,3	9,2	4,5	2,6	2,5	2,2	38903	2277	4470	2677
136 + 8	2728	30	19,5	13,1	10,2	5,9	3,9	3,5	3,0	41417	2617	5137	1944
136 + 15	2735	30	16,6	11,7	9,0	5,0	3,3	3,2	2,7	41214	2570	5044	2104
138 + 10	2770	30	21,0	14,1	10,8	6,0	3,8	3,4	2,8	36650	2177	4274	1985
138 + 15	2775	30	16,4	11,7	9,1	5,0	3,2	3,0	2,6	41716	2570	5044	2244
140 + 11	2811	30	10,1	7,1	5,8	3,4	2,2	2,1	1,8	70000	5000	10000	3254
140 + 16	2816	30	13,3	9,8	8,0	4,7	3,1	2,8	2,3	83670	3450	6770	2436
142 + 14	2854	30	16,1	11,9	9,5	5,5	3,4	3,0	2,4	42493	2527	4959	2244
142 + 15	2855	30	17,3	13,3	10,9	6,7	4,2	3,7	2,8	66377	2456	4820	1841
144 + 13	2893	30	19,5	14,0	11,2	6,5	3,9	3,5	2,8	44944	2212	4341	1932
144 + 18	2898	30	14,7	10,7	8,7	5,4	3,8	3,5	2,8	46540	2810	5515	1923
146 + 12	2932	31	17,2	12,1	9,4	5,4	3,9	3,5	2,9	49410	3438	6747	1962
146 + 19	2939	31	13,9	10,0	7,9	4,7	3,3	3,3	2,7	69248	4731	7517	2087
148 + 14	2974	30	12,8	9,2	7,2	4,4	3,7	3,7	3,2	70000	7000	10000	1867
148 + 17	2977	29	12,2	9,0	7,5	5,0	3,9	3,9	3,3	70000	7000	10000	1770
150 + 18	3018	30	15,5	11,4	9,2	5,7	4,0	3,9	3,2	54873	5229	7321	1775
150 + 19	3019	30	13,1	9,2	7,2	4,2	3,2	3,2	2,9	59835	6180	8653	2163
152 + 16	3056	30	13,3	9,4	7,7	4,9	4,5	4,0	3,6	68739	7000	10000	1726
153 + 1	3061	29	20,5	14,2	10,7	5,4	3,9	3,8	3,4	42237	2395	4574	1790
154 + 15	3095	30	12,5	8,9	7,4	4,8	4,5	4,0	3,5	70000	7000	10000	1725
155 + 11	3111	30	17,9	11,9	8,8	4,2	3,5	2,7	2,5	37468	2639	4954	2499
156 + 17	3137	30	13,6	9,4	7,3	3,9	2,4	2,4	2,1	57298	3830	7516	2842

Segmento homogêneo 05 - Curva do Boi a TDR Sul - 30kN													
Estaca	EXT. (m)	CARGA (kN)	BACIAS DEFLECTOMÉTRICAS							MÓDULO DE RESILIÊNCIA			
			D ₀ (10 ⁻² mm)	D ₂₅ (10 ⁻² mm)	D ₃₅ (10 ⁻² mm)	D ₆₀ (10 ⁻² mm)	D ₉₀ (10 ⁻² mm)	D ₁₂₀ (10 ⁻² mm)	D ₁₅₀ (10 ⁻² mm)	Revestimento kgf/cm ²	Base kgf/cm ²	Sub-base kgf/cm ²	Sub-leito kgf/cm ²
158 + 9	3169	30	15,5	10,4	8,0	4,1	2,4	2,3	2,0	45276	2973	5835	2934
158 + 9	3169	30	16,1	11,1	8,2	4,2	2,7	2,6	2,1	39685	3510	4878	2619
160 + 10	3210	30	15,1	10,8	8,7	5,2	3,9	3,6	3,1	62710	4116	8233	1909
160 + 12	3212	30	16,8	12,5	10,0	5,8	4,0	3,5	2,9	50665	2998	5996	1954
162 + 9	3249	30	17,7	12,7	9,9	5,5	3,7	3,3	2,8	45462	2841	5684	2069
162 + 16	3256	30	20,6	14,7	11,4	6,1	3,7	3,3	2,8	37029	2091	4182	2047
164 + 11	3291	30	20,4	16,7	14,9	10,1	6,4	5,0	3,9	64229	2094	4190	1369
166 + 12	3332	30	20,2	14,1	10,7	5,8	3,8	3,4	2,9	37815	2321	4641	1996
166 + 14	3334	30	19,5	13,5	10,2	5,4	3,5	3,4	2,9	39710	2636	5272	2007
168 + 13	3373	30	16,8	11,6	9,1	5,3	3,4	3,3	2,8	42819	4007	5834	2086
168 + 16	3376	30	17,7	12,0	9,0	4,9	3,3	3,1	2,5	38652	2506	4918	2171
170 + 12	3412	30	17,7	12,8	10,2	6,1	4,3	3,9	3,2	49956	3332	6541	1761
170 + 14	3414	30	13,6	9,8	8,0	5,0	3,6	3,3	2,7	70000	4648	9125	2083
172 + 14	3454	30	17,5	12,8	10,1	5,8	4,2	3,8	3,1	59780	2859	5610	1800
173 + 0	3460	31	16,9	12,0	9,5	5,5	3,7	3,3	2,8	55341	2844	5583	2064
174 + 15	3495	30	15,3	10,8	8,4	4,6	3,3	3,0	2,9	50145	3881	6417	2287
175 + 0	3500	31	17,1	12,5	9,7	5,4	3,4	3,4	2,9	49491	3128	6139	2016
176 + 16	3536	30	13,2	7,3	5,4	3,1	2,7	2,5	2,2	37286	7000	10000	2778
177 + 0	3540	30	9,4	6,1	4,9	3,2	2,7	2,6	2,1	70000	7000	10000	2660
178 + 16	3576	30	22,4	17,3	14,3	9,1	6,2	5,1	4,1	50635	2036	3994	1340
179 + 0	3580	30	20,4	16,3	13,2	7,8	4,5	3,3	2,5	57254	1371	2692	2012
181 + 0	3620	30	17,1	12,5	9,9	5,6	3,2	2,6	2,1	55847	1978	3883	2556
181 + 1	3621	30	16,6	11,5	9,3	5,4	3,3	2,6	2,0	53776	2382	4672	2577
182 + 0	3640	30	19,6	13,4	10,2	5,2	2,7	2,6	1,9	34869	2045	4013	2566
182 + 0	3640	30	18,4	14,7	12,6	8,3	5,2	3,7	2,8	70000	1859	3651	1831

Segmento homogêneo 01 - Curva do Boi a TDR Sul - 41kN													
Estaca	EXT. (m)	CARGA (kN)	BACIAS DEFLECTOMÉTRICAS							MÓDULO DE RESILIÊNCIA			
			D ₀ (10 ⁻² mm)	D ₂₅ (10 ⁻² mm)	D ₃₅ (10 ⁻² mm)	D ₆₀ (10 ⁻² mm)	D ₉₀ (10 ⁻² mm)	D ₁₂₀ (10 ⁻² mm)	D ₁₅₀ (10 ⁻² mm)	Revestimento kgf/cm ²	Base kgf/cm ²	Sub-base kgf/cm ²	Sub-leito kgf/cm ²
0 + 0,00	0	42	30,4	22,7	18,3	10,9	6,5	5,1	4,0	36712	1668	3274	1755
1 + 16,00	36	41	30,9	21,7	17,3	10,3	5,9	4,1	3,1	38856	1402	2752	2137
4 + 0,00	80	40	32,7	22,1	17,1	9,8	5,9	4,7	3,7	28489	1731	3398	1903
4 + 17,00	97	42	24,3	17,7	14,0	7,5	3,9	3,0	2,4	50917	1552	3048	2884
5 + 15,00	115	42	23,6	18,2	14,7	8,2	4,6	3,8	2,9	57029	1801	3535	2335
6 + 18,00	138	41	20,5	14,1	10,6	5,1	2,9	2,8	2,4	44990	2618	5139	3181
7 + 19,00	159	41	24,4	18,1	14,9	9,1	5,1	3,7	2,7	59357	1688	3311	2390
8 + 15,00	175	41	17,9	11,6	9,3	5,5	3,5	2,9	2,5	53572	3747	7356	3116
9 + 19,00	199	41	22,2	16,3	13,0	7,5	4,4	3,7	3,1	55992	2247	4409	2417
10 + 19,00	219	41	19,1	13,4	10,8	6,6	3,8	3,4	2,7	62312	3119	6123	2656
12 + 16,00	256	42	20,4	14,3	11,4	6,6	4,2	3,7	3,1	44709	2802	5500	2426
13 + 17,00	277	41	20,7	15,0	11,9	7,0	4,4	3,8	3,2	44061	2671	5243	2362
15 + 0,00	300	41	20,7	12,5	9,6	5,3	3,4	3,1	2,6	35795	3648	7158	2924
15 + 18,00	318	40	18,7	12,4	9,6	5,5	3,6	3,4	2,7	53547	3887	7631	2676
17 + 2,00	342	41	20,7	14,4	11,3	6,7	4,3	3,8	3,1	44061	2783	5461	2362
17 + 19,00	359	42	24,9	17,1	13,3	7,7	5,0	4,5	3,8	45611	2583	5071	2013
19 + 2,00	382	41	19,2	13,3	10,7	6,4	4,0	3,4	2,8	59019	3208	6297	2657
19 + 15,00	395	41	23,5	15,4	12,1	6,8	4,1	3,5	3,1	38811	2602	5107	2564
20 + 19,00	419	41	23,5	15,8	12,1	6,3	3,3	2,5	2,1	41740	1784	3502	3444
21 + 15,00	435	40	22,0	14,2	10,6	5,3	2,7	2,4	1,9	39812	2177	4270	3632
23 + 0,00	460	41	18,6	12,5	9,6	5,1	3,1	2,8	2,3	50750	3144	6171	3200
23 + 12,00	472	41	18,0	12,5	9,9	5,7	3,5	3,1	2,5	62824	3304	6484	2909
24 + 15,00	495	41	21,5	14,3	10,8	5,3	2,8	2,3	1,9	44765	2006	3938	3754
25 + 14,00	514	42	22,5	15,7	12,1	6,5	3,3	2,6	2,1	49931	1774	3482	3320
26 + 19,00	539	41	22,9	16,2	12,7	6,8	3,7	3,0	2,4	50914	1871	3671	2917

Segmento homogêneo 01 - Curva do Boi a TDR Sul - 41kN													
Estaca	EXT. (m)	CARGA (kN)	BACIAS DEFLECTOMÉTRICAS							MÓDULO DE RESILIÊNCIA			
			D ₀ (10 ⁻² mm)	D ₂₅ (10 ⁻² mm)	D ₃₅ (10 ⁻² mm)	D ₆₀ (10 ⁻² mm)	D ₉₀ (10 ⁻² mm)	D ₁₂₀ (10 ⁻² mm)	D ₁₅₀ (10 ⁻² mm)	Revestimento kgf/cm ²	Base kgf/cm ²	Sub-base kgf/cm ²	Sub-leito kgf/cm ²
27 + 18,00	558	41	27,0	18,9	14,7	8,0	4,1	3,1	2,4	41873	1459	2864	2782
28 + 18,00	578	41	21,9	15,5	12,5	7,4	4,3	3,3	2,6	46657	2376	4663	2702
29 + 19,00	599	42	19,5	13,7	10,5	5,6	2,9	2,4	1,9	55411	2174	4267	3629
31 + 1,00	621	41	24,0	16,7	12,9	6,8	3,4	2,5	2,0	46358	1547	3036	3405
32 + 0,00	640	41	20,8	15,2	12,3	7,2	4,0	3,0	2,4	57303	2120	4161	2941
32 + 19,00	659	41	18,1	13,0	10,3	5,8	3,2	2,6	2,0	66137	2496	4898	3397
33 + 15,00	675	41	21,2	15,1	12,0	6,9	4,0	3,0	2,3	47382	2317	4546	2956
34 + 17,00	697	41	18,1	12,6	10,2	6,3	4,1	3,3	2,6	60043	3441	6756	2741
35 + 11,00	711	40	27,3	17,1	13,0	6,9	4,2	3,5	2,7	31659	2151	4221	2543
37 + 1,00	741	41	19,1	13,7	11,1	6,7	4,1	3,4	2,4	65536	2933	5754	2650
37 + 8,00	748	40	22,5	14,5	11,3	6,4	3,9	3,3	2,6	40932	2743	5383	2719
38 + 19,00	779	41	19,8	14,1	11,3	6,9	4,1	3,4	2,5	61755	2778	5451	2644
39 + 13,00	793	42	20,8	14,9	12,0	7,0	4,1	3,1	2,6	52618	2353	4619	2866

Segmento homogêneo 02 - Curva do Boi a TDR Sul - 41kN													
Estaca	EXT. (m)	CARGA (kN)	BACIAS DEFLECTOMÉTRICAS							MÓDULO DE RESILIÊNCIA			
			D ₀ (10 ⁻² mm)	D ₂₅ (10 ⁻² mm)	D ₃₅ (10 ⁻² mm)	D ₆₀ (10 ⁻² mm)	D ₉₀ (10 ⁻² mm)	D ₁₂₀ (10 ⁻² mm)	D ₁₅₀ (10 ⁻² mm)	Revestimento kgf/cm ²	Base kgf/cm ²	Sub-base kgf/cm ²	Sub-leito kgf/cm ²
42 + 17	857	41	12,2	7,9	6,0	3,3	2,1	2,1	1,7	70000	5000	10000	4298
43 + 15	875	41	10,5	6,9	5,4	3,0	1,9	1,8	1,6	70000	5000	10000	4983
51 + 8	1028	41	14,4	10,4	8,5	5,4	4,1	3,6	2,9	70000	5000	10000	2544
53 + 1	1061	41	12,7	8,6	6,8	4,2	3,1	3,0	2,6	70000	5000	10000	3043
53 + 17	1077	41	14,7	10,1	8,1	5,0	3,6	3,1	2,6	70000	5000	10000	2947
55 + 1	1101	41	11,6	8,2	6,6	4,0	2,8	2,6	2,2	70000	5000	10000	3498
55 + 19	1119	41	12,9	7,8	6,0	3,5	2,5	2,4	2,1	70000	5000	10000	3779
57 + 0	1140	41	12,1	7,7	6,0	3,7	2,8	2,5	2,0	70000	5000	10000	3634
57 + 19	1159	41	13,0	8,4	6,5	3,9	2,8	2,6	2,1	70000	5000	10000	3498
58 + 14	1174	41	12,5	7,8	6,1	3,5	2,3	2,1	1,8	70000	5000	10000	4298
59 + 18	1198	41	13,5	8,6	6,5	3,5	2,4	2,4	2,0	70000	5000	10000	3780
60 + 15	1215	41	11,7	7,9	6,1	3,3	2,1	2,1	1,7	70000	5000	10000	4298
62 + 17	1257	41	11,3	7,6	6,0	3,6	2,4	2,3	1,9	70000	5000	10000	3939
63 + 14	1274	42	13,3	8,5	6,3	3,3	2,2	2,1	1,9	70000	5000	10000	4298
65 + 0	1300	41	12,8	8,1	6,3	3,5	2,1	1,9	1,6	70000	5000	10000	4731
65 + 18	1318	40	12,5	7,5	5,9	3,5	2,4	2,3	1,9	70000	5000	10000	3939
67 + 15	1355	41	12,7	8,0	6,3	3,7	2,6	2,5	2,1	70000	5000	10000	3634
69 + 0	1380	41	13,6	9,0	7,5	4,9	3,5	3,0	2,4	70000	5000	10000	3043
69 + 19	1399	41	14,4	9,6	7,6	4,8	3,3	2,9	2,4	70000	5000	10000	3146
70 + 19	1419	41	13,0	8,7	7,1	4,3	2,9	2,6	2,1	70000	5000	10000	3498
71 + 18	1438	40	13,3	7,9	6,0	3,5	2,4	2,4	2,0	70000	5000	10000	3779
76 + 9	1529	41	12,6	7,5	5,9	3,4	2,1	1,9	1,5	70000	5000	10000	4732
77 + 19	1559	41	12,8	8,1	6,5	3,9	2,7	2,6	2,1	70000	5000	10000	3498
78 + 14	1574	41	12,6	8,9	7,4	4,8	3,2	3,0	2,4	70000	5000	10000	3043
79 + 17	1597	41	14,3	9,7	8,0	5,1	3,7	3,3	2,6	70000	5000	10000	2772

Segmento homogêneo 02 - Curva do Boi a TDR Sul - 41kN													
Estaca	EXT. (m)	CARGA (kN)	BACIAS DEFLECTOMÉTRICAS							MÓDULO DE RESILIÊNCIA			
			D ₀ (10 ⁻² mm)	D ₂₅ (10 ⁻² mm)	D ₃₅ (10 ⁻² mm)	D ₆₀ (10 ⁻² mm)	D ₉₀ (10 ⁻² mm)	D ₁₂₀ (10 ⁻² mm)	D ₁₅₀ (10 ⁻² mm)	Revestimento kgf/cm ²	Base kgf/cm ²	Sub-base kgf/cm ²	Sub-leito kgf/cm ²
80 + 17	1617	41	13,7	9,3	7,7	5,1	3,6	3,2	2,6	70000	5000	10000	2857
81 + 17	1637	41	14,2	9,6	8,0	5,5	4,0	3,5	2,8	70000	5000	10000	2616
83 + 2	1662	42	14,5	9,6	7,8	5,0	3,8	3,5	2,9	70000	5000	10000	2616
84 + 1	1681	41	13,5	9,2	7,7	5,2	3,9	3,5	2,8	70000	5000	10000	2616
86 + 0	1720	40	15,0	10,6	8,7	5,7	3,8	3,5	2,8	70000	5000	10000	2616
Segmento homogêneo 03 - Curva do Boi a TDR Sul - 41kN													
Estaca	EXT. (m)	CARGA (kN)	BACIAS DEFLECTOMÉTRICAS							MÓDULO DE RESILIÊNCIA			
			D ₀ (10 ⁻² mm)	D ₂₅ (10 ⁻² mm)	D ₃₅ (10 ⁻² mm)	D ₆₀ (10 ⁻² mm)	D ₉₀ (10 ⁻² mm)	D ₁₂₀ (10 ⁻² mm)	D ₁₅₀ (10 ⁻² mm)	Revestimento kgf/cm ²	Base kgf/cm ²	Sub-base kgf/cm ²	Sub-leito kgf/cm ²
90 + 19,00	1819	41	25,3	16,9	13,2	7,5	4,3	3,2	2,4	37523	1971	3868	2753
91 + 16,00	1836	40	20,9	14,5	11,6	7,0	4,1	3,1	2,3	47761	2560	5023	2878
93 + 16,00	1876	41	18,6	13,0	10,7	6,2	3,7	2,8	2,2	54311	2868	5629	3188
95 + 0,00	1900	41	30,2	21,2	16,2	8,8	4,7	3,5	2,7	35438	1342	2632	2470
95 + 16,00	1916	41	29,5	21,1	17,1	10,2	6,0	4,5	3,4	37307	1697	3331	1979
96 + 19,00	1939	41	26,1	18,3	14,8	8,8	4,9	3,5	2,8	43897	1716	3366	2510
97 + 15,00	1955	41	27,2	19,5	15,7	9,6	5,8	4,6	3,7	37021	2056	4035	1953
98 + 18,00	1978	41	32,4	22,3	17,4	9,6	5,5	4,2	3,4	29169	1523	2989	2103
99 + 15,00	1995	41	22,9	17,2	14,4	9,4	6,0	4,6	3,4	56786	2515	4935	1970
101 + 1,00	2021	41	26,7	18,6	14,9	8,7	5,2	4,1	3,3	36079	2088	4098	2184
101 + 17,00	2037	41	27,6	20,0	15,9	9,5	5,7	4,5	3,6	36171	1955	3836	1992
103 + 1,00	2061	41	35,7	24,8	19,4	10,9	6,3	4,8	3,8	27026	1393	2733	1844
103 + 14,00	2074	41	29,2	20,8	16,6	10,2	6,4	5,0	3,9	34551	1947	3821	1798
104 + 19,00	2099	41	24,5	16,0	12,1	6,4	4,0	3,3	2,7	37266	2291	4496	2698

Segmento homogêneo 04 - Curva do Boi a TDR Sul - 41kN													
Estaca	EXT. (m)	CARGA (kN)	BACIAS DEFLECTOMÉTRICAS							MÓDULO DE RESILIÊNCIA			
			D ₀ (10 ⁻² mm)	D ₂₅ (10 ⁻² mm)	D ₃₅ (10 ⁻² mm)	D ₆₀ (10 ⁻² mm)	D ₉₀ (10 ⁻² mm)	D ₁₂₀ (10 ⁻² mm)	D ₁₅₀ (10 ⁻² mm)	Revestimento kgf/cm ²	Base kgf/cm ²	Sub-base kgf/cm ²	Sub-leito kgf/cm ²
105 + 18,00	2118	41	12,4	8,3	6,3	3,4	2,1	1,9	1,6	86940	4647	9120	4717
107 + 1,00	2141	41	14,1	9,8	7,8	4,7	3,1	2,8	2,3	85694	4934	9679	3252
107 + 16,00	2156	41	15,3	10,3	8,0	4,7	3,2	2,9	2,4	68148	4800	9417	3142
108 + 18,00	2178	41	18,9	12,5	10,0	5,9	3,9	3,2	2,6	53289	3446	6762	2823
109 + 17,00	2197	41	15,2	10,1	8,2	5,4	3,8	3,5	2,9	70000	5000	10000	2616
110 + 16,00	2216	41	14,5	10,5	8,8	5,9	4,1	3,5	2,8	70000	5000	10000	2616
111 + 15,00	2235	42	16,0	11,7	9,5	6,0	4,1	3,2	2,7	70000	3840	7538	2835
112 + 18,00	2258	41	17,7	11,8	9,3	5,4	3,5	3,1	2,6	59518	3813	7486	2923
113 + 18,00	2278	42	15,3	10,8	8,5	4,9	3,1	2,8	2,4	70000	4027	7904	3231
115 + 1,00	2301	41	18,2	12,5	9,7	5,4	3,4	3,0	2,3	58598	3234	6347	2999
116 + 0,00	2320	41	17,4	11,7	9,0	4,8	2,9	2,5	2,1	53412	3279	6435	3577
117 + 1,00	2341	40	16,3	11,1	8,6	4,7	2,8	2,5	2,0	58564	3545	6957	3586
117 + 18,00	2358	41	13,2	9,0	7,0	3,8	2,4	2,2	1,8	70000	4686	9193	4099
119 + 0,00	2380	41	15,2	10,3	8,0	4,6	3,1	2,7	2,3	70000	4331	8501	3355
120 + 0,00	2400	41	17,0	10,6	8,1	4,6	3,1	2,8	2,3	46216	4590	9005	3252
120 + 19,00	2419	41	18,1	12,4	9,5	5,3	3,7	3,4	2,9	63511	3744	7348	2672
121 + 18,00	2438	41	17,5	11,8	9,4	5,7	3,9	3,7	2,9	57583	4898	9612	2478
123 + 0,00	2460	41	17,1	11,8	9,6	6,2	4,5	4,1	3,4	70000	5000	10000	2237
124 + 0,00	2480	40	19,9	13,0	10,3	6,2	4,5	3,7	3,0	46128	3978	7808	2468
124 + 17,00	2497	41	16,1	10,6	8,4	5,0	3,5	3,3	2,8	64587	5000	10000	2773
125 + 15,00	2515	40	15,6	9,7	7,4	4,2	3,2	2,8	2,5	58742	5000	10000	3257
126 + 13,00	2533	41	15,1	10,3	8,1	4,6	3,2	3,2	2,7	70000	5000	10000	2857

Segmento homogêneo 05 - Curva do Boi a TDR Sul - 41kN													
Estaca	EXT. (m)	CARGA (kN)	BACIAS DEFLECTOMÉTRICAS							MÓDULO DE RESILIÊNCIA			
			D ₀ (10 ⁻² mm)	D ₂₅ (10 ⁻² mm)	D ₃₅ (10 ⁻² mm)	D ₆₀ (10 ⁻² mm)	D ₉₀ (10 ⁻² mm)	D ₁₂₀ (10 ⁻² mm)	D ₁₅₀ (10 ⁻² mm)	Revestimento kgf/cm ²	Base kgf/cm ²	Sub-base kgf/cm ²	Sub-leito kgf/cm ²
127 + 16,00	2556	41	23,9	16,2	12,7	7,0	4,1	3,3	2,7	39850	2224	4363	2693
128 + 10,00	2570	42	16,6	11,3	8,9	5,3	3,6	3,1	2,5	67586	4141	8125	2931
130 + 1,00	2601	41	26,0	17,4	13,5	7,3	3,9	3,2	2,6	41485	1779	3491	2733
131 + 0,00	2620	41	18,4	13,0	10,2	5,5	3,0	2,6	2,2	54190	2709	5318	3414
131 + 18,00	2638	41	24,0	15,3	11,4	5,7	3,0	2,8	2,4	35499	2214	4345	3149
133 + 0,00	2660	41	19,5	13,8	10,8	5,8	3,2	2,7	2,3	54033	2424	4757	3271
133 + 14,00	2674	42	29,9	20,4	15,6	8,3	4,5	3,5	2,7	32154	1501	2946	2491
134 + 18,00	2698	41	21,8	15,2	11,6	6,3	3,5	2,8	2,4	49186	2051	4027	3129
135 + 15,00	2715	41	25,1	15,9	12,2	6,7	4,1	3,4	2,9	35455	2382	4675	2626
136 + 13,00	2733	41	20,0	13,7	10,9	6,4	4,2	3,6	2,9	57271	3215	6312	2516
137 + 19,00	2759	42	27,3	19,2	14,8	8,4	5,1	4,2	3,2	35440	2013	3951	2132
138 + 12,00	2772	41	23,7	16,1	12,5	6,9	4,0	3,4	2,8	40823	2296	4507	2621
139 + 16,00	2796	41	24,0	16,0	12,4	6,7	3,8	3,0	2,5	37802	2131	4182	2943
140 + 15,00	2815	41	16,0	11,8	9,7	6,0	4,0	3,0	2,4	70000	3544	6955	3009
141 + 18,00	2838	40	26,9	19,1	15,7	9,5	5,5	4,3	3,1	47523	1859	3649	2077
142 + 18,00	2858	41	20,5	15,0	12,3	7,5	4,6	3,6	2,9	54510	2668	5235	2498
143 + 17,00	2877	41	14,7	10,0	8,0	4,9	3,4	3,0	2,5	70000	5000	10000	3043
144 + 17,00	2897	42	22,9	16,9	13,9	8,7	5,6	4,4	3,3	51056	2519	4946	2054
145 + 8,00	2908	41	17,2	12,5	10,3	6,7	4,7	3,9	3,1	70000	4258	8358	2345
146 + 19,00	2939	41	21,0	14,9	12,1	7,6	5,1	4,3	3,3	59916	3239	6357	2118
147 + 14,00	2954	42	20,6	15,1	12,0	6,8	4,4	3,6	2,9	44275	2654	5208	2493
148 + 16,00	2976	41	15,9	11,7	9,7	6,2	4,5	4,2	3,6	70000	5000	10000	2183
149 + 16,00	2996	41	20,7	15,2	12,6	8,2	5,4	4,9	4,0	72166	3545	6959	1866
151 + 1,00	3021	41	17,2	12,2	9,7	5,7	3,9	3,7	3,1	76742	4177	8200	2467
151 + 17,00	3037	41	17,2	12,7	10,4	6,7	4,9	4,4	3,9	70000	5000	9949	2085

Segmento homogêneo 05 - Curva do Boi a TDR Sul - 41kN													
Estaca	EXT. (m)	CARGA (kN)	BACIAS DEFLECTOMÉTRICAS							MÓDULO DE RESILIÊNCIA			
			D ₀ (10 ⁻² mm)	D ₂₅ (10 ⁻² mm)	D ₃₅ (10 ⁻² mm)	D ₆₀ (10 ⁻² mm)	D ₉₀ (10 ⁻² mm)	D ₁₂₀ (10 ⁻² mm)	D ₁₅₀ (10 ⁻² mm)	Revestimento kgf/cm ²	Base kgf/cm ²	Sub-base kgf/cm ²	Sub-leito kgf/cm ²
152 + 19,00	3059	41	23,7	16,8	13,2	7,3	4,4	3,8	3,3	44201	2293	4502	2357
153 + 17,00	3077	41	16,7	12,3	10,2	6,8	5,0	4,5	4,0	70000	5000	10000	2038
155 + 0,00	3100	41	20,5	14,9	11,7	6,7	4,0	3,5	3,1	56958	2603	5109	2564
156 + 0,00	3120	41	12,9	8,5	6,7	3,8	2,7	2,6	2,2	70000	5000	10000	3498
156 + 19,00	3139	41	23,8	17,0	13,6	7,9	4,4	3,4	2,5	50466	1899	3727	2597
157 + 18,00	3158	41	19,7	13,2	10,3	5,4	2,9	2,4	2,0	52304	2344	4600	3643
158 + 18,00	3178	41	18,7	12,7	10,0	5,7	3,6	2,9	2,3	51200	3120	6125	3094
159 + 13,00	3193	42	20,9	14,8	11,6	6,7	3,7	3,1	2,5	54162	2340	4591	2864
160 + 16,00	3216	41	20,7	14,2	11,4	7,1	4,8	4,0	3,1	44061	2822	5538	2244
161 + 15,00	3235	40	19,2	13,3	10,7	6,5	4,4	3,6	2,9	58914	3397	6665	2519
163 + 0,00	3260	41	25,9	18,4	14,7	8,6	5,3	4,1	3,1	37866	2119	4158	2185
163 + 12,00	3272	41	21,9	15,8	12,7	7,4	4,6	3,6	2,8	45622	2491	4890	2491
165 + 0,00	3300	41	32,9	24,1	18,8	10,3	6,0	4,6	3,6	31169	1401	2750	1922
165 + 16,00	3316	41	29,0	21,2	17,1	10,3	6,2	4,7	3,6	37283	1776	3487	1904
167 + 0,00	3340	41	18,7	12,8	9,9	5,5	3,7	3,4	2,8	61061	3491	6852	2666
167 + 17,00	3357	41	30,5	21,3	16,4	8,1	4,4	3,5	2,7	34729	1334	2618	2469
169 + 0,00	3380	41	22,1	15,2	12,0	6,9	4,5	3,7	3,0	41270	2636	5174	2426
169 + 18,00	3398	41	22,1	15,7	12,6	7,5	4,9	4,0	3,1	52300	2687	5277	2259
171 + 1,00	3421	41	24,9	17,6	13,9	8,1	5,1	4,2	3,4	46685	2234	4385	2139
172 + 1,00	3441	41	20,0	14,2	11,7	7,2	4,5	3,7	3,0	55639	3027	5941	2443
172 + 19,00	3459	41	26,2	18,1	14,2	8,2	5,0	4,1	3,3	36898	2177	4273	2187
174 + 1,00	3481	41	23,9	16,2	12,4	6,9	4,4	3,9	3,3	38162	2474	4855	2301
175 + 0,00	3500	42	22,5	14,7	11,3	6,1	3,7	3,5	3,1	37545	3367	4722	2585
176 + 2,00	3522	40	15,3	10,3	8,6	5,4	3,3	2,5	2,0	63508	3973	7798	3599
177 + 0,00	3540	41	23,8	14,4	10,1	4,8	3,0	2,9	2,5	35520	2613	5127	3076

Segmento homogêneo 05 - Curva do Boi a TDR Sul - 41kN													
Estaca	EXT. (m)	CARGA (kN)	BACIAS DEFLECTOMÉTRICAS							MÓDULO DE RESILIÊNCIA			
			D ₀ (10 ⁻² mm)	D ₂₅ (10 ⁻² mm)	D ₃₅ (10 ⁻² mm)	D ₆₀ (10 ⁻² mm)	D ₉₀ (10 ⁻² mm)	D ₁₂₀ (10 ⁻² mm)	D ₁₅₀ (10 ⁻² mm)	Revestimento kgf/cm ²	Base kgf/cm ²	Sub-base kgf/cm ²	Sub-leito kgf/cm ²
178 + 1,00	3561	41	27,2	18,5	14,3	7,4	3,6	2,8	2,4	44265	1352	2652	3036
179 + 1,00	3581	41	26,7	18,9	15,3	9,3	5,5	4,0	3,0	40388	1891	3710	2224
179 + 17,00	3597	41	24,1	18,8	15,4	9,4	5,5	4,1	3,1	57810	1805	3545	2175
180 + 14,00	3614	40	21,0	15,7	12,4	7,1	4,2	3,1	2,3	55142	2097	4116	2851
182 + 0,00	3640	41	28,2	21,7	17,9	11,2	6,4	4,4	3,3	56912	1334	2620	2011
182 + 0,00	3640	42	29,9	19,9	15,5	8,4	4,1	2,9	2,1	42274	1188	2332	2908

Segmento homogêneo 01 - Curva do Boi a TDR Sul - 80kN													
Estaca	EXT. (m)	CARGA (kN)	BACIAS DEFLECTOMÉTRICAS							MÓDULO DE RESILIÊNCIA			
			D ₀ (10 ⁻² mm)	D ₂₅ (10 ⁻² mm)	D ₃₅ (10 ⁻² mm)	D ₆₀ (10 ⁻² mm)	D ₉₀ (10 ⁻² mm)	D ₁₂₀ (10 ⁻² mm)	D ₁₅₀ (10 ⁻² mm)	Revestimento kgf/cm ²	Base kgf/cm ²	Sub-base kgf/cm ²	Sub-leito kgf/cm ²
0 + 0	0	80	47,9	37,6	32,4	22,1	13,8	9,4	6,6	70000	1810	3548	1919
0 + 16	16	80	54,5	41,0	33,9	21,5	12,3	8,1	5,9	65512	1271	2492	2180
1 + 1	21	81	42,7	33,4	28,4	19,2	12,3	9,0	6,9	65673	2564	5032	2014
3 + 0	60	80	33,4	24,1	20,3	13,0	8,3	6,2	4,9	67695	3519	6907	2914
4 + 16	96	81	39,9	27,4	21,9	13,2	7,5	4,6	3,4	70000	1819	3570	3738
5 + 0	100	81	50,2	38,5	32,0	21,1	13,6	10,1	7,8	53314	2186	4290	1792
6 + 18	138	80	39,7	26,9	20,8	12,1	7,4	5,6	4,5	46687	2813	5521	3189
7 + 0	140	80	42,7	32,3	26,3	15,4	8,5	6,0	4,7	67746	1727	3393	2918
8 + 17	177	80	35,2	26,5	21,8	13,3	7,7	5,2	4,0	70000	2218	4354	3375
8 + 19	179	80	52,1	34,6	27,0	14,9	7,9	5,5	4,3	40334	1584	3110	3122
10 + 17	217	80	45,4	34,4	28,1	16,7	10,0	7,0	5,7	60766	1824	3579	2528
10 + 18	218	80	37,2	26,0	20,7	12,3	7,4	5,6	4,6	59599	2752	5402	3180
12 + 17	257	80	33,3	24,9	20,9	13,5	8,2	6,1	4,8	70000	3202	6282	2953
13 + 1	261	80	40,9	30,1	24,6	15,2	9,2	6,9	5,7	54017	2563	5030	2598
14 + 19	299	81	35,9	26,8	21,9	13,6	8,2	6,0	4,8	66975	2741	5379	2981
15 + 0	300	80	38,9	28,4	22,9	13,8	8,4	6,5	5,4	56190	2718	5335	2758
16 + 13	333	80	41,1	30,6	24,3	14,6	8,7	6,4	5,1	56930	2264	4444	2776
16 + 19	339	81	38,1	26,7	21,3	12,6	7,8	6,1	4,9	57014	2874	5639	2938
18 + 19	379	80	37,0	26,7	22,0	14,2	9,3	7,5	6,4	66807	3454	6778	2423
18 + 19	379	79	43,5	31,8	26,1	16,1	9,5	6,9	5,7	55992	2210	4337	2582
20 + 14	414	80	50,4	36,1	28,5	15,7	8,0	5,3	4,1	52770	1304	2559	3192
20 + 18	418	81	34,8	25,8	21,3	13,7	8,5	6,4	5,3	66232	3172	6227	2816
22 + 12	452	80	46,2	32,8	25,7	14,2	7,3	5,0	3,9	53435	1530	3003	3407
22 + 17	457	80	30,8	22,1	17,8	10,8	6,5	4,8	3,8	68023	3371	6617	3720
24 + 19	499	79	31,3	23,0	18,8	12,0	7,5	5,8	4,7	70000	3613	7093	3111

Segmento homogêneo 01 - Curva do Boi a TDR Sul - 80kN													
Estaca	EXT. (m)	CARGA (kN)	BACIAS DEFLECTOMÉTRICAS							MÓDULO DE RESILIÊNCIA			
			D ₀ (10 ⁻² mm)	D ₂₅ (10 ⁻² mm)	D ₃₅ (10 ⁻² mm)	D ₆₀ (10 ⁻² mm)	D ₉₀ (10 ⁻² mm)	D ₁₂₀ (10 ⁻² mm)	D ₁₅₀ (10 ⁻² mm)	Revestimento kgf/cm ²	Base kgf/cm ²	Sub-base kgf/cm ²	Sub-leito kgf/cm ²
24 + 19	499	80	38,8	26,1	20,3	10,7	5,4	3,6	2,8	60893	1808	3545	4657
27 + 0	540	80	43,1	31,3	24,5	13,6	6,6	4,2	3,1	70000	1313	2580	3973
27 + 0	540	80	58,9	45,1	37,7	24,4	14,0	8,7	6,0	70000	979	1920	2042
28 + 18	578	80	36,5	26,3	21,6	13,5	8,0	5,5	4,1	70000	2409	4727	3217
28 + 19	579	81	43,8	32,9	26,9	15,9	8,8	5,9	4,6	68400	1605	3150	2953
30 + 15	615	81	46,0	33,5	26,6	14,9	7,3	3,9	2,9	70000	1028	2021	4178
31 + 0	620	80	35,8	25,8	20,7	12,2	6,9	4,7	3,8	70000	2227	4372	3712
32 + 5	645	80	45,1	33,2	26,6	15,1	7,7	5,1	3,8	66285	1385	2716	3342
32 + 13	653	80	47,9	34,8	28,1	16,3	8,7	5,5	4,1	66533	1295	2538	3113
34 + 7	687	80	43,6	32,1	25,8	15,2	8,1	5,3	3,8	70000	1421	2789	3241
34 + 8	688	80	49,5	36,9	30,0	18,1	10,2	6,7	4,9	66782	1360	2668	2606
36 + 9	729	80	31,7	23,4	19,0	11,9	7,3	5,5	4,4	70000	3358	6590	3266
36 + 10	730	80	41,6	31,4	26,1	16,5	9,7	6,6	4,9	70000	1885	3702	2682
38 + 14	774	81	44,0	32,9	26,9	17,0	9,9	6,7	4,8	70000	1695	3329	2633
38 + 15	775	80	38,6	30,1	25,2	16,2	10,0	6,8	5,0	70000	2192	4301	2623
40 + 7	807	79	42,0	31,8	26,4	16,7	9,5	6,4	4,5	70000	1760	3455	2752
40 + 15	815	80	36,4	27,6	22,6	13,8	7,8	5,1	3,8	70000	1972	3868	3416

Segmento homogêneo 02 - Curva do Boi a TDR Sul - 80kN													
Estaca	EXT. (m)	CARGA (kN)	BACIAS DEFLECTOMÉTRICAS							MÓDULO DE RESILIÊNCIA			
			D ₀ (10 ⁻² mm)	D ₂₅ (10 ⁻² mm)	D ₃₅ (10 ⁻² mm)	D ₆₀ (10 ⁻² mm)	D ₉₀ (10 ⁻² mm)	D ₁₂₀ (10 ⁻² mm)	D ₁₅₀ (10 ⁻² mm)	Revestimento kgf/cm ²	Base kgf/cm ²	Sub-base kgf/cm ²	Sub-leito kgf/cm ²
42 + 9	849	80	30,4	21,4	17,6	10,8	6,3	4,5	3,4	70000	3172	6223	3938
42 + 15	855	80	30,1	21,4	16,9	9,1	4,7	3,3	2,8	70000	2376	4663	5157
44 + 12	892	80	20,3	13,0	10,1	5,3	3,0	2,4	2,0	70000	5000	10000	7000
44 + 14	894	80	28,2	18,8	14,9	8,1	4,1	3,3	2,5	70000	3154	6189	5268
46 + 12	932	80	24,6	15,9	12,0	6,5	4,1	3,4	2,9	70000	4675	9173	5241
46 + 13	933	81	26,9	16,9	13,3	7,3	3,8	2,9	2,3	66619	3615	7094	6004
48 + 8	968	80	24,9	18,5	15,5	10,4	7,1	5,5	4,4	70000	6412	9160	3331
49 + 0	980	81	37,0	25,9	21,0	12,2	6,8	5,1	4,3	61863	2494	4893	3456
50 + 4	1004	80	25,2	20,1	17,6	12,7	8,8	6,4	4,8	70000	6587	9411	2876
50 + 13	1013	83	34,7	28,1	24,9	18,5	12,8	9,3	6,7	70000	4127	8101	1969
52 + 6	1046	80	29,0	22,1	18,6	12,7	8,9	6,7	5,3	70000	4678	9180	2725
52 + 14	1054	80	32,0	23,9	19,9	13,1	9,0	7,2	5,9	70000	4228	8299	2534
54 + 14	1094	80	24,8	17,9	14,6	9,1	5,9	4,6	3,7	70000	4909	9636	3933
54 + 16	1096	80	26,1	19,2	15,9	10,5	7,2	5,7	4,7	70000	6045	8636	3210
56 + 13	1133	80	29,4	19,7	15,2	8,7	5,9	4,7	3,6	67749	4128	8101	3827
56 + 15	1135	80	24,7	16,3	13,0	8,0	5,4	4,6	3,8	70000	7000	10000	3974
58 + 16	1176	81	24,6	16,5	13,0	7,7	4,8	3,7	2,9	70000	4789	9400	4846
59 + 0	1180	80	25,2	17,2	13,5	7,9	5,2	4,4	3,7	70000	5876	8394	4122
60 + 13	1213	80	25,5	17,7	14,0	8,0	4,5	3,2	2,7	70000	3478	6827	5456
60 + 17	1217	80	26,9	18,2	14,2	8,0	4,6	3,4	2,8	70000	3474	6819	5155
62 + 2	1242	80	25,0	17,2	13,5	7,7	4,4	3,4	2,8	70000	3948	7750	5196
62 + 14	1254	80	26,2	18,2	14,6	8,6	5,6	4,4	3,5	70000	4476	8784	4088
64 + 12	1292	80	25,9	17,4	13,8	8,1	4,7	3,6	2,8	70000	4071	7988	4931
64 + 15	1295	80	23,9	16,7	13,5	8,3	5,1	3,7	3,0	70000	4617	9062	4837
66 + 13	1333	80	23,4	16,3	13,4	8,5	5,3	3,9	3,2	70000	5886	8410	4630

Segmento homogêneo 02 - Curva do Boi a TDR Sul - 80kN													
Estaca	EXT. (m)	CARGA (kN)	BACIAS DEFLECTOMÉTRICAS							MÓDULO DE RESILIÊNCIA			
			D ₀ (10 ⁻² mm)	D ₂₅ (10 ⁻² mm)	D ₃₅ (10 ⁻² mm)	D ₆₀ (10 ⁻² mm)	D ₉₀ (10 ⁻² mm)	D ₁₂₀ (10 ⁻² mm)	D ₁₅₀ (10 ⁻² mm)	Revestimento kgf/cm ²	Base kgf/cm ²	Sub-base kgf/cm ²	Sub-leito kgf/cm ²
66 + 14	1334	80	26,8	17,1	13,9	8,3	4,9	3,8	3,1	70000	4467	8771	4706
68 + 9	1369	80	27,0	18,4	15,3	9,9	6,2	4,7	3,7	70000	4789	9397	3851
68 + 14	1374	80	26,0	18,2	14,9	9,4	5,9	4,2	3,3	70000	4333	8506	4272
70 + 12	1412	80	30,2	21,0	17,6	11,7	7,4	5,6	4,4	70000	4192	8228	3232
70 + 12	1412	80	29,3	20,8	17,5	11,6	7,5	5,6	4,4	70000	4254	8349	3234
70 + 14	1414	80	24,4	17,3	14,3	9,0	5,6	4,1	3,2	70000	4738	9299	4387
72 + 12	1452	80	25,9	17,6	14,2	8,5	5,1	4,0	3,3	70000	4464	8760	4483
72 + 16	1456	80	23,2	16,1	13,4	8,3	4,8	3,3	2,5	70000	4324	8487	5366
74 + 12	1492	80	37,6	25,3	20,9	13,0	7,5	4,9	3,4	67867	2361	4637	3578
74 + 13	1493	80	27,1	20,3	17,1	11,5	7,2	4,9	3,5	70000	3977	7806	3672
76 + 15	1535	80	28,2	18,8	15,2	8,9	4,9	3,4	2,6	70000	3220	6317	5129
76 + 17	1537	80	25,9	18,2	14,9	9,0	5,1	3,3	2,5	70000	3360	6595	5288
78 + 14	1574	80	26,0	18,0	15,2	10,1	6,8	5,3	4,2	70000	6458	9227	3452
78 + 15	1575	80	25,1	18,0	15,0	10,1	6,9	5,2	4,1	70000	6511	9298	3520
80 + 13	1613	80	25,6	19,4	16,7	12,1	8,5	6,4	4,9	70000	7000	10000	2880
80 + 15	1615	80	33,2	23,5	19,5	13,0	8,4	6,5	5,0	68572	3841	7540	2791
82 + 12	1652	80	27,5	21,1	18,3	13,3	9,3	6,8	5,2	70000	6328	9036	2707
82 + 17	1657	80	32,2	22,5	19,1	13,1	9,0	6,9	5,4	70000	4382	8601	2641
84 + 13	1693	80	24,7	18,6	16,2	11,9	8,6	6,6	5,2	70000	7000	10000	2794
84 + 19	1699	79	30,5	21,4	18,0	12,3	8,6	6,8	5,5	69316	5641	8058	2697
86 + 13	1733	80	28,4	19,9	16,6	10,6	6,5	4,6	3,4	70000	3871	7598	3895
86 + 17	1737	80	30,9	21,8	18,1	11,9	7,8	6,0	4,8	70000	4128	8104	3023
88 + 13	1773	80	24,5	18,8	16,1	10,9	6,8	4,2	3,0	70000	4020	7891	4257
89 + 0	1780	80	38,8	26,7	22,0	13,7	7,7	4,9	3,5	70000	2049	4019	3551

Segmento homogêneo 03 - Curva do Boi a TDR Sul - 80kN													
Estaca	EXT.	CARGA	BACIAS DEFLECTOMÉTRICAS							MÓDULO DE RESILIÊNCIA			
			D ₀	D ₂₅	D ₃₅	D ₆₀	D ₉₀	D ₁₂₀	D ₁₅₀	Revestimento	Base	Sub-base	Sub-leito
(m)	(KN)		(10 ⁻² mm)	(10 ⁻² mm)	(10 ⁻² mm)	(10 ⁻² mm)	(10 ⁻² mm)	(10 ⁻² mm)	(10 ⁻² mm)	kgf/cm ²	kgf/cm ²	kgf/cm ²	kgf/cm ²
90 + 15	1815	79	47,3	34,7	28,8	18,4	10,9	7,4	5,3	70000	1677	3290	2399
90 + 15	1815	80	43,2	32,7	27,0	17,6	10,8	7,2	5,0	70000	1875	3684	2472
92 + 16	1856	80	31,6	22,1	18,6	11,9	6,9	4,6	3,3	70000	3012	5911	3847
93 + 0	1860	81	47,0	34,4	27,7	15,9	8,4	5,2	3,6	70000	1186	2329	3270
94 + 17	1897	80	53,4	38,4	30,8	17,5	8,9	5,5	4,0	61415	1062	2085	3068
94 + 19	1899	80	46,5	34,9	28,7	17,5	10,2	6,9	5,3	64366	1666	3270	2555
96 + 14	1934	80	47,8	36,9	31,2	20,1	11,9	8,2	6,0	70000	1625	3191	2177
97 + 0	1940	80	57,0	41,8	33,9	20,5	11,3	7,4	5,7	53423	1228	2408	2349
98 + 14	1974	80	51,2	39,8	33,7	22,1	13,6	9,2	6,6	70000	1489	2927	1950
98 + 15	1975	78	57,0	42,5	35,2	21,8	12,8	8,8	6,7	51582	1448	2841	2013
100 + 19	2019	81	48,7	37,9	32,3	22,0	13,4	9,5	7,3	69183	1924	3773	1901
101 + 0	2020	80	48,0	36,8	31,1	20,0	12,0	8,4	6,5	66576	1803	3537	2131
102 + 18	2058	80	62,9	48,9	40,5	24,7	14,3	9,7	7,2	55101	1107	2170	1823
102 + 18	2058	80	43,3	33,6	28,9	19,9	12,7	8,6	6,4	70000	2204	4325	2098
104 + 2	2082	79	57,0	40,4	32,4	19,2	11,1	7,9	6,2	39264	1611	3161	2233

Segmento homogêneo 04 - Curva do Boi a TDR Sul - 80kN													
Estaca	EXT. (m)	CARGA (kN)	BACIAS DEFLECTOMÉTRICAS							MÓDULO DE RESILIÊNCIA			
			D ₀ (10 ⁻² mm)	D ₂₅ (10 ⁻² mm)	D ₃₅ (10 ⁻² mm)	D ₆₀ (10 ⁻² mm)	D ₉₀ (10 ⁻² mm)	D ₁₂₀ (10 ⁻² mm)	D ₁₅₀ (10 ⁻² mm)	Revestimento kgf/cm ²	Base kgf/cm ²	Sub-base kgf/cm ²	Sub-leito kgf/cm ²
104 + 19	2099	79	36,9	27,5	23,0	15,2	9,3	6,3	4,8	70000	2513	4933	2834
106 + 2	2122	80	35,9	24,9	19,8	11,1	6,0	4,1	3,1	67724	2146	4211	4199
107 + 0	2140	80	23,2	16,8	13,8	8,9	5,8	4,4	3,5	70000	6189	8840	4129
107 + 14	2154	80	29,9	20,7	16,3	10,0	6,5	5,1	4,1	70000	3998	7846	3533
108 + 1	2161	80	26,7	20,0	16,8	11,3	7,5	5,6	4,3	70000	4910	9640	3252
109 + 2	2182	80	31,3	22,9	18,9	12,3	8,2	6,3	4,7	70000	3897	7647	2878
110 + 1	2201	80	25,0	18,4	15,5	10,7	7,4	5,6	4,5	70000	6521	9315	3274
112 + 7	2247	80	31,1	23,9	20,3	13,6	8,9	6,5	5,0	70000	4294	6132	2800
112 + 10	2250	81	30,3	21,6	17,8	11,5	7,8	6,3	5,2	68466	5171	7387	2900
114 + 10	2290	80	26,0	18,7	15,3	9,7	6,2	4,5	3,6	70000	5086	7266	4013
114 + 12	2292	79	30,2	21,2	17,1	10,2	6,6	5,3	4,3	70000	4481	6401	3410
116 + 13	2333	80	26,6	18,5	15,1	9,3	5,8	4,2	3,4	70000	4627	6612	4263
116 + 17	2337	80	31,6	22,5	17,8	10,5	6,3	4,9	4,1	70000	3542	5059	3638
118 + 13	2373	80	23,0	16,5	13,5	8,3	5,0	3,4	2,7	70000	4294	8428	5218
118 + 19	2379	81	30,7	21,8	17,5	10,3	6,0	4,5	3,6	66089	3301	6479	3955
120 + 16	2416	80	33,6	24,0	18,9	11,5	8,0	6,5	5,3	70000	3737	7335	2792
120 + 17	2417	80	29,9	22,4	19,0	12,7	8,3	6,1	4,8	70000	4049	7945	2975
122 + 12	2452	80	35,4	27,7	23,5	16,0	10,9	7,8	5,9	70000	3278	6434	2330
122 + 13	2453	79	30,4	22,8	19,4	13,3	9,4	7,5	6,1	70000	4996	9807	2444
124 + 1	2481	80	39,9	29,2	24,0	15,6	10,7	8,6	7,0	64875	3295	6466	2118
124 + 14	2494	80	31,4	22,5	18,1	10,8	6,8	5,1	4,2	70000	3306	6489	3508
126 + 6	2526	80	29,6	20,2	15,9	9,6	6,5	5,4	4,6	70000	4555	8938	3362
126 + 12	2532	80	24,1	17,3	14,2	8,7	5,4	4,2	3,4	70000	4876	9568	4293
128 + 7	2567	80	37,2	26,6	20,8	11,5	6,1	4,3	3,3	63655	2018	3959	4001
128 + 15	2575	80	32,3	23,8	19,7	12,8	8,1	5,7	4,2	70000	3220	6321	3149
130 + 15	2615	80	37,4	27,4	21,9	12,4	6,7	4,8	4,0	70000	1994	3915	3618

Segmento homogêneo 05 - Curva do Boi a TDR Sul - 80kN													
Estaca	EXT. (m)	CARGA (kN)	BACIAS DEFLECTOMÉTRICAS							MÓDULO DE RESILIÊNCIA			
			D ₀ (10 ⁻² mm)	D ₂₅ (10 ⁻² mm)	D ₃₅ (10 ⁻² mm)	D ₆₀ (10 ⁻² mm)	D ₉₀ (10 ⁻² mm)	D ₁₂₀ (10 ⁻² mm)	D ₁₅₀ (10 ⁻² mm)	Revestimento kgf/cm ²	Base kgf/cm ²	Sub-base kgf/cm ²	Sub-leito kgf/cm ²
130 + 19	2619	81	40,8	29,4	23,2	12,1	7,0	5,1	4,0	51607	2055	4034	3420
132 + 18	2658	81	37,2	27,7	22,3	12,8	6,6	4,6	3,7	70000	1816	3564	3742
133 + 0	2660	80	38,5	28,5	23,7	15,3	9,2	6,2	4,6	70000	2267	4449	2867
134 + 17	2697	80	38,8	27,8	22,2	12,8	7,0	4,9	4,0	64988	2018	3960	3546
134 + 18	2698	80	48,6	33,4	26,4	16,2	8,2	5,5	4,5	52036	1565	3075	3125
136 + 19	2739	80	42,4	32,7	27,1	16,7	10,2	7,3	5,6	64609	2139	4198	2448
136 + 19	2739	79	59,8	44,6	37,2	23,6	13,6	9,3	6,9	52950	1333	2614	1905
138 + 14	2774	81	49,0	37,2	30,1	18,7	10,4	7,0	5,4	66012	1427	2798	2505
138 + 19	2779	79	42,1	31,6	25,9	15,8	9,2	6,6	5,2	64390	2051	4026	2687
140 + 16	2816	79	28,5	20,3	16,9	10,6	6,0	4,3	3,4	70000	3423	6716	4127
140 + 17	2817	80	30,7	24,5	21,3	15,1	10,0	7,0	5,0	70000	3918	7691	2602
141 + 18	2838	80	55,8	44,5	36,7	23,6	13,7	8,8	6,1	70000	1124	2205	2019
142 + 16	2856	80	45,1	33,8	28,7	19,2	11,8	7,8	5,5	70000	1970	3867	2295
144 + 7	2887	80	29,4	23,1	19,8	13,8	9,3	6,7	5,1	70000	4311	8462	2722
144 + 17	2897	81	62,9	44,6	35,9	21,4	12,2	8,4	6,3	40693	1323	2598	2085
146 + 12	2932	80	29,0	22,4	19,2	13,3	8,9	6,5	4,8	70000	4481	8795	2807
147 + 0	2940	81	51,0	38,5	31,9	20,5	12,6	8,9	6,6	57539	1819	3570	2013
148 + 16	2976	79	30,0	22,1	18,8	12,9	9,5	8,1	6,9	70000	7000	10000	2278
148 + 16	2976	81	29,2	22,1	18,8	13,1	9,6	8,2	7,0	70000	7000	10000	2250
148 + 16	2976	80	27,8	21,5	18,7	13,7	10,0	7,9	6,5	70000	7000	10000	2336
150 + 15	3015	80	39,0	30,0	25,4	17,3	11,6	8,7	7,1	70000	3094	6073	2092
150 + 18	3018	79	35,8	26,0	21,4	13,2	8,5	6,8	5,9	67812	3300	6479	2662
152 + 13	3053	80	27,9	21,1	18,3	13,3	10,1	8,3	7,1	70000	7000	10000	2225
152 + 18	3058	81	45,9	34,1	27,6	16,3	9,4	6,9	5,9	55789	2090	2986	2564
154 + 15	3095	80	26,6	20,7	17,9	12,9	9,5	7,6	6,4	70000	7000	10000	2428

Segmento homogêneo 05 - Curva do Boi a TDR Sul - 80kN													
Estaca	EXT. (m)	CARGA (kN)	BACIAS DEFLECTOMÉTRICAS							MÓDULO DE RESILIÊNCIA			
			D ₀ (10 ⁻² mm)	D ₂₅ (10 ⁻² mm)	D ₃₅ (10 ⁻² mm)	D ₆₀ (10 ⁻² mm)	D ₉₀ (10 ⁻² mm)	D ₁₂₀ (10 ⁻² mm)	D ₁₅₀ (10 ⁻² mm)	Revestimento kgf/cm ²	Base kgf/cm ²	Sub-base kgf/cm ²	Sub-leito kgf/cm ²
154 + 17	3097	79	39,3	28,8	23,5	14,3	8,8	7,2	6,2	67276	2770	5436	2505
156 + 13	3133	80	43,8	33,3	27,5	16,8	9,1	5,9	4,4	70000	1466	2875	2947
156 + 13	3133	80	28,2	20,7	16,9	10,2	5,9	4,1	3,3	70000	3120	6120	4297
158 + 17	3177	80	39,2	28,5	23,3	14,1	8,1	5,6	4,1	70000	2063	4048	3142
158 + 17	3177	80	36,8	26,9	21,6	12,6	6,7	4,2	3,1	70000	1766	3465	4054
160 + 15	3215	80	41,5	32,0	26,8	17,7	11,2	8,0	6,2	68306	2452	4812	2255
160 + 18	3218	80	46,2	35,5	29,2	18,6	11,8	8,3	6,4	59637	2068	4057	2162
162 + 16	3256	81	54,5	41,5	33,9	20,7	12,0	8,2	6,0	59820	1339	2628	2151
162 + 16	3256	80	46,2	35,9	29,8	18,9	10,8	6,9	5,0	70000	1436	2818	2548
164 + 12	3292	79	55,4	44,2	39,7	29,0	17,7	11,4	7,9	70000	1484	2913	1591
166 + 14	3334	80	43,7	33,2	27,3	16,9	10,2	7,0	5,4	67577	1897	3723	2537
166 + 17	3337	80	43,1	32,1	26,2	16,0	9,8	7,1	5,6	55328	2265	4446	2515
168 + 12	3372	80	43,8	32,0	26,3	16,4	10,2	7,5	5,8	50445	2456	4822	2395
168 + 19	3379	80	47,7	35,8	29,3	17,5	10,4	6,9	4,9	70000	1476	2897	2548
170 + 16	3416	80	52,3	39,0	31,8	20,1	12,3	8,8	6,6	48998	1850	3631	2032
170 + 17	3417	80	35,6	26,8	22,6	14,9	10,1	7,3	5,8	68821	3280	6437	2482
172 + 16	3456	80	43,5	32,7	27,5	17,3	10,6	7,3	5,4	70000	1982	3892	2446
172 + 17	3457	80	57,0	43,3	35,9	22,0	13,2	9,2	6,9	51847	1466	2879	1931
174 + 17	3497	80	40,5	28,7	23,0	13,4	8,1	6,4	5,5	51446	2656	5214	2797
174 + 17	3497	80	43,3	31,7	26,1	16,6	10,3	7,5	6,3	54750	2455	4819	2396
176 + 18	3538	79	36,7	22,1	17,1	10,1	6,4	5,0	4,2	47709	3608	7082	3588
177 + 0	3540	79	21,8	16,5	14,3	10,2	6,8	4,7	3,5	70000	7000	10000	3892
178 + 16	3576	81	42,0	30,6	24,8	14,5	7,3	4,8	4,0	70000	1469	2882	3553
178 + 17	3577	80	41,7	31,7	26,8	17,7	10,6	6,8	4,5	70000	1900	3734	2608
181 + 0	3620	81	43,2	34,9	28,9	18,2	10,3	6,4	4,5	70000	1387	2716	2726
181 + 0	3620	80	36,7	28,0	23,6	15,5	9,2	5,8	4,0	80000	2056	4041	3048
182 + 0	3640	81	54,6	41,9	35,2	22,4	13,0	8,5	6,1	70000	1190	2334	2091
182 + 0	3640	80	31,5	25,2	21,2	13,5	7,7	4,6	3,1	70000	2208	4332	3782

Segmento homogêneo 01 - TDR Sul a Curva do Boi - 30kN													
Estaca	EXT. (m)	CARGA (kN)	BACIAS DEFLECTOMÉTRICAS							MÓDULO DE RESILIÊNCIA			
			D ₀ (10 ⁻² mm)	D ₂₅ (10 ⁻² mm)	D ₃₅ (10 ⁻² mm)	D ₆₀ (10 ⁻² mm)	D ₉₀ (10 ⁻² mm)	D ₁₂₀ (10 ⁻² mm)	D ₁₅₀ (10 ⁻² mm)	Revestimento kgf/cm ²	Base kgf/cm ²	Sub-base kgf/cm ²	Sub-leito kgf/cm ²
0 + 0	0	31	43,5	26,8	17,7	7,1	4,2	3,7	3,5	11073	826	1622	1752
2 + 5	45	29	26,8	17,3	11,9	5,1	3,9	3,2	2,8	21219	1356	4996	2095
2 + 11	51	30	26,9	17,0	11,5	4,5	2,3	2,1	1,7	22725	998	3129	3029
4 + 7	87	30	26,5	16,4	11,2	4,8	3,9	3,3	2,9	23061	1782	3497	2033
4 + 9	89	30	25,9	16,6	11,7	5,4	3,3	2,8	2,5	24232	1447	2841	2345
6 + 2	122	28	32,8	21,8	15,4	6,7	3,7	3,3	2,7	19406	1020	2002	1967
6 + 3	123	32	26,8	16,8	11,3	5,0	4,3	3,7	3,1	20453	1655	5186	1831
8 + 4	164	30	33,4	21,8	15,4	6,9	3,9	3,3	2,7	18647	1024	2011	1969
8 + 6	166	30	22,9	14,0	9,4	4,3	4,0	3,4	2,9	29875	2148	4215	1980
10 + 0	200	30	37,6	24,7	17,6	8,0	4,5	4,0	3,3	17002	942	1849	1635
10 + 11	211	30	34,5	22,9	16,6	8,0	4,5	4,1	3,5	19737	961	3012	1615
12 + 5	245	30	37,4	24,5	17,5	8,2	4,8	4,1	3,3	17196	971	1906	1600
12 + 6	246	30	31,3	20,7	14,9	7,2	4,3	4,1	3,4	22369	1141	3578	1629
14 + 4	284	30	34,8	22,4	15,6	6,9	3,6	3,1	2,5	17222	948	1860	2078
14 + 7	287	30	33,7	22,7	16,3	8,0	4,6	4,1	3,1	20202	1096	2151	1610
16 + 3	323	30	42,8	28,4	20,1	8,9	4,8	4,3	3,6	14845	784	1539	1510
16 + 4	324	30	41,8	28,0	20,3	9,4	5,0	4,3	3,5	15431	801	1572	1512
18 + 7	367	30	45,1	29,8	21,1	9,4	5,0	4,5	3,9	14295	661	2075	1452
18 + 7	367	30	34,9	22,3	15,9	7,6	5,0	4,4	3,2	15769	1324	2598	1527
20 + 5	405	30	33,4	21,6	14,9	6,5	3,8	3,4	3,0	16596	1082	2124	1923
20 + 9	409	30	36,7	23,9	17,1	8,1	4,5	4,3	3,6	18151	927	2906	1542
22 + 5	445	30	22,0	12,6	8,2	3,2	2,8	2,4	2,2	18307	2331	4573	2798

Segmento homogêneo 02 - TDR Sul a Curva do Boi - 30kN													
Estaca	EXT. (m)	CARGA (kN)	BACIAS DEFLECTOMÉTRICAS							MÓDULO DE RESILIÊNCIA			
			D ₀ (10 ⁻² mm)	D ₂₅ (10 ⁻² mm)	D ₃₅ (10 ⁻² mm)	D ₆₀ (10 ⁻² mm)	D ₉₀ (10 ⁻² mm)	D ₁₂₀ (10 ⁻² mm)	D ₁₅₀ (10 ⁻² mm)	Revestimento kgf/cm ²	Base kgf/cm ²	Sub-base kgf/cm ²	Sub-leito kgf/cm ²
22 + 7	447	26	21,4	13,0	8,8	3,7	3,5	3,4	2,9	25730	2370	4652	1983
24 + 5	485	30	23,4	14,1	9,2	3,4	2,8	2,4	2,1	17295	1965	3858	2782
24 + 9	489	30	22,5	13,6	8,8	3,5	3,4	3,0	2,9	24472	2266	4447	2247
26 + 3	523	30	19,4	11,4	7,5	2,9	2,0	2,1	1,9	26422	2449	4807	3179
26 + 8	528	30	22,2	13,9	9,4	3,7	3,4	3,0	2,6	24803	2217	4351	2247
28 + 4	564	30	20,2	11,8	7,7	3,0	2,8	2,3	2,0	25693	2433	4773	2912
28 + 5	565	30	20,0	11,9	7,9	3,0	2,8	2,3	2,0	26223	2401	4710	2909
30 + 5	605	31	28,7	17,6	11,8	4,6	2,6	2,6	2,4	17685	1304	2560	2506
30 + 9	609	30	20,6	12,1	7,9	3,0	2,9	2,5	2,1	25743	2442	4791	2687
32 + 5	645	30	35,8	23,8	17,1	8,5	5,5	4,8	3,9	18950	1176	2308	1393
32 + 6	646	31	34,7	22,7	15,9	7,0	4,1	4,0	3,4	12476	1236	2426	1671
34 + 5	685	31	28,5	18,3	13,0	6,3	4,9	4,5	3,8	24899	1751	3436	1504
34 + 6	686	30	36,9	24,1	17,3	8,2	5,2	4,7	4,0	15233	1182	2320	1424
36 + 4	724	30	26,6	15,9	10,4	3,9	2,4	2,4	2,0	18594	1469	2884	2722
36 + 5	725	30	26,3	16,6	11,8	5,8	4,8	4,3	3,8	24084	2109	4139	1584
38 + 6	766	30	18,4	10,9	7,4	3,2	2,8	2,6	2,2	28705	3032	5951	2608
38 + 7	767	30	18,9	11,5	7,7	3,5	2,2	2,2	1,7	28116	2468	4843	3040
40 + 7	807	30	22,3	14,5	10,6	5,2	3,2	2,9	2,4	25322	1989	3903	2311
40 + 9	809	30	17,1	10,4	7,3	3,4	2,9	2,8	2,2	32200	2963	5815	2408
42 + 2	842	31	24,7	16,1	11,9	5,9	3,4	2,9	2,4	26456	1554	3048	2276
42 + 8	848	30	27,7	17,8	12,6	5,8	3,4	3,2	2,7	19569	1539	3022	2084
44 + 6	886	30	23,2	13,9	9,7	4,5	2,8	2,8	2,4	27138	2032	3988	2389
44 + 7	887	30	21,1	12,3	8,3	3,7	2,4	2,3	2,0	24253	2287	4489	2906

Segmento homogêneo 02 - TDR Sul a Curva do Boi - 30kN													
Estaca	EXT. (m)	CARGA (kN)	BACIAS DEFLECTOMÉTRICAS							MÓDULO DE RESILIÊNCIA			
			D ₀ (10 ⁻² mm)	D ₂₅ (10 ⁻² mm)	D ₃₅ (10 ⁻² mm)	D ₆₀ (10 ⁻² mm)	D ₉₀ (10 ⁻² mm)	D ₁₂₀ (10 ⁻² mm)	D ₁₅₀ (10 ⁻² mm)	Revestimento kgf/cm ²	Base kgf/cm ²	Sub-base kgf/cm ²	Sub-leito kgf/cm ²
46 + 3	923	31	29,4	19,8	14,5	6,7	3,6	2,9	2,5	23305	1043	2046	2213
46 + 6	926	25	22,3	12,8	9,0	4,1	3,7	3,4	2,9	18093	2472	4852	1988
48 + 5	965	31	30,6	20,5	15,1	7,6	4,3	3,9	3,1	22477	1259	2471	1700
48 + 5	965	30	31,8	20,4	14,5	6,3	3,3	3,2	2,6	17084	1159	2274	2045
50 + 7	1007	30	23,1	14,2	10,4	5,2	3,6	3,1	2,6	24135	2132	4184	2172
50 + 9	1009	30	24,6	15,7	11,4	5,8	3,7	3,7	3,2	28471	1951	3829	1823
52 + 5	1045	30	24,7	16,5	12,2	6,4	4,1	3,7	3,1	23320	1868	3664	1823
52 + 16	1056	29	23,7	14,4	10,4	5,0	3,7	3,2	2,9	23458	2122	4165	2106
54 + 4	1084	30	22,0	14,4	10,5	5,2	3,3	3,0	2,5	26120	2043	4010	2238
54 + 7	1087	31	21,7	14,0	10,1	5,2	3,8	3,3	2,8	29419	2245	4407	2047
56 + 5	1125	30	21,5	14,0	10,3	5,1	3,0	3,0	2,5	31717	2065	4052	2237
56 + 7	1127	30	23,1	14,5	10,3	4,7	2,8	2,5	2,1	23475	1740	3416	2641
58 + 1	1161	33	22,2	13,8	9,7	4,7	3,8	3,2	2,5	24803	2233	4383	2107
58 + 9	1169	29	23,1	14,7	10,4	4,8	2,8	2,7	2,3	23454	1885	3700	2472
60 + 4	1204	30	22,4	13,0	8,8	3,8	3,1	2,9	2,4	30542	2313	4539	2321
60 + 12	1212	30	21,8	12,9	8,8	3,9	2,5	2,5	2,1	23984	2219	4354	2679
62 + 7	1247	33	21,7	13,8	9,8	4,5	2,7	2,7	2,2	30001	2007	3938	2473
62 + 10	1250	30	24,2	15,6	11,1	5,0	2,7	2,5	2,2	22706	1535	3013	2623
64 + 10	1290	31	20,3	12,4	8,7	4,0	3,2	2,7	2,3	33702	2425	4759	2493
64 + 13	1293	30	24,5	15,2	10,8	4,9	3,1	2,9	2,4	17403	1924	3777	2314
66 + 4	1324	30	24,7	15,4	10,7	4,6	2,7	2,6	2,3	20841	1631	3200	2537
66 + 8	1328	32	24,2	15,6	11,1	5,1	3,5	3,2	2,6	23374	1874	3678	2098
68 + 1	1361	30	25,3	16,2	11,4	5,0	2,8	2,7	2,3	18258	1570	3083	2448

Segmento homogêneo 02 - TDR Sul a Curva do Boi - 30kN													
Estaca	EXT. (m)	CARGA (kN)	BACIAS DEFLECTOMÉTRICAS							MÓDULO DE RESILIÊNCIA			
			D ₀ (10 ⁻² mm)	D ₂₅ (10 ⁻² mm)	D ₃₅ (10 ⁻² mm)	D ₆₀ (10 ⁻² mm)	D ₉₀ (10 ⁻² mm)	D ₁₂₀ (10 ⁻² mm)	D ₁₅₀ (10 ⁻² mm)	Revestimento kgf/cm ²	Base kgf/cm ²	Sub-base kgf/cm ²	Sub-leito kgf/cm ²
68 + 7	1367	33	24,8	15,8	11,0	5,0	3,0	3,0	2,6	17497	1845	3620	2236
69 + 19	1399	30	30,7	20,5	14,9	6,9	3,6	3,1	2,8	22127	1033	2026	2079
70 + 0	1400	30	21,7	14,3	10,3	4,9	3,9	3,1	2,6	26953	2098	4117	2171
72 + 0	1440	30	23,0	14,6	10,6	5,1	3,0	2,9	2,4	19061	2041	4006	2318
72 + 3	1443	30	22,1	13,3	9,3	4,1	2,1	2,1	1,8	20141	1846	3625	3133
74 + 1	1481	33	25,5	16,0	11,0	4,5	2,2	2,2	1,9	19409	1380	2708	2945
74 + 4	1484	30	22,8	14,2	10,2	4,9	3,3	3,1	2,7	15951	2244	4403	2183
76 + 0	1520	35	37,1	24,5	17,5	8,5	4,9	4,2	3,6	17633	985	1934	1565
76 + 1	1521	30	28,7	17,7	12,2	5,5	3,3	2,8	2,2	20516	1314	2578	2333
78 + 5	1565	30	28,2	18,2	13,1	6,2	3,7	3,2	2,7	22717	1355	2659	2060
78 + 7	1567	31	23,4	14,5	10,5	5,1	3,0	3,0	2,4	13777	2212	4341	2259
80 + 2	1602	30	30,6	20,3	14,1	5,8	3,9	3,5	2,9	14207	1367	2682	1907
80 + 2	1602	30	22,6	14,6	10,6	5,2	3,2	2,9	2,5	22347	2003	3932	2313
82 + 2	1642	30	25,7	16,4	11,3	5,0	3,9	3,5	3,0	16809	1884	3696	1927
82 + 3	1643	30	23,6	15,4	11,2	5,4	3,4	3,2	2,7	21853	1941	3810	2101
84 + 3	1683	30	23,9	16,3	12,0	5,7	3,3	3,1	2,6	24069	1720	3375	2156
84 + 6	1686	30	27,0	17,2	12,0	5,4	3,8	3,5	3,0	16400	1754	3443	1923
86 + 4	1724	30	23,5	16,4	12,3	6,2	3,7	3,3	2,7	29869	1697	3330	2027
86 + 5	1725	30	29,0	19,1	13,3	6,0	3,8	3,8	3,2	15535	1559	3060	1770
88 + 4	1764	30	30,5	20,2	14,2	6,3	3,6	3,5	2,8	14253	1378	2704	1907
88 + 4	1764	31	30,2	18,0	11,8	4,7	3,0	2,8	2,4	12988	1477	2898	2373
90 + 6	1806	30	19,8	12,5	8,6	3,9	3,8	3,3	2,9	20378	2532	4969	2048
90 + 6	1806	30	20,7	13,1	9,2	4,1	2,5	2,4	2,2	26047	2113	4148	2780

Segmento homogêneo 02 - TDR Sul a Curva do Boi - 30kN													
Estaca	EXT. (m)	CARGA (kN)	BACIAS DEFLECTOMÉTRICAS							MÓDULO DE RESILIÊNCIA			
			D ₀ (10 ⁻² mm)	D ₂₅ (10 ⁻² mm)	D ₃₅ (10 ⁻² mm)	D ₆₀ (10 ⁻² mm)	D ₉₀ (10 ⁻² mm)	D ₁₂₀ (10 ⁻² mm)	D ₁₅₀ (10 ⁻² mm)	Revestimento kgf/cm ²	Base kgf/cm ²	Sub-base kgf/cm ²	Sub-leito kgf/cm ²
92 + 3	1843	30	20,9	13,0	9,0	3,9	2,5	2,5	2,2	20488	2258	4433	2686
92 + 6	1846	30	26,4	17,2	12,3	5,6	3,1	3,0	2,6	16309	1624	3187	2226
94 + 6	1886	30	23,6	14,5	10,2	4,4	2,8	2,5	2,2	17445	1922	3772	2670
94 + 7	1887	30	25,0	16,6	11,8	5,4	3,1	3,1	2,6	17792	1737	3410	2162
96 + 5	1925	30	21,3	13,4	9,3	4,0	2,5	2,5	2,1	20090	2158	4234	2681
96 + 9	1929	30	23,0	14,0	9,6	4,3	3,3	3,0	2,8	17543	2260	4436	2253
98 + 8	1968	30	23,9	15,3	11,0	5,2	2,8	2,5	2,2	25979	1538	3019	2620
98 + 10	1970	30	28,6	17,5	11,9	4,8	3,6	2,9	2,6	14202	1563	3068	2298
100 + 6	2006	30	25,1	15,4	10,4	4,4	2,7	2,6	2,3	16293	1792	3517	2566
100 + 10	2010	30	36,0	23,4	16,7	7,4	3,7	3,6	2,9	15260	995	1953	1814
102 + 7	2047	30	23,7	14,8	10,4	4,6	2,5	2,4	2,3	18779	1694	3324	2748
102 + 10	2050	30	27,1	16,6	11,5	5,1	3,1	3,1	2,6	15499	1745	3425	2163
104 + 2	2082	30	37,0	24,1	17,3	7,5	3,6	2,9	2,5	18459	746	1465	2145
104 + 5	2085	31	30,4	19,2	13,4	5,6	2,8	2,8	2,2	17239	1181	2317	2323
106 + 3	2123	30	32,8	19,7	12,9	4,5	3,5	2,9	2,4	11855	1315	2582	2284
106 + 6	2126	29	23,8	13,8	8,9	2,9	2,7	1,9	1,7	16588	1656	3251	3430

Segmento homogêneo 03 - TDR Sul a Curva do Boi - 30kN														
Estaca	EXT.	CARGA	BACIAS DEFLECTOMÉTRICAS							MÓDULO DE RESILIÊNCIA				
			D ₀	D ₂₅	D ₃₅	D ₆₀	D ₉₀	D ₁₂₀	D ₁₅₀	Revestimento	Base	Sub-base	Sub-leito	
(m)	(kN)		(10 ⁻² mm)	(10 ⁻² mm)	(10 ⁻² mm)	(10 ⁻² mm)	(10 ⁻² mm)	(10 ⁻² mm)	(10 ⁻² mm)	kgf/cm ²	kgf/cm ²	kgf/cm ²	kgf/cm ²	
108 + 5	2165	31	26,6	16,4	10,9	4,2	2,4	2,4	2,1	21693	1350	2651	2701	
108 + 6	2166	29	24,3	14,5	9,8	4,0	3,2	2,5	2,3	16136	1434	2814	2725	
110 + 4	2204	30	23,6	14,3	9,4	3,1	1,4	1,2	0,9	23407	1141	2238	4979	
110 + 6	2206	30	23,6	13,5	8,9	3,7	3,5	2,8	2,4	17097	2344	4601	2414	
112 + 6	2246	30	22,5	12,9	8,5	3,6	3,5	2,8	2,4	17933	2453	4815	2414	
112 + 6	2246	30	18,1	11,3	7,8	3,2	2,4	2,0	1,8	23166	2495	4898	3343	
114 + 1	2281	30	17,3	10,0	6,8	3,0	2,8	2,5	2,1	26234	3579	7019	2730	
114 + 5	2285	30	17,6	10,2	7,1	3,2	2,7	2,3	1,9	25737	3135	6155	2942	
116 + 4	2324	30	25,3	15,8	10,8	4,5	3,7	2,9	2,4	16749	1817	3565	2309	
116 + 12	2332	30	19,5	11,7	7,9	3,1	2,5	2,1	1,8	20989	2432	4773	3187	
118 + 4	2364	30	22,9	13,8	8,9	3,4	2,9	2,6	2,2	17619	2293	4501	2600	
118 + 13	2373	30	17,8	10,5	6,9	2,8	2,5	2,0	1,7	23101	2792	5480	3356	
120 + 2	2402	30	18,6	10,6	6,9	2,6	2,3	2,1	1,8	21810	2824	5544	3204	
120 + 10	2410	30	20,2	11,6	7,8	3,3	2,6	2,2	1,9	25180	2446	4800	3040	
122 + 6	2446	33	21,4	12,9	8,7	3,4	3,1	2,4	2,1	19383	2244	4404	2795	
122 + 10	2450	30	18,0	10,7	7,2	3,0	2,7	2,2	1,9	35010	2668	5237	3045	
124 + 3	2483	30	22,6	13,2	8,7	3,4	2,9	2,7	2,3	17853	2397	4705	2504	
124 + 13	2493	30	25,3	14,8	9,5	3,4	2,3	2,2	2,0	15129	1761	3456	3014	
126 + 6	2526	30	19,9	12,6	8,8	4,1	3,5	2,8	2,3	20276	2512	4929	2414	
126 + 8	2528	27	17,5	10,4	6,9	2,5	2,3	2,0	1,8	29900	2739	5376	3347	
128 + 1	2561	28	16,1	9,2	5,7	2,3	2,0	1,9	1,7	25559	3324	6523	3549	
128 + 5	2565	31	17,6	10,1	6,5	2,5	2,3	2,2	1,9	23811	3108	6100	3072	
130 + 4	2604	30	17,2	9,8	6,5	2,6	2,4	2,2	1,9	25588	3259	6399	3075	
130 + 7	2607	33	18,6	10,7	7,0	2,8	2,5	2,1	1,8	21903	2784	5462	3202	

Segmento homogêneo 03 - TDR Sul a Curva do Boi - 30kN													
Estaca	EXT.	CARGA	BACIAS DEFLECTOMÉTRICAS							MÓDULO DE RESILIÊNCIA			
			D ₀	D ₂₅	D ₃₅	D ₆₀	D ₉₀	D ₁₂₀	D ₁₅₀	Revestimento	Base	Sub-base	Sub-leito
(m)	(KN)		(10 ⁻² mm)	(10 ⁻² mm)	(10 ⁻² mm)	(10 ⁻² mm)	(10 ⁻² mm)	(10 ⁻² mm)	(10 ⁻² mm)	kgf/cm ²	kgf/cm ²	kgf/cm ²	kgf/cm ²
132 + 6	2646	30	19,7	11,8	7,8	3,2	2,9	2,6	2,3	22020	2671	5241	2599
132 + 9	2649	30	16,9	10,4	7,0	3,0	2,8	2,3	2,0	26192	3031	5949	2938
134 + 2	2682	30	19,0	11,4	7,8	3,6	3,4	2,7	2,3	25219	2738	5374	2500
134 + 6	2686	30	18,1	10,8	7,3	3,0	2,3	2,3	2,0	35313	2689	5277	2918
136 + 3	2723	30	26,2	15,6	10,3	4,2	3,6	2,9	2,4	15694	1856	3642	2312
136 + 9	2729	30	21,4	13,4	9,3	4,2	2,7	2,7	2,4	18854	2362	4635	2504
138 + 4	2764	30	19,6	11,9	8,2	3,9	2,7	2,5	2,3	22025	2583	5070	2696
138 + 7	2767	30	19,5	11,7	8,0	3,9	2,8	2,8	2,3	20692	2705	5308	2414
140 + 1	2801	30	19,3	11,2	7,6	3,4	2,2	2,2	1,8	21242	2659	5218	3058
140 + 4	2804	30	26,6	17,2	12,6	6,4	3,9	3,4	2,8	24850	1616	3172	1966

Segmento homogêneo 04 - TDR Sul a Curva do Boi - 30kN													
Estaca	EXT.	CARGA	BACIAS DEFLECTOMÉTRICAS							MÓDULO DE RESILIÊNCIA			
			D ₀	D ₂₅	D ₃₅	D ₆₀	D ₉₀	D ₁₂₀	D ₁₅₀	Revestimento	Base	Sub-base	Sub-leito
(m)	(KN)		(10 ⁻² mm)	(10 ⁻² mm)	(10 ⁻² mm)	(10 ⁻² mm)	(10 ⁻² mm)	(10 ⁻² mm)	(10 ⁻² mm)	kgf/cm ²	kgf/cm ²	kgf/cm ²	kgf/cm ²
142 + 6	2846	30	25,7	16,5	12,0	6,0	3,6	3,5	2,6	17539	1867	3664	1927
142 + 6	2846	30	19,8	12,1	8,3	4,1	2,9	2,9	2,5	20378	2615	5133	2331
144 + 4	2884	30	40,8	27,3	18,7	7,0	3,2	2,9	2,6	14554	669	1314	2148
144 + 5	2885	29	19,8	11,9	8,3	4,0	3,8	3,1	2,7	20378	2659	5219	2181
145 + 18	2918	30	26,6	18,2	13,3	6,1	3,3	2,9	2,4	25129	1254	2461	2249
145 + 19	2919	30	30,0	19,8	14,1	6,9	3,2	3,1	2,7	21236	1150	2255	2103
147 + 19	2959	30	26,2	17,9	13,3	6,6	3,8	3,6	3,1	20056	1604	3148	1861
148 + 0	2960	30	25,4	16,7	12,1	5,9	3,7	3,7	3,2	22013	1832	3597	1821
150 + 2	3002	30	20,8	14,2	10,3	4,9	3,2	3,1	2,7	19398	2229	4374	2181

Segmento homogêneo 04 - TDR Sul a Curva do Boi - 30kN													
Estaca	EXT. (m)	CARGA (kN)	BACIAS DEFLECTOMÉTRICAS							MÓDULO DE RESILIÊNCIA			
			D ₀ (10 ⁻² mm)	D ₂₅ (10 ⁻² mm)	D ₃₅ (10 ⁻² mm)	D ₆₀ (10 ⁻² mm)	D ₉₀ (10 ⁻² mm)	D ₁₂₀ (10 ⁻² mm)	D ₁₅₀ (10 ⁻² mm)	Revestimento kgf/cm ²	Base kgf/cm ²	Sub-base kgf/cm ²	Sub-leito kgf/cm ²
150 + 4	3004	30	26,2	16,6	11,8	5,4	4,5	3,8	3,2	20180	1916	3760	1779
152 + 7	3047	30	26,0	16,6	12,0	6,1	4,8	4,4	3,9	23186	2205	4325	1552
152 + 7	3047	30	28,6	19,0	13,7	6,6	4,3	4,3	3,8	19996	1639	3215	1570
154 + 5	3085	30	23,0	14,7	10,6	5,3	4,9	4,3	3,8	25762	2823	5540	1599
154 + 7	3087	30	25,3	16,9	12,2	6,0	4,2	4,2	3,7	24708	1994	3912	1618
156 + 1	3121	30	23,3	15,0	10,8	5,6	5,1	4,4	3,8	26021	2769	5434	1563
156 + 8	3128	30	23,0	14,2	10,2	5,2	3,9	3,7	3,2	25476	2527	4960	1844
158 + 2	3162	30	23,9	15,9	11,6	5,8	3,5	3,4	2,7	24532	1872	3675	1978
158 + 6	3166	30	26,5	18,0	13,1	6,3	3,9	3,5	2,8	21789	1575	3091	1911
160 + 3	3203	30	33,0	21,4	15,0	6,7	3,8	3,4	2,8	18971	1078	2115	1920
160 + 6	3206	30	27,8	18,6	13,5	6,3	3,8	3,6	3,0	16253	1578	3097	1865
162 + 1	3241	30	31,0	20,5	15,1	7,7	4,6	4,3	3,6	18719	1439	2825	1563
162 + 6	3246	30	34,4	22,5	16,0	7,3	4,5	4,2	3,5	12789	1282	2517	1597
164 + 4	3284	30	28,3	19,0	14,2	7,5	4,5	4,2	3,6	24893	1541	3026	1600
164 + 5	3285	30	31,8	21,0	15,3	7,4	4,5	4,0	3,5	17685	1339	2629	1671
166 + 3	3323	30	28,4	18,9	14,0	7,3	4,5	4,2	3,5	24692	1555	3051	1601
166 + 4	3324	30	30,4	19,7	13,9	6,0	3,6	3,5	3,0	14181	1431	2809	1910
168 + 1	3361	30	22,8	14,8	10,5	4,9	3,5	3,3	2,8	17697	2138	4196	2048
168 + 12	3372	30	25,2	16,8	12,1	5,7	3,4	3,4	2,8	18120	1786	3506	1978
170 + 3	3403	30	28,2	17,9	13,1	6,4	3,8	3,8	3,2	23675	1611	3163	1764
170 + 9	3409	30	28,8	18,6	13,0	5,9	3,6	3,3	2,7	14925	1514	2973	2026
172 + 5	3445	30	34,3	22,0	15,1	6,3	3,6	3,2	2,7	15549	1025	2012	2032

Segmento homogêneo 04 - TDR Sul a Curva do Boi - 30kN													
Estaca	EXT. (m)	CARGA (kN)	BACIAS DEFLECTOMÉTRICAS							MÓDULO DE RESILIÊNCIA			
			D ₀ (10 ⁻² mm)	D ₂₅ (10 ⁻² mm)	D ₃₅ (10 ⁻² mm)	D ₆₀ (10 ⁻² mm)	D ₉₀ (10 ⁻² mm)	D ₁₂₀ (10 ⁻² mm)	D ₁₅₀ (10 ⁻² mm)	Revestimento kgf/cm ²	Base kgf/cm ²	Sub-base kgf/cm ²	Sub-leito kgf/cm ²
172 + 12	3452	30	31,2	19,7	13,6	6,0	3,4	3,2	2,6	14470	1273	2498	2062
174 + 2	3482	30	26,0	16,8	12,1	5,7	3,3	3,0	2,6	21825	1530	3005	2207
174 + 7	3487	30	31,2	19,3	13,3	5,4	3,1	3,1	2,8	14074	1293	2536	2126
176 + 1	3521	30	29,5	19,4	13,9	6,2	2,9	2,8	2,3	17756	1130	2217	2311
176 + 3	3523	30	37,3	25,1	17,5	7,1	3,1	2,5	2,0	17581	663	1302	2424
178 + 1	3561	30	35,3	23,6	16,8	7,6	3,8	3,2	2,4	18978	835	1640	1987
178 + 8	3568	30	28,1	17,6	11,9	4,9	2,8	2,7	2,3	15717	1375	2697	2432
179 + 18	3598	30	17,4	12,3	9,6	5,5	3,7	3,7	3,1	39319	2444	4798	1819
180 + 3	3603	30	20,1	14,3	11,0	6,0	3,8	3,5	3,0	40280	2179	4277	1931
182 + 3	3643	30	20,1	13,5	10,0	5,0	3,0	3,0	2,3	20074	2344	4601	2253
182 + 5	3645	30	16,0	11,0	8,0	3,7	2,8	2,3	1,9	37253	2669	5238	2918

Segmento homogêneo 01 - TDR Sul a Curva do Boi - 41kN													
Estaca	EXT. (m)	CARGA (kN)	BACIAS DEFLECTOMÉTRICAS							MÓDULO DE RESILIÊNCIA			
			D ₀ (10 ⁻² mm)	D ₂₅ (10 ⁻² mm)	D ₃₅ (10 ⁻² mm)	D ₆₀ (10 ⁻² mm)	D ₉₀ (10 ⁻² mm)	D ₁₂₀ (10 ⁻² mm)	D ₁₅₀ (10 ⁻² mm)	Revestimento kgf/cm ²	Base kgf/cm ²	Sub-base kgf/cm ²	Sub-leito kgf/cm ²
0 + 0	0	42	36,6	25,1	18,6	9,2	5,0	3,8	3,1	25846	1114	2186	2260
0 + 0	0	42	35,0	22,7	16,5	8,1	4,6	3,5	2,8	23667	1328	2608	2479
2 + 0	40	41	40,5	25,3	17,6	7,3	3,7	2,9	2,5	19526	967	1898	2866
2 + 5	45	42	36,2	23,5	17,1	7,9	3,9	2,7	2,2	24996	995	1955	3051
3 + 19	79	41	33,8	22,1	16,2	7,6	3,8	2,9	2,3	25423	1175	2308	2913
4 + 2	82	41	38,6	22,8	15,6	6,4	3,4	2,8	2,4	18915	1135	2226	3008
8 + 0	160	41	45,7	31,1	23,2	11,2	5,6	4,0	3,2	21653	783	1539	2090
8 + 3	163	41	31,4	19,1	13,4	6,0	3,6	3,1	2,7	24744	1654	3247	2817
10 + 0	200	42	46,9	32,6	24,8	12,3	6,3	4,5	3,7	22019	772	1516	1875
10 + 0	200	41	48,1	32,1	23,3	11,0	5,4	4,1	3,4	19837	764	1499	2039
12 + 2	242	41	42,5	28,5	21,1	10,4	5,6	4,1	3,3	21302	956	1877	2084
12 + 3	243	41	47,7	32,8	24,7	12,4	6,5	4,8	3,7	21313	804	1578	1774
14 + 0	280	41	48,8	31,6	22,8	11,1	6,0	4,5	3,4	17542	869	1704	1899
14 + 8	288	42	48,0	32,9	24,4	11,5	5,3	3,6	2,7	23992	634	1244	2240
16 + 1	321	41	60,8	39,0	27,9	12,7	6,3	4,4	3,6	14561	598	1174	1869
16 + 4	324	40	49,5	34,7	26,1	12,9	6,6	4,8	3,9	21214	723	1420	1758
18 + 4	364	41	48,2	31,9	23,9	12,2	6,5	4,5	3,5	20748	803	1576	1880
20 + 2	402	41	54,9	37,3	27,2	13,2	6,9	4,9	3,8	17989	662	1301	1713
20 + 5	405	40	39,5	26,5	19,4	9,0	4,7	3,6	3,1	23769	963	1891	2345
22 + 2	442	41	30,5	18,3	12,6	5,1	2,7	2,3	2,1	24578	1425	2797	3669

Segmento homogêneo 02 - TDR Sul a Curva do Boi - 41kN													
Estaca	EXT. (m)	CARGA (kN)	BACIAS DEFLECTOMÉTRICAS							MÓDULO DE RESILIÊNCIA			
			D ₀ (10 ⁻² mm)	D ₂₅ (10 ⁻² mm)	D ₃₅ (10 ⁻² mm)	D ₆₀ (10 ⁻² mm)	D ₉₀ (10 ⁻² mm)	D ₁₂₀ (10 ⁻² mm)	D ₁₅₀ (10 ⁻² mm)	Revestimento kgf/cm ²	Base kgf/cm ²	Sub-base kgf/cm ²	Sub-leito kgf/cm ²
22 + 6	446	41	31,5	19,3	13,2	5,4	2,8	2,4	2,1	24544	1335	2618	3508
24 + 2	482	41	32,7	19,4	13,5	5,2	2,5	2,3	1,9	22415	1306	2562	3644
26 + 4	524	41	33,0	20,3	13,9	5,4	2,9	2,5	2,1	22385	1319	2588	3396
27 + 19	559	41	27,7	16,7	11,6	4,8	2,4	1,9	1,7	28593	1443	2829	4356
30 + 0	600	42	33,5	20,9	14,5	5,9	2,7	2,3	2,0	23490	1146	2250	3592
30 + 4	604	41	32,7	19,6	13,2	5,0	2,7	2,2	1,8	22686	1251	2454	3777
34 + 1	681	40	42,2	28,1	20,8	9,9	5,4	4,2	3,5	21347	997	1958	2044
36 + 3	723	40	31,7	20,7	14,6	6,3	3,2	2,5	2,0	26812	1197	2350	3341
38 + 3	763	40	24,1	15,1	10,8	4,8	2,5	1,9	1,6	33226	1703	3343	4431
38 + 3	763	41	24,9	15,2	10,5	4,5	2,4	2,1	1,7	30126	1881	3693	4093
40 + 1	801	41	25,0	15,4	11,0	5,0	2,7	2,2	1,8	31662	1815	3563	3893
42 + 0	840	41	34,4	23,4	17,4	8,3	4,3	3,2	2,5	26708	1122	2202	2650
42 + 6	846	40	28,8	19,9	15,2	8,2	4,8	3,2	2,5	38133	1377	2701	2689
44 + 1	881	42	32,9	20,5	14,6	6,8	3,7	2,9	2,3	23496	1409	2764	2970
44 + 3	883	42	32,6	21,6	15,9	7,5	3,8	2,7	2,1	28861	1125	2208	3087
46 + 0	920	41	30,2	19,2	13,8	6,4	3,3	2,5	2,0	27228	1360	2670	3381
46 + 2	922	41	38,3	25,1	18,4	9,1	4,5	3,3	2,6	24117	1004	1970	2547
47 + 19	959	41	44,5	30,2	22,6	10,7	5,0	3,5	2,9	23747	739	1450	2337
47 + 19	959	41	34,3	22,9	17,1	8,6	4,7	3,6	2,7	26606	1266	2483	2400
50 + 4	1004	40	28,7	19,0	14,3	7,6	4,8	3,6	2,9	30794	1906	3740	2469
50 + 6	1006	41	32,7	22,1	16,4	8,3	4,8	3,8	3,0	27459	1450	2847	2307
52 + 6	1046	41	30,9	21,1	16,2	8,6	4,9	3,6	2,9	31114	1444	2836	2421
52 + 8	1048	41	32,7	21,5	16,3	8,8	5,2	4,0	3,2	27207	1583	3107	2207
54 + 2	1082	41	29,9	20,0	14,9	7,5	4,3	3,3	2,7	29289	1563	3069	2645

Segmento homogêneo 02 - TDR Sul a Curva do Boi - 41kN													
Estaca	EXT. (m)	CARGA (kN)	BACIAS DEFLECTOMÉTRICAS							MÓDULO DE RESILIÊNCIA			
			D ₀ (10 ⁻² mm)	D ₂₅ (10 ⁻² mm)	D ₃₅ (10 ⁻² mm)	D ₆₀ (10 ⁻² mm)	D ₉₀ (10 ⁻² mm)	D ₁₂₀ (10 ⁻² mm)	D ₁₅₀ (10 ⁻² mm)	Revestimento kgf/cm ²	Base kgf/cm ²	Sub-base kgf/cm ²	Sub-leito kgf/cm ²
54 + 11	1091	42	32,1	21,9	16,4	8,3	4,5	3,3	2,6	29201	1275	2502	2603
56 + 4	1124	41	29,8	19,6	14,7	7,2	3,9	2,9	2,4	29597	1427	2800	2957
56 + 4	1124	41	28,8	19,4	14,6	7,3	3,9	2,9	2,3	31855	1439	2823	2958
58 + 1	1161	41	30,8	19,4	14,1	6,7	3,5	2,9	2,4	26784	1473	2891	2965
58 + 1	1161	41	25,9	16,8	12,0	5,7	3,4	2,7	2,3	32351	1843	3617	3227
60 + 0	1200	41	29,3	18,3	13,2	6,1	3,2	2,5	2,1	27451	1478	2900	3406
60 + 3	1203	41	29,1	17,5	12,0	5,3	3,0	2,6	2,2	25756	1712	3360	3330
62 + 0	1240	41	24,6	14,8	10,5	4,8	2,9	2,4	2,0	31169	2138	4195	3639
62 + 5	1245	41	28,7	18,8	14,0	6,7	3,5	2,7	2,2	30394	1460	2867	3165
64 + 2	1282	41	27,4	18,0	13,2	6,3	3,5	2,6	2,1	32016	1530	3003	3290
64 + 4	1284	41	24,3	14,9	10,6	5,0	2,8	2,4	2,0	32226	2105	4133	3634
66 + 3	1323	41	32,0	20,3	14,7	6,7	3,5	2,7	2,4	27201	1269	2492	3124
66 + 5	1325	41	31,8	20,4	14,8	7,0	3,7	2,9	2,4	26516	1347	2645	2945
68 + 3	1363	41	31,3	19,8	13,9	6,3	3,5	2,9	2,3	25355	1483	2912	2978
68 + 6	1366	42	36,0	24,2	18,0	8,6	4,3	3,3	2,7	26947	1052	2065	2558
70 + 1	1401	41	30,0	18,7	13,5	6,3	3,6	2,5	2,3	32356	1325	2600	3355
70 + 13	1413	41	33,2	22,4	16,7	8,2	4,2	3,1	2,4	29442	1144	2246	2727
72 + 3	1443	41	30,7	19,6	14,4	6,9	3,7	2,9	2,3	27417	1442	2830	2960
72 + 7	1447	41	28,0	18,0	13,0	5,8	2,9	2,2	1,7	29665	1394	2734	3805
74 + 0	1480	41	30,3	18,7	13,1	5,7	2,8	2,1	1,7	25578	1300	2551	3950
74 + 2	1482	41	28,1	19,1	14,2	7,4	4,6	3,6	3,0	33123	1784	3502	2453
75 + 18	1518	41	39,8	25,8	18,0	7,8	3,8	2,7	2,1	22664	865	1698	3001
76 + 2	1522	41	41,7	27,0	19,4	9,3	5,4	4,3	3,5	19999	1140	2239	2026
78 + 0	1560	40	36,3	23,5	16,8	7,8	4,3	3,4	2,7	23623	1179	2315	2517

Segmento homogêneo 02 - TDR Sul a Curva do Boi - 41kN													
Estaca	EXT. (m)	CARGA (kN)	BACIAS DEFLECTOMÉTRICAS							MÓDULO DE RESILIÊNCIA			
			D ₀ (10 ⁻² mm)	D ₂₅ (10 ⁻² mm)	D ₃₅ (10 ⁻² mm)	D ₆₀ (10 ⁻² mm)	D ₉₀ (10 ⁻² mm)	D ₁₂₀ (10 ⁻² mm)	D ₁₅₀ (10 ⁻² mm)	Revestimento kgf/cm ²	Base kgf/cm ²	Sub-base kgf/cm ²	Sub-leito kgf/cm ²
78 + 7	1567	41	28,5	17,2	12,1	5,6	3,4	2,8	2,3	27035	1843	3617	3121
79 + 19	1599	41	30,4	20,8	15,5	7,6	4,0	3,1	2,6	33182	1286	2523	2754
80 + 3	1603	41	41,3	26,2	17,8	7,3	4,1	3,5	2,9	18867	1062	2084	2444
81 + 19	1639	41	32,9	22,2	16,2	7,6	4,4	3,5	2,9	28219	1303	2558	2467
83 + 19	1679	40	37,8	23,3	16,1	7,3	4,5	3,8	3,1	20924	1356	2662	2299
84 + 1	1681	41	36,4	25,3	18,6	8,7	4,7	3,6	3,0	26262	1055	2071	2367
85 + 18	1718	41	38,3	24,9	18,2	8,8	4,9	3,9	3,1	21788	1222	2399	2229
87 + 19	1759	42	38,9	24,5	16,7	6,6	3,4	2,6	2,1	20460	956	1878	3158
88 + 5	1765	41	37,6	25,0	17,8	7,9	4,1	3,1	2,4	23298	999	1961	2702
90 + 0	1800	41	28,8	17,1	12,0	5,2	3,1	2,7	2,3	26030	1823	3579	3229
92 + 1	1841	41	29,8	17,4	12,2	5,3	2,9	2,4	2,0	24330	1598	3137	3564
92 + 8	1848	41	28,3	17,6	12,3	5,4	2,9	2,6	2,2	27537	1685	3306	3327
94 + 1	1881	41	32,5	21,1	15,3	6,8	3,4	2,7	2,3	27912	1180	2315	3103
94 + 4	1884	41	36,5	22,8	16,1	6,8	3,7	3,1	2,5	22027	1183	2323	2745
95 + 19	1919	41	31,3	18,9	13,4	6,0	3,1	2,5	2,1	24294	1419	2784	3398
96 + 0	1920	41	30,5	18,1	12,4	5,2	2,8	2,4	2,0	24269	1492	2927	3543
97 + 19	1959	41	31,7	20,8	15,2	7,0	3,5	2,7	2,2	27204	1239	2431	3123
97 + 19	1959	41	32,2	19,4	13,6	5,9	3,1	2,6	2,2	23571	1395	2735	3272
100 + 1	2001	42	35,1	21,5	15,1	6,5	3,4	2,7	2,2	22031	1204	2364	3121
102 + 0	2040	41	43,8	26,3	18,4	7,8	3,8	3,0	2,4	16989	941	1845	2777
102 + 1	2041	41	37,6	24,6	17,7	7,8	3,7	2,7	2,2	24383	925	1815	3024
106 + 1	2121	41	33,6	20,0	13,0	4,3	2,1	1,9	1,6	20278	1188	2330	4331

Segmento homogêneo 03 - TDR Sul a Curva do Boi - 41kN													
Estaca	EXT.	CARGA	BACIAS DEFLECTOMÉTRICAS							MÓDULO DE RESILIÊNCIA			
			D ₀	D ₂₅	D ₃₅	D ₆₀	D ₉₀	D ₁₂₀	D ₁₅₀	Revestimento	Base	Sub-base	Sub-leito
(m)	(KN)		(10 ⁻² mm)	(10 ⁻² mm)	(10 ⁻² mm)	(10 ⁻² mm)	(10 ⁻² mm)	(10 ⁻² mm)	(10 ⁻² mm)	kgf/cm ²	kgf/cm ²	kgf/cm ²	kgf/cm ²
108 + 2	2162	41	33,1	19,9	13,5	5,3	2,8	2,5	2,0	21811	1367	2682	3405
110 + 1	2201	41	33,6	20,9	14,6	6,2	3,4	2,9	2,3	22853	1366	2682	2964
110 + 3	2203	41	32,9	18,2	12,0	5,0	3,1	2,8	2,3	19343	1327	7560	3150
112 + 0	2240	41	30,0	17,7	12,0	5,1	3,1	2,8	2,3	23307	1531	5866	3149
112 + 2	2242	41	25,9	15,6	10,9	4,7	2,6	2,2	1,7	29458	1791	3514	3891
114 + 0	2280	41	21,0	13,0	9,2	4,2	2,6	2,3	1,9	36288	2224	8521	3858
114 + 1	2281	41	23,0	13,0	9,2	4,3	2,5	2,2	1,7	30713	2480	4868	3979
116 + 0	2320	42	40,2	23,0	15,4	6,1	3,4	2,8	2,4	17292	1129	2217	3011
116 + 5	2325	41	26,8	15,8	10,8	4,5	2,4	2,1	1,8	27347	1715	3368	4052
118 + 1	2361	41	24,1	14,5	9,9	3,9	2,1	1,9	1,6	30048	1576	6038	4526
120 + 0	2400	41	26,0	13,9	9,2	3,5	2,0	1,8	1,5	23303	1685	6456	4808
122 + 4	2444	41	29,2	17,0	11,5	4,5	2,4	2,2	1,9	23590	1346	5160	3910
124 + 3	2483	41	32,2	19,1	12,7	4,9	2,6	2,4	1,9	21934	1172	4490	3570
124 + 4	2484	41	29,7	17,6	11,9	4,7	2,6	2,4	2,0	23528	1248	7113	3625
126 + 2	2522	40	23,0	13,1	8,6	3,4	2,0	1,8	1,5	29083	1824	6990	4816
126 + 5	2525	41	28,1	16,7	11,8	5,5	3,1	2,6	2,1	26932	1792	3518	3331
127 + 18	2558	41	21,8	12,4	8,0	3,0	1,8	1,8	1,6	31985	2410	4729	4810
128 + 6	2566	41	21,8	12,1	7,9	3,1	1,9	1,8	1,4	31244	2516	4938	4821
130 + 0	2600	41	22,9	13,6	9,2	3,6	2,0	1,9	1,7	31801	2129	4179	4532
130 + 3	2603	41	21,1	12,0	8,2	3,3	2,0	2,0	1,7	34175	2712	5322	4383
132 + 1	2641	41	20,3	12,5	8,7	3,9	2,4	2,1	1,8	39235	2576	5055	4171
132 + 6	2646	40	24,8	14,6	9,8	3,9	2,3	2,2	1,8	29564	2078	4078	3946
134 + 1	2681	41	24,8	15,1	10,6	4,7	2,6	2,3	1,9	30859	2009	3943	3774
134 + 7	2687	42	25,1	14,8	10,2	4,5	2,7	2,4	2,0	29806	2147	4214	3641

Segmento homogêneo 03 - TDR Sul a Curva do Boi - 41kN													
Estaca	EXT.	CARGA	BACIAS DEFLECTOMÉTRICAS							MÓDULO DE RESILIÊNCIA			
			D ₀	D ₂₅	D ₃₅	D ₆₀	D ₉₀	D ₁₂₀	D ₁₅₀	Revestimento	Base	Sub-base	Sub-leito
(m)	(KN)		(10 ⁻² mm)	(10 ⁻² mm)	(10 ⁻² mm)	(10 ⁻² mm)	(10 ⁻² mm)	(10 ⁻² mm)	(10 ⁻² mm)	kgf/cm ²	kgf/cm ²	kgf/cm ²	kgf/cm ²
136 + 3	2723	41	29,7	18,9	13,4	6,0	3,4	2,8	2,3	26983	1564	3070	3088
136 + 9	2729	41	29,3	18,0	12,3	5,4	3,1	2,7	2,1	26304	1667	3272	3210
138 + 2	2762	41	25,1	15,6	10,9	5,3	3,4	2,9	2,4	33058	2207	4330	3046
138 + 8	2768	41	32,6	19,2	13,3	6,0	3,7	2,9	2,5	22781	1532	3006	2979
139 + 18	2798	41	23,3	14,6	10,5	5,0	2,7	2,4	1,9	34689	2168	4256	3641
140 + 3	2803	42	34,2	21,9	15,8	7,9	4,5	3,4	2,5	24423	1370	2687	2546
142 + 0	2840	41	30,4	19,1	13,6	6,2	3,6	3,1	2,5	26585	1643	3224	2815
Segmento homogêneo 04 - TDR Sul a Curva do Boi - 41kN													
Estaca	EXT.	CARGA	BACIAS DEFLECTOMÉTRICAS							MÓDULO DE RESILIÊNCIA			
			D ₀	D ₂₅	D ₃₅	D ₆₀	D ₉₀	D ₁₂₀	D ₁₅₀	Revestimento	Base	Sub-base	Sub-leito
(m)	(KN)		(10 ⁻² mm)	(10 ⁻² mm)	(10 ⁻² mm)	(10 ⁻² mm)	(10 ⁻² mm)	(10 ⁻² mm)	(10 ⁻² mm)	kgf/cm ²	kgf/cm ²	kgf/cm ²	kgf/cm ²
143 + 14	2874	41	56,6	37,1	26,2	10,4	3,9	2,9	2,6	17667	513	1007	2607
144 + 3	2883	41	40,1	24,8	17,2	7,5	3,8	3,1	2,6	19568	1039	2037	2716
145 + 18	2918	40	51,1	36,1	27,3	13,0	5,4	3,3	2,5	27195	485	950	2342
146 + 5	2925	41	33,9	21,7	15,7	7,3	3,7	3,0	2,5	26137	1212	2379	2826
148 + 0	2960	42	37,0	25,2	19,2	9,6	5,0	3,8	3,4	31548	1004	1972	2237
148 + 3	2963	41	32,6	21,9	16,6	8,5	4,8	3,9	3,3	29658	1458	2861	2245
150 + 2	3002	41	34,6	22,3	16,6	8,1	4,5	3,7	3,1	25166	1368	2686	2352
150 + 6	3006	41	28,4	18,8	13,7	6,7	4,1	3,5	3,0	31604	1808	3550	2523
151 + 19	3039	41	49,0	32,6	23,8	11,1	5,5	4,3	3,8	20656	749	1471	1948
152 + 5	3045	42	35,7	23,0	16,4	7,8	5,0	4,5	3,9	24539	1603	3145	1978
154 + 5	3085	41	30,7	19,5	14,0	7,1	4,9	4,5	3,9	29962	2055	4033	1996
155 + 19	3119	43	29,2	20,0	15,3	8,3	5,1	4,2	3,7	32080	1899	3726	2128
156 + 18	3138	41	31,0	19,7	14,1	6,7	4,0	3,7	3,2	27627	1837	3605	2402

Segmento homogêneo 04 - TDR Sul a Curva do Boi - 41kN													
Estaca	EXT. (m)	CARGA (kN)	BACIAS DEFLECTOMÉTRICAS							MÓDULO DE RESILIÊNCIA			
			D ₀ (10 ⁻² mm)	D ₂₅ (10 ⁻² mm)	D ₃₅ (10 ⁻² mm)	D ₆₀ (10 ⁻² mm)	D ₉₀ (10 ⁻² mm)	D ₁₂₀ (10 ⁻² mm)	D ₁₅₀ (10 ⁻² mm)	Revestimento kgf/cm ²	Base kgf/cm ²	Sub-base kgf/cm ²	Sub-leito kgf/cm ²
157 + 16	3156	42	34,8	23,8	17,7	8,8	5,1	4,1	3,2	26194	1345	2639	2138
158 + 10	3170	41	37,5	24,3	17,4	8,1	4,6	3,8	3,1	22142	1252	2457	2287
160 + 7	3207	42	46,7	31,5	22,6	10,2	5,2	4,1	3,3	19287	812	1592	2056
160 + 8	3208	41	38,2	24,9	17,9	8,3	4,5	3,7	3,0	22775	1130	2218	2321
162 + 6	3246	42	46,2	31,4	23,3	11,5	6,2	4,8	4,1	20217	899	1765	1793
162 + 8	3248	41	42,3	27,7	20,1	9,6	5,5	4,6	3,8	20221	1140	2236	1899
164 + 0	3280	41	36,8	25,7	19,4	9,8	5,5	4,3	3,6	26983	1159	2275	2020
164 + 9	3289	40	32,7	22,8	17,3	9,1	5,4	4,3	3,6	29390	1487	2918	2054
166 + 3	3323	41	37,6	25,8	19,0	9,1	4,8	3,8	3,1	25057	1064	2088	2252
166 + 7	3327	42	41,2	26,6	19,0	8,8	4,8	4,0	3,2	20844	1070	2100	2151
168 + 1	3361	40	26,9	16,1	11,4	5,4	3,5	3,1	2,5	29760	2208	4335	2860
168 + 6	3366	41	35,6	23,9	17,6	8,4	4,4	3,5	3,0	27296	1117	2191	2435
170 + 0	3400	41	39,3	25,5	18,3	8,5	4,5	3,7	3,0	21907	1088	2136	2313
170 + 3	3403	41	47,2	29,5	20,4	8,5	4,4	3,6	3,0	16860	858	1684	2330
172 + 0	3440	41	42,6	25,3	17,7	8,0	4,2	3,3	2,7	17372	1057	2074	2571
172 + 3	3443	41	48,0	31,2	22,0	9,3	4,4	3,4	2,8	17422	752	1478	2420
174 + 2	3482	41	49,0	29,9	20,9	9,1	4,7	3,4	3,1	17381	787	1546	2423
174 + 5	3485	41	42,5	27,1	19,1	7,9	3,6	2,9	2,3	20613	839	1648	2810
176 + 0	3520	41	41,3	27,2	19,7	8,6	3,8	2,8	2,1	25621	767	1506	2854
176 + 3	3523	41	50,2	32,9	23,7	10,2	4,3	2,9	2,2	21840	589	1156	2662
177 + 19	3559	41	47,2	30,4	21,8	9,7	4,5	3,1	2,4	20236	710	1393	2589
178 + 8	3568	41	36,2	23,3	16,7	8,1	4,9	4,2	3,5	23703	1435	2817	2097
180 + 2	3602	41	25,7	17,7	13,2	6,7	4,0	3,4	3,0	37051	1945	3817	2603
181 + 19	3639	41	27,5	18,2	13,5	6,5	3,4	2,7	2,2	32388	1536	3014	3178

Segmento homogêneo 01 - TDR Sul a Curva do Boi - 80kN													
Estaca	EXT. (m)	CARGA (kN)	BACIAS DEFLECTOMÉTRICAS							MÓDULO DE RESILIÊNCIA			
			D ₀ (10 ⁻² mm)	D ₂₅ (10 ⁻² mm)	D ₃₅ (10 ⁻² mm)	D ₆₀ (10 ⁻² mm)	D ₉₀ (10 ⁻² mm)	D ₁₂₀ (10 ⁻² mm)	D ₁₅₀ (10 ⁻² mm)	Revestimento kgf/cm ²	Base kgf/cm ²	Sub-base kgf/cm ²	Sub-leito kgf/cm ²
0 + 0	0	80	87,7	60,6	45,5	22,6	11,1	7,6	6,0	24975	761	1493	2181
0 + 0	0	81	88,3	64,3	49,6	25,7	12,4	8,2	6,6	29767	672	1319	2020
2 + 0	40	80	78,9	54,2	40,8	20,1	9,2	5,5	4,2	33855	690	1351	2871
2 + 1	41	80	92,6	62,0	45,7	21,6	9,4	6,0	4,8	25063	630	1236	2618
4 + 0	80	80	77,6	53,8	41,1	21,2	10,0	6,1	4,7	34920	731	1433	2648
4 + 1	81	80	81,0	54,3	39,6	18,2	8,0	5,3	4,4	27264	739	1450	2977
6 + 1	121	80	98,5	71,3	54,7	27,7	13,1	7,7	5,4	33347	481	941	2091
6 + 7	127	80	85,1	55,2	39,8	18,4	9,5	7,2	5,9	19934	941	1845	2346
7 + 19	159	80	115,4	78,7	59,0	29,1	13,6	8,5	6,3	22572	495	974	1882
8 + 6	166	80	71,0	45,3	32,7	15,8	8,3	6,2	5,1	23427	1187	2329	2743
10 + 1	201	80	103,8	75,7	59,0	31,5	15,7	10,1	7,7	26946	569	1115	1650
10 + 2	202	79	112,1	76,5	57,4	28,4	13,5	8,6	6,7	21417	543	1064	1882
12 + 1	241	79	111,0	79,9	61,5	32,9	17,0	10,7	7,8	26656	521	1023	1558
12 + 2	242	80	97,2	67,5	51,4	27,1	13,8	9,0	6,8	25486	673	1320	1853
14 + 1	281	80	112,3	77,9	59,1	31,0	15,6	10,0	7,3	23862	546	1071	1653
14 + 2	282	80	107,4	76,4	58,8	30,4	14,6	9,1	6,6	27929	501	984	1795
16 + 1	321	80	121,8	83,7	63,1	31,7	14,9	9,2	6,8	22485	459	900	1744
16 + 3	323	80	129,5	92,1	70,7	36,8	17,8	11,0	8,3	21438	436	855	1485
18 + 1	361	80	105,2	74,4	56,9	30,3	15,7	10,2	7,8	24573	611	1198	1641
18 + 4	364	80	131,6	88,6	65,1	31,2	14,7	9,5	7,5	16828	473	926	1693
20 + 0	400	81	103,2	73,0	55,8	28,6	13,9	9,1	7,2	23826	600	1177	1813
20 + 10	410	80	117,7	79,1	58,3	29,0	14,3	9,4	7,4	18650	562	1103	1744
22 + 0	440	82	69,2	44,1	30,9	13,1	6,1	4,6	3,9	25282	1018	1999	3528
22 + 12	452	81	67,1	40,4	28,0	11,9	5,7	4,6	3,9	22281	1222	2397	3620

Segmento homogêneo 01 - TDR Sul a Curva do Boi - 80kN													
Estaca	EXT. (m)	CARGA (kN)	BACIAS DEFLECTOMÉTRICAS							MÓDULO DE RESILIÊNCIA			
			D ₀ (10 ⁻² mm)	D ₂₅ (10 ⁻² mm)	D ₃₅ (10 ⁻² mm)	D ₆₀ (10 ⁻² mm)	D ₉₀ (10 ⁻² mm)	D ₁₂₀ (10 ⁻² mm)	D ₁₅₀ (10 ⁻² mm)	Revestimento kgf/cm ²	Base kgf/cm ²	Sub-base kgf/cm ²	Sub-leito kgf/cm ²
24 + 4	484	81	72,5	47,6	33,2	13,1	5,4	4,2	3,8	25453	862	1692	3728
24 + 12	492	81	64,7	39,9	27,5	11,7	5,7	4,6	4,0	23974	1235	2423	3621
26 + 4	524	80	76,3	47,4	33,4	14,1	6,8	5,5	4,7	21916	1013	1990	3010
26 + 8	528	80	63,5	39,5	27,2	10,6	4,6	3,7	3,2	26438	1095	2148	4313
28 + 2	562	80	65,4	38,4	26,2	10,5	4,6	3,6	3,2	23209	1155	2267	4466
28 + 8	568	80	63,5	41,2	29,4	12,9	5,9	4,1	3,4	30549	1029	2022	3894
30 + 1	601	81	78,5	50,6	36,0	15,4	6,5	4,5	3,9	24504	801	1571	3470
30 + 3	603	80	83,1	52,6	36,4	15,0	7,2	5,5	4,4	19278	884	1734	2977
32 + 4	644	78	118,0	85,2	65,8	35,0	19,1	13,6	10,7	19071	640	1256	1266
32 + 5	645	80	104,8	70,2	51,5	24,5	12,2	8,7	6,7	18313	685	1343	1913
34 + 1	681	80	107,8	74,8	56,0	27,1	12,6	8,6	7,2	21932	566	1115	1891
34 + 2	682	80	132,1	92,3	68,0	32,5	17,0	13,1	10,6	14589	576	1131	1301
36 + 2	722	81	87,3	56,4	39,7	17,2	7,9	5,4	4,3	22056	742	1454	2936
36 + 4	724	81	83,0	54,7	39,9	19,4	11,1	9,0	7,7	21720	1100	2159	1931

Segmento homogêneo 02 - TDR Sul a Curva do Boi - 80kN													
Estaca	EXT. (m)	CARGA (kN)	BACIAS DEFLECTOMÉTRICAS							MÓDULO DE RESILIÊNCIA			
			D ₀ (10 ⁻² mm)	D ₂₅ (10 ⁻² mm)	D ₃₅ (10 ⁻² mm)	D ₆₀ (10 ⁻² mm)	D ₉₀ (10 ⁻² mm)	D ₁₂₀ (10 ⁻² mm)	D ₁₅₀ (10 ⁻² mm)	Revestimento kgf/cm ²	Base kgf/cm ²	Sub-base kgf/cm ²	Sub-leito kgf/cm ²
38 + 3	763	80	59,7	37,3	26,3	11,5	5,6	4,2	3,3	26446	1299	2549	3948
38 + 12	772	81	60,3	30,1	21,1	10,3	5,8	4,5	3,6	18949	2024	3971	3859
40 + 0	800	79	65,6	44,8	33,9	17,7	9,2	6,4	4,8	32576	1129	2217	2644
40 + 19	819	80	61,0	40,5	30,3	15,8	8,2	5,8	4,5	31170	1306	2563	2931
42 + 2	842	80	82,1	56,8	43,2	22,3	10,8	6,9	5,1	32583	725	1421	2373
42 + 10	850	80	85,8	55,6	41,0	20,3	9,7	6,2	5,1	25620	768	1508	2611
44 + 5	885	81	68,3	43,9	32,1	15,6	8,0	5,6	4,5	26083	1137	2232	2991
44 + 6	886	81	69,7	43,5	31,8	15,1	7,7	5,4	4,2	24203	1145	2248	3097
46 + 1	921	80	67,2	43,7	32,5	16,1	7,7	5,1	4,1	31688	1016	1993	3206
46 + 9	929	79	103,0	69,0	51,9	26,5	12,5	7,3	5,3	28131	525	1030	2176
47 + 16	956	79	77,4	51,7	38,7	20,0	10,3	7,1	5,5	26350	968	1898	2373
48 + 11	971	79	84,3	58,8	45,2	24,2	12,4	8,0	6,2	30918	762	1497	2088
50 + 0	1000	81	70,7	47,4	35,9	18,8	10,4	7,5	6,0	26013	1227	2407	2304
50 + 1	1001	79	79,9	56,1	43,8	24,6	13,5	9,0	6,9	31453	922	1805	1906
52 + 1	1041	81	77,1	51,6	39,5	21,9	12,4	8,7	6,7	25383	1149	2256	1996
52 + 1	1041	81	73,1	51,1	39,8	22,3	12,5	8,7	6,6	30904	1114	2185	1991
54 + 2	1082	81	67,6	47,2	36,2	19,6	10,6	7,4	5,5	36705	1079	2118	2309
54 + 3	1083	80	65,6	43,1	32,7	18,0	10,2	7,1	5,7	28729	1364	2678	2440
56 + 1	1121	80	69,1	46,2	34,6	17,7	9,0	6,1	4,8	31187	1032	2024	2738
56 + 4	1124	80	61,8	42,3	32,1	17,0	8,9	6,2	4,9	34754	1217	2386	2740
58 + 3	1163	80	62,7	39,4	28,6	14,6	8,0	5,9	4,8	26229	1454	2853	2917
58 + 6	1166	80	71,9	46,7	34,5	16,7	8,1	5,7	4,7	26812	1013	1986	2906
60 + 1	1201	80	62,7	41,3	30,3	14,5	7,2	5,2	4,2	29691	1185	2325	3210
60 + 6	1206	80	63,4	38,8	27,2	12,7	6,9	5,4	4,5	24635	1420	2786	3162

Segmento homogêneo 02 - TDR Sul a Curva do Boi - 80kN													
Estaca	EXT. (m)	CARGA (kN)	BACIAS DEFLECTOMÉTRICAS							MÓDULO DE RESILIÊNCIA			
			D ₀ (10 ⁻² mm)	D ₂₅ (10 ⁻² mm)	D ₃₅ (10 ⁻² mm)	D ₆₀ (10 ⁻² mm)	D ₉₀ (10 ⁻² mm)	D ₁₂₀ (10 ⁻² mm)	D ₁₅₀ (10 ⁻² mm)	Revestimento kgf/cm ²	Base kgf/cm ²	Sub-base kgf/cm ²	Sub-leito kgf/cm ²
61 + 19	1239	81	56,9	39,6	30,4	16,6	9,1	6,5	5,0	36976	1436	2819	2660
62 + 11	1251	80	58,8	38,1	28,1	14,3	7,8	5,6	4,5	29276	1470	2883	3063
64 + 0	1280	81	54,1	35,7	26,4	13,3	7,1	5,2	4,1	32693	1548	3040	3292
64 + 3	1283	81	63,7	42,8	32,1	16,4	8,1	5,7	4,5	32419	1141	2239	2941
66 + 0	1320	82	78,3	53,2	39,1	18,7	8,8	6,1	4,9	27043	832	1634	2678
66 + 11	1331	80	69,9	44,9	33,1	16,6	8,7	6,2	5,1	25522	1169	2294	2733
68 + 4	1364	81	79,2	53,3	40,2	20,0	9,4	6,7	5,5	26182	883	1732	2479
68 + 18	1378	80	64,8	42,5	31,4	15,9	8,6	6,5	5,3	27238	1347	2642	2650
70 + 15	1415	79	65,2	42,6	31,8	16,2	8,7	6,1	4,9	28300	1251	2456	2790
72 + 1	1441	80	65,9	43,2	31,9	15,4	7,4	5,0	3,9	31552	1033	2029	3271
73 + 4	1464	80	70,2	42,3	29,7	12,7	5,5	3,8	3,1	25147	986	1936	4140
74 + 4	1484	80	72,9	48,0	35,6	18,5	10,4	7,8	6,4	23480	1295	2541	2237
74 + 7	1487	81	64,5	41,8	30,8	16,4	9,5	7,3	5,9	26584	1564	3071	2406
76 + 1	1521	79	109,1	74,7	55,4	25,9	11,1	6,3	4,4	28993	415	819	2406
76 + 4	1524	81	81,5	50,3	34,9	15,1	7,1	5,0	3,9	20298	886	1739	3229
78 + 2	1562	80	102,6	71,5	53,3	25,4	11,9	8,1	6,2	23291	586	1151	2002
78 + 6	1566	79	88,2	60,0	44,6	22,1	11,2	7,8	6,0	24030	795	1560	2140
80 + 1	1601	80	77,3	52,3	39,1	19,2	9,4	6,7	5,5	27121	907	1779	2485
80 + 4	1604	81	84,7	53,7	38,7	17,4	8,7	6,6	5,4	19218	942	1849	2542
82 + 0	1640	80	86,2	57,9	42,8	20,3	10,0	7,5	5,9	22420	851	1671	2234
82 + 8	1648	81	80,3	50,9	36,3	17,0	9,4	7,3	5,9	19708	1139	2236	2362
84 + 0	1680	80	87,6	61,1	46,0	22,4	10,8	7,8	6,4	25498	758	1487	2131
84 + 12	1692	80	84,3	54,9	39,3	18,5	10,0	7,8	6,4	20481	996	1954	2189
86 + 4	1724	80	84,3	59,9	46,0	24,9	12,9	8,6	6,6	28592	926	1817	1984

Segmento homogêneo 02 - TDR Sul a Curva do Boi - 80kN													
Estaca	EXT. (m)	CARGA (kN)	BACIAS DEFLECTOMÉTRICAS							MÓDULO DE RESILIÊNCIA			
			D ₀ (10 ⁻² mm)	D ₂₅ (10 ⁻² mm)	D ₃₅ (10 ⁻² mm)	D ₆₀ (10 ⁻² mm)	D ₉₀ (10 ⁻² mm)	D ₁₂₀ (10 ⁻² mm)	D ₁₅₀ (10 ⁻² mm)	Revestimento kgf/cm ²	Base kgf/cm ²	Sub-base kgf/cm ²	Sub-leito kgf/cm ²
86 + 14	1734	80	88,8	58,6	43,6	22,2	11,5	8,1	6,3	21113	885	1734	2089
88 + 6	1766	81	88,1	59,5	42,4	17,9	8,3	6,1	5,1	22012	726	1426	2638
88 + 14	1774	80	77,5	50,7	37,4	17,8	8,6	5,9	4,8	25284	904	1772	2783
90 + 9	1809	80	65,6	41,1	29,6	13,7	6,5	4,8	4,1	25886	1168	2295	3451
90 + 17	1817	80	91,9	57,2	39,4	15,1	5,5	4,2	3,9	19767	672	1320	3576
92 + 7	1847	80	72,1	47,1	33,8	14,9	6,9	5,1	4,3	25364	960	1883	3195
92 + 14	1854	80	69,1	43,0	30,2	12,8	5,9	4,7	4,1	25701	1060	2082	3473
94 + 4	1884	79	78,9	52,1	39,1	19,5	8,8	5,6	4,5	30298	777	1523	2858
94 + 10	1890	80	78,9	52,7	38,9	18,1	7,7	5,0	4,0	29287	735	1445	3127
96 + 1	1921	80	61,5	38,4	27,2	12,2	6,0	4,6	4,0	27440	1270	2494	3615
96 + 7	1927	80	64,2	41,0	29,9	13,3	5,9	4,2	3,7	30837	1039	2041	3815
98 + 2	1962	81	110,2	71,0	51,3	22,5	8,3	4,7	4,0	21869	469	918	3019
98 + 10	1970	80	98,4	65,3	48,0	21,5	8,0	4,5	3,6	25642	505	994	3189
100 + 4	2004	80	87,0	58,1	41,5	17,2	7,0	4,8	3,9	23769	661	1298	3184
100 + 5	2005	80	71,0	43,7	31,3	14,3	7,2	5,4	4,5	21918	1172	2300	3114
102 + 3	2043	80	82,0	54,0	39,4	17,5	7,3	4,9	4,0	26020	729	1430	3176
102 + 4	2044	80	97,5	63,3	46,0	21,1	8,6	5,3	4,2	24067	577	1132	2860
104 + 3	2083	79	107,7	70,9	51,7	23,8	9,7	5,9	4,7	21823	514	1007	2567
104 + 5	2085	80	108,2	71,9	53,4	25,0	10,0	5,9	4,8	23074	490	962	2549
106 + 3	2123	80	116,0	73,0	51,4	20,4	5,9	3,1	3,0	19590	424	832	3952
106 + 7	2127	81	80,7	50,6	34,3	12,5	5,2	4,2	3,6	19375	834	1636	3746

Segmento homogêneo 03 - TDR Sul a Curva do Boi - 80kN													
Estaca	EXT.	CARGA	BACIAS DEFLECTOMÉTRICAS							MÓDULO DE RESILIÊNCIA			
			D ₀	D ₂₅	D ₃₅	D ₆₀	D ₉₀	D ₁₂₀	D ₁₅₀	Revestimento	Base	Sub-base	Sub-leito
(m)	(kN)		(10 ⁻² mm)	(10 ⁻² mm)	(10 ⁻² mm)	(10 ⁻² mm)	(10 ⁻² mm)	(10 ⁻² mm)	(10 ⁻² mm)	kgf/cm ²	kgf/cm ²	kgf/cm ²	kgf/cm ²
108 + 4	2164	80	77,7	49,2	34,1	14,8	7,2	5,4	4,6	20705	968	1899	3056
108 + 6	2166	81	70,0	41,3	28,7	12,1	5,9	4,7	4,0	20707	1202	2358	3547
109 + 19	2199	80	73,7	46,3	33,4	15,6	8,1	6,1	4,8	21939	1141	2238	2777
110 + 5	2205	79	69,9	41,6	29,1	13,3	7,0	5,4	4,4	21241	1281	2513	3141
112 + 0	2240	80	58,7	38,0	27,4	12,7	6,4	4,6	3,7	30706	1270	2491	3612
112 + 3	2243	80	63,1	38,3	26,1	11,7	6,1	4,8	3,9	24162	1355	2658	3513
114 + 0	2280	80	45,6	26,9	19,0	8,9	5,1	4,1	3,4	32708	2199	4316	4217
114 + 0	2280	80	47,8	29,2	20,7	9,8	5,5	4,5	3,7	33023	2019	3962	3842
116 + 2	2322	80	59,6	37,7	26,3	11,5	5,3	4,1	3,4	26924	1258	2466	4019
116 + 6	2326	81	79,5	50,1	35,7	16,1	7,4	5,4	4,4	21571	917	1799	3027
118 + 3	2363	79	64,6	38,1	26,4	10,9	4,9	3,8	3,3	23644	1194	2345	4274
118 + 5	2365	80	50,0	30,1	20,5	8,6	4,5	3,6	3,1	29997	1683	3304	4656
120 + 0	2400	80	60,2	35,9	24,4	10,1	4,8	3,5	3,2	25835	1250	2454	4617
120 + 7	2407	78	56,8	36,1	25,2	11,0	5,3	4,1	3,4	28550	1340	2630	4044
122 + 5	2445	80	62,5	37,7	25,7	10,3	4,9	3,9	3,4	23841	1246	2446	4208
122 + 11	2451	80	61,4	38,7	26,6	10,4	4,6	3,8	3,4	25833	1167	2291	4266
124 + 4	2484	80	70,9	44,4	31,6	13,7	6,0	4,3	3,7	25533	964	1893	3709
124 + 15	2495	80	73,4	46,1	31,8	12,8	6,0	4,6	3,9	21522	988	1941	3535
126 + 3	2523	80	53,7	34,4	25,6	13,0	6,8	4,8	3,7	33075	1538	3019	3536
126 + 17	2537	80	55,3	32,5	21,5	8,3	4,0	3,2	2,7	25241	1456	2857	5138
128 + 1	2561	80	44,3	24,9	16,9	7,1	3,7	3,1	2,7	31662	2095	4111	5443
128 + 12	2572	80	50,6	30,9	21,6	8,8	4,4	3,2	2,7	31002	1497	2938	5107
130 + 1	2601	80	43,0	25,9	18,0	7,8	4,0	3,3	2,8	36345	1998	3920	5108
130 + 17	2617	80	52,2	31,2	20,9	8,4	4,2	3,5	3,0	28222	1576	3092	4752

Segmento homogêneo 03 - TDR Sul a Curva do Boi - 80kN													
Estaca	EXT.	CARGA	BACIAS DEFLECTOMÉTRICAS							MÓDULO DE RESILIÊNCIA			
			D ₀	D ₂₅	D ₃₅	D ₆₀	D ₉₀	D ₁₂₀	D ₁₅₀	Revestimento	Base	Sub-base	Sub-leito
			(m)	(kN)	(10 ⁻² mm)	kgf/cm ²	kgf/cm ²	kgf/cm ²	kgf/cm ²				
132 + 6	2646	80	49,0	29,8	20,8	9,8	5,7	4,5	3,7	31142	2026	3976	3854
132 + 9	2649	79	49,4	30,4	21,7	10,4	5,7	4,4	3,6	30998	1930	3789	3925
134 + 7	2687	80	55,8	36,1	25,7	11,8	6,1	4,6	3,8	30195	1420	2787	3660
134 + 8	2688	80	60,0	36,9	26,0	11,6	6,0	4,5	3,7	25868	1378	2705	3729
136 + 6	2726	80	63,8	41,5	30,5	14,5	7,4	5,4	4,5	28558	1210	2376	3109
136 + 7	2727	80	63,5	40,6	29,3	14,0	7,4	5,6	4,5	26312	1330	2610	3041
138 + 0	2760	80	55,2	35,7	26,0	13,4	7,8	6,0	4,8	30634	1787	3507	2918
138 + 0	2760	81	50,0	31,3	22,8	11,0	5,9	4,5	3,8	32508	1783	3501	3807
138 + 6	2766	80	66,3	42,5	31,2	15,8	8,6	6,3	5,0	25557	1330	2610	2727
140 + 1	2801	81	83,4	54,2	39,5	18,5	8,5	5,7	4,8	24611	786	1545	2820
140 + 7	2807	80	56,1	34,7	25,6	13,0	7,0	5,0	4,0	28435	1618	3175	3428
142 + 3	2843	80	92,9	61,9	44,5	20,6	9,0	6,0	4,8	23446	649	1273	2629

Segmento homogêneo 04 - TDR Sul a Curva do Boi - 80kN													
Estaca	EXT. (m)	CARGA (kN)	BACIAS DEFLECTOMÉTRICAS							MÓDULO DE RESILIÊNCIA			
			D ₀ (10 ⁻² mm)	D ₂₅ (10 ⁻² mm)	D ₃₅ (10 ⁻² mm)	D ₆₀ (10 ⁻² mm)	D ₉₀ (10 ⁻² mm)	D ₁₂₀ (10 ⁻² mm)	D ₁₅₀ (10 ⁻² mm)	Revestimento kgf/cm ²	Base kgf/cm ²	Sub-base kgf/cm ²	Sub-leito kgf/cm ²
142 + 13	2853	80	67,7	42,5	31,3	15,9	8,5	6,2	5,1	24152	1325	2601	2768
144 + 2	2882	81	97,4	67,1	50,3	24,2	10,8	6,9	5,4	25380	583	1145	2303
144 + 11	2891	79	122,2	84,0	63,1	28,8	10,5	5,8	5,1	22578	377	740	2473
146 + 4	2924	80	84,5	60,0	45,6	22,9	11,1	7,8	6,6	27430	770	1511	2135
146 + 10	2930	80	79,1	54,3	40,9	19,7	9,0	5,9	4,9	29229	764	1500	2730
148 + 4	2964	80	105,2	74,4	56,1	27,5	12,6	8,6	7,3	23421	562	1104	1892
148 + 8	2968	80	82,3	56,1	42,2	21,7	11,2	8,1	6,6	24277	935	1834	2100
150 + 2	3002	80	75,9	53,3	40,8	21,7	12,0	9,1	7,7	26509	1132	2221	1913
150 + 12	3012	80	66,4	43,4	32,4	16,7	9,2	6,9	5,6	26624	1356	2663	2508
152 + 5	3045	80	67,1	46,1	35,0	18,7	10,7	8,4	6,7	27812	1441	2828	2096
152 + 6	3046	80	70,8	47,4	35,8	18,8	10,7	8,7	7,5	26727	1370	2688	2019
154 + 5	3085	80	67,7	44,5	33,4	17,9	11,2	9,4	8,2	26926	1718	3373	1902
154 + 9	3089	80	78,2	54,1	40,0	19,9	10,2	7,3	5,8	26154	919	1805	2305
156 + 6	3126	80	68,4	44,3	33,1	17,1	9,9	7,9	6,9	26037	1451	2847	2220
156 + 11	3131	80	91,6	63,8	47,9	23,4	11,0	7,4	5,9	25987	666	1306	2202
158 + 8	3168	80	86,1	59,5	45,1	23,5	11,9	7,7	6,1	28449	751	1475	2155
158 + 12	3172	79	104,1	73,4	56,0	28,8	14,6	10,1	8,0	21960	657	1289	1663
160 + 2	3202	80	85,7	59,0	44,4	22,5	11,2	7,6	5,9	26955	776	1524	2185
160 + 19	3219	80	88,2	64,7	50,8	28,0	14,8	10,0	7,7	30243	760	1491	1708
162 + 4	3244	80	90,5	62,1	48,3	25,9	14,1	10,0	7,8	22577	910	1786	1726
162 + 14	3254	81	101,6	71,2	53,7	26,7	12,6	8,5	6,9	23724	604	1185	1928
164 + 6	3286	80	81,3	58,2	45,2	24,8	13,3	9,2	7,4	29171	906	1777	1864
164 + 17	3297	81	67,6	45,6	33,5	16,6	8,4	6,0	4,9	28825	1090	2136	2798
166 + 7	3327	80	97,4	64,8	47,9	23,3	11,6	8,0	6,6	20801	724	1419	2072

Segmento homogêneo 04 - TDR Sul a Curva do Boi - 80kN													
Estaca	EXT. (m)	CARGA (kN)	BACIAS DEFLECTOMÉTRICAS							MÓDULO DE RESILIÊNCIA			
			D ₀ (10 ⁻² mm)	D ₂₅ (10 ⁻² mm)	D ₃₅ (10 ⁻² mm)	D ₆₀ (10 ⁻² mm)	D ₉₀ (10 ⁻² mm)	D ₁₂₀ (10 ⁻² mm)	D ₁₅₀ (10 ⁻² mm)	Revestimento kgf/cm ²	Base kgf/cm ²	Sub-base kgf/cm ²	Sub-leito kgf/cm ²
166 + 9	3329	80	95,6	67,3	49,9	23,2	10,2	6,8	5,6	25670	581	1140	2330
168 + 9	3369	80	78,3	51,9	38,6	19,4	9,8	6,9	5,6	25644	949	1861	2430
168 + 9	3369	79	113,7	79,0	59,7	29,4	13,2	8,0	5,9	24226	465	913	1973
170 + 5	3405	81	99,2	67,6	49,3	22,4	10,0	6,5	5,3	23090	581	1139	2417
170 + 12	3412	80	104,4	71,3	52,9	25,5	11,6	7,3	5,6	23185	553	1086	2175
172 + 1	3441	80	105,1	70,4	51,9	23,6	9,8	6,0	4,6	23321	512	1006	2534
172 + 18	3458	80	93,2	63,4	47,5	23,6	11,1	7,1	5,4	26688	642	1259	2274
174 + 2	3482	80	105,8	73,7	54,3	24,6	10,1	6,0	4,6	24317	471	926	2509
174 + 16	3496	80	90,2	61,2	45,5	21,8	9,7	6,1	4,8	26470	639	1254	2589
176 + 12	3532	80	67,0	50,9	40,7	22,5	11,6	7,8	6,3	46128	892	1750	2190
176 + 16	3536	80	84,3	59,2	45,5	23,8	10,9	6,2	4,3	40786	547	1078	2583
178 + 10	3570	80	74,7	51,5	40,4	21,4	10,2	6,1	4,3	42244	712	1395	2670
178 + 15	3575	80	62,5	43,9	32,8	15,5	7,3	5,1	3,9	36263	992	1945	3203
180 + 0	3600	80	45,7	32,5	25,0	12,8	6,0	4,3	3,4	54372	1393	2734	3875
182 + 0	3640	81	44,3	32,0	25,0	13,0	6,3	4,3	3,4	58157	1408	2764	3885

Segmento homogêneo 04 - TDR Sul a Curva do Boi - 80kN													
Estaca	EXT. (m)	CARGA (kN)	BACIAS DEFLECTOMÉTRICAS							MÓDULO DE RESILIÊNCIA			
			D ₀ (10 ⁻² mm)	D ₂₅ (10 ⁻² mm)	D ₃₅ (10 ⁻² mm)	D ₆₀ (10 ⁻² mm)	D ₉₀ (10 ⁻² mm)	D ₁₂₀ (10 ⁻² mm)	D ₁₅₀ (10 ⁻² mm)	Revestimento kgf/cm ²	Base kgf/cm ²	Sub-base kgf/cm ²	Sub-leito kgf/cm ²
166 + 9	3329	80	95,6	67,3	49,9	23,2	10,2	6,8	5,6	25670	581	1140	2330
168 + 9	3369	80	78,3	51,9	38,6	19,4	9,8	6,9	5,6	25644	949	1861	2430
168 + 9	3369	79	113,7	79,0	59,7	29,4	13,2	8,0	5,9	24226	465	913	1973
170 + 5	3405	81	99,2	67,6	49,3	22,4	10,0	6,5	5,3	23090	581	1139	2417
170 + 12	3412	80	104,4	71,3	52,9	25,5	11,6	7,3	5,6	23185	553	1086	2175
172 + 1	3441	80	105,1	70,4	51,9	23,6	9,8	6,0	4,6	23321	512	1006	2534
172 + 18	3458	80	93,2	63,4	47,5	23,6	11,1	7,1	5,4	26688	642	1259	2274
174 + 2	3482	80	105,8	73,7	54,3	24,6	10,1	6,0	4,6	24317	471	926	2509
174 + 16	3496	80	90,2	61,2	45,5	21,8	9,7	6,1	4,8	26470	639	1254	2589
176 + 12	3532	80	67,0	50,9	40,7	22,5	11,6	7,8	6,3	46128	892	1750	2190
176 + 16	3536	80	84,3	59,2	45,5	23,8	10,9	6,2	4,3	40786	547	1078	2583
178 + 10	3570	80	74,7	51,5	40,4	21,4	10,2	6,1	4,3	42244	712	1395	2670
178 + 15	3575	80	62,5	43,9	32,8	15,5	7,3	5,1	3,9	36263	992	1945	3203
180 + 0	3600	80	45,7	32,5	25,0	12,8	6,0	4,3	3,4	54372	1393	2734	3875
182 + 0	3640	81	44,3	32,0	25,0	13,0	6,3	4,3	3,4	58157	1408	2764	3885

Segmento homogêneo 02 - TDR Sul a Curva do Boi - 120kN													
Estaca	EXT. (m)	CARGA (kN)	BACIAS DEFLECTOMÉTRICAS							MÓDULO DE RESILIÊNCIA			
			D ₀ (10 ⁻² mm)	D ₂₅ (10 ⁻² mm)	D ₃₅ (10 ⁻² mm)	D ₆₀ (10 ⁻² mm)	D ₉₀ (10 ⁻² mm)	D ₁₂₀ (10 ⁻² mm)	D ₁₅₀ (10 ⁻² mm)	Revestimento kgf/cm ²	Base kgf/cm ²	Sub-base kgf/cm ²	Sub-leito kgf/cm ²
22 + 6	446	124	95,2	61,4	44,5	20,0	9,3	7,1	6,3	30026	1125	2207	3471
23 + 18	478	120	96,1	55,7	37,7	15,9	8,3	6,9	6,1	22154	1408	2763	3669
24 + 7	487	119	100,9	67,6	49,4	21,9	8,9	6,7	5,7	32755	897	1761	3545
26 + 6	526	120	82,5	54,2	39,2	17,2	7,4	5,6	5,0	38268	1159	2277	4286
26 + 6	526	120	114,0	70,0	48,6	20,4	9,5	7,6	6,7	21546	999	1961	3237
28 + 7	567	120	100,8	59,4	40,4	16,8	7,5	5,8	5,0	22701	1139	2236	4186
28 + 8	568	120	87,6	58,7	43,1	20,0	8,9	6,2	5,1	35333	1093	2146	3896
30 + 10	610	120	128,4	87,2	64,8	30,2	12,8	8,1	6,7	28106	650	1276	2878
30 + 10	610	121	113,8	67,3	46,1	19,8	10,2	8,0	6,4	19248	1136	2198	3143
32 + 6	646	119	163,6	107,6	77,9	36,3	17,5	12,5	10,4	16990	652	1280	1978
32 + 9	649	120	163,4	119,5	94,7	53,8	29,6	20,5	15,6	24358	675	1325	1267
34 + 5	685	120	144,0	96,3	72,1	36,3	18,0	12,5	10,4	21297	751	1473	2005
36 + 3	723	120	144,2	91,7	67,3	33,2	18,3	14,5	12,4	17583	969	1901	1791
36 + 13	733	123	125,1	82,5	59,6	26,9	11,8	8,2	6,9	24013	764	1498	2914
38 + 4	764	122	85,9	51,3	35,7	15,8	8,2	6,4	5,4	25963	1521	2985	3953
38 + 15	775	121	87,7	55,7	40,4	19,2	9,5	6,9	5,5	29778	1329	2608	3630
39 + 19	799	120	95,2	57,1	39,3	16,8	8,3	6,4	5,3	23382	1287	2526	3894
40 + 10	810	119	102,4	72,3	56,5	31,4	16,3	10,6	7,9	40623	951	1865	2392
41 + 19	839	119	119,0	78,7	58,4	28,9	13,7	9,2	7,4	26713	850	1669	2669
42 + 5	845	120	120,9	87,7	69,8	39,2	19,5	11,7	8,3	43233	638	1252	2149
44 + 0	880	120	117,3	75,0	55,0	26,6	13,1	9,0	7,1	23897	945	1855	2757
44 + 1	881	121	112,5	72,9	54,1	26,9	13,0	8,7	6,7	28105	928	1820	2830
46 + 0	920	121	97,3	62,6	47,1	25,0	13,6	10,0	8,1	26583	1423	2793	2598
46 + 1	921	120	114,5	72,5	52,4	25,4	12,3	8,1	6,4	26280	914	1797	3011

Segmento homogêneo 02 - TDR Sul a Curva do Boi - 120kN													
Estaca	EXT. (m)	CARGA (kN)	BACIAS DEFLECTOMÉTRICAS							MÓDULO DE RESILIÊNCIA			
			D ₀ (10 ⁻² mm)	D ₂₅ (10 ⁻² mm)	D ₃₅ (10 ⁻² mm)	D ₆₀ (10 ⁻² mm)	D ₉₀ (10 ⁻² mm)	D ₁₂₀ (10 ⁻² mm)	D ₁₅₀ (10 ⁻² mm)	Revestimento kgf/cm ²	Base kgf/cm ²	Sub-base kgf/cm ²	Sub-leito kgf/cm ²
47 + 18	958	119	133,9	98,5	78,6	45,5	22,7	12,8	8,9	44046	508	999	1978
47 + 18	958	119	130,2	86,6	65,8	35,0	17,9	11,8	8,7	27947	798	1570	2124
50 + 1	1001	120	113,8	75,0	58,0	32,7	18,4	12,8	9,8	26138	1185	2328	2035
50 + 4	1004	120	122,0	86,5	66,9	36,6	19,2	12,9	9,9	30251	857	1680	1975
50 + 4	1004	122	120,1	87,6	69,0	39,1	20,7	13,8	10,5	34676	836	1638	1859
52 + 0	1040	122	108,7	76,3	59,9	34,3	18,9	13,2	10,0	31498	1130	2219	1974
52 + 9	1049	121	116,8	79,1	61,1	34,6	19,8	13,6	10,4	27060	1112	2182	1915
53 + 19	1079	120	101,1	68,5	52,8	29,4	15,8	10,5	7,9	35315	1111	2181	2434
54 + 12	1092	122	109,1	69,9	51,6	26,6	14,4	10,4	8,1	23287	1216	2386	2479
56 + 3	1123	120	97,9	68,6	53,0	28,7	14,8	9,6	7,3	40787	992	1947	2622
56 + 11	1131	120	103,1	64,9	47,9	24,7	13,1	9,0	6,9	26173	1207	2368	2822
58 + 2	1162	120	96,9	64,7	49,0	25,5	13,0	8,9	7,0	33216	1137	2232	2833
58 + 14	1174	121	93,6	56,8	40,3	20,0	10,8	8,0	6,5	24733	1470	2886	3209
60 + 2	1202	120	90,1	60,7	45,8	23,9	12,2	8,3	6,6	36457	1198	2353	3033
60 + 6	1206	120	92,2	56,9	40,7	20,1	10,7	8,0	6,5	25782	1457	2862	3205
62 + 4	1244	120	90,1	58,1	42,9	22,0	12,0	8,7	6,9	28516	1467	2877	2965
62 + 6	1246	120	87,8	59,8	46,2	25,3	13,8	9,7	7,6	36380	1398	2743	2665
64 + 0	1280	120	99,9	65,7	49,7	26,1	13,6	9,4	7,4	29626	1186	2329	2707
64 + 4	1284	120	85,1	54,2	39,3	19,6	10,4	7,6	6,2	29334	1512	2968	3368
66 + 6	1326	119	116,3	77,0	57,4	28,5	13,9	9,4	7,5	27313	891	1748	2631
66 + 14	1334	120	100,2	66,4	49,5	25,6	13,6	9,6	7,7	28381	1204	2362	2661
68 + 2	1362	120	117,6	82,0	61,7	30,6	14,4	9,8	8,0	30412	790	1553	2507
68 + 9	1369	119	107,2	66,8	48,7	24,0	12,5	8,9	7,2	24712	1124	2205	2923
69 + 19	1399	119	127,8	91,4	70,3	37,1	18,3	11,8	9,1	31309	706	1386	2107

Segmento homogêneo 02 - TDR Sul a Curva do Boi - 120kN													
Estaca	EXT. (m)	CARGA (kN)	BACIAS DEFLECTOMÉTRICAS							MÓDULO DE RESILIÊNCIA			
			D ₀ (10 ⁻² mm)	D ₂₅ (10 ⁻² mm)	D ₃₅ (10 ⁻² mm)	D ₆₀ (10 ⁻² mm)	D ₉₀ (10 ⁻² mm)	D ₁₂₀ (10 ⁻² mm)	D ₁₅₀ (10 ⁻² mm)	Revestimento kgf/cm ²	Base kgf/cm ²	Sub-base kgf/cm ²	Sub-leito kgf/cm ²
70 + 11	1411	120	110,9	73,3	54,2	27,1	13,8	9,8	7,9	25420	1037	2036	2579
72 + 6	1446	121	97,0	66,5	50,0	25,2	12,1	7,8	5,9	37423	955	1876	3136
72 + 6	1446	120	99,1	66,7	49,7	25,8	13,7	9,5	7,2	31363	1147	2252	2674
74 + 3	1483	120	107,6	69,5	50,7	23,8	10,3	6,4	4,9	32841	815	1603	3630
74 + 5	1485	120	90,9	65,0	50,8	28,5	15,9	11,7	9,3	34617	1439	2825	2245
76 + 2	1522	120	155,0	106,8	80,0	36,4	14,0	7,4	5,7	27769	434	852	2912
76 + 11	1531	120	132,9	81,5	57,9	25,7	11,8	8,6	6,9	18444	847	1662	2847
78 + 4	1564	121	140,6	96,8	73,3	37,4	17,9	11,8	9,0	26028	669	1313	2087
78 + 13	1573	119	135,5	90,7	67,5	33,5	16,7	11,3	8,7	24006	759	1488	2195
80 + 1	1601	120	143,8	95,2	68,2	30,6	14,3	10,6	8,8	19549	718	1409	2314
80 + 9	1609	122	113,8	80,9	62,5	32,0	15,1	10,5	8,6	32753	829	1628	2375
81 + 18	1638	120	122,8	78,8	56,7	27,5	14,8	11,6	9,8	20704	1071	2102	2220
82 + 11	1651	120	123,0	86,6	65,5	32,8	16,7	11,8	9,8	27800	831	1631	2134
84 + 1	1681	120	132,8	86,6	62,3	29,7	15,5	11,6	9,8	19386	911	1790	2190
84 + 13	1693	121	120,0	80,9	60,3	27,6	11,5	7,8	6,4	27951	735	1445	3026
86 + 2	1722	120	141,2	94,2	68,4	33,1	17,7	13,3	10,4	19032	860	1687	1923
86 + 19	1739	119	147,1	104,6	80,7	42,0	21,2	13,9	10,2	28075	618	1214	1796
88 + 2	1762	120	143,4	94,5	68,6	32,5	15,1	10,0	7,7	22109	672	1319	2411
89 + 5	1785	122	99,2	67,3	50,5	25,9	13,9	10,4	8,6	28061	1270	2492	2484
90 + 3	1803	121	94,4	56,7	39,5	18,0	10,4	8,7	7,4	24405	1564	3068	2982
90 + 5	1805	121	90,6	59,5	43,3	20,6	10,7	8,1	6,8	28781	1338	2625	3143
92 + 3	1843	120	100,5	64,5	47,5	23,5	11,2	7,6	6,4	30770	1048	2059	3236
92 + 4	1844	120	90,8	60,1	44,7	21,5	10,1	7,2	6,1	33132	1154	2263	3435
94 + 2	1882	119	101,4	68,6	51,4	24,2	11,0	7,9	6,7	31062	974	1910	3105

Segmento homogêneo 02 - TDR Sul a Curva do Boi - 120kN													
Estaca	EXT. (m)	CARGA (kN)	BACIAS DEFLECTOMÉTRICAS							MÓDULO DE RESILIÊNCIA			
			D ₀ (10 ⁻² mm)	D ₂₅ (10 ⁻² mm)	D ₃₅ (10 ⁻² mm)	D ₆₀ (10 ⁻² mm)	D ₉₀ (10 ⁻² mm)	D ₁₂₀ (10 ⁻² mm)	D ₁₅₀ (10 ⁻² mm)	Revestimento kgf/cm ²	Base kgf/cm ²	Sub-base kgf/cm ²	Sub-leito kgf/cm ²
94 + 7	1887	120	112,3	73,1	53,9	25,7	11,7	7,9	6,7	27453	887	1738	3067
95 + 19	1919	120	101,7	67,4	49,2	23,0	10,1	6,9	5,8	31655	922	1809	3468
96 + 5	1925	120	103,5	61,5	42,7	18,0	8,4	6,6	5,8	22383	1146	2250	3733
97 + 13	1953	120	125,0	83,1	61,4	28,1	10,4	6,2	5,4	30214	612	1203	3550
98 + 0	1960	120	126,6	79,1	57,3	25,8	10,0	6,1	5,5	26521	684	1341	3657
99 + 11	1991	119	145,0	101,4	75,7	33,7	12,4	7,3	6,4	27046	489	960	2992
100 + 4	2004	120	165,3	109,4	81,0	37,6	15,0	9,2	7,4	21618	499	979	2473
102 + 1	2041	120	130,2	87,4	65,5	31,6	13,4	7,7	6,0	30994	598	1173	2976
102 + 4	2044	121	130,6	82,9	59,4	27,1	12,1	8,2	6,8	22491	762	1495	2914
104 + 0	2080	121	148,3	94,3	67,3	29,0	10,6	6,3	5,5	22266	553	1086	3417
104 + 7	2087	120	148,7	102,3	77,2	37,3	15,1	8,4	6,9	28486	485	954	2685
106 + 13	2133	121	117,5	74,6	51,7	20,7	8,7	6,7	5,8	22225	846	1660	3535

Segmento homogêneo 03 - TDR Sul a Curva do Boi - 120kN													
Estaca	EXT. (m)	CARGA (kN)	BACIAS DEFLECTOMÉTRICAS							MÓDULO DE RESILIÊNCIA			
			D ₀ (10 ⁻² mm)	D ₂₅ (10 ⁻² mm)	D ₃₅ (10 ⁻² mm)	D ₆₀ (10 ⁻² mm)	D ₉₀ (10 ⁻² mm)	D ₁₂₀ (10 ⁻² mm)	D ₁₅₀ (10 ⁻² mm)	Revestimento kgf/cm ²	Base kgf/cm ²	Sub-base kgf/cm ²	Sub-leito kgf/cm ²
108 + 0	2160	121	118,3	70,7	48,9	21,1	9,5	6,9	6,0	20913	937	1836	3496
108 + 19	2179	121	111,1	68,7	47,7	20,2	10,0	8,1	6,6	21070	1088	2136	3093
110 + 4	2204	121	119,3	69,5	47,2	20,2	10,0	7,8	6,5	17863	1067	2095	3203
112 + 2	2242	121	94,0	59,1	42,0	18,6	8,9	6,7	5,5	25450	1231	2417	3713
112 + 6	2246	120	101,8	59,3	41,0	18,1	9,3	7,4	6,1	21083	1326	2603	3424
114 + 2	2282	121	69,1	43,7	31,5	15,0	8,2	6,6	5,6	36094	1974	3872	3914
114 + 10	2290	121	77,5	43,7	29,6	13,1	7,5	6,3	5,3	26697	1983	3891	4098
116 + 8	2328	120	127,5	80,7	57,1	25,3	11,1	7,9	6,7	21736	795	1561	3030
117 + 6	2346	120	79,3	48,7	33,1	13,3	6,1	4,9	4,3	30630	1395	2738	4968

Segmento homogêneo 03 - TDR Sul a Curva do Boi - 120kN														
Estaca	EXT.	CARGA	BACIAS DEFLECTOMÉTRICAS							MÓDULO DE RESILIÊNCIA				
			D ₀	D ₂₅	D ₃₅	D ₆₀	D ₉₀	D ₁₂₀	D ₁₅₀	Revestimento	Base	Sub-base	Sub-leito	
(m)	(KN)		(10 ⁻² mm)	(10 ⁻² mm)	(10 ⁻² mm)	(10 ⁻² mm)	(10 ⁻² mm)	(10 ⁻² mm)	(10 ⁻² mm)	kgf/cm ²	kgf/cm ²	kgf/cm ²	kgf/cm ²	
118 + 13	2373	120	88,0	50,6	34,2	13,9	6,3	4,9	4,2	23403	1393	2734	5000	
119 + 1	2381	120	78,9	47,4	32,8	14,2	6,9	5,7	4,9	28608	1596	3134	4411	
120 + 3	2403	120	90,9	57,1	40,3	17,2	7,9	6,3	5,5	29850	1198	2351	3890	
122 + 1	2441	120	91,2	53,8	36,2	15,3	7,2	5,6	4,9	23714	1324	2597	4409	
122 + 8	2448	120	94,6	59,6	42,2	17,0	6,8	5,5	5,0	29130	1051	2062	4305	
124 + 5	2485	120	106,4	65,8	46,6	20,3	8,5	6,2	5,5	26225	955	1874	3828	
124 + 6	2486	120	122,4	73,6	49,1	18,1	7,9	6,2	5,4	18033	877	1721	3835	
126 + 7	2527	120	77,1	50,6	39,0	21,1	11,2	7,7	5,9	41269	1562	3067	3324	
126 + 8	2528	121	75,2	46,0	32,4	13,9	6,1	4,6	3,9	36665	1445	2836	5000	
128 + 9	2569	121	67,3	37,6	25,2	10,4	5,5	4,7	4,0	30474	2213	4344	5000	
128 + 12	2572	120	66,6	39,8	27,4	11,4	5,6	4,7	4,1	34805	1956	3840	5000	
130 + 10	2610	120	76,1	42,6	27,9	10,8	5,9	5,3	4,6	26124	1936	3800	4828	
130 + 15	2615	120	66,8	38,3	26,0	11,1	5,7	4,9	4,4	32196	2124	4169	5000	
132 + 7	2647	120	69,4	42,2	30,0	14,7	8,2	6,4	5,3	32996	2151	4223	4068	
132 + 12	2652	119	79,0	46,4	32,6	16,0	8,9	6,9	5,7	27673	1946	3821	3768	
134 + 7	2687	120	82,9	52,3	37,0	17,0	8,9	6,8	5,5	29397	1500	2945	3729	
134 + 12	2692	121	97,8	58,1	40,3	18,3	9,2	6,8	5,7	22499	1298	2548	3690	
136 + 8	2728	122	93,2	63,7	47,8	23,9	12,0	8,5	6,9	34442	1138	2234	2956	
136 + 12	2732	120	97,6	62,1	44,9	21,8	11,1	8,2	6,8	25346	1272	2496	3097	
138 + 10	2770	121	82,7	56,0	42,6	23,3	13,0	9,3	7,3	34204	1606	3151	2802	
138 + 17	2777	119	120,9	82,9	64,3	35,0	17,9	11,3	8,3	34386	783	1538	2213	
140 + 1	2801	121	81,9	52,6	38,5	18,9	10,3	7,4	5,9	30891	1556	3055	3460	
140 + 9	2809	120	89,2	54,4	39,1	19,7	10,5	7,2	5,2	33535	1339	2628	3482	
142 + 10	2850	119	97,9	66,4	49,6	24,5	12,4	8,7	7,1	32309	1084	2128	2881	
142 + 15	2855	119	103,5	64,7	47,4	24,2	13,0	9,4	7,5	23522	1304	2559	2737	

Segmento homogêneo 04 - TDR Sul a Curva do Boi - 120kN													
Estaca	EXT. (m)	CARGA (kN)	BACIAS DEFLECTOMÉTRICAS							MÓDULO DE RESILIÊNCIA			
			D ₀ (10 ⁻² mm)	D ₂₅ (10 ⁻² mm)	D ₃₅ (10 ⁻² mm)	D ₆₀ (10 ⁻² mm)	D ₉₀ (10 ⁻² mm)	D ₁₂₀ (10 ⁻² mm)	D ₁₅₀ (10 ⁻² mm)	Revestimento kgf/cm ²	Base kgf/cm ²	Sub-base kgf/cm ²	Sub-leito kgf/cm ²
144 + 13	2893	120	186,2	130,1	97,5	44,9	15,9	8,1	6,8	23303	350	679	2582
144 + 16	2896	120	193,5	135,7	103,9	50,4	18,4	8,8	7,0	24608	350	542	2427
146 + 12	2932	119	170,3	121,7	93,8	48,7	21,1	10,8	7,6	31168	363	714	2163
146 + 14	2934	122	134,8	90,9	67,8	32,2	14,0	8,5	7,1	27503	617	1211	2742
148 + 9	2969	120	128,3	86,9	65,6	34,0	17,4	12,3	10,3	24546	873	1714	2062
148 + 10	2970	121	129,8	91,6	71,7	38,8	19,3	12,7	9,9	31038	734	1439	1980
150 + 8	3008	122	107,1	70,7	53,3	28,4	15,4	11,1	8,9	25079	1233	2421	2334
151 + 1	3021	119	174,8	126,0	97,4	49,3	21,9	13,2	10,9	24898	435	853	1812
152 + 12	3052	120	113,7	75,1	56,5	29,8	16,7	13,0	11,4	25247	1218	2390	2010
153 + 11	3071	121	112,0	80,0	62,3	35,0	20,2	15,1	12,6	28388	1214	2383	1748
154 + 11	3091	120	102,7	67,0	50,1	27,5	17,0	14,1	12,3	26438	1710	3355	1901
156 + 1	3121	121	108,0	76,7	60,0	33,8	19,2	14,4	11,8	27263	1316	2582	1839
156 + 8	3128	121	109,7	69,5	52,1	27,7	15,7	12,2	10,5	23418	1381	2711	2154
158 + 4	3164	120	135,6	95,2	73,4	39,4	20,1	13,0	9,6	30418	690	1352	1928
158 + 11	3171	119	136,7	92,7	70,3	36,4	17,9	11,3	8,8	27769	683	1343	2174
160 + 5	3205	119	161,8	112,5	85,2	42,5	19,3	12,6	9,7	23301	542	1064	1924
160 + 7	3207	120	143,4	95,9	71,6	35,6	16,8	11,0	8,7	23869	670	1315	2218
162 + 7	3247	119	147,6	101,1	77,1	41,3	22,0	15,3	12,0	21865	781	1534	1673
162 + 12	3252	119	157,8	112,0	86,8	46,2	23,7	16,2	12,6	23470	647	1270	1565
164 + 7	3287	121	123,5	86,9	68,2	38,6	21,3	14,5	11,5	29288	938	1843	1785
165 + 3	3303	120	161,6	116,1	90,6	48,9	24,4	16,2	12,6	24919	584	1145	1554
166 + 3	3323	120	148,3	99,2	73,9	37,7	18,6	12,5	10,0	21905	699	1373	1989
167 + 13	3353	123	89,1	58,2	42,9	21,5	11,5	8,6	7,2	29369	1444	2833	2992
168 + 1	3361	122	88,5	55,4	40,1	20,2	11,1	8,6	7,1	26962	1653	3244	3032

Segmento homogêneo 04 - TDR Sul a Curva do Boi - 120kN													
Estaca	EXT. (m)	CARGA (kN)	BACIAS DEFLECTOMÉTRICAS							MÓDULO DE RESILIÊNCIA			
			D ₀ (10 ⁻² mm)	D ₂₅ (10 ⁻² mm)	D ₃₅ (10 ⁻² mm)	D ₆₀ (10 ⁻² mm)	D ₉₀ (10 ⁻² mm)	D ₁₂₀ (10 ⁻² mm)	D ₁₅₀ (10 ⁻² mm)	Revestimento kgf/cm ²	Base kgf/cm ²	Sub-base kgf/cm ²	Sub-leito kgf/cm ²
170 + 0	3400	119	135,7	93,9	70,6	35,8	17,2	11,0	8,5	27366	669	1314	2222
170 + 5	3405	119	148,0	95,8	71,2	35,1	16,6	10,7	8,5	22187	671	1313	2270
172 + 8	3448	120	148,9	96,0	70,0	35,6	17,7	11,1	8,4	23725	659	1293	2193
172 + 14	3454	121	142,6	97,5	72,3	33,9	14,4	9,1	7,6	25687	579	1136	2565
174 + 8	3488	121	146,7	96,7	72,0	35,6	16,8	10,9	9,1	22580	667	1308	2233
175 + 4	3504	119	156,9	107,5	80,4	37,4	15,1	8,4	6,2	27585	448	878	2649
176 + 4	3524	119	128,3	87,6	66,9	33,8	15,2	8,5	6,1	36661	568	1114	2760
176 + 8	3528	120	162,6	112,5	85,9	42,4	17,4	9,0	6,1	30965	390	766	2510
178 + 8	3568	121	112,0	76,8	58,1	29,4	14,1	9,1	7,4	32374	832	1632	2693
178 + 8	3568	120	118,9	84,4	65,7	35,9	17,6	10,7	7,7	40305	678	1329	2316
180 + 9	3609	120	116,0	81,5	60,7	27,9	12,0	8,8	7,8	31508	745	1464	2739
180 + 12	3612	120	107,4	79,6	62,9	34,6	17,2	11,3	8,9	40546	831	1633	2236
182 + 1	3641	121	79,8	58,0	45,9	24,6	12,3	8,1	6,1	54608	1122	2203	3110
182 + 4	3644	120	125,4	88,8	68,7	34,0	14,0	8,0	6,3	34989	571	1119	2889

Anexo IV

Planilha com o método de Rosenblueth

Método de Rosenblueth - Curva do Boi a TDR Sul - SH 01									
Revestimento kgf/cm ²	Base kgf/cm ²	Sub-base kgf/cm ²	Sub-leito kgf/cm ²	Deflexão (0,01mm)		Deformação Específica de Tração (cm/cm)		Tensão Vertical (kgf/cm ²)	
				D	D ²	ε t	(ε t) ²	σv	(σv) ²
58680	3115	6113	3265	15,83	250,59	1,20E-04	1,44E-08	0,38	0,14
58680	3115	6113	2309	18,36	337,09	1,22E-04	1,48E-08	0,33	0,11
58680	3115	3463	3265	17,02	289,68	1,25E-04	1,56E-08	0,39	0,15
58680	3115	3463	2309	19,68	387,30	1,26E-04	1,60E-08	0,34	0,12
58680	1765	6113	3265	18,67	348,57	1,44E-04	2,09E-08	0,40	0,16
58680	1765	6113	2309	21,36	456,25	1,46E-04	2,14E-08	0,35	0,13
58680	1765	3463	3265	19,77	390,85	1,49E-04	2,21E-08	0,40	0,16
58680	1765	3463	2309	22,56	508,95	1,51E-04	2,27E-08	0,36	0,13
39648	3115	6113	3265	17,07	291,38	1,47E-04	2,17E-08	0,41	0,17
39648	3115	6113	2309	19,68	387,30	1,48E-04	2,20E-08	0,36	0,13
39648	3115	3463	3265	18,40	338,56	1,53E-04	2,33E-08	0,42	0,17
39648	3115	3463	2309	21,15	447,32	1,54E-04	2,37E-08	0,37	0,14
39648	1765	6113	3265	20,49	419,84	1,83E-04	3,36E-08	0,43	0,19
39648	1765	6113	2309	23,28	541,96	1,85E-04	3,43E-08	0,39	0,15
39648	1765	3463	3265	21,75	473,06	1,89E-04	3,55E-08	0,44	0,19
39648	1765	3463	2309	24,66	608,12	1,91E-04	3,63E-08	0,40	0,16
				$\Sigma E[Y] =$	19,98	1,52E-04		0,39	
				$\Sigma E[Y^2] =$	404,80		2,36E-08	0,15	
				$X = \{\Sigma E[Y^2] - (\Sigma E[Y])^2\}^{1/2} =$	2,34	2,29E-05		0,03	
				$D_{adm} =$	54,58	$\epsilon t_{adm} =$	1,20E-04	$\sigma v_{adm} =$ 47,17	
				$Z =$	14,783	$Z =$	-1,408	$Z =$ 1557,183	
				$P =$	100%	$P =$	7,96%	$P =$ 100%	

Método de Rosenblueth - Curva do Boi a TDR Sul - SH 02									
Revestimento kgf/cm ²	Base kgf/cm ²	Sub-base kgf/cm ²	Sub-leito kgf/cm ²	Deflexão (0,01mm)		Deformação Específica de Tração (cm/cm)		Tensão Vertical (kgf/cm ²)	
				D	D ²	ε t	(ε t) ²	σv	(σv) ²
70000	5000	10000	4238	11,37	129,28	8,78E-05	7,71E-09	0,37	0,14
70000	5000	10000	2827	13,59	184,69	8,87E-05	7,87E-09	0,31	0,10
70000	5000	10000	4238	11,37	129,28	8,78E-05	7,71E-09	0,37	0,14
70000	5000	10000	2827	13,59	184,69	8,87E-05	7,87E-09	0,31	0,10
70000	5000	10000	4238	11,37	129,28	8,78E-05	7,71E-09	0,37	0,14
70000	5000	10000	2827	13,59	184,69	8,87E-05	7,87E-09	0,31	0,10
70000	5000	10000	4238	11,37	129,28	8,78E-05	7,71E-09	0,37	0,14
70000	5000	10000	2827	13,59	184,69	8,87E-05	7,87E-09	0,31	0,10
70000	5000	10000	4238	11,37	129,28	8,78E-05	7,71E-09	0,37	0,14
70000	5000	10000	2827	13,59	184,69	8,87E-05	7,87E-09	0,31	0,10
70000	5000	10000	4238	11,37	129,28	8,78E-05	7,71E-09	0,37	0,14
70000	5000	10000	2827	13,59	184,69	8,87E-05	7,87E-09	0,31	0,10
70000	5000	10000	4238	11,37	129,28	8,78E-05	7,71E-09	0,37	0,14
70000	5000	10000	2827	13,59	184,69	8,87E-05	7,87E-09	0,31	0,10
70000	5000	10000	4238	11,37	129,28	8,78E-05	7,71E-09	0,37	0,14
70000	5000	10000	2827	13,59	184,69	8,87E-05	7,87E-09	0,31	0,10
70000	5000	10000	4238	11,37	129,28	8,78E-05	7,71E-09	0,37	0,14
70000	5000	10000	2827	13,59	184,69	8,87E-05	7,87E-09	0,31	0,10
70000	5000	10000	4238	11,37	129,28	8,78E-05	7,71E-09	0,37	0,14
70000	5000	10000	2827	13,59	184,69	8,87E-05	7,87E-09	0,31	0,10
$\Sigma E[Y] =$				12,48		8,83E-05		0,34	
$\Sigma E[Y^2] =$					156,98		7,79E-09	0,12	
$X = \{\Sigma E[Y^2] - (\Sigma E[Y])^2\}^{1/2} =$				1,11		4,55E-07		0,03	
				$D_{adm} = 54,58$		$\epsilon t_{adm} = 1,20E-04$		$\sigma v_{adm} = 67,16$	
				$Z = 37,928$		$Z = 70,280$		$Z = 2227,332$	
				$P = 100\%$		$P = 100,00\%$		$P = 100\%$	

Método de Rosenblueth - Curva do Boi a TDR Sul - SH 03									
Revestimento kgf/cm ²	Base kgf/cm ²	Sub-base kgf/cm ²	Sub-leito kgf/cm ²	Deflexão (0,01mm)		Deformação Específica de Tração (cm/cm)		Tensão Vertical (kgf/cm ²)	
				D	D ²	εt	(εt) ²	σv	(σv) ²
47861	2445	4797	2747	19,46	378,69	1,50E-04	2,24E-08	0,39	0,15
47861	2445	4797	1870	22,90	524,41	1,52E-04	2,30E-08	0,33	0,11
47861	2445	3030	2747	20,62	425,18	1,54E-04	2,37E-08	0,39	0,15
47861	2445	3030	1870	24,19	585,16	1,56E-04	2,44E-08	0,34	0,12
47861	1544	4797	2747	22,24	494,62	1,74E-04	3,01E-08	0,40	0,16
47861	1544	4797	1870	25,85	668,22	1,76E-04	3,10E-08	0,35	0,12
47861	1544	3030	2747	23,32	543,82	1,77E-04	3,12E-08	0,40	0,16
47861	1544	3030	1870	27,05	731,70	1,81E-04	3,26E-08	0,36	0,13
30754	2445	4797	2747	21,21	449,86	1,88E-04	3,55E-08	0,42	0,18
30754	2445	4797	1870	24,79	614,54	1,90E-04	3,61E-08	0,36	0,13
30754	2445	3030	2747	22,53	507,60	1,94E-04	3,75E-08	0,43	0,18
30754	2445	3030	1870	26,26	689,59	1,96E-04	3,83E-08	0,37	0,14
30754	1544	4797	2747	24,64	607,13	2,26E-04	5,11E-08	0,44	0,19
30754	1544	4797	1870	28,41	807,13	2,28E-04	5,21E-08	0,39	0,15
30754	1544	3030	2747	25,90	670,81	2,31E-04	5,35E-08	0,45	0,20
30754	1544	3030	1870	29,80	888,04	2,34E-04	5,47E-08	0,40	0,16
				Σ E[Y] =	24,32	1,88E-04		0,39	
				Σ E[Y ²] =	599,16		3,61E-08		0,15
				X={Σ E[Y ²] - (Σ E[Y]) ² } ^{1/2} =	2,75	2,81E-05		0,03	
				D _{adm} =	54,58	εt _{adm} =	1,19E-04	σv _{adm} =	37,71
				Z =	11,017	Z =	-2,432	Z =	1145,55
				P =	100%	P =	0,75%	P =	100%

Método de Rosenblueth - Curva do Boi a TDR Sul - SH 04									
Revestimento kgf/cm ²	Base kgf/cm ²	Sub-base kgf/cm ²	Sub-leito kgf/cm ²	Deflexão (0,01mm)		Deformação Específica de Tração (cm/cm)		Tensão Vertical (kgf/cm ²)	
				D	D ²	ε t	(ε t) ²	σv	(σv) ²
75065	4996	9911	3648	11,99	143,76	8,52E-05	7,26E-09	0,34	0,12
75065	4996	9911	2513	14,22	202,21	8,61E-05	7,41E-09	0,29	0,08
75065	4996	7281	3648	12,44	154,75	8,69E-05	7,56E-09	0,35	0,12
75065	4996	7281	2513	14,75	217,56	8,80E-05	7,74E-09	0,30	0,09
75065	3712	9911	3648	13,02	169,52	9,55E-05	9,12E-09	0,36	0,13
75065	3712	9911	2513	15,33	235,01	9,66E-05	9,34E-09	0,31	0,09
75065	3712	7281	3648	13,45	180,90	9,72E-05	9,44E-09	0,37	0,13
75065	3712	7281	2513	15,84	250,91	9,85E-05	9,70E-09	0,31	0,10
54110	4996	9911	3648	12,67	160,53	9,96E-05	9,93E-09	0,37	0,13
54110	4996	9911	2513	14,96	223,80	1,00E-04	1,01E-08	0,31	0,10
54110	4996	7281	3648	13,16	173,19	1,02E-04	1,03E-08	0,37	0,14
54110	4996	7281	2513	15,53	241,18	1,02E-04	1,05E-08	0,32	0,10
54110	3712	9911	3648	13,86	192,10	1,14E-04	1,29E-08	0,38	0,15
54110	3712	9911	2513	16,24	263,74	1,15E-04	1,32E-08	0,33	0,11
54110	3712	7281	3648	14,33	205,35	1,16E-04	1,34E-08	0,39	0,15
54110	3712	7281	2513	16,79	281,90	1,17E-04	1,36E-08	0,34	0,11
				Σ E[Y] =	14,29	9,99E-05		0,34	
				Σ E[Y ²] =	206,03		1,01E-08	0,12	
				X={Σ E[Y ²] - (Σ E[Y]) ² } ^{1/2} =	1,39	1,03E-05		0,03	
				D _{adm} = 54,58		ε t _{adm} = 1,20E-04	σV _{adm} = 61,97		
				Z = 29,014		Z = 1,958	Z = 2017,115		
				P = 100%		P = 97,49%	P = 100%		

Método de Rosenblueth - Curva do Boi a TDR Sul - SH 05									
Revestimento kgf/cm ²	Base kgf/cm ²	Sub-base kgf/cm ²	Sub-leito kgf/cm ²	Deflexão (0,01mm)		Deformação Específica de Tração (cm/cm)		Tensão Vertical (kgf/cm ²)	
				D	D ²	ε t	(ε t) ²	σv	(σv) ²
63136	3754	7381	3025	14,99	224,70	1,07E-04	1,14E-08	0,35	0,12
63136	3754	7381	2124	17,58	309,06	1,08E-04	1,17E-08	0,30	0,09
63136	3754	3296	3025	16,65	277,22	1,13E-04	1,27E-08	0,36	0,13
63136	3754	3296	2124	19,45	378,30	1,15E-04	1,31E-08	0,32	0,10
63136	1704	7381	3025	18,78	352,69	1,39E-04	1,92E-08	0,38	0,14
63136	1704	7381	2124	21,63	467,86	1,41E-04	1,97E-08	0,33	0,11
63136	1704	3296	3025	20,25	410,06	1,44E-04	2,07E-08	0,39	0,15
63136	1704	3296	2124	23,27	541,49	1,46E-04	2,14E-08	0,35	0,12
38338	3754	7381	3025	16,35	267,32	1,36E-04	1,85E-08	0,38	0,15
38338	3754	7381	2124	19,06	363,28	1,37E-04	1,87E-08	0,33	0,11
38338	3754	3296	3025	18,24	332,70	1,43E-04	2,05E-08	0,40	0,16
38338	3754	3296	2124	21,18	448,59	1,45E-04	2,09E-08	0,35	0,12
38338	1704	7381	3025	21,12	446,05	1,88E-04	3,55E-08	0,42	0,18
38338	1704	7381	2124	24,11	581,29	1,90E-04	3,61E-08	0,37	0,14
38338	1704	3296	3025	22,88	523,49	1,96E-04	3,82E-08	0,43	0,19
38338	1704	3296	2124	26,06	679,12	1,98E-04	3,91E-08	0,39	0,15
				$\Sigma E[Y] =$	20,10	$1,46E-04$		0,37	
				$\Sigma E[Y^2] =$	412,70		$2,23E-08$	0,14	
				$X = [\Sigma E[Y^2] - (\Sigma E[Y])^2]^{1/2} =$	2,95	$2,98E-05$		0,04	
				$D_{adm} =$	54,58	$\epsilon t_{adm} =$	$1,20E-04$	$\sigma v_{adm} =$ 48,68	
				Z =	11,695	Z =	-0,896	Z = 1365,999	
				P =	100%	P =	18,51%	P = 100%	

Método de Rosenblueth - TDR Sul a Curva do Boi - SH 01									
Revestimento kgf/cm ²	Base kgf/cm ²	Sub-base kgf/cm ²	Sub-leito kgf/cm ²	Deflexão (0,01mm)		Deformação Específica de Tração (cm/cm)		Tensão Vertical (kgf/cm ²)	
				D	D ²	ε t	(ε t) ²	σv	(σv) ²
24694	1235	2425	2879	29,68	880,90	2,86E-04	8,20E-08	0,48	0,23
24694	1235	2425	1784	34,82	1212,43	2,90E-04	8,42E-08	0,42	0,18
24694	1235	1329	2879	32,53	1058,20	2,97E-04	8,84E-08	0,47	0,22
24694	1235	1329	1784	37,79	1428,08	3,02E-04	9,10E-08	0,42	0,18
24694	677	2425	2879	36,65	1343,22	3,45E-04	1,19E-07	0,47	0,23
24694	677	2425	1784	41,98	1762,32	3,50E-04	1,23E-07	0,43	0,18
24694	677	1329	2879	39,29	1543,70	3,55E-04	1,26E-07	0,47	0,22
24694	677	1329	1784	44,72	1999,88	3,60E-04	1,30E-07	0,43	0,18
18670	1235	2425	2879	31,67	1002,99	3,34E-04	1,12E-07	0,50	0,25
18670	1235	2425	1784	36,93	1363,82	3,38E-04	1,14E-07	0,44	0,20
18670	1235	1329	2879	34,77	1208,95	3,47E-04	1,20E-07	0,49	0,24
18670	1235	1329	1784	40,17	1613,63	3,51E-04	1,23E-07	0,44	0,20
18670	677	2425	2879	39,67	1573,71	4,13E-04	1,71E-07	0,50	0,25
18670	677	2425	1784	45,16	2039,43	4,18E-04	1,75E-07	0,46	0,21
18670	677	1329	2879	42,60	1814,76	4,25E-04	1,80E-07	0,50	0,25
18670	677	1329	1784	48,19	2322,28	4,30E-04	1,85E-07	0,46	0,21
				ΣE[Y] =	38,54	3,53E-04		0,46	
				ΣE[Y ²] =	1510,52		1,26E-07		0,21
				X={ΣE[Y ²] - (ΣE[Y]) ² } ^{1/2} =	5,03	4,59E-05		0,03	
				D _{adm} =	54,58	ε t _{adm} =	1,19E-04	σv _{adm} =	20,80
				Z =	3,190	Z =	-5,099	Z =	712,511
				P =	100%	P =	0,00%	P =	100%

Método de Rosenblueth - TDR Sul a Curva do Boi - SH 02								
Revestimento kgf/cm ²	Base kgf/cm ²	Sub-base kgf/cm ²	Sub-leito kgf/cm ²	Deflexão (0,01mm)		Deformação Específica de Tração (cm/cm)		Tensão Vertical (kgf/cm ²) (σv) ²
				D	D ²	ε t	(ε t) ²	
30665	1656	3251	3617	22,99	528,54	2,23E-04	4,99E-08	0,48
30665	1656	3251	2493	26,01	676,52	2,26E-04	5,09E-08	0,43
30665	1656	2115	3617	24,46	598,29	2,29E-04	5,26E-08	0,47
30665	1656	2115	2493	27,54	758,45	2,32E-04	5,37E-08	0,43
30665	1078	3251	3617	26,68	711,82	2,58E-04	6,64E-08	0,48
30665	1078	3251	2493	29,80	888,04	2,60E-04	6,78E-08	0,44
30665	1078	2115	3617	28,08	788,49	2,63E-04	6,92E-08	0,48
30665	1078	2115	2493	31,24	975,94	2,66E-04	7,07E-08	0,44
22524	1656	3251	3617	24,63	606,64	2,64E-04	6,96E-08	0,50
22524	1656	3251	2493	27,74	769,51	2,66E-04	7,06E-08	0,46
22524	1656	2115	3617	26,24	688,54	2,71E-04	7,32E-08	0,50
22524	1656	2115	2493	29,41	864,95	2,73E-04	7,44E-08	0,46
22524	1078	3251	3617	28,92	836,37	3,11E-04	9,65E-08	0,51
22524	1078	3251	2493	32,13	1032,34	3,13E-04	9,81E-08	0,47
22524	1078	2115	3617	30,47	928,42	3,17E-04	1,01E-07	0,51
22524	1078	2115	2493	33,73	1137,71	3,20E-04	1,02E-07	0,47
				Σ E[Y] =	28,13	2,68E-04	0,47	
				Σ E[Y ²] =	799,41	7,29E-08	0,22	
				X={Σ E[Y ²] - (Σ E[Y]) ² } ^{1/2} =	2,85	3,15E-05	0,03	
				D _{adm} =	54,58	ε t _{adm} =	1,19E-04	σv _{adm} = 25,52
				Z =	9,266	Z =	-4,749	Z = 978,149
				P =	100%	P =	0,00%	P = 100%

Método de Rosenblueth - TDR Sul a Curva do Boi - SH 03									
Revestimento kgf/cm ²	Base kgf/cm ²	Sub-base kgf/cm ²	Sub-leito kgf/cm ²	Deflexão (0,01mm)		Deformação Específica de Tração (cm/cm)		Tensão Vertical (kgf/cm ²)	
				D	D ²	ε t	(ε t) ²	σv	(σv) ²
32895	2265	6139	4381	17,83	317,91	1,85E-04	3,42E-08	0,48	0,23
32895	2265	6139	3068	20,28	411,28	1,86E-04	3,47E-08	0,43	0,18
32895	2265	2980	4381	19,67	386,91	1,93E-04	3,71E-08	0,48	0,23
32895	2265	2980	3068	22,24	494,62	1,94E-04	3,78E-08	0,44	0,19
32895	1367	6139	4381	21,70	470,89	2,24E-04	5,04E-08	0,49	0,24
32895	1367	6139	3068	24,28	589,52	2,26E-04	5,13E-08	0,44	0,20
32895	1367	2980	4381	23,43	548,96	2,32E-04	5,36E-08	0,49	0,24
32895	1367	2980	3068	26,10	681,21	2,34E-04	5,47E-08	0,45	0,21
22610	2265	6139	4381	19,23	369,79	2,23E-04	4,96E-08	0,51	0,26
22610	2265	6139	3068	21,76	473,50	2,24E-04	5,00E-08	0,45	0,21
22610	2265	2980	4381	21,27	452,41	2,32E-04	5,36E-08	0,51	0,26
22610	2265	2980	3068	23,92	572,17	2,33E-04	5,42E-08	0,47	0,22
22610	1367	6139	4381	23,82	567,39	2,79E-04	7,81E-08	0,52	0,27
22610	1367	6139	3068	26,47	700,66	2,81E-04	7,90E-08	0,48	0,23
22610	1367	2980	4381	25,77	664,09	2,88E-04	8,30E-08	0,53	0,28
22610	1367	2980	3068	28,53	813,96	2,90E-04	8,42E-08	0,49	0,24
$\Sigma E[Y] =$ $\Sigma E[Y^2] =$ $X = \{\Sigma E[Y^2] - (\Sigma E[Y])^2\}^{1/2} =$ $D_{adm} =$ $Z =$ $P =$				22,89	2,33E-04	0,48			
				532,20	5,53E-08	0,23			
				2,84	3,42E-05	0,03			
				54,58	$\epsilon t_{adm} = 1,15E-04$	$\sigma v_{adm} = 1,74$			
				11,147	Z = -3,447	Z = 42,694			
				100%	P = 0,03%	P = 100%			

Método de Rosenblueth - TDR Sul a Curva do Boi - SH 04									
Revestimento kgf/cm ²	Base kgf/cm ²	Sub-base kgf/cm ²	Sub-leito kgf/cm ²	Deflexão (0,01mm)		Deformação Específica de Tração (cm/cm)		Tensão Vertical (kgf/cm ²)	
				D	D ²	εt	(εt) ²	σv	(σv) ²
29631	1635	3209	2679	25,69	659,98	2,31E-04	5,32E-08	0,44	0,20
29631	1635	3209	2046	28,34	803,16	2,33E-04	5,41E-08	0,41	0,17
29631	1635	1467	2679	28,84	831,75	2,43E-04	5,90E-08	0,44	0,19
29631	1635	1467	2046	31,60	998,56	2,45E-04	6,00E-08	0,41	0,17
29631	747	3209	2679	33,38	1114,22	2,95E-04	8,73E-08	0,45	0,20
29631	747	3209	2046	36,20	1310,44	2,98E-04	8,87E-08	0,42	0,18
29631	747	1467	2679	36,25	1314,06	3,06E-04	9,36E-08	0,45	0,20
29631	747	1467	2046	39,13	1531,16	3,09E-04	9,53E-08	0,42	0,18
19340	1635	3209	2679	28,07	787,92	2,88E-04	8,30E-08	0,48	0,23
19340	1635	3209	2046	30,82	949,87	2,90E-04	8,38E-08	0,44	0,19
19340	1635	1467	2679	31,64	1001,09	3,03E-04	9,15E-08	0,48	0,23
19340	1635	1467	2046	34,51	1190,94	3,04E-04	9,25E-08	0,45	0,20
19340	747	3209	2679	37,54	1409,25	3,88E-04	1,51E-07	0,49	0,24
19340	747	3209	2046	40,47	1637,82	3,91E-04	1,53E-07	0,46	0,22
19340	747	1467	2679	40,88	1671,17	4,02E-04	1,61E-07	0,49	0,24
19340	747	1467	2046	43,90	1927,21	4,05E-04	1,64E-07	0,47	0,22
$\Sigma E[Y] =$				34,20		3,08E-04		0,45	
$\Sigma E[Y^2] =$					1196,16		9,81E-08		0,20
$X = \{\Sigma E[Y^2] - (\Sigma E[Y])^2\}^{1/2} =$				5,13		5,72E-05		0,03	
				$D_{adm} =$	54,58	$\epsilon t_{adm} =$	1,19E-04	$\sigma v_{adm} =$	23,49
				$Z =$	3,976	$Z =$	-3,312	$Z =$	885,185
				$P =$	100%	$P =$	0,05%	$P =$	100%